

# GM 67774

RAPPORT GEOLOGIQUE, PROPRIETE GUINARD-MASSIA, BLOC NORD

Documents complémentaires

*Additional Files*



Licence



*Licence*

Cette première page a été ajoutée  
au document et ne fait pas partie du  
rapport tel que soumis par les auteurs.

Énergie et Ressources  
naturelles

Québec 



**RICHMONT**

**MINES RICHMONT INC.**

**RAPPORT GÉOLOGIQUE**

**PROPRIÉTÉ GUINARD-MASSIA, BLOC NORD**

**Cantons de Beauchastel et Dasserat**

**Rouyn-Noranda, QC**

**Août 2013**

Par Chloé Esnault, géo. stag.  
et Nathalie Landry, géo.

Ressources naturelles et Faune  
**06 JAN. 2014**  
Dir. information géologique

**REÇU AU MRNF**  
**19 AOÛT 2013**  
DIRECTION DES TITRES MINIERS

**GM 67774**

1334104

## TABLE DES MATIÈRES

|   |    |
|---|----|
| Introduction.....                         | 1  |
| Localisation et accès.....                | 1  |
| Description de la propriété.....          | 3  |
| Géologie de la propriété .....            | 6  |
| Description des indices minéralisés ..... | 6  |
| Historique des travaux antérieurs.....    | 7  |
| Travaux effectués en 2013.....            | 12 |
| Résultats des travaux .....               | 15 |
| Conclusions et recommandations.....       | 21 |
| Certificat de qualifications.....         | 22 |

## LISTE DES FIGURES

|  |    |
|--|----|
| Figure 1 : Carte de localisation de la propriété ..... | 2  |
| Figure 2 : Carte des claims .....                      | 3  |
| Figure 3: Géologie et indices minéralisés.....         | 11 |
| Figure 4: Travaux effectués en 2013.....               | 14 |

## LISTE DES TABLEAUX

|  |    |
|--|----|
| Tableau 1 : Liste des claims - Propriété Guinard-Massia Nord.....      | 4  |
| Tableau 2 : Liste des claims - Propriété Guinard-Massia Sud.....       | 5  |
| Tableau 3 : Sommaire des dépenses - Propriété Guinard-Massia Nord..... | 13 |
| Tableau 4 : Tableau des échantillons et résultats.....                 | 17 |

## **LISTE DES ANNEXES**

Annexe 1 : Journaux de sondages

Annexe 2 : Certificats d'analyse

## **POCHETTE**

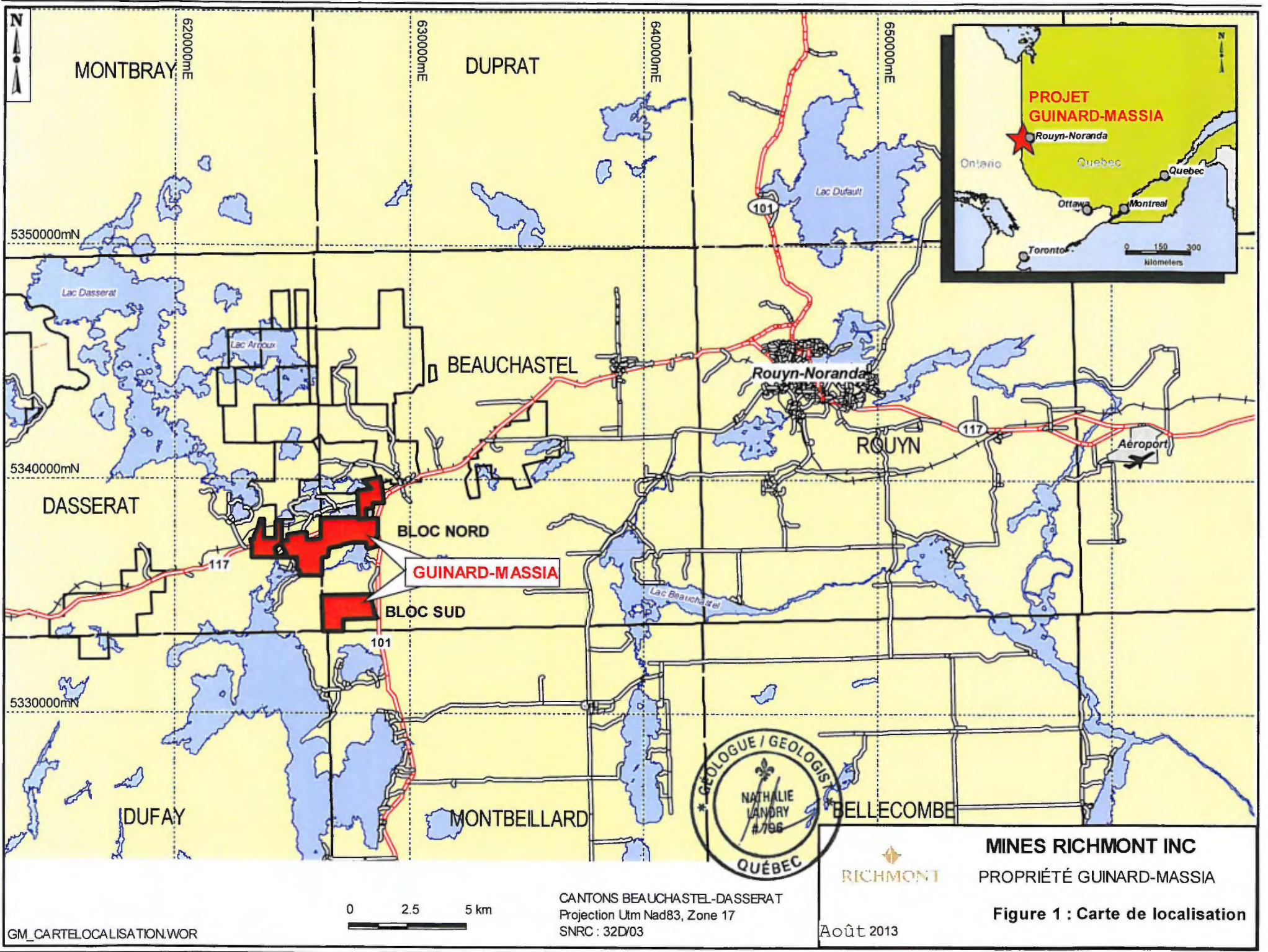
Carte de compilation (plan de surface), échelle 1 : 2500

## INTRODUCTION

Ce rapport présente les résultats des travaux de compilation et de cartographie réalisés dans la partie est du bloc nord de la propriété Guinard-Massia de Mines Richmond inc. (« Richmond ») en 2013. Une compilation des données géologiques, géophysiques et des données de sondages fut réalisée durant l'hiver 2013, deux forages situés sur la propriété furent aussi décrits et échantillonnés. Une campagne de cartographie géologique, d'échantillonnage de surface et de prospection au Beep Mat fut ensuite exécutée durant l'été 2013. L'objectif de ces travaux était de définir les meilleures cibles de forage d'exploration et d'évaluer le potentiel économique de la propriété.

### LOCALISATION ET ACCÈS

La propriété Guinard-Massia est située à environ 20 km au sud-ouest de Rouyn-Noranda, dans les cantons de Dasserat et de Beauchastel, sur le feuillet SNRC 32D03. Elle est facilement accessible depuis Rouyn-Noranda par la route Transcanadienne 117 qui mène à Kirkland Lake en Ontario et par la route 101 menant au Témiscamingue. Tous les claims sont en terres publiques. La localisation de la propriété est présentée à la figure 1 en page 2.



**DESCRIPTION DE LA PROPRIÉTÉ**

La propriété Guinard-Massia se divise en deux blocs de claims (figure 2). Le bloc nord est composé de 37 claims pour une superficie de 701,47 hectares (tableau 1). Le bloc sud contient 7 claims pour une superficie de 260,89 hectares (tableau 2). L'ensemble de la propriété est détenu à 100 % par Mines Richmond inc.

**Figure 2 : Carte des claims**

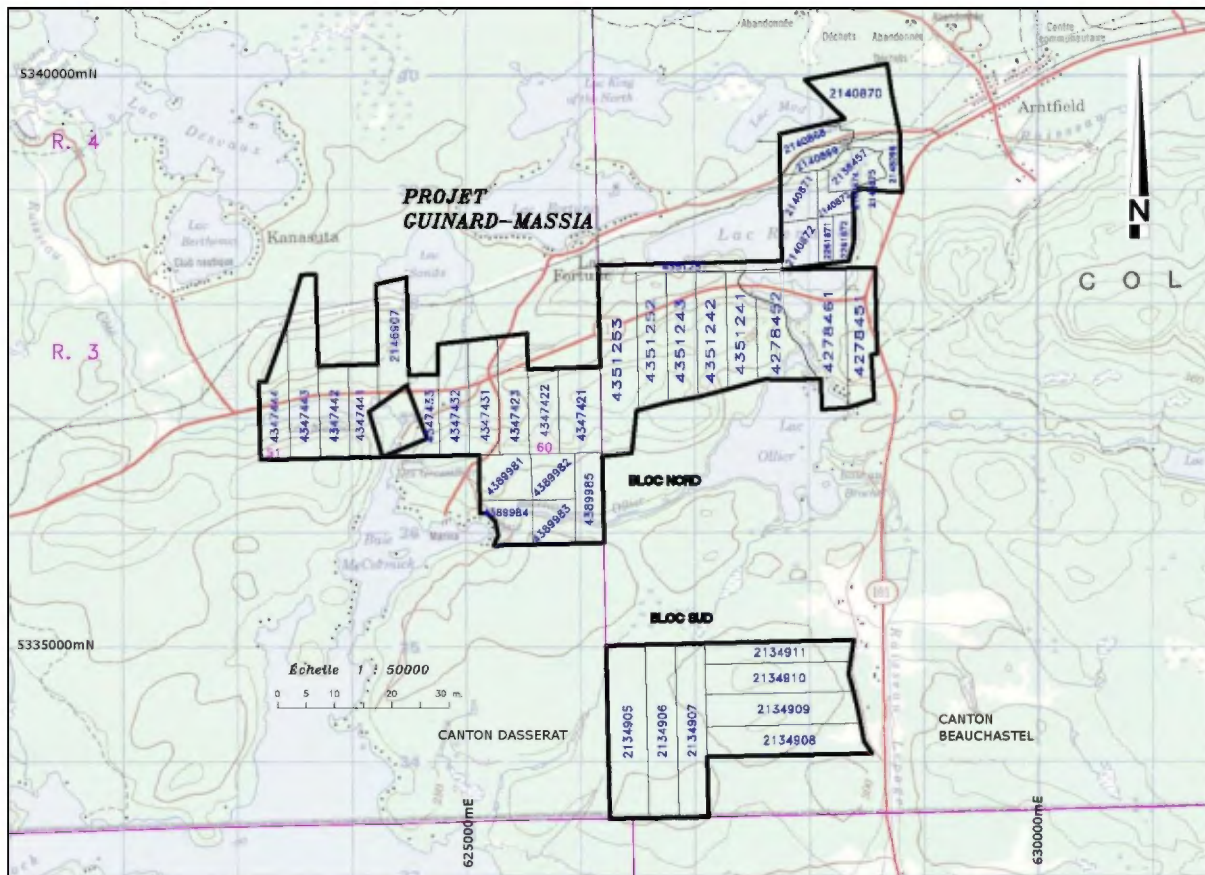


Tableau 1 : Liste des claims - Propriété Guinard-Massia Nord

| <b>GUINARD-MASSIA NORD</b> |               |             |            |                          |                   |
|----------------------------|---------------|-------------|------------|--------------------------|-------------------|
| <b>Claims</b>              | <b>Canton</b> | <b>Rang</b> | <b>Lot</b> | <b>Date d'expiration</b> | <b>Superficie</b> |
| CDC 2138457                | Beauchastel   | XXIV        | 28         | 2013-12-09               | 14.56             |
| CDC 2140868                | Beauchastel   | IV          | 8          | 2014-01-13               | 12.33             |
| CDC 2140869                | Beauchastel   | IV          | 9          | 2014-01-13               | 8.84              |
| CDC 2140870                | Beauchastel   | V           | 8          | 2014-01-13               | 32.95             |
| CDC 2140871                | Beauchastel   | X           | 0          | 2014-01-13               | 13.14             |
| CDC 2140872                | Beauchastel   | XII         | 0          | 2014-01-13               | 13.09             |
| CDC 2140873                | Beauchastel   | XI          | 0          | 2014-01-13               | 8.31              |
| CDC 2140874                | Beauchastel   | XIV         | 0          | 2014-01-13               | 0.07              |
| CDC 2140875                | Beauchastel   | XIV         | 0          | 2014-01-13               | 0.17              |
| CDC 2148096                | Beauchastel   | IV          | 10         | 2014-05-01               | 12.51             |
| CDC 2261671                | Beauchastel   | XXIII       | 27         | 2014-11-24               | 4.18              |
| CDC 2261672                | Beauchastel   | XXIII       | 28         | 2014-11-24               | 8.14              |
| CL 4278451                 | Beauchastel   | III         | 9          | 2015-09-12               | 24.00             |
| CL 4278452                 | Beauchastel   | III         | 6          | 2015-09-12               | 16.00             |
| CL 4278461                 | Beauchastel   | III         | 8          | 2015-09-12               | 32.00             |
| CL 4351241                 | Beauchastel   | III         | 5          | 2013-10-12               | 21.00             |
| CL 4351242                 | Beauchastel   | III         | 4          | 2013-10-12               | 28.00             |
| CL 4351243                 | Beauchastel   | III         | 3          | 2013-10-12               | 29.00             |
| CL 4351251                 | Beauchastel   | IV          | 1 S        | 2013-10-12               | 10.00             |
| CL 4351252                 | Beauchastel   | III         | 2          | 2013-10-12               | 30.00             |
| CL 4351253                 | Beauchastel   | III         | 1          | 2013-10-12               | 40.00             |
| CDC 2146907                | Dasserat      | III         | 55         | 2014-04-20               | 26.62             |
| CL 4347421                 | Dasserat      | III         | 61 S       | 2015-07-25               | 24.00             |
| CL 4347422                 | Dasserat      | III         | 60 S       | 2015-07-25               | 20.00             |
| CL 4347423                 | Dasserat      | III         | 59         | 2015-07-25               | 29.00             |
| CL 4347431                 | Dasserat      | III         | 58         | 2015-07-25               | 23.00             |
| CL 4347432                 | Dasserat      | III         | 57         | 2015-07-26               | 23.00             |
| CL 4347433                 | Dasserat      | III         | 56 S       | 2015-07-26               | 13.00             |
| CL 4347441                 | Dasserat      | III         | 54 S       | 2015-07-25               | 20.00             |
| CL 4347442                 | Dasserat      | III         | 53 S       | 2015-07-25               | 20.00             |
| CL 4347443                 | Dasserat      | III         | 52 S       | 2015-07-25               | 40.19             |
| CL 4347444                 | Dasserat      | III         | 51 S       | 2015-07-25               | 24.37             |
| CL 4389981                 | Dasserat      | I           | SESE       | 2014-12-27               | 16.00             |
| CL 4389982                 | Dasserat      | I           | SESE       | 2014-12-27               | 16.00             |
| CL 4389983                 | Dasserat      | I           | SESE       | 2014-12-27               | 16.00             |
| CL 4389984                 | Dasserat      | I           | SESE       | 2014-12-27               | 16.00             |
| CL 4389985                 | Dasserat      | I           | SESE       | 2014-12-28               | 16.00             |

Tableau 2 : Liste des claims - Propriété Guinard-Massia Sud

| <b>GUINARD-MASSIA SUD</b> |               |             |            |                          |                   |
|---------------------------|---------------|-------------|------------|--------------------------|-------------------|
| <b>Claims</b>             | <b>Canton</b> | <b>Rang</b> | <b>Lot</b> | <b>Date d'expiration</b> | <b>Superficie</b> |
| CDC 2134905               | Beauchastel   | I           | 1          | 2013-10-30               | 51.61             |
| CDC 2134906               | Beauchastel   | I           | 2          | 2013-10-30               | 39.61             |
| CDC 2134907               | Beauchastel   | I           | 3          | 2013-10-30               | 39.45             |
| CDC 2134908               | Beauchastel   | I           | 6          | 2013-10-30               | 36.09             |
| CDC 2134909               | Beauchastel   | I           | 7          | 2013-10-30               | 37.19             |
| CDC 2134910               | Beauchastel   | I           | 8          | 2013-10-30               | 33.31             |
| CDC 2134911               | Beauchastel   | I           | 9          | 2013-10-30               | 23.63             |

## GÉOLOGIE DE LA PROPRIÉTÉ

La propriété Guinard-Massia est située dans la partie sud de la sous-province de l'Abitibi, dans la province du Supérieur.

Le bloc nord de la propriété est traversé, selon une direction ENE-OSO, par la faille de Cadillac dont le potentiel aurifère n'est plus à démontrer. Cette structure majeure, à fort pendage nord, met en contact les sédiments des Groupes de Timiskaming et du Pontiac au sud avec les unités volcaniques archéennes du Groupe de Blake River au nord. La majeure partie de ces unités archéennes sont recouvertes en discordance par les sédiments protérozoïques du Groupe de Cobalt qui peut atteindre jusqu'à 400 mètres d'épaisseur dans le secteur ouest de la propriété. Les schistes à biotite du Groupe de Pontiac sont présents au sud de la propriété. À l'extrême est de la propriété, les sédiments archéens du Timiskaming sont également affleurants et sont très déformés. Ils se seraient mis en place dans des bassins associés aux décrochements dextres le long de la faille de Cadillac après l'accrétion des Sous-provinces du Pontiac et de l'Abitibi (SC28-Rabeau2007). Ces sédiments sont recoupés par de nombreux dykes et masses de syénite porphyrique archéenne rattachée à la suite syénitique de Kirkland Lake. Plusieurs failles orientées NO-SE, subsidiaires à la faille de Cadillac, recoupent ces intrusions et les sédiments déformés du Timiskaming. L'ensemble de ces formations est recoupé par des dykes protérozoïques de gabbro et de diabase d'orientation variable.

### DESCRIPTION DES INDICES MINÉRALISÉS

Le bloc nord de la propriété Guinard-Massia contient trois indices minéralisés qui sont localisés sur la figure 3 à la page 11.

#### **Indice Lac Renault Sud**

Cet indice aurifère, situé entre les lacs Renault et Ollier dans le canton de Beauchastel, fut découvert en 1986 lors de travaux d'échantillonnage de surface. Une teneur de 9,94 g/t Au et 3,4 g/t Ag (échantillon G86-15, GM 43707) fut obtenue dans une veinule de quartz et chlorite minéralisée en pyrite au sein d'un dyke de syénite porphyrique. Ce dyke, cisailé et carbonaté, est encaissé dans un conglomérat cisailé du Groupe de Timiskaming.

### **Indice Guinard**

Cet indice de cuivre et d'or est situé dans le canton de Beauchastel et fut découvert en 1935 lorsqu'un échantillon de syénite porphyrique grise, prélevé dans les haldes d'un puits d'exploration, rapporta une teneur de 1,28 g/t Au (GM 06215, GM 06216, GM 06217). Des teneurs en cuivre de 1,09 % et 0,88 % ont aussi été obtenues. La minéralisation semble intimement associée à des veinules de quartz-pyrite-chalcopyrite. Les travaux dans ce secteur indiquent que plusieurs veines de quartz ont une orientation N070. L'altération associée consiste en une faible chloritisation et une séricitisation.

### **Gîte O'Leary Malartic**

Ce gîte de cuivre, situé dans la partie sud du bloc nord de la propriété, dans le canton de Dasserat, fut découvert en 1949. En 1956, les ressources ont été estimées à 30 000 t titrant 1,25 % Cu (ressources historiques, non-conformes à la norme NI 43-101). La minéralisation est associée à une zone de quartz située au contact sud entre un dyke de diabase orienté E-O et les gneiss archéens à biotite du Groupe de Pontiac. Elle est composée de chalcopyrite et de bornite. Les roches encaissantes sont silicifiées.

## **HISTORIQUE DES TRAVAUX ANTÉRIEURS**

**1935 :** premier rapport géologique (GM 06125) se rapportant à la propriété Guinard-Massia. Trois puits de 19,81 m, 3,66 m et 3,96 m ont été creusés dans une syénite porphyrique faiblement minéralisée en pyrite et recoupée par quelques veines de quartz. Ces trois puits ont été creusés dans la partie sud du bloc nord de la propriété.

**1939-1941 :** Trois forages, GML-1, GML-2 et GML-3 (GM 06216 et GM 06217), furent réalisés dans la partie sud de la propriété au niveau des puits creusés en 1935. GML-2 et GML-3 sont sur le même site de forage. Une seule analyse fut réalisée dans le forage GML-3 à 63,7 mètres de profondeur et montra une teneur aurifère nulle.

**1940 :** **Springer Sturgeon Gold Mines Ltd** (GM 06514A) réalisa un forage (SS-1) de 182,88 mètres de longueur, de direction sud et incliné à -45°, à l'extrémité ouest du lac Renault. Seules les roches sédimentaires du Groupe de Cobalt furent interceptées.

**1945 : Renfort Gold Mines Ltd** (GM 05901-A) réalisa une série de sondages dont deux sur la propriété Guinard-Massia (R-4 et R-15) et un plus au nord (R-14) qui a été foré en direction sud et qui recoupe la propriété. Les forages R-4 et R-15 recoupent la limite inférieure des sédiments du Groupe de Cobalt avant d'atteindre les sédiments du Timiskaming injectés par de nombreux dykes de syénite. Un seul échantillon par forage a été prélevé et ce, dans le Groupe de Cobalt uniquement. La teneur aurifère rapportée est nulle. Le forage R-14, situé à environ 300 mètres au nord de la limite de la propriété, recoupe les roches volcaniques intermédiaires du Groupe de Blake River. La fin du forage montre un cisaillement de plus en plus important indiquant probablement la proximité de la faille de Cadillac. La meilleure intersection montre des teneurs en or entre 0,4 g/t Au à 4,5 g/t Au entre 600,5 mètres et 612,6 mètres.

**1956 : O'Leary Malartic Mines Ltd** implanta 11 forages totalisant 610 mètres dans la partie sud de la propriété de façon à évaluer le potentiel d'un indice de cuivre (GM 05317). Le tonnage rapporté est de 30 000 tonnes courtes à 1,25 % Cu (ressources historiques, non conformes à la norme NI 43-101).

**1970 : Western Québec Mines Co. Ltd** (GM 26537) réalisa plusieurs levés géophysiques : un levé radiométrique qui ne met en évidence aucune anomalie; un levé magnétique qui met en évidence le magnétisme associé à l'intrusion de syénite; des levés électromagnétiques EM-16 (VLF) et SE-200 qui indiquent plusieurs conducteurs d'orientation variable. Suite à ces travaux, une anomalie EMV SE-200 orientée NE-SO fut vérifiée par un sondage, mais resta inexplicée.

**1986 : Le Groupe-Conseil ENVINOR Inc.** (GM 43707) réalisa pour le Groupe d'Investissement Leblond-Toner inc. un rapport d'évaluation technique de la propriété Guinard-Massia. La compilation des travaux antérieurs a été effectuée et quelques journées de terrain ont été réalisées. Dix-neuf (19) échantillons ont été recueillis et analysés pour l'or et l'argent et quelques échantillons ont été analysés pour le cuivre. Le meilleur résultat provient de l'échantillon G86-15, qui a titré **9,94 g/t Au et 3,4 g/t Ag**, était composé de syénite porphyrique et présentait une mince veine de quartz et chlorite minéralisée en pyrite. Le résultat de cet échantillon constitue maintenant l'**indice du Lac Renault Sud**, en bordure de la route 101, à 300 mètres au sud de l'intersection des routes 117 et 101.

**1988 : Ressources Minières Rouyn Inc.** (GM 48569) réalisa un forage (GMS-88-1) qui traversa les sédiments du Groupe de Cobalt, les volcanites du Groupe de Blake River et il a intercepté la faille Cadillac de 464,2 mètres à 586,5 mètres. Les meilleures teneurs obtenues sont dans la faille de Cadillac, de 488,5-491,5 mètres titrant 0,37 g/t Au sur 3 mètres, 548,5-551,5 mètres titrant 0,34 g/t Au sur 3 mètres et de 553,5-558 mètres titrant 0,4 g/t Au sur 4,5 mètres.

**2002 : Ressources Dasserat Inc.** (GM 60251) réalisa 8 forages (LF01-03, LF-01-06, LF-01-08, LF-01-10 à 13 et LF-01-28) à l'ouest du secteur cartographié en 2013. Ces sondages recoupent principalement les volcanites du Groupe de Blake River ainsi que les sédiments du Groupe de Cobalt. Différentes structures aurifères orientées est-ouest et de pendage faible vers le sud ont été identifiées.

**2004 : Cadillac West Explorations Inc.** réalisa un levé magnétique aéroporté dans le secteur de Rouyn-Noranda mettant en évidence une anomalie magnétique correspondant à la syénite sur la propriété Guinard-Massia.

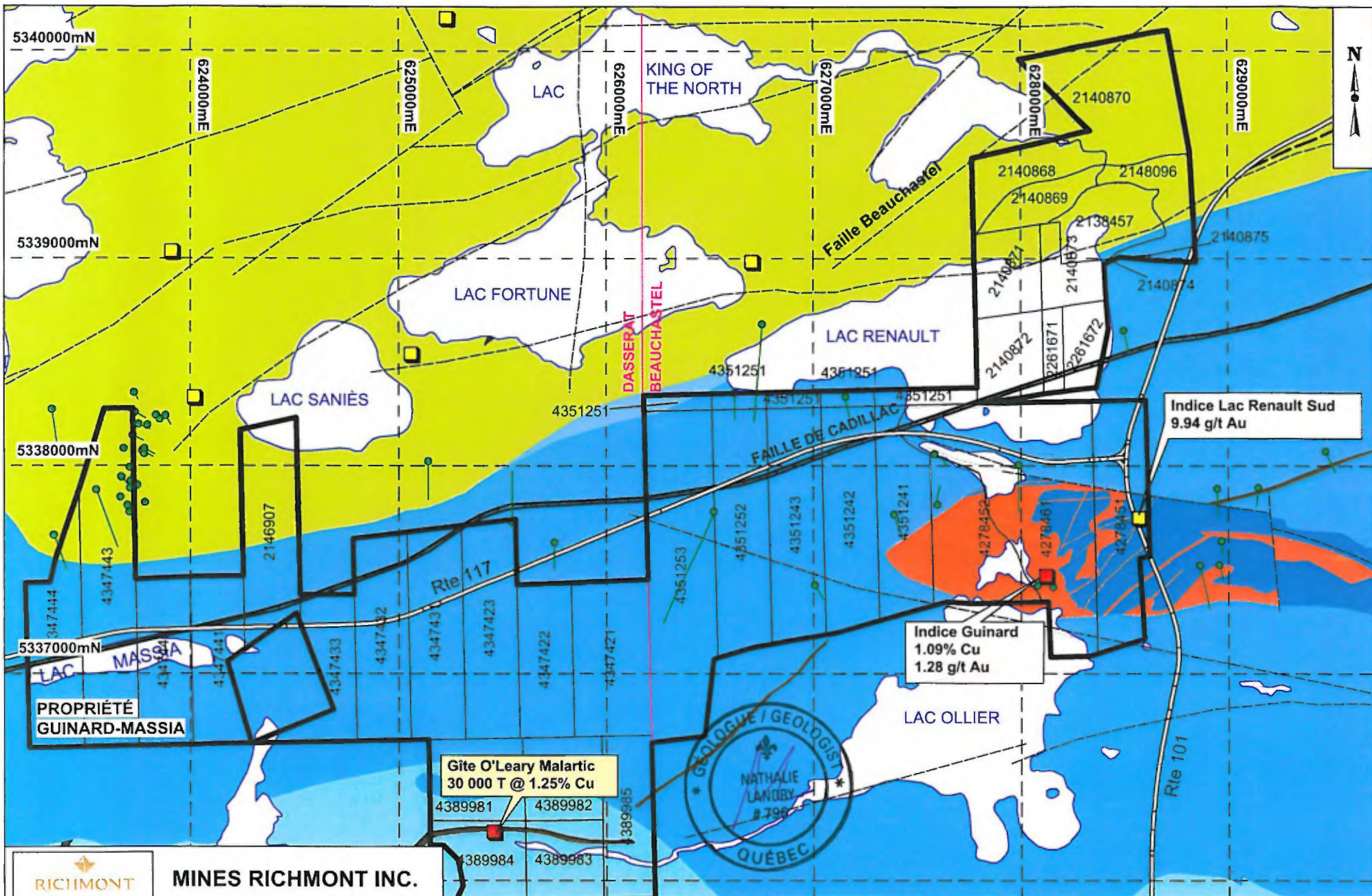
**2005 : Cadillac West Explorations Inc.** publie un rapport technique dans lequel ils décrivent les résultats obtenus dans différents forages effectués dans le secteur de Rouyn-Noranda. Le forage RO-01, d'une longueur totale de 732 mètres et foré en direction sud à  $-50^\circ$ , est localisé au sud-est du lac Renault. Ce forage montre la présence de syénite porphyrique de 57 à 732 mètres alternant avec de roches volcaniques mafiques bréchiques et des métasédiments. Une silicification et une minéralisation forte en pyrite sur plus de 300 mètres est décrite. Cependant, aucune valeur significative en or ne fut mise en évidence par les analyses, seulement quelques valeurs anormales de 0,4 g/t Au sur des longueurs variant de 0,1 et 0,3 mètre dans la syénite et les métasédiments.

**2005 : Ressources SearchGold** (GM 62079) réalisa 30 forages au diamant totalisant 2 972 mètres pour tester 3 indices minéralisés. Au sud-ouest du Lac Saniès (LF-04-01 à 18 et LF-04-29 à 30), 18 forages ont été réalisés dont 2 sur la propriété Guinard-Massia. Treize intersections de 1,2 à 11,8 g/t Au sur 0,5 à 2,3 m, ont été observées notamment dans des zones de cisaillement.

**2006 : Cadillac West Explorations Inc.** réalisa une série de forages dans le secteur d'Arntfield dont le forage CM-06-17, localisé sur la propriété Guinard-Massia. Ce forage, profond de 1121 mètres, fut foré vers le sud-ouest et avait pour objectif de croiser une faille subsidiaire à la faille de Cadillac. Le meilleur intervalle est de 1077,15-1078,55 mètres avec 1,94 g/t Au sur 1,4 mètre dans des métasédiments fins argileux, foliés et altérés en séricite et chlorite et présentant 15 % de veinules de quartz-carbonates faiblement minéralisées en pyrite et chalcopyrite au contact avec un dyke de gabbro.

**2009 : Mines Richmond inc.** réalisa une compilation géologique, de la cartographie et de l'échantillonnage sur une partie du bloc Sud de la propriété Guinard-Massia. Les résultats des travaux ont permis la découverte d'un nouvel indice d'argent, de plomb et de zinc associé à des veines de quartz orientées NNE, similaires à d'autres indices déjà connus dans le secteur. Aussi, des veinules de quartz minéralisées en cuivre de même orientation ont été identifiées mais leur continuité et leur potentiel aurifère est négligeable.

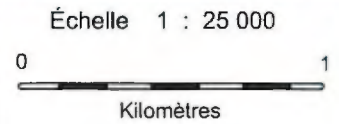
**2011 : Mines Richmond inc.** réalisa de la cartographie et de l'échantillonnage sur le reste du bloc Sud de la propriété Guinard-Massia. Ces travaux n'ont pas permis la découverte de nouvel indice minéral, toutefois une intrusion de syénite dans la partie sud demeure inexplorée.



**RICHMONT** MINES RICHMONT INC.

PROPRIÉTÉ GUINARD-MASSIA  
Bloc nord

Figure 3 : Géologie et indices minéralisés



| LÉGENDE               |                    | Structure         |           | Roches sédimentaires       |   | Roches volcaniques |  |
|-----------------------|--------------------|-------------------|-----------|----------------------------|---|--------------------|--|
| <b>Minéralisation</b> |                    | --- Faille        |           | Protérozoïque              |   | Archéen            |  |
| ■ Indice aurifère     | ■ Indice cuprifère | <b>Lithologie</b> |           | ■ Sédiments du Cobalt      | ■ Série volcanique du Blake River et intrusions |                    |  |
| <b>Forage</b>         |                    | Roches intrusives |           | ■ Sédiments du Timiskaming |   |                    |  |
| ● Forage              |                    | ■ Gabbro/diabase  | ■ Syénite | ■ Sédiments du Pontiac     |   |                    |  |

## TRAVAUX EFFECTUÉS EN 2013

Les travaux d'exploration en 2013 ont consisté dans un premier temps en une compilation des données géologiques, géophysiques et des données de sondages.

Par la suite, une campagne de travaux de cartographie a été réalisée du 23 mai au 12 juillet 2013, dans la partie est du bloc nord de la propriété Guinard-Massia. Au total, 223 affleurements furent décrits et 83 échantillons furent prélevés pour fins d'analyse pour l'or et l'argent. Des appareils de géolocalisation (GPS) de marque Garmin ont été utilisés lors des travaux de cartographie pour localiser les divers éléments cartographiés. La figure 4 montrant les travaux réalisés en 2013 est présentée à la page 14.

L'objectif de la campagne de terrain était d'évaluer le potentiel de la propriété pour des minéralisations en or et en cuivre et de vérifier en surface des anomalies de géophysiques (VLF et MAG) à l'aide d'un Beep Mat. Ces travaux d'exploration se sont concentrés sur les huit (8) claims suivants :

- CL 4278451
- CL 4278461
- CL 4278452
- CL 4351241
- CL 4351242
- CL 4351243
- CL 4351252
- CL 4351253

Les forages RO-01 et CM-06-17, réalisés par Cadillac West Exploration sur le bloc nord de la propriété, ont aussi été décrits à l'aide du logiciel Gemlogger et échantillonnés lorsque jugé nécessaire. La carotte a été sciée en deux, une moitié a été envoyée chez Lab Expert Inc., à Rouyn-Noranda, Québec, et l'autre moitié a été conservée pour fin de référence. Au total, 43 nouveaux échantillons furent analysés pour l'or et l'argent.

Les journaux de sondages sont présentés en annexe I et les certificats d'analyses en annexe II.

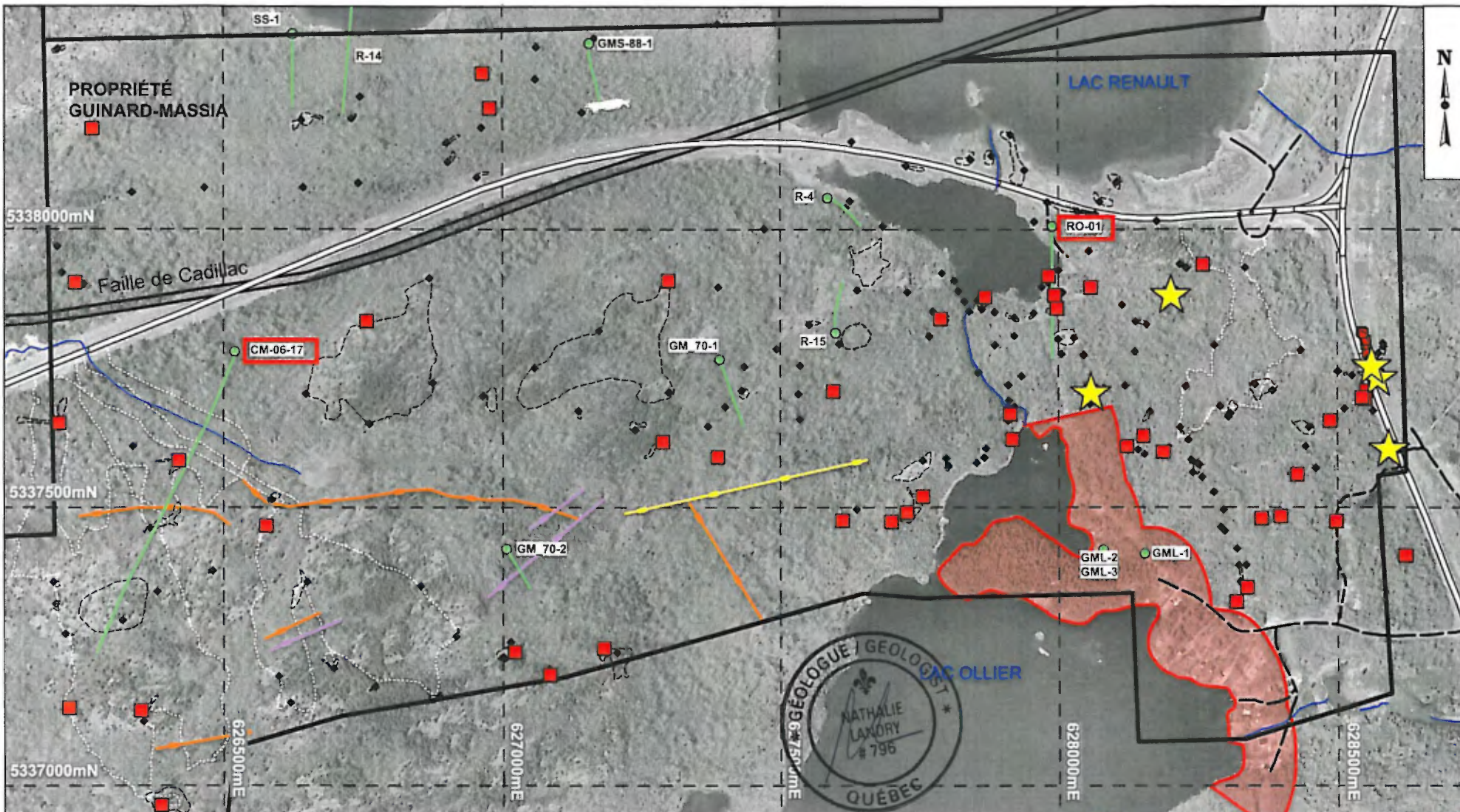
Le programme d'exploration de 2013 a été supervisé par Nathalie Landry, géologue de projet. Les personnes suivantes ont aussi été impliquées sur le programme d'exploration :

- Géologues stagiaires d'exploration: Coraline Crozier, Chloé Esnault
- Étudiant géologues stagiaires : Camille Le Rudulier, Nicolas Mériaud
- Aides techniques : Jonathan Bélanger-Veilleux, Louis Perron

Le détail des dépenses pour l'ensemble de ces travaux est présenté au tableau 3 ci-joint.

**Tableau 3 : Sommaire des dépenses - Propriété Guinard-Massia Nord**

| <b>Sommaire des dépenses<br/>Propriété Guinard-Massia Nord</b> |                     |
|--|---------------------|
| Salaires - Forages   | 7 895,53 \$         |
| Salaires - Terrain   | 44 741,34 \$        |
| Analyses - Forages   | 655,75 \$           |
| Analyses - Terrain   | 1 315,00 \$         |
| Dépenses de terrain  | 1 871,00 \$         |
| <b>TOTAL :</b>   | <b>56 478,62 \$</b> |



**MINES RICHMONT INC.**  
**PROPRIÉTÉ GUINARD-MASSIA**  
 Bloc nord

**Figure 4 : Travaux effectués en 2013**



GMN13\_Travaux.wor

Août 2013

**LÉGENDE**

**Travaux 2013**

**Cartographie**

- ◆ Affleurement
- Contour affleurement

**Échantillonnage de surface**

- Non anormalique en or
- ★ Anormalique en or (>100 ppb Au)

**Forage**

- Forage historique
- **No forage** Forage redécrit

**Géophysique**

- Tracé Beep Mat

**Travaux historiques**

**Géophysique**

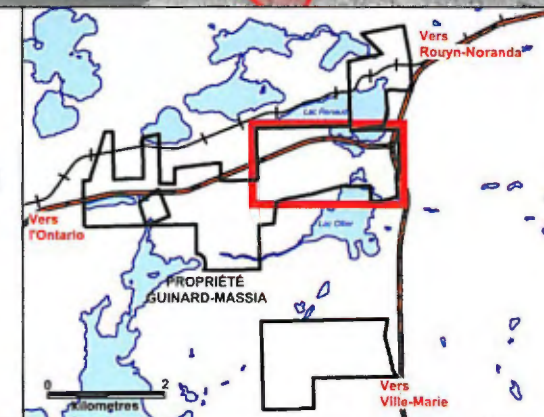
- Anomalie magnétique
- Anomalie VLF (EM-16)
- Anomalie électromagnétique (SE-200)

**Forage**

- Forage historique

**Contraintes**

- Exploration interdite



## RÉSULTATS DES TRAVAUX

La compilation des forages qui furent réalisés par le passé sur le bloc nord de la propriété Guinard-Massia a été effectuée dans le but d'interpréter la géologie en profondeur. Ainsi, la position de la faille Cadillac sur la propriété a pu être précisée (réf. GM 48569, forage GM-88-01).

La redescription des forages RO-01 et CM-06-17 (Cadillac West Exploration Inc. années 2005 et 2006) que nous avons en notre possession nous a permis de voir que les volcanites mafique bréchiques décrites dans le forage RO-01 sont en fait des conglomérats du Groupe de Timiskaming. Dans ce forage, 26 nouveaux échantillons ont été prélevés et le meilleur résultat est de 0,14 g/t Au de 351 à 352 mètres dans la syénite moyennement hématisée et présentant 2-3 % de pyrite.

Dans le forage CM-06-17, 17 nouveaux échantillons ont été prélevés et le meilleur résultat est de 0,31 g/t Au de 407,8 à 408,3 mètres dans un conglomérat (Groupe de Timiskaming) très déformé et injecté de veinules de quartz-carbonates et faiblement minéralisé en pyrite.

Pour les travaux de terrain, en règle générale, les structures qui ont été observées et mesurées (foliation, cisaillement, contacts, veines de quartz) sont généralement orientées E-O à NE-SO dans le secteur cartographié.

Aucune zone conductrice n'a été mise en évidence par l'utilisation du Beep Mat. L'appareil a néanmoins permis de détecter le magnétisme associé à l'intrusion de syénite. Il apparaît fort probable que certaines des anomalies géophysiques du levé de 1970 correspondent à des éléments topographiques.

Un total de 83 échantillons fut prélevé et analysé pour l'or et l'argent (tableau 4) durant la campagne de cartographie de 2013. Toutes les veines de quartz et les zones contenant des sulfures disséminés ou des altérations notables ont été échantillonnées. Parmi ces échantillons, 13 furent prélevés sur l'affleurement de l'indice du Lac Renault Sud. Les échantillons LRS67101 à LRS67107 ont été analysés par « Aqua Regia ICP » pour 31 éléments. Il n'y a eu aucun résultat significatif.

Sur les 83 échantillons, 42 échantillons ont été prélevés dans la syénite et les veines la recoupant, 23 échantillons dans les sédiments du Groupe de Timiskaming et 18 échantillons dans les sédiments du Groupe de Cobalt.

La plus haute teneur obtenue est de **366 ppb Au dans l'échantillon GM 67120** qui se retrouve à 100 mètres au sud de l'indice du Lac Renault Sud dans les sédiments du Groupe de Timiskaming. La teneur historique de cet indice trouvé en juillet 1986, qui est de 9,94 g/t Au et 3,4 g/t Ag n'a pas été répétée. Tous les autres échantillons prélevés dans les sédiments du Timiskaming ont des teneurs inférieures à 59 ppb Au.

Six des 42 échantillons prélevés dans la syénite ont des teneurs dépassant 100 ppb Au. Leur teneur varie de 119 ppb Au à 286 ppb Au dont les échantillons GM67108, GM67110 et GM67111 qui se retrouvent sur l'indice du Lac Renault Sud. Sur le reste de la propriété, les échantillons GM67125, GM67138 et GM67139 correspondent à la syénite parfois hématisée contenant des proportions variable de veines de quartz-carbonates-chlorite dans différents endroits de la propriété (figure 4). Ces veines, orientées NE-SO à ENE-OSO, apparaissent généralement boudinées.

Finalement, la teneur la plus élevée des 18 échantillons prélevés dans le Groupe de Cobalt est de 25 ppb Au.

Le tableau 4 de la page suivante présente les résultats des échantillons de terrain.

Tableau 4 : Tableau des échantillons et résultats

| No. d'échantillon | UTM Est (m) | UTM Nord (m) | Au (ppb)   | Ag (ppm) | Description  |
|-------------------|-------------|--------------|------------|----------|--|
| LRS67101          | 628546      | 5337816      | <5         | < 0.2    | (Indice Lac Renault) Conglomérat du Timiskaming, FO++, Py-Cp Tr-1 %                          |
| LRS67102          | 628543      | 5337813      | <5         | < 0.2    | (Indice Lac Renault) VQZ dans conglomérats du Timiskaming, FO+, Py Tr                        |
| LRS67103          | 628550      | 5337800      | 6          | < 0.2    | (Indice Lac Renault) Conglomérat du Timiskaming, FO+, Py-Cp Tr                               |
| LRS67104          | 628552      | 5337792      | 59         | < 0.2    | (Indice Lac Renault) Conglomérat du Timiskaming, FO+, SI+, Py-Cp 1-2 %                       |
| LRS67105          | 628554      | 5337778      | 6          | 0.3      | (Indice Lac Renault) VQZ bréch. dans conglomérat Timiskaming, CIS+, SI+, Py Tr-1 % diss.     |
| LRS67106          | 628560      | 5337765      | <5         | < 0.2    | (Indice Lac Renault) Conglomérat du Timiskaming, CIS++, SI+, Py-Cp Tr                        |
| LRS67107          | 628577      | 5337734      | 5          | < 0.2    | (Indice Lac Renault) Conglomérat du Timiskaming, FO-, Py Tr                                  |
| GM67108           | 628572      | 5337778      | <b>119</b> | <0.2     | (Indice Lac Renault) Syénite grise porph. non Mag, Py Tr-1 % diss.                           |
| GM67109           | 628572      | 5337775      | 21         | <0.2     | (Indice Lac Renault) VQZ-CB-CL dans syénite à phénocristaux, Py Tr aux épontes de VQZ        |
| GM67110           | 628572      | 5337769      | <b>286</b> | 0.2      | (Indice Lac Renault) Syénite grise porph., non Mag, Py Tr-1 % diss.                          |
| GM67111           | 628561      | 5337755      | <b>159</b> | 0.4      | (Indice Lac Renault) VQZ-CB-CL dans syénite, Py 1-2 % fine                                   |
| GM67112           | 628318      | 5337330      | 20         | <0.2     | Sédiment fin noirâtre du Timiskaming, Py 3-4 % diss.   |
| GM67113           | 628318      | 5337330      | 19         | <0.2     | Sédiments du Timiskaming à l'éponte d'un dyke de syénite, Py 2 % diss.                       |
| GM67114           | 628318      | 5337330      | 20         | 0.2      | Syénite à phénocristaux, non Mag, Py 1 % diss. et associée à VnCL                            |
| GM67115           | 628338      | 5337356      | 15         | <0.2     | Conglomérat du Timiskaming, CIS+, bandes discontinues de CL dans foliation, Py 1 % diss.     |
| GM67116           | 628552      | 5337710      | 17         | 0.2      | Zone de broyage faible dans une syénite séricitisée et silicifiée, non Mag, non.min.         |
| GM67117           | 628552      | 5337710      | 19         | <0.2     | Syénite grise porph., non Mag, Py 1-2 % diss.  |
| GM67118           | 628544      | 5337698      | <b>73</b>  | 0.2      | Syénite et Vn Qz-Cb-Cl, Py 1 % diss.   |
| GM67119           | 628592      | 5337608      | <b>86</b>  | <0.2     | Dyke de syénite grise à phénocristaux, non Mag, Py 1-2 % diss.                               |
| GM67120           | 628592      | 5337608      | <b>366</b> | <0.2     | Sédiments du Timiskaming modérément chloritisés et silicifiés, PY Tr diss.                   |
| GM67121           | 628572      | 5337769      | 10         | <0.2     | (Indice Lac Renault) VQZ avec épontes CL++, fragments de syénite minéralisée, Py 1-2 % diss. |
| GM67122           | 628561      | 5337745      | 15         | 0.2      | (Indice Lac Renault) Sédiments Timiskaming au contact syénite porph., CL++, HM+, Py Tr-1 %   |

| No. d'échantillon | UTM Est (m) | UTM Nord (m) | Au (ppb)   | Ag (ppm) | Description   |
|-------------------|-------------|--------------|------------|----------|---|
| GM67123           | 628260      | 5337937      | 8          | <0.2     | Sédiment grossier type grès (Cobalt), non Mag, non altéré, Py Tr                            |
| GM67124           | 628202      | 5337885      | <5         | <0.2     | Syénite fortement cisailée et séricitisée, Mag+   |
| GM67125           | 628202      | 5337885      | <b>127</b> | <0.2     | Veine de Qz et épontes de syénite, non Mag, 1 % Py  |
| GM67126           | 628202      | 5337885      | 49         | <0.2     | Sédiments du Timiskaming, CIS++ et plissés, au contact avec une syénite, non Mag, Py Tr-1 % |
| GM67127           | 628202      | 5337885      | 57         | <0.2     | Syénite minéralisée à proximité d'une veine de Qz   |
| GM67128           | 628202      | 5337885      | <5         | <0.2     | Sédiments du Timiskaming, plissés et CIS++, SR++, non Mag, PY Tr                            |
| GM67129           | 628057      | 5337896      | <5         | <0.2     | Syénite porph., CIS+, Mag+, PY TR   |
| GM67130           | 628057      | 5337896      | <5         | <0.2     | Syénite porph, FO-, Mag +, PY 1%  |
| GM67131           | 627982      | 5337916      | 7          | <0.2     | Syénite CIS++, CL+, SI+, Mag++, PY TR   |
| GM67132           | 627982      | 5337916      | 41         | <0.2     | Sédiments du Timiskaming, CIS++, CL++, fragm.syénite, PY 5 %                                |
| GM67133           | 627982      | 5337916      | <5         | <0.2     | Sédiments fins du Timiskaming, CL+, SR+, non Mag, PY TR                                     |
| GM67134           | 627982      | 5337916      | <5         | <0.2     | Sédiments fins du Timiskaming, non Mag, PY TR   |
| GM67135           | 627982      | 5337916      | <5         | <0.2     | Syénite rosée, bandes CL // à FO, CIS++, Py 2-3 %   |
| GM67136           | 627993      | 5337882      | <5         | <0.2     | Syénite à phénocristaux, FO-, Mag+, HM++, CL+, VnQZ-CB, PY TR                               |
| GM67137           | 627997      | 5337858      | 5          | <0.2     | Syénite porphyrique, CIS+, VNQz-Cb, Mag+, PY Tr diss.                                       |
| GM67138           | 628057      | 5337709      | <b>165</b> | <0.2     | VQZ et épontes de syénite, HM+, Py Tr-1 % diss.   |
| GM67139           | 628057      | 5337709      | <b>132</b> | <0.2     | Syénite porph., CL-, Py 1 % diss., près d'une VQZ-Cb HM+                                    |
| GM67140           | 627868      | 5337879      | 30         | <0.2     | Syénite porph, CIS+, HM+, CL+, Mag +, 1 % Py fine   |
| GM67141           | 627868      | 5337879      | 9          | <0.2     | Sédiments Timiskaming et fragm. syénite, CIS++, non Mag, CL+/SI+/SR+/CB+/, PY Tr            |
| GM67142           | 627787      | 5337839      | 27         | <0.2     | VQZ-CB et épontes syénite CL-, PY TR  |
| GM67143           | 627595      | 5337709      | <5         | <0.2     | Syénite porph, CIS++, SR+, Mag +, non min   |
| GM67144           | 627386      | 5337591      | 23         | <0.2     | Syénite porph., Mag+, Cis+, HM+, CL+, Py Tr   |
| GM67145           | 628596      | 5337342      | <5         | <0.2     | Syénite porph., SI++, Py Tr, près de plusieurs lentilles de Qz non min.                     |
| GM67146           | 628620      | 5337399      | 14         | <0.2     | Conglomérat du Timiskaming, CL+, non Mag, Py 1-2 % fine et en amas                          |
| GM67147           | 628622      | 5337413      | 6          | <0.2     | Sédiments du Timiskaming, FO-, non Mag, CL+, Py 1 %   |

| No. d'échantillon | UTM Est (m) | UTM Nord (m) | Au (ppb) | Ag (ppm) | Description   |
|-------------------|-------------|--------------|----------|----------|---|
| GM67148           | 628497      | 5337475      | 6        | <0.2     | Sédiments du Timiskaming, FO+, non Mag, Py TR                     |
| GM67149           | 627912      | 5337668      | 5        | <0.2     | Syénite porph, CIS+, non Mag, Py 1 %                              |
| GM67150           | 627916      | 5337623      | <5       | <0.2     | Syénite porph, non Mag, PY TR                                     |
| GM67151           | 626237      | 5337904      | 15       | <0.2     | Sédiments fin du Cobalt, Py Tr diss.                              |
| GM67152           | 626267      | 5338180      | <5       | <0.2     | Brèche conglomératique du Cobalt                                  |
| GM67153           | 626964      | 5338280      | <5       | <0.2     | Sédiment fin du Cobalt, MAG-, PY TR                               |
| GM67154           | 626977      | 5338218      | <5       | <0.2     | Brèche du Cobalt, matrice CL+, PY TR                              |
| GM67155           | 626977      | 5338218      | <5       | <0.2     | Conglomérat du Cobalt, trace de Py fine                           |
| GM67156           | 626208      | 5337651      | 25       | <0.2     | Sédiment fin du Cobalt, CL-, Py Tr                                |
| GM67157           | 626420      | 5337584      | <5       | <0.2     | Sédiment fin du Cobalt, CL+, Py Tr                                |
| GM67158           | 626226      | 5337140      | <5       | <0.2     | Conglomérat du Cobalt, traces de Py fine                          |
| GM67159           | 626388      | 5336964      | <5       | <0.2     | Sédiment Cobalt, CL-, recoupé par VNQZ, PY TR                     |
| GM67160           | 626353      | 5337135      | 5        | <0.2     | Conglomérat du Cobalt, CL-/+, recoupé par VQZ, PY Tr              |
| GM67161           | 626577      | 5337467      | <5       | <0.2     | Sédiment Cobalt, recoupé VQZ, PY Tr                               |
| GM67162           | 627021      | 5337240      | 7        | <0.2     | Sédiment fin du Cobalt, Mag+, traces de Py et grains argentés (?) |
| GM67163           | 627084      | 5337199      | <5       | <0.2     | Sédiments du Cobalt, Mag +, traces à 0.5 % Py fine disséminée     |
| GM67164           | 627181      | 5337247      | <5       | <0.2     | VQZ-CL dans Cobalt, Py Tr dans VQZ, Mag-                          |
| GM67165           | 627287      | 5337618      | <5       | <0.2     | Conglomérat du Cobalt, recoupé VQZ-CL-HM aux épontes, PY TR       |
| GM67166           | 626756      | 5337835      | <5       | <0.2     | Sédiment fin du Cobalt, recoupé par VQZ, Mag- local, Py Tr        |
| GM67167           | 627297      | 5337908      | <5       | <0.2     | Sédiment fin du Cobalt, traces à 0.5 % de Py localement           |
| GM67201           | 628549      | 5337696      | <5       | <0.2     | 90 % VQZ blanc, 2m larg; 10 % de syénite dans VQZ, non.min.       |
| GM67202           | 628487      | 5337656      | 10       | <0.2     | Syénite porph, non Mag, matrice CL/AM, non min.                   |
| GM67203           | 628487      | 5337656      | 5        | <0.2     | VQz blanc fumé de 10 cm d'épaisseur, CL, non.min.                 |
| GM67204           | 628428      | 5337559      | <5       | <0.2     | 50 % de syénite porph., Mag ++ et 50 % de VQZ blanc cm            |
| GM67205           | 628398      | 5337484      | 11       | <0.2     | Conglomérat du Timiskaming, FO-, SI+ PY TR                        |
| GM67206           | 628364      | 5337480      | 12       | <0.2     | Syénite porph, Mag +, PY 5 % diss, MAG+                           |

| No. d'échantillon | UTM Est (m) | UTM Nord (m) | Au (ppb) | Ag (ppm) | Description   |
|-------------------|-------------|--------------|----------|----------|---|
| GM67251           | 627727      | 5337491      | <5       | <0.2     | Syénite porph, Mag+, SI+, HM-, CL+, Py Tr-1 %                   |
| GM67252           | 627755      | 5337520      | 5        | <0.2     | Syénite porph., cis+, non Mag, Py 1 %                           |
| GM67253           | 627699      | 5337475      | <5       | <0.2     | Syénite porph., massive, non Mag, SI+                           |
| GM67254           | 627611      | 5337477      | <5       | <0.2     | VQZ non min. dans syénite grise CIS++, HM++, non Mag, Py Tr-1 % |
| GM67255           |             |              | <5       | <0.2     | Syénite porph, Mag + à ++, Py tr, 70 % amphiboles ?             |
| GM67256           | 628153      | 5337629      | 7        | <0.2     | Syénite porph., non Mag, CL+ local, Py 1-2 %                    |
| GM67257           | 628153      | 5337629      | 20       | <0.2     | Syénite porph., Mag++, Py 1 %                                   |
| GM67258           | 628122      | 5337610      | 11       | <0.2     | Syénite porph, FO-, non Mag, HM+, Py 1 % aux épontes des VQZ    |
| GM67259           | 628189      | 5337600      | <5       | <0.2     | Syénite porph., EP+, HM-, Py Tr                                 |
| GM67260           | 628189      | 5337600      | <5       | <0.2     | Conglomérats du Timiskaming, CIS-, CL+, non Mag, non min.       |

## CONCLUSIONS ET RECOMMANDATIONS

Les travaux d'exploration réalisés en 2013 avaient pour objectif d'évaluer le potentiel minéral de la partie est du bloc nord de la propriété Guinard-Massia.

Les travaux de cartographie géologique montrent que différents corps syénitiques, recoupant les sédiments du Groupe de Timiskaming, sont présents dans le secteur cartographié. Toutefois, il n'y a pas de minéralisations significatives en or qui ont été trouvées, les meilleures teneurs furent de **366 ppb Au dans les sédiments du Timiskaming** et de **286 ppb Au dans la syénite** qui est présente sur l'indice du Lac Renault Sud. Toutefois, les teneurs historiques de l'échantillon G86-15 (GM 43707) de 9,94 g/t Au et de 3,4 g/t Ag de l'indice du Lac Renault Sud n'a pas été répétée lors de nos travaux.

Certaines anomalies géophysiques mises en évidence par le levé de Western Québec Mines Co Ltd en 1970 furent également vérifiées à l'aide du Beep Mat. Il n'y a pas de zones conductrices qui correspondent à celles-ci.

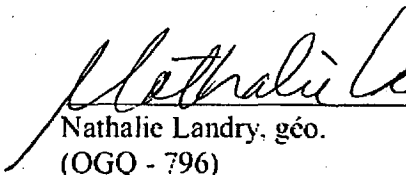
L'ensemble de ces travaux n'a donc pas permis de mettre en évidence de nouvelles zones minéralisées d'importance.

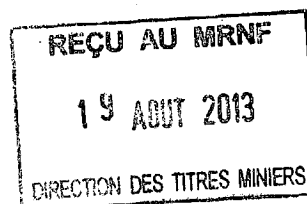
La présence de la faille de Cadillac, sous la couverture des sédiments du Groupe de Cobalt, constitue la meilleure cible d'exploration du bloc nord de la propriété Guinard-Massia. De même, la présence de plusieurs corps de syénite situés à moins d'un kilomètre de la faille de Cadillac représente également une cible intéressante.

Les prochains travaux d'exploration sur cette propriété devraient consister en : 1) forages profonds pour vérifier le potentiel de la faille Cadillac sous les sédiments du Groupe de Cobalt, les premiers sondages devraient être effectués dans le secteur du forage GMS-88-1 qui a déjà intersecté la faille Cadillac ; 2) l'évaluation du potentiel du secteur ouest du bloc nord de la propriété Guinard-Massia où l'on retrouve notamment l'indice de cuivre O'Leary Malartic.

Le 15 août 2013, Rouyn-Noranda, Québec.

  
Chloé ESNAULT, Geo. Stag.

  
Nathalie Landry, géo.  
(OGQ - 796)



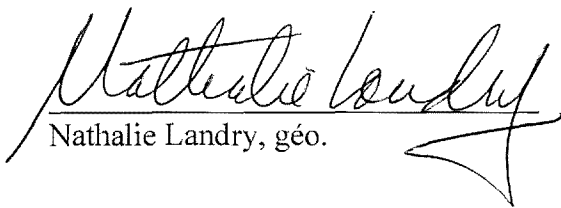
1334104

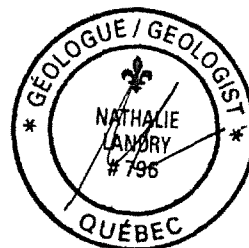
## CERTIFICAT DE QUALIFICATIONS

Je, soussigné, Nathalie Landry, certifie que :

- Je demeure à Rouyn-Noranda, province de Québec, depuis Octobre 2007;
- Mon adresse actuelle est : 159, 15<sup>e</sup> Rue, Rouyn-Noranda (QC) J9X 2K8;
- Mon adresse professionnelle est : 161, avenue Principale, Rouyn-Noranda (QC) J9X 4P6;
- Je suis graduée de géologie (B.Sc.) de l'Université du Québec à Montréal (UQAM) depuis 1997;
- Je travaille en géologie depuis 17 ans et je suis employée de Mines Richmond inc. depuis septembre 2011;
- Je suis membre en règle de l'Ordre des Géologues du Québec (# 796);
- J'ai supervisé et approuvé les travaux faits par Mme Chloé ESNAULT Geo. Stag., Rapport géologique, propriété Guinard Massia Bloc Nord, Abitibi, Août 2013.

Daté le 15 août 2013, Rouyn-Noranda, Québec.

  
Nathalie Landry, géo.



**RAPPORT GÉOLOGIQUE**  
**PROPRIÉTÉ GUINARD-MASSIA, BLOC NORD**  
**2013**

**ANNEXE I**

**Journaux de sondages**





## LITHOLOGY REPORT - Detailed -

Hole Number **RO-01**

Project: **CADILLAC MINING**

Project Number:

| From<br>(m) | To<br>(m) | Lithology   | Sample # | From | To | Length | Zone | AuAA<br>(ppm) | DpAuAA<br>(ppm) | AuGr<br>(ppm) | DpAuGr<br>(ppm) | AuFINAL<br>(ppm) |
|-------------|-----------|---|----------|------|----|--------|------|---------------|-----------------|---------------|-----------------|------------------|
| 0.00        | 57.00     | <p><b>S Cobalt</b></p> <p>Couleur gris moyen à verdâtre<br/>Gains fin à moyen millimétriques. 1% fragments arrondis très polygéniques de taille inférieure à 1 cm.<br/>Fragments de granite rose, d'andésite porphyrique, de roches volcaniques et sédimentaires...<br/>Non Mag<br/>Localement fracturé avec Bfa<br/>Hématisation modérée locale<br/>Pas de Py<br/>Rares Ve Qz-Cb non orientées</p> <p><b>Structure Maj.:</b>      <b>Type/Core Angle</b>      <b>Comment</b></p> <p>35.70 - 56.80      FRAC</p> <p>56.80 - 56.90      BFA 90</p> <p><b>Alteration Maj.:</b>      <b>Type/Style/Intensity</b>      <b>Comment</b></p> <p>31.50 - 36.00      HM PER +</p>  |          |      |    |        |      |               |                 |               |                 |                  |
| 57.00       | 77.70     | <p><b>I2SFP      Porphyre à feldspath syénite</b></p> <p>Couleur gris rosée<br/>Contact supérieur franc 90ac, contact inférieur franc 60ac<br/>Généralement non Mag, localement Mag+<br/>5% phénocristaux Fp 0.5-2 cm automorphes avec surcroissances<br/>&lt;1% fragments xénotiques chloritisés de taille et forme variable souvent orientés selon la foliation<br/>Foliation locale 45-55ac<br/>Hématisation modérée<br/>Rare Py<br/>Rares Ve Qz-Cb non orientées</p> <p><b>Structure Maj.:</b>      <b>Type/Core Angle</b>      <b>Comment</b></p> <p>57.00 - 58.30      SC9 60</p> <p>72.00 - 73.80      SC9 50</p> <p><b>Alteration Maj.:</b>      <b>Type/Style/Intensity</b>      <b>Comment</b></p> <p>57.00 - 77.30      HM PER +</p> |          |      |    |        |      |               |                 |               |                 |                  |



## LITHOLOGY REPORT - Detailed -

Hole Number **RO-01**

Project: **CADILLAC MINING**

Project Number:

| From<br>(m)            | To<br>(m)     | Lithology  | Sample #                    | From           | To    | Length | Zone | AuAA<br>(ppm) | DpAuAA<br>(ppm) | AuGr<br>(ppm) | DpAuGr<br>(ppm) | AuFINAL<br>(ppm) |
|------------------------|---------------|--|-----------------------------|----------------|-------|--------|------|---------------|-----------------|---------------|-----------------|------------------|
| <b>Minor Interval:</b> |               |  |                             |                |       |        |      |               |                 |               |                 |                  |
| 64.70                  | 66.40         | S2WA <i>wacke arkosique</i><br>? Sédiments du Cobalt ?<br>Couleur gris moyen<br>Contact supérieur diffus environ 55ac, contact inférieur faillé avec bfa<br>Texture très fine avec rares cristaux Fp blanc millimétriques<br>Non Mag<br>Fortement fracturé avec Bfa 75-85ac<br>Chloritisation modérée<br>Rare Py<br>Pas de Ve  |                             |                |       |        |      |               |                 |               |                 |                  |
|                        |               | <b>Structure Min.:</b>   | <b>Type/Core Angle</b>      | <b>Comment</b> |       |        |      |               |                 |               |                 |                  |
|                        | 64.70 - 66.40 |  | BFA                         |                |       |        |      |               |                 |               |                 |                  |
|                        | 64.70 - 66.40 |  | FA9                         | 80             |       |        |      |               |                 |               |                 |                  |
| 77.70                  | 86.70         | <b>I2S Syénite</b><br>Syénite cisailée<br>Couleur pourpre à rosée<br>Mag -<br>Texture grenue altérée par le cisaillement, localement porphyrique en Fp potassiques centimétriques. 1% fragments xénolithique chloritisés, étirés selon le cisaillement<br>Cisaillement modéré 40ac<br>Hématisation forte<br>Traces de Py moyenne automorphe<br>Une Veine de Qz-Cb-Cl non minéralisée | R47856                      | 86.20          | 86.70 | 0.50   |      | -             | -               | -             | -               | 0.02             |
|                        |               | <b>Structure Maj.:</b>   | <b>Type/Core Angle</b>      | <b>Comment</b> |       |        |      |               |                 |               |                 |                  |
|                        | 77.70 - 86.70 |  | CIS                         | 40             | +     |        |      |               |                 |               |                 |                  |
|                        |               | <b>Alteration Maj:</b>   | <b>Type/Style/Intensity</b> | <b>Comment</b> |       |        |      |               |                 |               |                 |                  |
|                        | 77.70 - 79.60 |  | CB                          | PER            | +     |        |      |               |                 |               |                 |                  |
|                        | 79.60 - 86.70 |  | HM                          | PER            | ++    |        |      |               |                 |               |                 |                  |



LITHOLOGY REPORT  
- Detailed -

Hole Number **RO-01**

Project: **CADILLAC MINING**

Project Number:

| From<br>(m) | To<br>(m) | Lithology   | Sample #               | From           | To        | Length    | Zone | AuAA<br>(ppm) | DpAuAA<br>(ppm) | AuGr<br>(ppm) | DpAuGr<br>(ppm) | AuFINAL<br>(ppm) |
|-------------|-----------|---|------------------------|----------------|-----------|-----------|------|---------------|-----------------|---------------|-----------------|------------------|
|             |           | <b>Vein Maj.:</b>   | <b>Type/Mineral</b>    | <b>%</b>       | <b>ca</b> | <b>vg</b> |      |               |                 |               |                 |                  |
| 82.10       | 82.50     | VN qz-cb-cl   |                        | 100.0          | 40        |           |      |               |                 |               |                 |                  |
|             |           | <b>Minor Interval:</b>  |                        |                |           |           |      |               |                 |               |                 |                  |
| 81.80       | 82.50     | S3AZ <i>argillite indéterminé</i><br>Sédiment fin gris verdâtre<br>non Mag<br>fortement chloritisé et séricitisé<br>Pas de Py<br>1 Vn de Qz-Cb-Cl |                        |                |           |           |      |               |                 |               |                 |                  |
| 86.80       | 106.40    | <b>S1CZPOL polygénique conglomérat indéterminé</b>  | R47857                 | 89.90          | 90.90     | 1.00      |      | -             | -               | -             | -               | 0.13             |
|             |           | Ressemble à l'intervalle 405-436 m du forage CM-06-17 mais déformation plus importante  | GM85168                | 90.90          | 91.60     | 0.70      |      | 0.01          | 0.01            | -             | -               | 0.01             |
|             |           | Couleur gris moyen avec bandes verdâtres  | R47858                 | 91.60          | 92.50     | 0.90      |      | -             | -               | -             | -               | 0.11             |
|             |           | Contact supérieur franc 80ac, Contact inférieur franc 60ac  | GM85169                | 92.50          | 93.10     | 0.60      |      | 0.02          | -               | -             | -               | 0.02             |
|             |           | Non Mag   | R47859                 | 93.10          | 93.50     | 0.40      |      | -             | -               | -             | -               | 0.07             |
|             |           | Fragments polygéniques (syénites (parfois à phénocristaux Fp), granitoïde, rhyolite, tonalite...) arrondis déformés parfois minéralisés           |                        |                |           |           |      |               |                 |               |                 |                  |
|             |           | Petits intrusifs de syénite grise   |                        |                |           |           |      |               |                 |               |                 |                  |
|             |           | Microplissement et plissement important,  |                        |                |           |           |      |               |                 |               |                 |                  |
|             |           | Chloritisation et séricitisation faible   |                        |                |           |           |      |               |                 |               |                 |                  |
|             |           | Py associée aux fragments d'intrusifs   |                        |                |           |           |      |               |                 |               |                 |                  |
|             |           | 1% Ve Qz-Cb   |                        |                |           |           |      |               |                 |               |                 |                  |
|             |           | <b>Structure Maj.:</b>  | <b>Type/Core Angle</b> | <b>Comment</b> |           |           |      |               |                 |               |                 |                  |
| 86.80       | 96.00     | FRAC  |                        |                |           |           |      |               |                 |               |                 |                  |
| 104.20      | 104.30    | BFA 55  |                        |                |           |           |      |               |                 |               |                 |                  |
| 105.60      | 105.80    | FA9 40  |                        |                |           |           |      |               |                 |               |                 |                  |



## LITHOLOGY REPORT - Detailed -

Hole Number **RO-01**

Project: **CADILLAC MINING**

Project Number:

| <i>From</i><br>(m) | <i>To</i><br>(m) | <i>Lithology</i>  | <i>Sample #</i>             | <i>From</i>                | <i>To</i>                  | <i>Length</i>        | <i>Zone</i> | <i>AuAA</i><br>(ppm) | <i>DpAuAA</i><br>(ppm) | <i>AuGr</i><br>(ppm) | <i>DpAuGr</i><br>(ppm) | <i>AuFINAL</i><br>(ppm) |
|--------------------|------------------|---|-----------------------------|----------------------------|----------------------------|----------------------|-------------|----------------------|------------------------|----------------------|------------------------|-------------------------|
| 106.40             | 108.40           | <b>I2S Syénite</b><br>Couleur gris moyen à violacée<br>Contact supérieur franc 60ac, contact inférieur franc 90ac<br>Non Mag<br>Cisaillement fort 60ac<br>Hématisation faible<br>Traces à 1% Py moyenne disséminée aux contacts<br>Pas de Ve<br><br><b>Structure Maj.:</b><br>106.40 - 108.40   | R47860                      | 108.30                     | 108.40                     | 0.10                 |             | -                    | -                      | -                    | -                      | 0.46                    |
|                    |                  | <b>Type/Core Angle</b><br>CIS 60  |                             |                            |                            |                      |             |                      |                        |                      |                        |                         |
|                    |                  | <b>Comment</b><br>++  |                             |                            |                            |                      |             |                      |                        |                      |                        |                         |
| 108.40             | 118.00           | <b>S2WZ wacke indéterminé</b><br>Couleur gris moyen à verdâtre<br>Non Mag<br>5% fragments polygéniques arrondis et étirés vert foncés (mafiques), brun (rhyolite ?). Variation de granulométrie.<br>Foliation (litage ?) 55ac avec étirement des fragments<br>Chloritisation faible<br>Traces à 1% Py très fine disséminée dans les plans de foliation<br><1% Ve Qz-Cb<br><br><b>Structure Maj.:</b><br>108.40 - 114.00<br>114.00 - 115.00<br>115.00 - 118.00 | R47861<br>GM85170<br>R47862 | 109.70<br>111.00<br>115.35 | 109.80<br>112.00<br>115.50 | 0.10<br>1.00<br>0.15 |             | -<br>0.02<br>-       | -<br>-<br>-            | -<br>-<br>-          | -<br>-<br>-            | 0.39<br>0.02<br>0.12    |
|                    |                  | <b>Type/Core Angle</b><br>SC9 55<br>FRAC<br>SC9 55  |                             |                            |                            |                      |             |                      |                        |                      |                        |                         |
|                    |                  | <b>Comment</b>  |                             |                            |                            |                      |             |                      |                        |                      |                        |                         |



## LITHOLOGY REPORT - Detailed -

Hole Number **RO-01**

Project: **CADILLAC MINING**

Project Number:

| From<br>(m) | To<br>(m) | Lithology   | Sample # | From | To | Length | Zone | AuAA<br>(ppm) | DpAuAA<br>(ppm) | AuGr<br>(ppm) | DpAuGr<br>(ppm) | AuFINAL<br>(ppm) |
|-------------|-----------|---|----------|------|----|--------|------|---------------|-----------------|---------------|-----------------|------------------|
| 118.00      | 122.90    | <b>I2SFP</b> <i>Porphyre à feldspath syénite</i><br>Couleur rosée<br>Contact supérieur et inférieur francs respectivement 70ac et 30ac<br>3-5% phénocristaux FP centimétriques légèrement orientés selon la foliation<br>Mag-<br>Foliation locale 50ac<br>Hématisation modérée<br>Traces de Py moyenne<br><1% Ve Qz-Cb-CI discordantes<br><br><b>Structure Maj.:</b> <b>Type/Core Angle</b> <b>Comment</b><br>118.00 - 122.90      SC9 50 |          |      |    |        |      |               |                 |               |                 |                  |
| 122.90      | 127.50    | <b>S2WZ</b> <i>wacke indéterminé</i><br>Couleur gris moyen à verdâtre, bandes beiges<br>Non Mag<br>grain fin avec foliation (litage ?) 55ac<br>Chloritisation faible<br>Traces de Py automorphe<br>Rares Ve Qz-Cb discontinues<br><br><b>Structure Maj.:</b> <b>Type/Core Angle</b> <b>Comment</b><br>122.90 - 127.50      SC9 55   |          |      |    |        |      |               |                 |               |                 |                  |
|             |           | <b>Minor Interval:</b><br>123.90      124.40      I2S <i>Syénite</i><br>Couleur gris moyen<br>Contact supérieur franc 85ac, contact inférieur franc 70ac<br>Non Mag<br>1% phénocristaux Fp  |          |      |    |        |      |               |                 |               |                 |                  |



## LITHOLOGY REPORT - Detailed -

Hole Number **RO-01**

Project: **CADILLAC MINING**

Project Number:

| From<br>(m) | To<br>(m) | Lithology   | Sample # | From | To | Length | Zone | AuAA<br>(ppm) | DpAuAA<br>(ppm) | AuGr<br>(ppm) | DpAuGr<br>(ppm) | AuFINAL<br>(ppm) |
|-------------|-----------|---|----------|------|----|--------|------|---------------|-----------------|---------------|-----------------|------------------|
|             |           | Traces de Py fine disséminée notamment aux contacts<br>Chloritisation et carbonatation modérée<br>Pas de Ve Qz-Cb   |          |      |    |        |      |               |                 |               |                 |                  |
| 127.50      | 141.20    | <b>I2SFP</b> <b>Porphyre à feldspath syénite</b><br>Couleur brun gris, légèrement rosé localement<br>Contact supérieur franc 60ac, contact inférieur franc 60ac<br>10% phénocristaux automorphes de Fp beiges/rosés avec stries de croissance. Taille de 0.3 à 1cm.<br>Mag +<br>Localement cisailé avec altération de la texture initiale<br>Chloritisation modérée locale, carbonatation et hématisation faible<br>Traces-1% Py au contact supérieur<br>Rares Ve Qz-Cb |          |      |    |        |      |               |                 |               |                 |                  |
|             |           | <b>Structure Maj.:</b>  |          |      |    |        |      |               |                 |               |                 |                  |
|             |           | 138.80 - 141.20   |          |      |    |        |      |               |                 |               |                 |                  |
|             |           | <b>Type/Core Angle</b>  |          |      |    |        |      |               |                 |               |                 |                  |
|             |           | CIS 60  |          |      |    |        |      |               |                 |               |                 |                  |
|             |           | <b>Comment</b>  |          |      |    |        |      |               |                 |               |                 |                  |
| 141.20      | 145.50    | <b>S2WZ</b> <b>wacke indéterminé</b><br>Ressemble à l'intervalle 122.9-127.5 m<br>Couleur gris moyen-verdâtre avec quelques bandes beiges<br>Non Mag<br>grain fin avec foliation (litage ?) 55ac<br>Chloritisation faible<br>Traces de Py automorphe<br>Rares Ve Qz-Cb discontinues   |          |      |    |        |      |               |                 |               |                 |                  |
|             |           | <b>Structure Maj.:</b>  |          |      |    |        |      |               |                 |               |                 |                  |
|             |           | 141.20 - 145.50   |          |      |    |        |      |               |                 |               |                 |                  |
|             |           | <b>Type/Core Angle</b>  |          |      |    |        |      |               |                 |               |                 |                  |
|             |           | SC9 55  |          |      |    |        |      |               |                 |               |                 |                  |
|             |           | <b>Comment</b>  |          |      |    |        |      |               |                 |               |                 |                  |



**LITHOLOGY REPORT**  
- Detailed -

Hole Number **RO-01**

Project: **CADILLAC MINING**

Project Number:

| <i>From</i><br>(m) | <i>To</i><br>(m) | <i>Lithology</i>   | <i>Sample #</i> | <i>From</i> | <i>To</i> | <i>Length</i> | <i>Zone</i> | <i>AuAA</i><br>(ppm) | <i>DpAuAA</i><br>(ppm) | <i>AuGr</i><br>(ppm) | <i>DpAuGr</i><br>(ppm) | <i>AuFINAL</i><br>(ppm) |
|--------------------|------------------|--|-----------------|-------------|-----------|---------------|-------------|----------------------|------------------------|----------------------|------------------------|-------------------------|
| 145.50             | 149.80           | <p><b>I2SFP</b>      <i>Syénite porphyrique à feldspaths</i></p> <p>Couleur grisâtre<br/>Contact supérieur franc 60ac, contact inférieur franc 25ac<br/>1-3% phénocristaux blancs &lt; 0.5 cm<br/>Non mag<br/>Cisaillement fort 53ac<br/>Carbonatisation modérée<br/>Traces de Py automorphe notamment au contact supérieur<br/>Rares Ve Qz-Cb discordantes</p> <p><b>Structure Maj.:</b>      <i>Type/Core Angle</i>      <i>Comment</i><br/>145.50 - 149.80      CIS 53</p> <p><b>Alteration Maj:</b>      <i>Type/Style/Intensity</i>      <i>Comment</i><br/>145.50 - 149.80      CB PER +</p>   | R47863          | 147.85      | 147.90    | 0.05          |             | -                    | -                      | -                    | -                      | 0.04                    |
| 150.00             | 158.40           | <p><b>S1CZPOL</b>      <i>polygénique conglomérat indéterminé</i></p> <p>Conglomérat du Timiskaming ? Initialement décrit comme V2ACBX<br/>Mélange de gris sombre, de beige et de verdâtre<br/>Non Mag<br/>Forte proportion (&gt;50%) fragments gris sombre très déformés, difficilement distinguables, de nature variable (plus ou moins grenus)<br/>Très déformé, foliation irrégulière. Plusieurs phases de déformations S1 plissée par S2<br/>Chloritisation forte, séricitisation faible<br/>Traces de Py automorphe<br/>10% Ve Qz-Cb très discontinues et fortement déformées</p> <p><b>Structure Maj.:</b>      <i>Type/Core Angle</i>      <i>Comment</i><br/>150.00 - 158.40      SC2 60      50-70ac</p> |                 |             |           |               |             |                      |                        |                      |                        |                         |



LITHOLOGY REPORT  
- Detailed -

Hole Number **RO-01**

Project: **CADILLAC MINING**

Project Number:

| <i>From</i><br>(m) | <i>To</i><br>(m) | <i>Lithology</i>   | <i>Sample #</i> | <i>From</i> | <i>To</i> | <i>Length</i> | <i>Zone</i> | <i>AuAA</i><br>(ppm) | <i>DpAuAA</i><br>(ppm) | <i>AuGr</i><br>(ppm) | <i>DpAuGr</i><br>(ppm) | <i>AuFINAL</i><br>(ppm) |
|--------------------|------------------|--|-----------------|-------------|-----------|---------------|-------------|----------------------|------------------------|----------------------|------------------------|-------------------------|
| 158.40             | 161.40           | <p><b>I2SFP</b>      <b>Syénite porphyrique à feldspaths</b><br/>           Syénite du même type que celle décrite sur l'intervalle 145.5-149.8 m<br/>           Couleur gris moyen<br/>           Contact supérieur franc 70ac, contact inférieur franc 70ac<br/>           Non mag<br/>           5% phénocristaux Fp<br/>           Cisaillement léger 70ac<br/>           Faiblement carbonatisée<br/>           Traces de Cp associée aux Ve<br/>           Rares Ve Qz-Cb-Cp discordantes</p> <p><b>Structure Maj.:</b>      <b>Type/Core Angle</b>      <b>Comment</b><br/>           158.40 - 161.40      SC9 70</p>   |                 |             |           |               |             |                      |                        |                      |                        |                         |
| 161.40             | 186.15           | <p><b>S1CZPOL</b>      <b>polygénique conglomérat indéterminé</b><br/>           Conglomérat du Timiskaming ?<br/>           Initialement décrit comme V2ACBX<br/>           Même description que l'intervalle 150-158.4 m<br/>           Une Ve Qz-Cb-CI-Py3% plus tardive (recoupe la déformation) de 172.7 à 173.7 m<br/>           quelques failles avec Bfa</p> <p><b>Structure Maj.:</b>      <b>Type/Core Angle</b>      <b>Comment</b><br/>           161.40 - 164.60      SC9 65<br/>           164.60 - 164.70      BFA<br/>           164.60 - 164.70      FA9 65<br/>           164.70 - 169.40      SC9 55      50-60ac<br/>           169.40 - 169.50      BFA</p> | GM85171         | 172.70      | 173.70    | 1.00          |             | 0.00                 | -                      | -                    | -                      | 0.00                    |
|                    |                  |  | R47865          | 185.50      | 186.00    | 0.50          |             | -                    | -                      | -                    | -                      | 0.07                    |



**LITHOLOGY REPORT**  
- Detailed -

Hole Number **RO-01**

Project: **CADILLAC MINING**

Project Number:

| <i>From</i><br>(m) | <i>To</i><br>(m) | <i>Lithology</i>  | <i>Sample #</i>        | <i>From</i>    | <i>To</i> | <i>Length</i> | <i>Zone</i> | <i>AuAA</i><br>(ppm) | <i>DpAuAA</i><br>(ppm) | <i>AuGr</i><br>(ppm) | <i>DpAuGr</i><br>(ppm) | <i>AuFINAL</i><br>(ppm) |
|--------------------|------------------|---|------------------------|----------------|-----------|---------------|-------------|----------------------|------------------------|----------------------|------------------------|-------------------------|
|                    | 169.40 - 169.50  | FA9 65  |                        |                |           |               |             |                      |                        |                      |                        |                         |
|                    | 169.50 - 178.70  | SC9 55  |                        |                |           |               |             |                      |                        |                      |                        |                         |
|                    | 178.70 - 179.20  | BFA   |                        |                |           |               |             |                      |                        |                      |                        |                         |
|                    | 178.70 - 179.20  | FA9 55  |                        |                |           |               |             |                      |                        |                      |                        |                         |
|                    | 179.20 - 180.50  | CIS 55  |                        |                |           |               |             |                      |                        |                      |                        |                         |
|                    | 180.50 - 180.90  | BFA   |                        |                |           |               |             |                      |                        |                      |                        |                         |
|                    | 180.50 - 180.90  | FA9 70  |                        |                |           |               |             |                      |                        |                      |                        |                         |
|                    | 180.90 - 186.15  | SC9 55  |                        |                |           |               |             |                      |                        |                      |                        |                         |
| 186.15             | 188.70           | <b>I2S Syénite</b><br>Couleur gris sombre, quelques phénocristaux millimétriques plus clairs<br>Contact supérieur et inférieur francs 65ac<br>Non Mag<br>Cisaillement modéré<br>Modérément carbonatisé<br>1% Py automorphe aux contacts   |                        |                |           |               |             |                      |                        |                      |                        |                         |
|                    |                  | <b>Structure Maj.:</b>  | <b>Type/Core Angle</b> | <b>Comment</b> |           |               |             |                      |                        |                      |                        |                         |
|                    |                  | 186.15 - 188.70   | CIS 60                 |                |           |               |             |                      |                        |                      |                        |                         |
| 188.70             | 193.80           | <b>S1CZPOL polygénique conglomérat indéterminé</b><br>Conglomérat du Timiskaming ? Initialement décrit comme V2ACBX<br>Alternance de bandes gris clair avec des bandes verdâtres<br>Fragments très étirés<br>Non Mag<br>Cisaillement fort |                        |                |           |               |             |                      |                        |                      |                        |                         |



## LITHOLOGY REPORT - Detailed -

Hole Number **RO-01**

Project: **CADILLAC MINING**

Project Number:

| From<br>(m) | To<br>(m) | Lithology   | Sample # | From | To | Length | Zone | AuAA<br>(ppm) | DpAuAA<br>(ppm) | AuGr<br>(ppm) | DpAuGr<br>(ppm) | AuFINAL<br>(ppm) |
|-------------|-----------|---|----------|------|----|--------|------|---------------|-----------------|---------------|-----------------|------------------|
|             |           | Chloritisation et séricitisation modérée<br>Traces de Py automorphe dans la foliation<br>Quelques Ve Qz-Cb discontinues orientées selon la foliation  |          |      |    |        |      |               |                 |               |                 |                  |
|             |           | <b>Structure Maj.:</b>  |          |      |    |        |      |               |                 |               |                 |                  |
|             |           | <b>Type/Core Angle</b>  |          |      |    |        |      |               |                 |               |                 |                  |
|             |           | <b>Comment</b>  |          |      |    |        |      |               |                 |               |                 |                  |
|             |           | 188.70 - 191.40   |          |      |    |        |      |               |                 |               |                 |                  |
|             |           | CIS 50  |          |      |    |        |      |               |                 |               |                 |                  |
|             |           | 191.40 - 191.50   |          |      |    |        |      |               |                 |               |                 |                  |
|             |           | FA9 35  |          |      |    |        |      |               |                 |               |                 |                  |
|             |           | 191.50 - 193.80   |          |      |    |        |      |               |                 |               |                 |                  |
|             |           | CIS 50  |          |      |    |        |      |               |                 |               |                 |                  |
|             |           | <b>Alteration Maj:</b>  |          |      |    |        |      |               |                 |               |                 |                  |
|             |           | <b>Type/Style/Intensity</b>   |          |      |    |        |      |               |                 |               |                 |                  |
|             |           | <b>Comment</b>  |          |      |    |        |      |               |                 |               |                 |                  |
|             |           | 188.70 - 193.80   |          |      |    |        |      |               |                 |               |                 |                  |
|             |           | SE B +  |          |      |    |        |      |               |                 |               |                 |                  |
|             |           | 188.70 - 193.80   |          |      |    |        |      |               |                 |               |                 |                  |
|             |           | CL B +  |          |      |    |        |      |               |                 |               |                 |                  |
| 193.80      | 195.70    | <b>I2SFP Syénite porphyrique à feldspaths</b><br>Couleur gris moyen à sombre à phénocristaux centimétriques de FP blancs-gris automorphes<br>Contact supérieur et inférieur francs 50ac<br>Non Mag<br>Faiblement cisailé 35ac<br>Faiblement carbonatisé<br>Traces à 1% Py disséminée notamment aux contacts<br>Quelques Ve Qz-Cb discordantes |          |      |    |        |      |               |                 |               |                 |                  |
| 195.70      | 196.70    | <b>I2S Syénite</b><br>Couleur gris moyen à sombre<br>Contact inférieur assez progressif avec fragments de syénite dans le sédiment encaissant<br>Non Mag  |          |      |    |        |      |               |                 |               |                 |                  |



## LITHOLOGY REPORT - Detailed -

Hole Number **RO-01**

Project: **CADILLAC MINING**

Project Number:

| From<br>(m) | To<br>(m) | Lithology  | Sample # | From | To | Length | Zone | AuAA<br>(ppm) | DpAuAA<br>(ppm) | AuGr<br>(ppm) | DpAuGr<br>(ppm) | AuFINAL<br>(ppm) |
|-------------|-----------|--|----------|------|----|--------|------|---------------|-----------------|---------------|-----------------|------------------|
|             |           | <p>Quelques lambeaux de sédiments à l'intérieur de l'intrusion<br/>Modérément cisailé<br/>Modérément carbonatisée<br/>1% Py disséminée dans la foliation notamment aux contacts<br/>Quelques Ve Qz-Cb dans la foliation, d'autres Ve discordantes sans orientation particulière</p> <p><b>Structure Maj.:</b>            <b>Type/Core Angle</b>            <b>Comment</b><br/>195.70 - 196.70            CIS 45</p>                            |          |      |    |        |      |               |                 |               |                 |                  |
| 196.70      | 210.70    | <p><b>S1CZPOL</b>            <b>polygénique conglomérat indéterminé</b><br/>Conglomérat du Timiskaming ? Initialement décrit comme V2ACBX.<br/>Idem intervalle 188.7-193.8 m avec fragments de syénite minéralisée bien visible et traces de Py moyenne à grossière dans la foliation.</p>   |          |      |    |        |      |               |                 |               |                 |                  |
| 210.70      | 221.50    | <p><b>I2SFP</b>            <b>Syénite porphyrique à feldspaths</b><br/>Couleur rosée à rougeâtre<br/>Contact supérieur et inférieur francs 65ac<br/>Phénocristaux centimétriques FP automorphes avec surcroissances<br/>Mag ++<br/>Faiblement cisailé, fine fracturation à remplissage chloriteux et Qz-Cb<br/>Hématisation et silicification modérée au contact inférieur<br/>1% Py moyenne disséminée aux contacts sur une dizaine de cm</p> |          |      |    |        |      |               |                 |               |                 |                  |



## LITHOLOGY REPORT - Detailed -

Hole Number **RO-01**

Project: **CADILLAC MINING**

Project Number:

| From<br>(m) | To<br>(m) | Lithology   | Sample # | From   | To     | Length | Zone | AuAA<br>(ppm) | DpAuAA<br>(ppm) | AuGr<br>(ppm) | DpAuGr<br>(ppm) | AuFINAL<br>(ppm) |
|-------------|-----------|---|----------|--|--------|--------|------|---------------|-----------------|---------------|-----------------|------------------|
| 221.50      | 255.60    | <b>S1CZPOL</b> <i>polygénique conglomérat indéterminé</i>   | R47866   | 233.60   | 233.70 | 0.10   |      | -             | -               | -             | -               | 0.01             |
|             |           | Alternance de bandes noirâtres avec des bandes gris moyen à beiges                                      | R47867   | 239.55   | 239.65 | 0.10   |      | -             | -               | -             | -               | 0.01             |
|             |           | Localement Mag-<br>Fragments de syénite minéralisés   | R47868   | 248.55   | 249.20 | 0.65   |      | -             | -               | -             | -               | 0.03             |
|             |           | Fortement déformé. Seconde phase de déformation bien visible avec S1 : 45 ac et S2 : 30ac (crénulation) |          |  |        |        |      |               |                 |               |                 |                  |
|             |           | Faïlle locale avec zone de brèche et Bfa  |          |  |        |        |      |               |                 |               |                 |                  |
|             |           | Chloritisation et séricitisation modérée, localement forte  |          |  |        |        |      |               |                 |               |                 |                  |
|             |           | Traces de Py automorphe   |          |  |        |        |      |               |                 |               |                 |                  |
|             |           | 3-5% Ve Qz-Cb discontinues  |          |  |        |        |      |               |                 |               |                 |                  |
|             |           | <b>Structure Maj.:</b>  |          |  |        |        |      |               |                 |               |                 |                  |
|             |           | <b>Type/Core Angle</b>  |          |  |        |        |      |               |                 |               |                 |                  |
|             |           | 221.50 - 241.80   | CIS      | 40   |        |        |      |               |                 |               |                 |                  |
|             |           | 241.80 - 242.30   | BFA      |  |        |        |      |               |                 |               |                 |                  |
|             |           | 241.80 - 242.30   | FA9      | 40   |        |        |      |               |                 |               |                 |                  |
|             |           | 242.30 - 255.60   | CIS      | 45   |        |        |      |               |                 |               |                 |                  |
|             |           | <b>Alteration Maj.:</b>   |          |  |        |        |      |               |                 |               |                 |                  |
|             |           | <b>Type/Style/Intensity</b>   |          |  |        |        |      |               |                 |               |                 |                  |
|             |           | 228.00 - 242.30   | CL       | PER  | +      |        |      |               |                 |               |                 |                  |
|             |           | 228.00 - 242.30   | SE       | PER  | ++     |        |      |               |                 |               |                 |                  |
|             |           | 242.60 - 244.20   | CL       | PER  | +      |        |      |               |                 |               |                 |                  |
|             |           | 242.60 - 244.20   | CB       | DIS  | ++     |        |      |               |                 |               |                 |                  |
|             |           | 249.20 - 251.60   | CL       | PER  | +      |        |      |               |                 |               |                 |                  |
|             |           | 249.20 - 251.60   | CB       | DIS  | ++     |        |      |               |                 |               |                 |                  |
|             |           | <b>Mineralization Maj. :</b>  |          |  |        |        |      |               |                 |               |                 |                  |
|             |           | <b>Type/Style/%Mineral</b>  |          |  |        |        |      |               |                 |               |                 |                  |
|             |           | 239.55 - 239.65   | PY       | 0  |        |        |      |               |                 |               |                 |                  |
|             |           | <b>Minor Interval:</b>  |          |  |        |        |      |               |                 |               |                 |                  |
|             |           | 226.60  | 227.50   | I2SD   |        |        |      |               |                 |               |                 |                  |
|             |           |   |          | Syénite fracturée et cisailée grise à tendance rosée |        |        |      |               |                 |               |                 |                  |



## LITHOLOGY REPORT - Detailed -

Hole Number **RO-01**

Project: **CADILLAC MINING**

Project Number:

| From<br>(m)            | To<br>(m) | Lithology   | Sample # | From | To | Length | Zone | AuAA<br>(ppm) | DpAuAA<br>(ppm) | AuGr<br>(ppm) | DpAuGr<br>(ppm) | AuFINAL<br>(ppm) |
|------------------------|-----------|---|----------|------|----|--------|------|---------------|-----------------|---------------|-----------------|------------------|
|                        |           | Non Mag<br>Hématisation faible<br>Traces de Py disséminées<br>Fine Ve discontinues de Qz-Cb-Cl  |          |      |    |        |      |               |                 |               |                 |                  |
| <b>Minor Interval:</b> |           |   |          |      |    |        |      |               |                 |               |                 |                  |
| 242.60                 | 244.20    | I2D <span style="float: right;"><i>Diorite</i></span><br>Couleur vert sombre et blanche<br>Non Mag<br>Texture grenue, 60% minéraux blancs (feldspaths, carbonates ?), 40% minéraux sombres (amphiboles, biotites ?)<br>Quelques fragments arrondis (syénite ?)<br>Carbonatisation forte, chloritisation modérée<br>Traces de Py<br><1% Ve Qz-Cb discontinues  |          |      |    |        |      |               |                 |               |                 |                  |
| <b>Minor Interval:</b> |           |   |          |      |    |        |      |               |                 |               |                 |                  |
| 248.60                 | 249.20    | I2S <span style="float: right;"><i>Syénite</i></span><br>Couleur beige rosée<br>Contact supérieur franc 40ac, contact inférieur franc 35ac<br>30-40% phénocristaux blancs millimétriques<br>Mag ++<br>Silicification forte, hématisation et séricitisation faible<br>1-2% Py fine disséminée<br>Réseau de fines fractures Qz-Cb-Cl non orientées  |          |      |    |        |      |               |                 |               |                 |                  |
| <b>Minor Interval:</b> |           |   |          |      |    |        |      |               |                 |               |                 |                  |
| 249.20                 | 251.60    | I2D <span style="float: right;"><i>Diorite</i></span><br>Couleur vert sombre et blanche<br>Contact supérieur franc 30ac, contact inférieur franc et irrégulier<br>Texture grenue, beaucoup de fragments de syénite arrondis à bordure altérée = Diorite intrusive dans la syénite<br>Environ 50% minéraux blancs et 50% minéraux noirs plus ou moins chloritisés en baguette (amphiboles)<br>Fortement carbonatisée et modérément chloritisée<br>Pas de Py<br>Quelques Ve Qz-Cb-Cl discontinues |          |      |    |        |      |               |                 |               |                 |                  |



## LITHOLOGY REPORT - Detailed -

Hole Number **RO-01**

Project: **CADILLAC MINING**

Project Number:

| <i>From</i><br>(m)     | <i>To</i><br>(m) | <i>Lithology</i>  | <i>Sample #</i> | <i>From</i> | <i>To</i> | <i>Length</i> | <i>Zone</i> | <i>AuAA</i><br>(ppm) | <i>DpAuAA</i><br>(ppm) | <i>AuGr</i><br>(ppm) | <i>DpAuGr</i><br>(ppm) | <i>AuFINAL</i><br>(ppm) |
|------------------------|------------------|---|-----------------|-------------|-----------|---------------|-------------|----------------------|------------------------|----------------------|------------------------|-------------------------|
| <b>Minor Interval:</b> |                  |   |                 |             |           |               |             |                      |                        |                      |                        |                         |
| 251.60                 | 251.90           | <b>I2S</b> <i>Syénite</i><br>Même type que la syénite de l'intervalle 248.6-249.2 m<br>Couleur rosée<br>Contact supérieur franc et irrégulier, contact inférieur 45ac<br>Phénocristaux millimétriques légèrement étirés 40ac<br>Mag ++<br>Hématisation modérée, séricitisation faible<br>Pas de Py<br>Pas de Ve   |                 |             |           |               |             |                      |                        |                      |                        |                         |
| 255.60                 | 269.70           | <b>I2S</b> <i>Syénite</i><br>Couleur gris sombre à rougeâtre<br>Contact supérieur franc 65ac, contact inférieur franc 80ac<br>Phénocristaux blancs millimétriques étirés, quelques phénocristaux centimétriques avec surcroissances<br>Mag - à Mag +<br>Cisaillement modéré 50ac<br>Hématisation modérée, séricitisation faible, carbonatation forte locale et chloritisation sous forme de minces filonnets dans les plans de foliation.<br>Traces de Py disséminée, localement 1% notamment associée à la chlorite<br>1% Ve Qz-Cb-CI-(Py) discordantes parfois discontinues | R47869          | 265.20      | 265.50    | 0.30          |             | -                    | -                      | -                    | -                      | 0.02                    |
|                        |                  |   | R47870          | 266.00      | 266.20    | 0.20          |             | -                    | -                      | -                    | -                      | 0.11                    |
| <b>Structure Maj.:</b> |                  | <b>Type/Core Angle</b>  | <b>Comment</b>  |             |           |               |             |                      |                        |                      |                        |                         |
| 255.60 - 269.70        |                  | CIS 50  | +               |             |           |               |             |                      |                        |                      |                        |                         |
| <b>Minor Interval:</b> |                  |   |                 |             |           |               |             |                      |                        |                      |                        |                         |
| 258.80                 | 259.90           | <b>I2D</b> <i>Diorite</i><br>Couleur vert sombre et blanche<br>Contact supérieur franc 25ac, contact inférieur franc 15ac<br>Non Mag<br>Texture grenue assez hétérogène, 60% minéraux blancs, 40% minéraux sombre (baguettes d'amphiboles)<br>Carbonatation forte et chloritisation modérée<br>Traces de Py en amas   |                 |             |           |               |             |                      |                        |                      |                        |                         |



## LITHOLOGY REPORT - Detailed -

Hole Number **RO-01**

Project: **CADILLAC MINING**

Project Number:

| <i>From</i><br>(m)      | <i>To</i><br>(m) | <i>Lithology</i>   | <i>Sample #</i> | <i>From</i> | <i>To</i> | <i>Length</i> | <i>Zone</i> | <i>AuAA</i><br>(ppm) | <i>DpAuAA</i><br>(ppm) | <i>AuGr</i><br>(ppm) | <i>DpAuGr</i><br>(ppm) | <i>AuFINAL</i><br>(ppm) |
|-------------------------|------------------|--|-----------------|-------------|-----------|---------------|-------------|----------------------|------------------------|----------------------|------------------------|-------------------------|
|                         |                  | Quelques Ve discontinues de Qz-Cb  |                 |             |           |               |             |                      |                        |                      |                        |                         |
| <b>Minor Interval:</b>  |                  |  |                 |             |           |               |             |                      |                        |                      |                        |                         |
| 260.80                  | 262.00           | S1CZPOL <i>polygénique conglomérat indéterminé</i><br>Alternance de bandes vert sombres et grises<br>Pas de Py<br>Cisaillement forte avec crénulation légère   |                 |             |           |               |             |                      |                        |                      |                        |                         |
| <b>Minor Interval:</b>  |                  |  |                 |             |           |               |             |                      |                        |                      |                        |                         |
| 269.20                  | 269.50           | S1CZPOL <i>polygénique conglomérat indéterminé</i><br>Idem 260.8-262 m   |                 |             |           |               |             |                      |                        |                      |                        |                         |
| 269.70                  | 292.30           | <b>S1CZPOL</b> <i>polygénique conglomérat indéterminé</i><br>Conglomérat du Timiskaming ? Initialement décrit comme V2ACBX<br>Couleur gris moyen à clair<br>Localement Mag- (fragments)<br>Cisaillement modéré<br>Séricitisation modérée à forte, chloritisation modérée<br>Rares traces de Py<br>Quelques Ve Qz-Cb discontinues | R47871          | 271.80      | 271.95    | 0.15          |             | -                    | -                      | -                    | -                      | 0.03                    |
|                         |                  |  | R47889          | 283.25      | 283.55    | 0.30          |             | -                    | -                      | -                    | -                      | 0.07                    |
| <b>Structure Maj.:</b>  |                  | <b>Type/Core Angle</b>   | <b>Comment</b>  |             |           |               |             |                      |                        |                      |                        |                         |
| 269.70 - 292.30         |                  | CIS 55   |                 |             |           |               |             |                      |                        |                      |                        |                         |
| <b>Alteration Maj.:</b> |                  | <b>Type/Style/Intensity</b>  | <b>Comment</b>  |             |           |               |             |                      |                        |                      |                        |                         |
| 269.70 - 292.30         |                  | SE PER ++  |                 |             |           |               |             |                      |                        |                      |                        |                         |
| <b>Minor Interval:</b>  |                  |  |                 |             |           |               |             |                      |                        |                      |                        |                         |
| 283.20                  | 285.20           | I2S <i>Syénite</i><br>Couleur gris moyen<br>Contact supérieur et inférieur francs respectivement 65ac et 55ac<br>Non Mag<br>Cisaillement modéré<br>Chloritisation dans les plans de foliation  |                 |             |           |               |             |                      |                        |                      |                        |                         |





## LITHOLOGY REPORT - Detailed -

Hole Number **RO-01**

Project: **CADILLAC MINING**

Project Number:

| From<br>(m) | To<br>(m) | Lithology   | Sample #                    | From  | To | Length | Zone | AuAA<br>(ppm) | DpAuAA<br>(ppm) | AuGr<br>(ppm) | DpAuGr<br>(ppm) | AuFINAL<br>(ppm) |
|-------------|-----------|---|-----------------------------|---|----|--------|------|---------------|-----------------|---------------|-----------------|------------------|
|             |           | <b>Minor Interval:</b>  |                             |   |    |        |      |               |                 |               |                 |                  |
|             | 305.10    | 305.70  | S1CZPOL                     | <i>polygénique conglomérat indéterminé</i><br>Déformation importante avec S1 : 30ac et S2 : 55ac (néanmoins variable) |    |        |      |               |                 |               |                 |                  |
| 306.90      | 317.25    | <b>S1CZPOL</b> <i>polygénique conglomérat indéterminé</i><br>Conglomérat du Timiskaming ? Initialement décrit comme V2ACBX<br>Alternance de bandes grises et bandes vertes sombre<br>Non Mag<br>Cisaillement modéré 65ac<br>Chloritisation modérée<br>Traces de Py automorphe<br>5% Ve Qz-Cb discontinues   |                             |   |    |        |      |               |                 |               |                 |                  |
| 317.25      | 324.84    | <b>I2SFP</b> <i>Syénite porphyrique à feldspaths</i><br>Initialement décrit I2SA (V2APOR?)<br>Couleur grise assez sombre à porphyre rosé.<br>Contact supérieur net mais irrégulier à environ 70-75°AC (ondulé).<br>Contact inférieur net en U de 323.77 à 324.84 (apex à 70°AC).<br>Mag +.<br>PY 2% au contact supérieur sur 5cm, puis TR à 0.5%. DIS assez fines.<br>Porphyres automorphes Feds (plagio+K), de 3mm à 2c-3cm (rectangulaires et plus trappus) à 25%,<br>blanc-rosés, localement stries de croissance visibles.<br>CIS très faible et discontinue à 60°AC.<br>CL+ en FF, CB- DIS, HM- PER. |                             |   |    |        |      |               |                 |               |                 |                  |
|             |           | <b>Structure Maj.:</b>  | <b>Type/Core Angle</b>      | <b>Comment</b>  |    |        |      |               |                 |               |                 |                  |
|             |           | 317.25 - 324.84   | CIS 60                      | Faible et discontinu.   |    |        |      |               |                 |               |                 |                  |
|             |           | <b>Alteration Maj.:</b>   | <b>Type/Style/Intensity</b> | <b>Comment</b>  |    |        |      |               |                 |               |                 |                  |



## LITHOLOGY REPORT - Detailed -

Hole Number **RO-01**

Project: **CADILLAC MINING**

Project Number:

| <i>From<br/>(m)</i> | <i>To<br/>(m)</i>            | <i>Lithology</i>  | <i>Sample #</i>                    | <i>From</i> | <i>To</i> | <i>Length</i> | <i>Zone</i> | <i>AuAA<br/>(ppm)</i> | <i>DpAuAA<br/>(ppm)</i> | <i>AuGr<br/>(ppm)</i> | <i>DpAuGr<br/>(ppm)</i> | <i>AuFINAL<br/>(ppm)</i> |
|---------------------|------------------------------|---|------------------------------------|-------------|-----------|---------------|-------------|-----------------------|-------------------------|-----------------------|-------------------------|--------------------------|
|                     | 317.25 - 324.84              | HM PER - très légère.   |                                    |             |           |               |             |                       |                         |                       |                         |                          |
|                     | 317.25 - 324.84              | CL FF +   |                                    |             |           |               |             |                       |                         |                       |                         |                          |
|                     | 317.25 - 324.84              | CB DIS -  |                                    |             |           |               |             |                       |                         |                       |                         |                          |
|                     | <b>Mineralization Maj. :</b> | <b>Type/Style/%Mineral</b>  | <b>Comment</b>                     |             |           |               |             |                       |                         |                       |                         |                          |
|                     | 317.25 - 324.84              | PY DIS 0.1  | TR à localement 0.5-1% assez fine. |             |           |               |             |                       |                         |                       |                         |                          |
| 324.84              | 336.80                       | <b>S1CZPOL polygénique conglomérat indéterminé</b>  | R47891                             | 331.00      | 331.70    | 0.70          |             | -                     | -                       | -                     | -                       | 0.01                     |
|                     |                              | Initialement décrit V2ACBX.   | R47892                             | 332.80      | 333.45    | 0.65          |             | -                     | -                       | -                     | -                       | 0.05                     |
|                     |                              | Couleur vert-moyen à sombre (+sombre après 331.59m)   | R47893                             | 335.10      | 335.50    | 0.40          |             | -                     | -                       | -                     | -                       | 0.02                     |
|                     |                              | Contact supérieur net en U de 323.77 à 324.84 (apex à 70°AC).   | R47894                             | 335.50      | 336.27    | 0.77          |             | -                     | -                       | -                     | -                       | 0.02                     |
|                     |                              | Contact inférieur progressif (apparition de porphyres de 5mm en moyenne, pris dans le cisaillement, puis contact net et franc à 65°AC à partir de 336.87m). | GM85173                            | 336.27      | 336.87    | 0.60          |             | 0.00                  | -                       | -                     | -                       | 0.00                     |
|                     |                              | Mag nul.  |                                    |             |           |               |             |                       |                         |                       |                         |                          |
|                     |                              | Py TR (DIS isolées).  |                                    |             |           |               |             |                       |                         |                       |                         |                          |
|                     |                              | Fragments polygéniques, vert-moyen à gris (+ gréseux), avec bandes CL++ en alternance de 3-5mm en moyenne.  |                                    |             |           |               |             |                       |                         |                       |                         |                          |
|                     |                              | VE de Cb blancs à 4%, discontinues de 2mm en moyenne.   |                                    |             |           |               |             |                       |                         |                       |                         |                          |
|                     |                              | CIS à 60°AC en moyenne, avec microplissements abondants.  |                                    |             |           |               |             |                       |                         |                       |                         |                          |
|                     |                              | BFA et débit schisteux de 328.39 à 328.7m.  |                                    |             |           |               |             |                       |                         |                       |                         |                          |
|                     |                              | Dyke syénitiques de 330.95 à 331.59m; de 332.82 à 333.44m; 335.2 à 335.53 et de 335.8 à 336.27m.  |                                    |             |           |               |             |                       |                         |                       |                         |                          |
|                     | <b>Structure Maj.:</b>       | <b>Type/Core Angle</b>  | <b>Comment</b>                     |             |           |               |             |                       |                         |                       |                         |                          |
|                     | 324.84 - 328.39              | CIS 60  | ++; ±5°AC.                         |             |           |               |             |                       |                         |                       |                         |                          |
|                     | 328.39 - 328.70              | BFA 45  | Boue verdâtre carbonatée à 5%.     |             |           |               |             |                       |                         |                       |                         |                          |
|                     | 328.39 - 328.70              | SCHC 50   |                                    |             |           |               |             |                       |                         |                       |                         |                          |
|                     | 328.39 - 328.70              | CIS 50  | ++                                 |             |           |               |             |                       |                         |                       |                         |                          |
|                     | 328.70 - 336.80              | CIS 60  | ++; ±5°AC                          |             |           |               |             |                       |                         |                       |                         |                          |
|                     | <b>Alteration Maj:</b>       | <b>Type/Style/Intensity</b>   | <b>Comment</b>                     |             |           |               |             |                       |                         |                       |                         |                          |



## LITHOLOGY REPORT - Detailed -

Hole Number **RO-01**

Project: **CADILLAC MINING**

Project Number:

| From<br>(m) | To<br>(m)                    | Lithology   | Sample # | From | To | Length | Zone | AuAA<br>(ppm) | DpAuAA<br>(ppm) | AuGr<br>(ppm) | DpAuGr<br>(ppm) | AuFINAL<br>(ppm) |
|-------------|------------------------------|---|----------|------|----|--------|------|---------------|-----------------|---------------|-----------------|------------------|
|             | 324.84 - 336.80              | CB VE +   |          |      |    |        |      |               |                 |               |                 |                  |
|             | 324.84 - 336.80              | CL B ++   |          |      |    |        |      |               |                 |               |                 |                  |
|             | 324.84 - 336.80              | CL PER +  |          |      |    |        |      |               |                 |               |                 |                  |
|             | <b>Mineralization Maj. :</b> | <b>Type/Style/Mineral</b>   |          |      |    |        |      |               |                 |               |                 |                  |
|             | 324.84 - 336.80              | PY DIS 0.1  |          |      |    |        |      |               |                 |               |                 |                  |
|             | <b>Vein Maj.:</b>            | <b>Type/Mineral</b>   |          |      |    |        |      |               |                 |               |                 |                  |
|             | 324.84 - 336.80              | VE cb   |          |      |    |        |      | 4.0           |                 | 65            |                 |                  |
|             | <b>Minor Interval:</b>       |   |          |      |    |        |      |               |                 |               |                 |                  |
|             | 330.95 - 331.59              | I2S Syénite<br>Initialement décrit I2SD PY3.<br>Couleur rougeâtre.<br>Contact supérieur net à 70°AC.<br>Contact inférieur net mais ondulé à 60°AC en moyenne.<br>Mag ++.<br>Py 2% DIS assez grossière.<br>Porphyres (?) bleutés.<br>HM PER +, CB PER +, CL DIS +.<br>CIS à 60°AC, modéré. |          |      |    |        |      |               |                 |               |                 |                  |
|             | <b>Structure Min.:</b>       | <b>Type/Core Angle</b>  |          |      |    |        |      |               |                 |               |                 |                  |
|             | 330.95 - 331.59              | CIS 60  |          |      |    |        |      |               |                 |               |                 |                  |
|             | <b>Alteration Min:</b>       | <b>Type/Style/Intensity</b>   |          |      |    |        |      |               |                 |               |                 |                  |
|             | 330.95 - 331.59              | CL DIS +  |          |      |    |        |      |               |                 |               |                 |                  |
|             | 330.95 - 331.59              | CB PER +  |          |      |    |        |      |               |                 |               |                 |                  |
|             | 330.95 - 331.59              | HM PER +  |          |      |    |        |      |               |                 |               |                 |                  |
|             | <b>Mineralization Min:</b>   | <b>Type/Style/Mineral</b>   |          |      |    |        |      |               |                 |               |                 |                  |
|             | 330.95 - 331.59              | PY DIS 2  |          |      |    |        |      |               |                 |               |                 |                  |
|             |                              | Grossières.   |          |      |    |        |      |               |                 |               |                 |                  |



## LITHOLOGY REPORT - Detailed -

Hole Number **RO-01**

Project: **CADILLAC MINING**

Project Number:

| From<br>(m)                 | To<br>(m) | Lithology  | Sample #       | From | To | Length | Zone | AuAA<br>(ppm) | DpAuAA<br>(ppm) | AuGr<br>(ppm) | DpAuGr<br>(ppm) | AuFINAL<br>(ppm) |
|-----------------------------|-----------|--|----------------|------|----|--------|------|---------------|-----------------|---------------|-----------------|------------------|
| <b>Minor Interval:</b>      |           |  |                |      |    |        |      |               |                 |               |                 |                  |
| 332.82                      | 333.44    | I2S <i>Syénite</i><br>Initialement décrit I2SD.<br>Couleur rosé-rougeâtre.<br>Contact supérieur assez diffus ? (carotte non jointives).<br>Contact inférieur net à 70°AC.<br>Mag ++.<br>PY 2% grossière.<br>Rares porphyres visibles de 5mm en moyenne <1% (au contact supérieur).<br>Textures bréchifiée par microfractures CL++ (marquant les plans de cisaillement).<br>CIS à 75°AC faible. |                |      |    |        |      |               |                 |               |                 |                  |
| <b>Structure Min.:</b>      |           | <b>Type/Core Angle</b>   | <b>Comment</b> |      |    |        |      |               |                 |               |                 |                  |
| 332.82 - 333.44             |           | CIS 75   | -              |      |    |        |      |               |                 |               |                 |                  |
| <b>Alteration Min.:</b>     |           | <b>Type/Style/Intensity</b>  | <b>Comment</b> |      |    |        |      |               |                 |               |                 |                  |
| 332.82 - 333.44             |           | CL FF +  |                |      |    |        |      |               |                 |               |                 |                  |
| 332.82 - 333.44             |           | HM PER ++  |                |      |    |        |      |               |                 |               |                 |                  |
| <b>Mineralization Min.:</b> |           | <b>Type/Style/%Mineral</b>   | <b>Comment</b> |      |    |        |      |               |                 |               |                 |                  |
| 332.82 - 333.44             |           | PY DIS 2   | Grossières.    |      |    |        |      |               |                 |               |                 |                  |



## LITHOLOGY REPORT - Detailed -

Hole Number **RO-01**

Project: **CADILLAC MINING**

Project Number:

| From<br>(m)            | To<br>(m)                  | Lithology | Sample #                    | From   | To | Length | Zone | AuAA<br>(ppm) | DpAuAA<br>(ppm) | AuGr<br>(ppm) | DpAuGr<br>(ppm) | AuFINAL<br>(ppm) |
|------------------------|----------------------------|-----------|-----------------------------|--|----|--------|------|---------------|-----------------|---------------|-----------------|------------------|
| <b>Minor Interval:</b> |                            |           |                             |  |    |        |      |               |                 |               |                 |                  |
|                        | 335.20                     | 335.53    | I2SQFP                      | <i>Syénite porphyrique à quartz et feldspaths</i>            |    |        |      |               |                 |               |                 |                  |
|                        |                            |           |                             | Initialement décrit I2SD PY3.                                |    |        |      |               |                 |               |                 |                  |
|                        |                            |           |                             | Couleur gris-rosé.   |    |        |      |               |                 |               |                 |                  |
|                        |                            |           |                             | Contact supérieur fracturé.                                  |    |        |      |               |                 |               |                 |                  |
|                        |                            |           |                             | Contact inférieur assez net à 60°AC.                         |    |        |      |               |                 |               |                 |                  |
|                        |                            |           |                             | Mag +.   |    |        |      |               |                 |               |                 |                  |
|                        |                            |           |                             | PY 2-3% fine.  |    |        |      |               |                 |               |                 |                  |
|                        |                            |           |                             | Porphyre de QZ gris + felds à 20% sub-anguleux de 1mm à 1cm. |    |        |      |               |                 |               |                 |                  |
|                        |                            |           |                             | SI PER +, HM PER -, SE PER - (locale).                       |    |        |      |               |                 |               |                 |                  |
|                        | <b>Texture Min:</b>        |           | <b>Type</b>                 | <b>Comment</b>   |    |        |      |               |                 |               |                 |                  |
|                        | 335.20 - 335.53            |           | PORP                        |  |    |        |      |               |                 |               |                 |                  |
|                        | <b>Alteration Min:</b>     |           | <b>Type/Style/Intensity</b> | <b>Comment</b>   |    |        |      |               |                 |               |                 |                  |
|                        | 335.20 - 335.53            |           | SE ZN -                     |  |    |        |      |               |                 |               |                 |                  |
|                        | 335.20 - 335.53            |           | HM PER -                    |  |    |        |      |               |                 |               |                 |                  |
|                        | 335.20 - 335.53            |           | SI PER +                    |  |    |        |      |               |                 |               |                 |                  |
|                        | <b>Mineralization Min:</b> |           | <b>Type/Style/%Mineral</b>  | <b>Comment</b>   |    |        |      |               |                 |               |                 |                  |
|                        | 335.20 - 335.53            |           | PY DIS 2                    | 2-3% fine.   |    |        |      |               |                 |               |                 |                  |



## LITHOLOGY REPORT - Detailed -

Hole Number **RO-01**

Project: **CADILLAC MINING**

Project Number:

| <i>From</i><br>(m)          | <i>To</i><br>(m) | <i>Lithology</i>  | <i>Sample #</i>               | <i>From</i> | <i>To</i> | <i>Length</i> | <i>Zone</i> | <i>AuAA</i><br>(ppm) | <i>DpAuAA</i><br>(ppm) | <i>AuGr</i><br>(ppm) | <i>DpAuGr</i><br>(ppm) | <i>AuFINAL</i><br>(ppm) |
|-----------------------------|------------------|---|-------------------------------|-------------|-----------|---------------|-------------|----------------------|------------------------|----------------------|------------------------|-------------------------|
| <b>Minor Interval:</b>      |                  |   |                               |             |           |               |             |                      |                        |                      |                        |                         |
| 335.80                      | 336.27           | I2S <i>Syénite</i><br>Initialement décrit I2SD PY3.<br>Couleur rosé-rougeâtre.<br>Contact supérieur net et franc à 45°AC.<br>Contact inférieur net mais irrégulier..<br>Mag +.<br>PY 2% à 4% aux contacts.<br>Porphyres à 5%, gris-verdâtre-bleuâtres, avec rares stries de croissances visibles, de formes sub-automorphes.<br>CIS à 65°AC, modéré.  |                               |             |           |               |             |                      |                        |                      |                        |                         |
| <b>Structure Min.:</b>      |                  | <b>Type/Core Angle</b>  | <b>Comment</b>                |             |           |               |             |                      |                        |                      |                        |                         |
| 335.80 - 336.27             |                  | CIS 65  | +                             |             |           |               |             |                      |                        |                      |                        |                         |
| <b>Alteration Min.:</b>     |                  | <b>Type/Style/Intensity</b>   | <b>Comment</b>                |             |           |               |             |                      |                        |                      |                        |                         |
| 335.80 - 336.27             |                  | CL DIS -  |                               |             |           |               |             |                      |                        |                      |                        |                         |
| 335.80 - 336.27             |                  | CB DIS -  |                               |             |           |               |             |                      |                        |                      |                        |                         |
| 335.80 - 336.27             |                  | HM PER ++   |                               |             |           |               |             |                      |                        |                      |                        |                         |
| <b>Mineralization Min.:</b> |                  | <b>Type/Style/%Mineral</b>  | <b>Comment</b>                |             |           |               |             |                      |                        |                      |                        |                         |
| 335.80 - 336.27             |                  | PY DIS 3  | 2 à 4-5% aux contacts, fines. |             |           |               |             |                      |                        |                      |                        |                         |
| 336.80                      | 354.04           | <b>I2SFP</b> <i>Syénite porphyrique à feldspaths</i><br>Couleur gris-brun-rougeâtre.<br>Contact supérieur progressif (apparition de porphyres de 5mm en moyenne, pris dans le cisaillement, puis contact net et franc à 65°AC à partir de 336.87m).<br>Contact inférieur assez diffus à environ 40°AC.<br>Mag - à nul jusqu'à 338.9, puis - à +.<br>PY 5% au contact supérieur, puis 2-3% jusqu'à 338.9m, puis TR à 1%, variable.<br>Porphyres felds gris-bleuâtres sub-automorphes à 10-15%, en moyenne de 5mm à 1cm (plus blancs en début de passe jusqu'à 338.9m (à 15-20% de 3mm à 1cm).<br>CIS à 65°AC faible à modéré (plus marqué après 346.2m). | GM85174                       | 336.87      | 337.77    | 0.90          |             | 0.00                 | -                      | -                    | -                      | 0.00                    |
|                             |                  |   | GM85177                       | 337.77      | 338.80    | 1.03          |             | 0.01                 | -                      | -                    | -                      | 0.01                    |
|                             |                  |   | GM85178                       | 338.80      | 339.80    | 1.00          |             | 0.01                 | -                      | -                    | -                      | 0.01                    |
|                             |                  |   | GM85179                       | 350.00      | 351.00    | 1.00          |             | 0.03                 | -                      | -                    | -                      | 0.03                    |
|                             |                  |   | GM85180                       | 351.00      | 352.00    | 1.00          |             | 0.14                 | -                      | -                    | -                      | 0.14                    |
|                             |                  |   | GM85181                       | 352.00      | 353.00    | 1.00          |             | 0.01                 | 0.01                   | -                    | -                      | 0.01                    |
| <b>Structure Maj.:</b>      |                  | <b>Type/Core Angle</b>  | <b>Comment</b>                |             |           |               |             |                      |                        |                      |                        |                         |
| 336.80 - 346.20             |                  | CIS 65  | -                             |             |           |               |             |                      |                        |                      |                        |                         |



## LITHOLOGY REPORT - Detailed -

Hole Number **RO-01**

Project: **CADILLAC MINING**

Project Number:

| <i>From</i><br>(m) | <i>To</i><br>(m) | <i>Lithology</i>   | <i>Sample #</i> | <i>From</i> | <i>To</i> | <i>Length</i> | <i>Zone</i> | <i>AuAA</i><br>(ppm) | <i>DpAuAA</i><br>(ppm) | <i>AuGr</i><br>(ppm) | <i>DpAuGr</i><br>(ppm) | <i>AuFINAL</i><br>(ppm) |
|--------------------|------------------|--|-----------------|-------------|-----------|---------------|-------------|----------------------|------------------------|----------------------|------------------------|-------------------------|
|                    | 346.20 - 354.04  | CIS 65 +   |                 |             |           |               |             |                      |                        |                      |                        |                         |
|                    |                  | <b>Alteration Maj:</b>   |                 |             |           |               |             |                      |                        |                      |                        |                         |
|                    |                  | <i>Type/Style/Intensity</i>  |                 |             |           |               |             |                      |                        |                      |                        |                         |
|                    |                  | <i>Comment</i>   |                 |             |           |               |             |                      |                        |                      |                        |                         |
|                    | 336.80 - 338.90  | CL B +   |                 |             |           |               |             |                      |                        |                      |                        |                         |
|                    | 336.80 - 338.90  | HM PER -   |                 |             |           |               |             |                      |                        |                      |                        |                         |
|                    | 338.90 - 354.04  | CL B +   |                 |             |           |               |             |                      |                        |                      |                        |                         |
|                    |                  |  |                 |             |           |               |             |                      |                        |                      |                        |                         |
|                    | 338.90 - 354.04  | CB PER +   |                 |             |           |               |             |                      |                        |                      |                        |                         |
|                    | 338.90 - 354.04  | HM PER -   |                 |             |           |               |             |                      |                        |                      |                        |                         |
|                    |                  |  |                 |             |           |               |             |                      |                        |                      |                        |                         |
|                    |                  | <b>Mineralization Maj. :</b>   |                 |             |           |               |             |                      |                        |                      |                        |                         |
|                    |                  | <i>Type/Style/%Mineral</i>   |                 |             |           |               |             |                      |                        |                      |                        |                         |
|                    |                  | <i>Comment</i>   |                 |             |           |               |             |                      |                        |                      |                        |                         |
|                    | 336.80 - 337.00  | PY DIS 5   |                 |             |           |               |             |                      |                        |                      |                        |                         |
|                    | 337.00 - 338.90  | PY DIS 2   |                 |             |           |               |             |                      |                        |                      |                        |                         |
|                    | 338.90 - 354.04  | PY DIS 0.5   |                 |             |           |               |             |                      |                        |                      |                        |                         |
|                    |                  |  |                 |             |           |               |             |                      |                        |                      |                        |                         |
| 354.04             | 363.26           | <b>I2SFP</b> <b>Syénite porphyrique à feldspaths</b><br>Couleur gris-sombre à porphyre rosés.<br>Contact supérieur assez diffus à environ 40°AC.<br>Contact inférieur sur changement net de l'abondance et de l'allure des porphyres à 85°AC.<br>Mag ++.<br>Py TR localement 1%.<br>Porphyres felds de 30 à 40% de 3-5mm en moyenne, sub-automorphes gris-verdâtre à rosés.<br>Non déformée. |                 |             |           |               |             |                      |                        |                      |                        |                         |
|                    |                  | <b>Alteration Maj:</b>   |                 |             |           |               |             |                      |                        |                      |                        |                         |
|                    |                  | <i>Type/Style/Intensity</i>  |                 |             |           |               |             |                      |                        |                      |                        |                         |
|                    |                  | <i>Comment</i>   |                 |             |           |               |             |                      |                        |                      |                        |                         |
|                    | 354.04 - 363.26  | HM ZN -  |                 |             |           |               |             |                      |                        |                      |                        |                         |
|                    |                  |  |                 |             |           |               |             |                      |                        |                      |                        |                         |
|                    |                  | <b>Mineralization Maj. :</b>   |                 |             |           |               |             |                      |                        |                      |                        |                         |
|                    |                  | <i>Type/Style/%Mineral</i>   |                 |             |           |               |             |                      |                        |                      |                        |                         |
|                    |                  | <i>Comment</i>   |                 |             |           |               |             |                      |                        |                      |                        |                         |
|                    | 354.04 - 363.26  | PY DIS 0.1   |                 |             |           |               |             |                      |                        |                      |                        |                         |



## LITHOLOGY REPORT - Detailed -

Hole Number **RO-01**

Project: **CADILLAC MINING**

Project Number:

| From<br>(m) | To<br>(m) | Lithology   | Sample # | From   | To     | Length | Zone | AuAA<br>(ppm) | DpAuAA<br>(ppm) | AuGr<br>(ppm) | DpAuGr<br>(ppm) | AuFINAL<br>(ppm) |
|-------------|-----------|---|----------|--------|--------|--------|------|---------------|-----------------|---------------|-----------------|------------------|
| 363.26      | 367.60    | <p><b>I2SFP Syénite porphyrique à feldspaths</b></p> <p>Syénite Idem à l'intervalle 317.25 à 324.84m (Monzonite?)<br/>           Couleur grise assez sombre à porphyre rosé.<br/>           Contact supérieur sur changement net de l'abondance et de l'allure des porphyres à 85°AC.<br/>           Contact inférieur sur carottes non jointives.<br/>           Mag +, localement -.<br/>           PY 1-2% localement, en moyenne à 0.5%, DIS assez fines.<br/>           Porphyres automorphes Feds (plagio+K), de 3mm à 2-3cm (rectangulaires et plus trappus) à 25%, blanc-rosés, localement stries de croissance visibles.<br/>           CIS très faible et discontinue à 70°AC.<br/>           CL+ en FF peu abondantes, CB- DIS, HM- PER.</p> <p><b>Structure Maj.:</b>      <b>Type/Core Angle</b>      <b>Comment</b><br/>           363.26 - 367.60      CIS 70      Faible et discontinu.</p> <p><b>Alteration Maj:</b>      <b>Type/Style/Intensity</b>      <b>Comment</b><br/>           363.26 - 367.60      CL FF +      rares.<br/>           363.26 - 367.60      CB DIS -<br/>           363.26 - 367.60      HM PER -</p> <p><b>Mineralization Maj.:</b>      <b>Type/Style/%Mineral</b>      <b>Comment</b><br/>           363.26 - 367.60      PY DIS 0.5      TR à 1%, localement 1-2% assez fines.</p> | R47895   | 365.25 | 365.60 | 0.35   |      | -             | -               | -             | -               | 0.12             |
| 367.60      | 372.70    | <p><b>I2SFP Syénite porphyrique à feldspaths</b></p> <p>Syénite Idem à l'intervalle 336.8 à 354.04m.<br/>           Couleur gris-brun-rougeâtre.<br/>           Contact supérieur sur carottes non jointives.<br/>           Contact inférieur très irrégulier, non franc.<br/>           Mag - à nul, + en fin de passe après 372m.<br/>           PY TR, localement 1% assez grossière.<br/>           Porphyres felds gris-bleuâtres sub-automorphes à 10-15%, en moyenne de 5mm à 1cm.<br/>           CL DIS ++ et localement biotite identifiable.<br/>           CIS à 70°AC faible.</p>  |          |        |        |        |      |               |                 |               |                 |                  |



LITHOLOGY REPORT  
- Detailed -

Hole Number **RO-01**

Project: **CADILLAC MINING**

Project Number:

| <i>From</i><br>(m) | <i>To</i><br>(m) | <i>Lithology</i>   | <i>Sample #</i>                         | <i>From</i>                         | <i>To</i> | <i>Length</i> | <i>Zone</i> | <i>AuAA</i><br>(ppm) | <i>DpAuAA</i><br>(ppm) | <i>AuGr</i><br>(ppm) | <i>DpAuGr</i><br>(ppm) | <i>AuFINAL</i><br>(ppm) |
|--------------------|------------------|--|---|-------------------------------------|-----------|---------------|-------------|----------------------|------------------------|----------------------|------------------------|-------------------------|
|                    |                  | <b>Structure Maj.:</b>   | <b>Type/Core Angle</b>                  | <b>Comment</b>                      |           |               |             |                      |                        |                      |                        |                         |
|                    |                  | 367.60 - 372.70  | CIS 70                                  | -                                   |           |               |             |                      |                        |                      |                        |                         |
|                    |                  | <b>Alteration Maj:</b>   | <b>Type/Style/Intensity</b>             | <b>Comment</b>                      |           |               |             |                      |                        |                      |                        |                         |
|                    |                  | 367.60 - 372.70  | CL B +                                  | Discontinues.                       |           |               |             |                      |                        |                      |                        |                         |
|                    |                  | 367.60 - 372.70  | CB DIS -                                |                                     |           |               |             |                      |                        |                      |                        |                         |
|                    |                  | 367.60 - 372.70  | HM PER -                                | Localement +                        |           |               |             |                      |                        |                      |                        |                         |
|                    |                  | <b>Mineralization Maj. :</b>   | <b>Type/Style/%Mineral</b>              | <b>Comment</b>                      |           |               |             |                      |                        |                      |                        |                         |
|                    |                  | 367.60 - 372.70  | PY DIS 0.1                              | TR à localement 1% assez grossière. |           |               |             |                      |                        |                      |                        |                         |
| 372.70             | 378.78           | <b>I2SFP</b>   | <b>Syénite porphyrique à feldspaths</b> |                                     |           |               |             |                      |                        |                      |                        |                         |
|                    |                  | <p>Couleur rosé à légèrement verdâtre.<br/>           Contact supérieur très irrégulier, non franc.<br/>           Contact inférieur net mais localement irrégulier à 60°AC sur la partie franche.<br/>           Mag - à + puis ++ après 375m.<br/>           Py TR.<br/>           Porphyres de 2 à 5mm en moyenne, automorphes à sub-automorphes (en lattes à sub-arrondis), beige-rosé à localement verdâtres à 40%.<br/>           Changements locales de textures avec des porphyres similiaires à la lithologie supérieur (porphyres centimétriques gris-bleuâtre-verdâtre à 15% sur passes de 5 à 10cm sans contact franc, particulièrement en fin de passe).<br/>           CIS à 70°AC, très faible et discontinu, essentiellement sur les passes à porphyres centimétriques (orientation primaire?)<br/>           HM PER- (localement + en bandes aux épontes de veinules et microfractures; CL PER- et quelques enclaves CL+.</p> |   |                                     |           |               |             |                      |                        |                      |                        |                         |
|                    |                  | <b>Structure Maj.:</b>   | <b>Type/Core Angle</b>                  | <b>Comment</b>                      |           |               |             |                      |                        |                      |                        |                         |
|                    |                  | 372.70 - 378.78  | CIS 70                                  | Très faible et discontinu.          |           |               |             |                      |                        |                      |                        |                         |
|                    |                  | <b>Alteration Maj:</b>   | <b>Type/Style/Intensity</b>             | <b>Comment</b>                      |           |               |             |                      |                        |                      |                        |                         |
|                    |                  | 372.70 - 378.78  | CL ZN +                                 | Enclaves <1%.                       |           |               |             |                      |                        |                      |                        |                         |



LITHOLOGY REPORT  
- Detailed -

Hole Number **RO-01**

Project: **CADILLAC MINING**

Project Number:

| <i>From</i><br>(m) | <i>To</i><br>(m)             | <i>Lithology</i>  | <i>Sample #</i>             | <i>From</i>    | <i>To</i> | <i>Length</i> | <i>Zone</i> | <i>AuAA</i><br>(ppm) | <i>DpAuAA</i><br>(ppm) | <i>AuGr</i><br>(ppm) | <i>DpAuGr</i><br>(ppm) | <i>AuFINAL</i><br>(ppm) |
|--------------------|------------------------------|---|-----------------------------|----------------|-----------|---------------|-------------|----------------------|------------------------|----------------------|------------------------|-------------------------|
|                    | 372.70 - 378.78              | CL PER -  |                             |                |           |               |             |                      |                        |                      |                        |                         |
|                    | 372.70 - 378.78              | HM B + Et hématite spéculaire locale  |                             |                |           |               |             |                      |                        |                      |                        |                         |
|                    | 372.70 - 378.78              | HM PER -  |                             |                |           |               |             |                      |                        |                      |                        |                         |
|                    | <b>Mineralization Maj. :</b> | <b>Type/Style/%Mineral</b>  | <b>Comment</b>              |                |           |               |             |                      |                        |                      |                        |                         |
|                    | 372.70 - 378.78              | PY TR   |                             |                |           |               |             |                      |                        |                      |                        |                         |
| 378.78             | 380.65                       | <b>I2S Syénite</b><br>Couleur gris très sombre (diorite?)<br>Contact supérieur net et franc à 60°AC (localement irrégulier).<br>Contact inférieur net et franc à environ 70°AC assez irrégulier.<br>Mag + à ++.<br>PY 1% en moyenne, localement 2-3%.<br>Grain très fin, microgrenue, avec peu de porphyres visibles (1-2%), millimétriques verdâtres-grisâtres sub-automorphes, avec éléments CL+ millimétriques (biotite ± Amph).<br>CIS à 70°AC, modéré. | R47896                      | 379.20         | 379.30    | 0.10          |             | -                    | -                      | -                    | -                      | 0.01                    |
|                    |                              | <b>Structure Maj.:</b>  | <b>Type/Core Angle</b>      | <b>Comment</b> |           |               |             |                      |                        |                      |                        |                         |
|                    | 378.78 - 380.65              | CIS 70  | +                           |                |           |               |             |                      |                        |                      |                        |                         |
|                    |                              | <b>Alteration Maj:</b>  | <b>Type/Style/Intensity</b> | <b>Comment</b> |           |               |             |                      |                        |                      |                        |                         |
|                    | 378.78 - 380.65              | CB DIS ++   |                             |                |           |               |             |                      |                        |                      |                        |                         |
|                    | 378.78 - 380.65              | CL PER +  | Localement DIS ++.          |                |           |               |             |                      |                        |                      |                        |                         |
|                    |                              | <b>Mineralization Maj. :</b>  | <b>Type/Style/%Mineral</b>  | <b>Comment</b> |           |               |             |                      |                        |                      |                        |                         |
|                    | 378.78 - 380.65              | PY DIS 1  | Localement 2-3%.            |                |           |               |             |                      |                        |                      |                        |                         |
| 380.65             | 385.20                       | <b>I2SFP Syénite porphyrique à feldspaths</b><br>Syénite Idem à l'intervalle 367.6 à 372.7m (et 336.8 à 354.04m).<br>Couleur gris-vert sombre.<br>Contact supérieur net et franc à environ 70°AC assez irrégulier.  | R47897                      | 380.90         | 381.20    | 0.30          |             | -                    | -                      | -                    | -                      | 0.40                    |



## LITHOLOGY REPORT - Detailed -

Hole Number **RO-01**

Project: **CADILLAC MINING**

Project Number:

| From<br>(m) | To<br>(m) | Lithology   | Sample # | From | To | Length | Zone | AuAA<br>(ppm) | DpAuAA<br>(ppm) | AuGr<br>(ppm) | DpAuGr<br>(ppm) | AuFINAL<br>(ppm) |
|-------------|-----------|---|----------|------|----|--------|------|---------------|-----------------|---------------|-----------------|------------------|
|             |           | <p>Contact inférieur assez net, marqué par une veinule Cb à 30°AC.<br/>Mag - à nul.<br/>PY 0.5-1% assez grossière.<br/>Porphyres felds gris-bleuâtres sub-automorphes à 10-15%, en moyenne de 5mm à 1cm.<br/>CIS à 70°AC faible.</p> <p><b>Structure Maj.:</b>      <b>Type/Core Angle</b>      <b>Comment</b><br/>380.65 - 385.20      CIS 70      faible.</p> <p><b>Alteration Maj:</b>      <b>Type/Style/Intensity</b>      <b>Comment</b><br/>380.65 - 385.20      CB DIS +<br/>380.65 - 385.20      CL PER -<br/>380.65 - 385.20      CL DIS +</p> <p><b>Mineralization Maj.:</b>      <b>Type/Style/%Mineral</b>      <b>Comment</b><br/>380.65 - 385.20      PY DIS 0.5      0.5 à 1% assez grossières.</p> |          |      |    |        |      |               |                 |               |                 |                  |
| 385.20      | 392.56    | <p><b>I2SFP      Syénite porphyrique à feldspaths</b><br/>Syénite idem à l'intervalle 372.7 à 378.78m.<br/>Couleur rosé à légèrement verdâtre.<br/>Contact supérieur assez net, marqué par une veinule Cb à 30°AC.<br/>Contact inférieur assez net mais très irrégulier (courbé).<br/>Mag +, plus faible au centre.<br/>Py TR.<br/>Porphyres de 2 à 5mm en moyenne, automorphes à sub-automorphes (en lattes à sub-arrondis), beige-rosé à localement verdâtres à 40%.<br/>HM PER- à +; CL PER-</p> <p><b>Alteration Maj:</b>      <b>Type/Style/Intensity</b>      <b>Comment</b><br/>385.20 - 392.56      CL PER -<br/>385.20 - 392.56      HM PER +      à-</p>  |          |      |    |        |      |               |                 |               |                 |                  |

## LITHOLOGY REPORT - Detailed -

Hole Number **RO-01**

Project: **CADILLAC MINING**

Project Number:

| <i>From</i><br>(m) | <i>To</i><br>(m) | <i>Lithology</i>  | <i>Sample #</i>             | <i>From</i>  | <i>To</i> | <i>Length</i> | <i>Zone</i> | <i>AuAA</i><br>(ppm) | <i>DpAuAA</i><br>(ppm) | <i>AuGr</i><br>(ppm) | <i>DpAuGr</i><br>(ppm) | <i>AuFINAL</i><br>(ppm) |      |
|--------------------|------------------|---|-----------------------------|--|-----------|---------------|-------------|----------------------|------------------------|----------------------|------------------------|-------------------------|------|
|                    |                  | <b>Mineralization Maj. :</b>  | <b>Type/Style/%Mineral</b>  | <b>Comment</b>                                     |           |               |             |                      |                        |                      |                        |                         |      |
|                    |                  | 385.20 - 392.56   | PY TR                       |  |           |               |             |                      |                        |                      |                        |                         |      |
| 392.56             | 441.78           | <b>I2SFP</b> <b>Syénite porphyrique à feldspaths</b>  |                             |  |           |               |             |                      |                        |                      |                        |                         |      |
|                    |                  | Syénite idem à l'intervalle 380.65 à 385.2 (porphyres plus verdâtres).<br>Couleur gris, légèrement rougeâtre sombre.<br>Contact supérieur assez net mais très irrégulier (courbé).<br>Contact inférieur assez net à 60°AC.<br>Mag nul à localement -.<br>PY TR, localement 1%, puis 2% après 419.4m.<br>Porphyres felds gris-verdâtres localement bleuâtres, sub-automorphes à 10-15%, en moyenne de 5mm à 1cm, puis plus blanc-verdâtre après 410.5m.<br>CIS à 70°AC modéré, puis à 55°AC après 424.8m.<br>HM- à +; CB PER - à ++ et CL PER- (éléments millimétriques DIS CL++ = altération de biotite?).<br>Plusieurs dyke de syénites de 394.3 à 394.6m; 395.21 à 395.83m; 397.28 à 400.63m; 402.6 à 403.55m; 403.93 à 404.45m et de 434.58 à 436.37m, tous identiques (initialement décrit en I2DPOR).<br>Passes conglomératiques de 416.32 à 417.08m; 420.88 à 423.7m et de 424.15 à 424.8m (initialement décrit en V2ACBX). | R47898                      | 392.50   | 392.65    | 0.15          |             | -                    | -                      | -                    | -                      | 0.18                    |      |
|                    |                  |   |                             | R47899   | 420.20    | 420.40        | 0.20        |                      | -                      | -                    | -                      | -                       | 0.23 |
|                    |                  |   |                             | GM85182  | 423.00    | 423.70        | 0.70        |                      | 0.01                   | -                    | -                      | -                       | 0.01 |
|                    |                  |   |                             | R47901   | 423.70    | 424.15        | 0.45        |                      | -                      | -                    | -                      | -                       | 0.13 |
|                    |                  |   |                             | GM85183  | 424.15    | 424.80        | 0.65        |                      | 0.00                   | -                    | -                      | -                       | 0.00 |
|                    |                  |   |                             | GM85184  | 424.80    | 425.80        | 1.00        |                      | 0.01                   | -                    | -                      | -                       | 0.01 |
|                    |                  |   |                             | R47900   | 432.00    | 432.50        | 0.50        |                      | -                      | -                    | -                      | -                       | 0.02 |
|                    |                  |   |                             | R47902   | 440.80    | 441.10        | 0.30        |                      | -                      | -                    | -                      | -                       | 0.00 |
|                    |                  | <b>Structure Maj.:</b>  | <b>Type/Core Angle</b>      | <b>Comment</b>                                     |           |               |             |                      |                        |                      |                        |                         |      |
|                    |                  | 392.56 - 424.80   | CIS 70                      | +  |           |               |             |                      |                        |                      |                        |                         |      |
|                    |                  | 424.80 - 441.78   | CIS 55                      | +  |           |               |             |                      |                        |                      |                        |                         |      |
|                    |                  | <b>Alteration Maj:</b>  | <b>Type/Style/Intensity</b> | <b>Comment</b>                                     |           |               |             |                      |                        |                      |                        |                         |      |
|                    |                  | 392.56 - 420.88   | CB PER +                    | ++ jusqu'à 420.88m.                                |           |               |             |                      |                        |                      |                        |                         |      |
|                    |                  | 392.56 - 420.88   | CL PER -                    | à +, sur la portion la moins HM de 424.8 à 431.5m. |           |               |             |                      |                        |                      |                        |                         |      |
|                    |                  | 392.56 - 420.88   | HM PER -                    | à + en début et fin de passe.                      |           |               |             |                      |                        |                      |                        |                         |      |
|                    |                  | <b>Mineralization Maj. :</b>  | <b>Type/Style/%Mineral</b>  | <b>Comment</b>                                     |           |               |             |                      |                        |                      |                        |                         |      |
|                    |                  | 392.56 - 419.40   | PY DIS 0.1                  | TR à 1% localement.                                |           |               |             |                      |                        |                      |                        |                         |      |
|                    |                  | 419.40 - 441.78   | PY DIS 2                    | Moyenne.   |           |               |             |                      |                        |                      |                        |                         |      |



## LITHOLOGY REPORT - Detailed -

Hole Number **RO-01**

Project: **CADILLAC MINING**

Project Number:

| From<br>(m)                | To<br>(m) | Lithology   | Sample #                               | From | To | Length | Zone | AuAA<br>(ppm) | DpAuAA<br>(ppm) | AuGr<br>(ppm) | DpAuGr<br>(ppm) | AuFINAL<br>(ppm) |
|----------------------------|-----------|---|--|------|----|--------|------|---------------|-----------------|---------------|-----------------|------------------|
| <b>Minor Interval:</b>     |           |   |  |      |    |        |      |               |                 |               |                 |                  |
| 394.30                     | 394.60    | I2SFP <i>Syénite porphyrique à feldspaths</i><br>Couleur gris très sombre à porphyres verdâtres.<br>Contact supérieur net, irrégulier en pulse, à 20°AC environ.<br>Contact inférieur net en U.<br>Mag -.<br>Py TR.<br>Porphyres de 2-3mm à environ 30% (rarement >5mm parfois avec stries de croissances visibles), verdâtres, automorphes à sub-automorphes.<br>CL PER -; HM - (très locale, en périphérie de fragments); CB - PER. |  |      |    |        |      |               |                 |               |                 |                  |
| <b>Texture Min:</b>        |           | <b>Type</b>   | <b>Comment</b>                         |      |    |        |      |               |                 |               |                 |                  |
| 394.30 - 394.60            |           | PORP  | porphyres 2-3mm.                       |      |    |        |      |               |                 |               |                 |                  |
| <b>Alteration Min:</b>     |           | <b>Type/Style/Intensity</b>   | <b>Comment</b>                         |      |    |        |      |               |                 |               |                 |                  |
| 394.30 - 394.60            |           | CB PER -  |  |      |    |        |      |               |                 |               |                 |                  |
| 394.30 - 394.60            |           | HM ZN -   | Localement en périphérie de porphyres. |      |    |        |      |               |                 |               |                 |                  |
| 394.30 - 394.60            |           | CL PER -  | à +                                    |      |    |        |      |               |                 |               |                 |                  |
| <b>Mineralization Min:</b> |           | <b>Type/Style/%Mineral</b>  | <b>Comment</b>                         |      |    |        |      |               |                 |               |                 |                  |
| 394.30 - 394.60            |           | PY TR   |  |      |    |        |      |               |                 |               |                 |                  |



## LITHOLOGY REPORT - Detailed -

Hole Number **RO-01**

Project: **CADILLAC MINING**

Project Number:

| From<br>(m)                | To<br>(m) | Lithology  | Sample #          | From | To | Length | Zone | AuAA<br>(ppm) | DpAuAA<br>(ppm) | AuGr<br>(ppm) | DpAuGr<br>(ppm) | AuFINAL<br>(ppm) |
|----------------------------|-----------|--|-------------------|------|----|--------|------|---------------|-----------------|---------------|-----------------|------------------|
| <b>Minor Interval:</b>     |           |  |                   |      |    |        |      |               |                 |               |                 |                  |
| 395.21                     | 395.83    | I2SFP <i>Syénite porphyrique à feldspaths</i><br>Couleur gris très sombre à porphyres verdâtres.<br>Contact supérieur net et franc à 65°AC.<br>Contact inférieur net et franc à 55°AC.<br>Mag -<br>Py 0.5% assez grossière.<br>Porphyres de 2-3mm à environ 30% (rarement <5mm parfois avec stries de croissances visibles), verdâtres, automorphes à sub-automorphes.<br>Enclaves CL+ centimétriques.<br>CL PER -; HM - (en périphérie de fragments, localement plus pervasive); CB - PER |                   |      |    |        |      |               |                 |               |                 |                  |
| <b>Texture Min:</b>        |           | <b>Type</b>  | <b>Comment</b>    |      |    |        |      |               |                 |               |                 |                  |
| 395.21                     | 395.83    | PORP   |                   |      |    |        |      |               |                 |               |                 |                  |
| <b>Alteration Min:</b>     |           | <b>Type/Style/Intensity</b>  | <b>Comment</b>    |      |    |        |      |               |                 |               |                 |                  |
| 395.21                     | 395.83    | CB PER -   |                   |      |    |        |      |               |                 |               |                 |                  |
| 395.21                     | 395.83    | HM PER -   | Locale            |      |    |        |      |               |                 |               |                 |                  |
| 395.21                     | 395.83    | CL PER -   | à + sur enclaves. |      |    |        |      |               |                 |               |                 |                  |
| <b>Mineralization Min:</b> |           | <b>Type/Style/%Mineral</b>   | <b>Comment</b>    |      |    |        |      |               |                 |               |                 |                  |
| 395.21                     | 395.83    | PY DIS 0.5   |                   |      |    |        |      |               |                 |               |                 |                  |



## LITHOLOGY REPORT - Detailed -

Hole Number **RO-01**

Project: **CADILLAC MINING**

Project Number:

| From<br>(m)            | To<br>(m)                  | Lithology | Sample #                    | From   | To | Length | Zone | AuAA<br>(ppm) | DpAuAA<br>(ppm) | AuGr<br>(ppm) | DpAuGr<br>(ppm) | AuFINAL<br>(ppm) |
|------------------------|----------------------------|-----------|-----------------------------|--|----|--------|------|---------------|-----------------|---------------|-----------------|------------------|
| <b>Minor Interval:</b> |                            |           |                             |  |    |        |      |               |                 |               |                 |                  |
|                        | 397.28                     | 400.63    | I2SFP                       | <i>Syénite porphyrique à feldspaths</i><br>Couleur gris très sombre à porphyres verdâtres.<br>Contact supérieur assez net à 70°AC, légèrement irrégulier.<br>Contact inférieur net à 10-15°AC (pulse).<br>Mag -<br>Py TR.<br>Porphyres de 2-3mm à environ 30% (rarement <5mm parfois avec stries de croissances visibles), verdâtres, automorphes à sub-automorphes.<br>Enclaves CL+ centimétriques.<br>CL PER -; HM - (en périphérie de fragments, localement plus pervasive); CB - PER |    |        |      |               |                 |               |                 |                  |
|                        | <b>Texture Min:</b>        |           | <b>Type</b>                 | <b>Comment</b>   |    |        |      |               |                 |               |                 |                  |
|                        | 397.28 - 400.63            |           | PORP                        |  |    |        |      |               |                 |               |                 |                  |
|                        | <b>Alteration Min:</b>     |           | <b>Type/Style/Intensity</b> | <b>Comment</b>   |    |        |      |               |                 |               |                 |                  |
|                        | 397.28 - 400.63            |           | CB PER -                    |  |    |        |      |               |                 |               |                 |                  |
|                        | 397.28 - 400.63            |           | HM PCH -                    |  |    |        |      |               |                 |               |                 |                  |
|                        | 397.28 - 400.63            |           | CL PER -                    | à + sur enclaves   |    |        |      |               |                 |               |                 |                  |
|                        | <b>Mineralization Min:</b> |           | <b>Type/Style/%Mineral</b>  | <b>Comment</b>   |    |        |      |               |                 |               |                 |                  |
|                        | 397.28 - 400.63            |           | PY TR                       |  |    |        |      |               |                 |               |                 |                  |



## LITHOLOGY REPORT - Detailed -

Hole Number **RO-01**

Project: **CADILLAC MINING**

Project Number:

| From<br>(m)                | To<br>(m) | Lithology  | Sample # | From | To | Length | Zone                             | AuAA<br>(ppm) | DpAuAA<br>(ppm) | AuGr<br>(ppm) | DpAuGr<br>(ppm) | AuFINAL<br>(ppm) |
|----------------------------|-----------|--|----------|------|----|--------|----------------------------------|---------------|-----------------|---------------|-----------------|------------------|
| <b>Minor Interval:</b>     |           |  |          |      |    |        |                                  |               |                 |               |                 |                  |
| 402.60                     | 403.55    | I2SFP <i>Syénite porphyrique à feldspaths</i><br>Couleur gris très sombre à porphyres verdâtres.<br>Contact supérieur assez net à 70°AC, légèrement irrégulier.<br>Contact inférieur net à 10-15°AC (pulse).<br>Mag -.<br>Py TR.<br>Porphyres de 2-3mm à environ 30% (rarement <5mm parfois avec stries de croissances visibles), verdâtres, automorphes à sub-automorphes.<br>Enclaves CL+ centimétriques.<br>CL PER -; HM - à + PER (en périphérie de fragments); CB - PER |          |      |    |        |                                  |               |                 |               |                 |                  |
| <b>Texture Min:</b>        |           | <b>Type</b>  |          |      |    |        | <b>Comment</b>                   |               |                 |               |                 |                  |
| 402.60 - 403.55            |           | PORP   |          |      |    |        |                                  |               |                 |               |                 |                  |
| <b>Alteration Min:</b>     |           | <b>Type/Style/Intensity</b>  |          |      |    |        | <b>Comment</b>                   |               |                 |               |                 |                  |
| 402.60 - 403.55            |           | CB PER -   |          |      |    |        |                                  |               |                 |               |                 |                  |
| 402.60 - 403.55            |           | HM PER +   |          |      |    |        | à localement plus -.             |               |                 |               |                 |                  |
| 402.60 - 403.55            |           | CL PER -   |          |      |    |        | à + sur enclaves.                |               |                 |               |                 |                  |
| <b>Mineralization Min:</b> |           | <b>Type/Style/%Mineral</b>   |          |      |    |        | <b>Comment</b>                   |               |                 |               |                 |                  |
| 402.60 - 403.55            |           | PY DIS 0.1   |          |      |    |        | essentiellement en fin de passe. |               |                 |               |                 |                  |



## LITHOLOGY REPORT - Detailed -

Hole Number **RO-01**

Project: **CADILLAC MINING**

Project Number:

| From<br>(m)                | To<br>(m) | Lithology  | Sample #       | From | To | Length | Zone | AuAA<br>(ppm) | DpAuAA<br>(ppm) | AuGr<br>(ppm) | DpAuGr<br>(ppm) | AuFINAL<br>(ppm) |
|----------------------------|-----------|--|----------------|------|----|--------|------|---------------|-----------------|---------------|-----------------|------------------|
| <b>Minor Interval:</b>     |           |  |                |      |    |        |      |               |                 |               |                 |                  |
| 403.93                     | 404.45    | I2SFP <i>Syénite porphyrique à feldspaths</i><br>Couleur gris très sombre à porphyres verdâtres.<br>Contact supérieur non visible (core abimé par drill)<br>Contact inférieur fracturé avec core scié, non observable.<br>Mag +.<br>Py TR.<br>Porphyres de 2-3mm à environ 30%, verdâtres à légèrement bleutés (altération), automorphes à sub-automorphes.<br>CL PER -; HM - à + PER (en périphérie de fragments); CB - PER |                |      |    |        |      |               |                 |               |                 |                  |
| <b>Texture Min:</b>        |           | <b>Type</b>  | <b>Comment</b> |      |    |        |      |               |                 |               |                 |                  |
| 403.93                     | 404.45    | PORP   |                |      |    |        |      |               |                 |               |                 |                  |
| <b>Alteration Min:</b>     |           | <b>Type/Style/Intensity</b>  | <b>Comment</b> |      |    |        |      |               |                 |               |                 |                  |
| 403.93                     | 404.45    | CB PER -   |                |      |    |        |      |               |                 |               |                 |                  |
| 403.93                     | 404.45    | HM PER -   | à +            |      |    |        |      |               |                 |               |                 |                  |
| 403.93                     | 404.45    | CL PER -   |                |      |    |        |      |               |                 |               |                 |                  |
| <b>Mineralization Min:</b> |           | <b>Type/Style/%Mineral</b>   | <b>Comment</b> |      |    |        |      |               |                 |               |                 |                  |
| 403.93                     | 404.45    | PY DIS 0.1   |                |      |    |        |      |               |                 |               |                 |                  |



## LITHOLOGY REPORT - Detailed -

Hole Number **RO-01**

Project: **CADILLAC MINING**

Project Number:

| From<br>(m)                | To<br>(m) | Lithology   | Sample #                           | From | To | Length | Zone | AuAA<br>(ppm) | DpAuAA<br>(ppm) | AuGr<br>(ppm) | DpAuGr<br>(ppm) | AuFINAL<br>(ppm) |
|----------------------------|-----------|---|------------------------------------|------|----|--------|------|---------------|-----------------|---------------|-----------------|------------------|
| <b>Minor Interval:</b>     |           |   |                                    |      |    |        |      |               |                 |               |                 |                  |
| 434.58                     | 436.37    | I2SFP <i>Syénite porphyrique à feldspaths</i><br>Couleur gris-sombre à rosés à porphyres verdâtres.<br>Contact supérieur net et franc, mais non mesurable (core fracturé et scié)<br>Contact inférieur assez net mais irrégulier (pulses).<br>Mag +.<br>Py assez variable, 1% en moyenne, localement TR à 2-3% DIS et en FF.<br>Porphyres de 2-3mm à environ 30% (rarement <5mm parfois avec stries de croissances visibles), verdâtres, automorphes à sub-automorphes.<br>Enclaves CL+ centimétriques éparses.<br>CL PER -; HM PER -; CB - PER |                                    |      |    |        |      |               |                 |               |                 |                  |
| <b>Texture Min:</b>        |           | <b>Type</b>   | <b>Comment</b>                     |      |    |        |      |               |                 |               |                 |                  |
| 434.58 - 436.37            |           | PORP  |                                    |      |    |        |      |               |                 |               |                 |                  |
| <b>Alteration Min:</b>     |           | <b>Type/Style/Intensity</b>   | <b>Comment</b>                     |      |    |        |      |               |                 |               |                 |                  |
| 434.58 - 436.37            |           | CB PER -  |                                    |      |    |        |      |               |                 |               |                 |                  |
| 434.58 - 436.37            |           | CL PER -  | à + sur enclaves.                  |      |    |        |      |               |                 |               |                 |                  |
| 434.58 - 436.37            |           | HM PER -  |                                    |      |    |        |      |               |                 |               |                 |                  |
| <b>Mineralization Min:</b> |           | <b>Type/Style/%Mineral</b>  | <b>Comment</b>                     |      |    |        |      |               |                 |               |                 |                  |
| 434.58 - 436.37            |           | PY DIS 1  | TR à 2-3% localement, DIS et en FF |      |    |        |      |               |                 |               |                 |                  |



## LITHOLOGY REPORT - Detailed -

Hole Number **RO-01**

Project: **CADILLAC MINING**

Project Number:

| From<br>(m)                | To<br>(m) | Lithology   | Sample # | From | To | Length | Zone | AuAA<br>(ppm) | DpAuAA<br>(ppm) | AuGr<br>(ppm) | DpAuGr<br>(ppm) | AuFINAL<br>(ppm) |
|----------------------------|-----------|---|----------|------|----|--------|------|---------------|-----------------|---------------|-----------------|------------------|
| <b>Minor Interval:</b>     |           |   |          |      |    |        |      |               |                 |               |                 |                  |
| 416.32                     | 417.08    | S1CZPOL <i>polygénique conglomérat indéterminé</i><br>Couleur gris-vert très sombre.<br>Contacts supérieur et inférieur nets et francs à 75°AC.<br>Mag nul.<br>PY TR.<br>Fragments polygéniques centimétriques en bandes parallèles grises à vert-très sombre de 3-5mm en moyenne, avec rares fragments centimétriques plus gréseux.<br>CIS + à ++ à 75°AC.<br>CL PER + à ++. |          |      |    |        |      |               |                 |               |                 |                  |
| <b>Texture Min:</b>        |           | <b>Type</b>   |          |      |    |        |      |               |                 |               | <b>Comment</b>  |                  |
| 416.32 - 417.08            |           | FAPS  |          |      |    |        |      |               |                 |               |                 |                  |
| <b>Structure Min.:</b>     |           | <b>Type/Core Angle</b>  |          |      |    |        |      |               |                 |               | <b>Comment</b>  |                  |
| 416.32 - 417.08            |           | CREC 40   |          |      |    |        |      |               |                 |               | Très locale.    |                  |
| 416.32 - 417.08            |           | CIS 75  |          |      |    |        |      |               |                 |               | ++              |                  |
| <b>Alteration Min:</b>     |           | <b>Type/Style/Intensity</b>   |          |      |    |        |      |               |                 |               | <b>Comment</b>  |                  |
| 416.32 - 417.08            |           | CL PER +  |          |      |    |        |      |               |                 |               | à ++            |                  |
| <b>Mineralization Min:</b> |           | <b>Type/Style/%Mineral</b>  |          |      |    |        |      |               |                 |               | <b>Comment</b>  |                  |
| 416.32 - 417.08            |           | PY DIS 0.1  |          |      |    |        |      |               |                 |               |                 |                  |



## LITHOLOGY REPORT - Detailed -

Hole Number **RO-01**

Project: **CADILLAC MINING**

Project Number:

| From<br>(m)                | To<br>(m) | Lithology   | Sample # | From | To | Length | Zone                   | AuAA<br>(ppm) | DpAuAA<br>(ppm) | AuGr<br>(ppm) | DpAuGr<br>(ppm) | AuFINAL<br>(ppm) |
|----------------------------|-----------|---|----------|------|----|--------|------------------------|---------------|-----------------|---------------|-----------------|------------------|
| <b>Minor Interval:</b>     |           |   |          |      |    |        |                        |               |                 |               |                 |                  |
| 420.88                     | 423.70    | S1CZPOL <i>polygénique congloméral indéterminé</i><br>Couleur gris-vert très sombre.<br>Contact supérieur net mais irrégulier (ondulé) à 70°AC en moyenne (très approximatif).<br>Contact inférieur net et franc à 75°AC (environ, roche sciée).<br>Mag nul.<br>PY 1% en moyenne, localement 2-3% très fine.<br>Fragments polygéniques centimétriques en bandes parallèles grises à vert-très sombre de 3-5mm en moyenne, avec rares fragments centimétriques plus gréseux.<br>CIS + à ++ à 75°AC.<br>Ve de Cb discontinues à 3% (de 1-2mm) créant une altération + à ++.<br>CL PER + à ++; CB ve + à ++. |          |      |    |        |                        |               |                 |               |                 |                  |
| <b>Texture Min:</b>        |           | <b>Type</b>   |          |      |    |        | <b>Comment</b>         |               |                 |               |                 |                  |
| 420.88 - 423.70            |           | FAPS  |          |      |    |        |                        |               |                 |               |                 |                  |
| <b>Structure Min.:</b>     |           | <b>Type/Core Angle</b>  |          |      |    |        | <b>Comment</b>         |               |                 |               |                 |                  |
| 420.88 - 423.70            |           | CREC 40   |          |      |    |        | Locale.                |               |                 |               |                 |                  |
| 420.88 - 423.70            |           | CIS 75  |          |      |    |        | + à ++                 |               |                 |               |                 |                  |
| <b>Alteration Min:</b>     |           | <b>Type/Style/Intensity</b>   |          |      |    |        | <b>Comment</b>         |               |                 |               |                 |                  |
| 420.88 - 423.70            |           | CB VE +   |          |      |    |        | à ++                   |               |                 |               |                 |                  |
| 420.88 - 423.70            |           | CL PER +  |          |      |    |        | à ++                   |               |                 |               |                 |                  |
| <b>Mineralization Min:</b> |           | <b>Type/Style/%Mineral</b>  |          |      |    |        | <b>Comment</b>         |               |                 |               |                 |                  |
| 420.88 - 423.70            |           | PY DIS 1  |          |      |    |        | Localement 2-3% fines. |               |                 |               |                 |                  |



## LITHOLOGY REPORT - Detailed -

Hole Number **RO-01**

Project: **CADILLAC MINING**

Project Number:

| From<br>(m)                | To<br>(m) | Lithology  | Sample #               | From | To | Length | Zone | AuAA<br>(ppm) | DpAuAA<br>(ppm) | AuGr<br>(ppm) | DpAuGr<br>(ppm) | AuFINAL<br>(ppm) |
|----------------------------|-----------|--|------------------------|------|----|--------|------|---------------|-----------------|---------------|-----------------|------------------|
| <b>Minor Interval:</b>     |           |  |                        |      |    |        |      |               |                 |               |                 |                  |
| 424.15                     | 424.80    | S1CZPOL <i>polygénique congloméral indéterminé</i><br>Couleur gris-vert très sombre.<br>Contact supérieur assez net mais irrégulier.<br>Contact inférieur net et franc à 70°AC.<br>Mag nul.<br>PY 1% en moyenne, localement 2-3% très fine.<br>Fragments polygéniques centimétriques en bandes parallèles grises à vert-très sombre de 3-5mm en moyenne à centimétriques plus gréseux.<br>CIS + à ++ à 75°AC.<br>Ve de Cb discontinues à 3% (de 1-2mm).<br>CL PER + à ++; CB ve -. |                        |      |    |        |      |               |                 |               |                 |                  |
| <b>Texture Min:</b>        |           | <b>Type</b>  | <b>Comment</b>         |      |    |        |      |               |                 |               |                 |                  |
| 424.15 - 424.80            |           | FAPS   |                        |      |    |        |      |               |                 |               |                 |                  |
| <b>Structure Min.:</b>     |           | <b>Type/Core Angle</b>   | <b>Comment</b>         |      |    |        |      |               |                 |               |                 |                  |
| 424.15 - 424.80            |           | CIS 70   | +                      |      |    |        |      |               |                 |               |                 |                  |
| <b>Alteration Min:</b>     |           | <b>Type/Style/Intensity</b>  | <b>Comment</b>         |      |    |        |      |               |                 |               |                 |                  |
| 424.15 - 424.80            |           | CB VE -  |                        |      |    |        |      |               |                 |               |                 |                  |
| 424.15 - 424.80            |           | CL PER +   | à ++                   |      |    |        |      |               |                 |               |                 |                  |
| <b>Mineralization Min:</b> |           | <b>Type/Style/%Mineral</b>   | <b>Comment</b>         |      |    |        |      |               |                 |               |                 |                  |
| 424.15 - 424.80            |           | PY DIS 1   | Localement 2-3% fines. |      |    |        |      |               |                 |               |                 |                  |



**LITHOLOGY REPORT**  
- Detailed -

Hole Number **RO-01**

Project: **CADILLAC MINING**

Project Number:

| From<br>(m) | To<br>(m) | Lithology  | Sample # | From   | To     | Length | Zone | AuAA<br>(ppm) | DpAuAA<br>(ppm) | AuGr<br>(ppm) | DpAuGr<br>(ppm) | AuFINAL<br>(ppm) |
|-------------|-----------|--|----------|--------|--------|--------|------|---------------|-----------------|---------------|-----------------|------------------|
| 441.78      | 457.75    | <b>I2SFP</b> <b>Syénite porphyrique à feldspaths</b>   | R47903   | 441.65 | 441.95 | 0.30   |      | -             | -               | -             | -               | 0.03             |
|             |           | Syénite idem aux intrusions décrites sur l'intervalle 392.56 à 441.78 en lithologie mineur.  | R47904   | 442.35 | 442.95 | 0.60   |      | -             | -               | -             | -               | 0.07             |
|             |           | Couleur gris très sombre à légèrement rosé à porphyres verdâtres.  | R47905   | 445.00 | 445.30 | 0.30   |      | -             | -               | -             | -               | 0.03             |
|             |           | Contact supérieur assez net à 60°AC.   | R47906   | 446.70 | 447.00 | 0.30   |      | -             | -               | -             | -               | 0.13             |
|             |           | Contact inférieur assez net mais irrégulier (quasi bréchique).   | R47907   | 447.00 | 448.50 | 1.50   |      | -             | -               | -             | -               | 0.03             |
|             |           | Mag - à + après 451m.  | R47908   | 448.50 | 450.00 | 1.50   |      | -             | -               | -             | -               | 0.07             |
|             |           | Py 1% en moyenne à localement 2-3% fine à moyenne.   | R47909   | 450.00 | 451.50 | 1.50   |      | -             | -               | -             | -               | 0.02             |
|             |           | Porphyres de 2-3mm à environ 30-40% (localement >5mm parfois avec stries de croissances visibles), verdâtres, automorphes à sub-automorphes.   | R47910   | 451.50 | 453.00 | 1.50   |      | -             | -               | -             | -               | 0.02             |
|             |           | De 446.83 à 449.8m, passe plus altérée (porphyres difficilement observables; associée à la plus forte concentration de Py), immédiatement suivie d'une passe avec la syénite identique de 392.56 à 441.78m, elle-même assez altérée. | R47911   | 453.00 | 454.50 | 1.50   |      | -             | -               | -             | -               | 0.02             |
|             |           | Enclaves CL+ vert-sombre centimétriques.   | R47912   | 454.50 | 456.00 | 1.50   |      | -             | -               | -             | -               | 0.02             |
|             |           | CL PER -; HM - (essentiellement sur la seconde moitié de la de passe); CB - PER.   | R47913   | 456.90 | 457.25 | 0.35   |      | -             | -               | -             | -               | 0.06             |

| <b>Alteration Maj:</b>       | <b>Type/Style/Intensity</b> | <b>Comment</b>                         |
|------------------------------|-----------------------------|--|
| 441.78 - 457.75              | HM PER -                    | Essentiellement sur la seconde moitié. |
| 441.78 - 457.75              | CL PER -                    |  |
| 441.78 - 457.75              | CB PER -                    |  |
| <b>Mineralization Maj. :</b> | <b>Type/Style/%Mineral</b>  | <b>Comment</b>                         |
| 441.78 - 457.75              | PY DIS 1                    | Localement 2-3%.                       |

| <b>Minor Interval:</b> |        |   |
|------------------------|--------|---|
| 449.80                 | 451.35 | I2SFP <b>Syénite porphyrique à feldspaths</b>   |
|                        |        | Couleur gris-sombre-rosé.   |
|                        |        | Contact supérieur assez diffus suivant une passe d'altération (mélange?).                             |
|                        |        | Contact inférieur sur veinule cb-qz à environ 60°AC (sciage perpendiculaire à l'apex).                |
|                        |        | Mag + à -.  |
|                        |        | PY 1-2% moyenne.  |
|                        |        | Porphyres à 7-10%, de 5mm à rarement 1cm en moyenne, automorphes à sub-automorphes grisâtre-verdâtre. |
|                        |        | HM PER - (très légère); CL DIS - (liserai millimétriques discontinues); CB PER ++.                    |



## LITHOLOGY REPORT - Detailed -

Hole Number **RO-01**

Project: **CADILLAC MINING**

Project Number:

| From<br>(m) | To<br>(m) | Lithology  | Sample #                    | From  | To     | Length | Zone | AuAA<br>(ppm) | DpAuAA<br>(ppm) | AuGr<br>(ppm) | DpAuGr<br>(ppm) | AuFINAL<br>(ppm) |
|-------------|-----------|--|-----------------------------|---|--------|--------|------|---------------|-----------------|---------------|-----------------|------------------|
|             |           | <b>Texture Min:</b>  | <b>Type</b>                 | <b>Comment</b>  |        |        |      |               |                 |               |                 |                  |
|             |           | 449.80 - 451.35  | PORP                        | Porphyres éparses.  |        |        |      |               |                 |               |                 |                  |
|             |           | <b>Structure Min.:</b>   | <b>Type/Core Angle</b>      | <b>Comment</b>  |        |        |      |               |                 |               |                 |                  |
|             |           | 449.80 - 451.35  | CIS 65                      | Difficilement mesurable (carotte sciée perpendiculairement à l'apex de la schistosité). |        |        |      |               |                 |               |                 |                  |
|             |           | <b>Alteration Min:</b>   | <b>Type/Style/Intensity</b> | <b>Comment</b>  |        |        |      |               |                 |               |                 |                  |
|             |           | 449.80 - 451.35  | HM PER -                    |   |        |        |      |               |                 |               |                 |                  |
|             |           | 449.80 - 451.35  | CL DIS +                    |   |        |        |      |               |                 |               |                 |                  |
|             |           | 449.80 - 451.35  | CB PER ++                   |   |        |        |      |               |                 |               |                 |                  |
|             |           | <b>Mineralization Min:</b>   | <b>Type/Style/%Mineral</b>  | <b>Comment</b>  |        |        |      |               |                 |               |                 |                  |
|             |           | 449.80 - 451.35  | PY DIS 2                    | 1-2%  |        |        |      |               |                 |               |                 |                  |
| 457.75      | 464.67    | <b>I2SFP</b> <b>Syénite porphyrique à feldspaths</b>   |                             |   |        |        |      |               |                 |               |                 |                  |
|             |           | Syénite Idem à l'intervalle 392.56 à 441.78.<br>Couleur gris-rougeâtre à grises (porphyres blancs-verdâtre).<br>Contact supérieur net mais irrégulier (quasi bréchique).<br>Contact inférieur plus diffus (succession de pulse dans le sédiment).<br>Mag - à localement +.<br>PY 1-2% moyenne.<br>Porphyres à 10%, centimétriques automorphes à sub-automorphes, blanc-verdâtres.<br>De 461.1 à 461.8m, autre dyke syénitique.<br>HM PER + à -; CL DIS millimétriques.<br>CB FF - <1%. |                             |   |        |        |      |               |                 |               |                 |                  |
|             |           |  |                             | R47914  | 462.00 | 463.50 | 1.50 | -             | -               | -             | -               | 0.06             |
|             |           |  |                             | R47915  | 463.50 | 464.60 | 1.10 | -             | -               | -             | -               | 0.10             |
|             |           | <b>Alteration Maj:</b>   | <b>Type/Style/Intensity</b> | <b>Comment</b>  |        |        |      |               |                 |               |                 |                  |
|             |           | 457.75 - 464.67  | CL DIS +                    |   |        |        |      |               |                 |               |                 |                  |
|             |           | 457.75 - 464.67  | HM PER +                    | à -   |        |        |      |               |                 |               |                 |                  |
|             |           | <b>Mineralization Maj. :</b>   | <b>Type/Style/%Mineral</b>  | <b>Comment</b>  |        |        |      |               |                 |               |                 |                  |
|             |           | 457.75 - 464.67  | PY DIS 1                    | assez grossière.  |        |        |      |               |                 |               |                 |                  |



## LITHOLOGY REPORT - Detailed -

Hole Number **RO-01**

Project: **CADILLAC MINING**

Project Number:

| From<br>(m)            | To<br>(m) | Lithology  | Sample #                    | From           | To     | Length | Zone | AuAA<br>(ppm) | DpAuAA<br>(ppm) | AuGr<br>(ppm) | DpAuGr<br>(ppm) | AuFINAL<br>(ppm) |
|------------------------|-----------|--|-----------------------------|----------------|--------|--------|------|---------------|-----------------|---------------|-----------------|------------------|
| <b>Minor Interval:</b> |           |  |                             |                |        |        |      |               |                 |               |                 |                  |
| 461.10                 | 461.80    | I2SFP <i>Syénite porphyrique à feldspaths</i><br>Couleur gris-sombre.<br>Contact supérieur net et franc à 50°AC.<br>Contact inférieur net et franc à 55°AC.<br>Mag +.<br>PY TR.<br>Porphyres à 1-3mm à 5-7mm, blanchâtres à 15-20% en moyenne (2 sortes de porphyres: petits felds en baguettes, et plus gros automorphes à 5%: texture porphyroïde).<br>Quelques bandes discontinues CL+ (enclaves étirées?).<br>CIS à 60°AC faible.<br>CB ZN - sur poprhyres; CL PER -.  |                             |                |        |        |      |               |                 |               |                 |                  |
|                        |           | <b>Texture Min:</b>  | <b>Type</b>                 | <b>Comment</b> |        |        |      |               |                 |               |                 |                  |
|                        |           | 461.10 - 461.80  | PORP                        | porphyroïde    |        |        |      |               |                 |               |                 |                  |
|                        |           | <b>Structure Min.:</b>   | <b>Type/Core Angle</b>      | <b>Comment</b> |        |        |      |               |                 |               |                 |                  |
|                        |           | 461.10 - 461.80  | CIS 60                      | Faible.        |        |        |      |               |                 |               |                 |                  |
|                        |           | <b>Alteration Min:</b>   | <b>Type/Style/Intensity</b> | <b>Comment</b> |        |        |      |               |                 |               |                 |                  |
|                        |           | 461.10 - 461.80  | CB ZN -                     | Sur porphyres. |        |        |      |               |                 |               |                 |                  |
|                        |           | 461.10 - 461.80  | CL PER -                    |                |        |        |      |               |                 |               |                 |                  |
|                        |           | <b>Mineralization Min:</b>   | <b>Type/Style/%Mineral</b>  | <b>Comment</b> |        |        |      |               |                 |               |                 |                  |
|                        |           | 461.10 - 461.80  | PY TR                       |                |        |        |      |               |                 |               |                 |                  |
| 464.67                 | 480.40    | <b>S1CZPOL</b> <i>polygénique conglomérat indéterminé</i><br>Initialement décrit en V2ACBX<br>Couleur grisâtre à gris-vert sombre.<br>Contact supérieur net mais irrégulier (quasi bréchique).<br>Contact inférieur fracturé par drill, non visible.<br>Mag nul.<br>PY 1-2%, concentrés en périphérie de fragments.<br>Éléments arrondis, étiré dans le CIS, polygéniques créant une succession en bandes gri-vert-sombres à grisâtre, de 5mm à 3cm majoritairement.<br>CIS à 75°AC +.<br>Dyke de 472.8 à 473.68m et de 476.8 à 480.29m. | R47852                      | 465.30         | 466.80 | 1.50   |      | -             | -               | -             | -               | 0.00             |
|                        |           |  | R47851                      | 472.70         | 473.70 | 1.00   |      | -             | -               | -             | -               | 0.00             |
|                        |           |  | R47916                      | 477.20         | 477.30 | 0.10   |      | -             | -               | -             | -               | 0.00             |
|                        |           |  | R47917                      | 478.50         | 478.60 | 0.10   |      | -             | -               | -             | -               | 0.03             |



## LITHOLOGY REPORT - Detailed -

Hole Number **RO-01**

Project: **CADILLAC MINING**

Project Number:

| From<br>(m)                  | To<br>(m) | Lithology   | Sample #          | From | To | Length | Zone | AuAA<br>(ppm) | DpAuAA<br>(ppm) | AuGr<br>(ppm) | DpAuGr<br>(ppm) | AuFINAL<br>(ppm) |
|------------------------------|-----------|---|-------------------|------|----|--------|------|---------------|-----------------|---------------|-----------------|------------------|
| <b>Structure Maj.:</b>       |           | <b>Type/Core Angle</b>  | <b>Comment</b>    |      |    |        |      |               |                 |               |                 |                  |
| 464.67                       | 480.40    | CIS 75  | +                 |      |    |        |      |               |                 |               |                 |                  |
| <b>Alteration Maj:</b>       |           | <b>Type/Style/Intensity</b>   | <b>Comment</b>    |      |    |        |      |               |                 |               |                 |                  |
| 464.67                       | 480.40    | CL PER +  |                   |      |    |        |      |               |                 |               |                 |                  |
| 464.67                       | 480.40    | CL B ++   |                   |      |    |        |      |               |                 |               |                 |                  |
| <b>Mineralization Maj. :</b> |           | <b>Type/Style/%Mineral</b>  | <b>Comment</b>    |      |    |        |      |               |                 |               |                 |                  |
| 464.67                       | 480.40    | PY DIS 1  | 1-2%              |      |    |        |      |               |                 |               |                 |                  |
| <b>Minor Interval:</b>       |           |   |                   |      |    |        |      |               |                 |               |                 |                  |
| 472.80                       | 473.68    | I2S   | Syénite           |      |    |        |      |               |                 |               |                 |                  |
|                              |           | Couleur gris moyen légèrement rougeâtre.  |                   |      |    |        |      |               |                 |               |                 |                  |
|                              |           | Contact supérieur net et franc à environ 75°AC (seulement une partie du contact visible sur un fragments scié (manque un bout de core). |                   |      |    |        |      |               |                 |               |                 |                  |
|                              |           | Contact inférieu net et franc à 70°AC.  |                   |      |    |        |      |               |                 |               |                 |                  |
|                              |           | Mag - à nul.  |                   |      |    |        |      |               |                 |               |                 |                  |
|                              |           | Py 2% assez grossière.  |                   |      |    |        |      |               |                 |               |                 |                  |
|                              |           | Porphyres très peu visible (altération ?), à environ 7-10%, millimétriques.   |                   |      |    |        |      |               |                 |               |                 |                  |
|                              |           | HM PER -; CL ve +.  |                   |      |    |        |      |               |                 |               |                 |                  |
| <b>Texture Min:</b>          |           | <b>Type</b>   | <b>Comment</b>    |      |    |        |      |               |                 |               |                 |                  |
| 472.80                       | 473.68    | PORP  |                   |      |    |        |      |               |                 |               |                 |                  |
| <b>Alteration Min:</b>       |           | <b>Type/Style/Intensity</b>   | <b>Comment</b>    |      |    |        |      |               |                 |               |                 |                  |
| 472.80                       | 473.68    | CL VE +   |                   |      |    |        |      |               |                 |               |                 |                  |
| 472.80                       | 473.68    | HM PER -  |                   |      |    |        |      |               |                 |               |                 |                  |
| <b>Mineralization Min:</b>   |           | <b>Type/Style/%Mineral</b>  | <b>Comment</b>    |      |    |        |      |               |                 |               |                 |                  |
| 472.80                       | 473.68    | PY DIS 2  | Assez grossières. |      |    |        |      |               |                 |               |                 |                  |



## LITHOLOGY REPORT - Detailed -

Hole Number **RO-01**

Project: **CADILLAC MINING**

Project Number:

| From<br>(m)            | To<br>(m) | Lithology  | Sample #                    | From                        | To | Length | Zone | AuAA<br>(ppm) | DpAuAA<br>(ppm) | AuGr<br>(ppm) | DpAuGr<br>(ppm) | AuFINAL<br>(ppm) |
|------------------------|-----------|--|-----------------------------|-----------------------------|----|--------|------|---------------|-----------------|---------------|-----------------|------------------|
| <b>Minor Interval:</b> |           |  |                             |                             |    |        |      |               |                 |               |                 |                  |
| 476.80                 | 480.29    | I2SFP<br><i>Syénite porphyrique à feldspaths</i><br>Couleur rouge-brun.<br>Contact supérieur net et franc à 75°AC.<br>Contact inférieur net et franc à 65°AC.<br>Mag +.<br>Py TR.<br>Texture porphyroïde avec 40% de porphyres; felds de 1-2mm sub-automorphes blancs-jaunâtres verdâtres, et plus gros porphyres 5mm à centimétriques automorphes, grisâtres-rosés (environ 5%).<br>HM ++ (rouille?); MG INT +. |                             |                             |    |        |      |               |                 |               |                 |                  |
|                        |           | <b>Texture Min:</b>  | <b>Type</b>                 | <b>Comment</b>              |    |        |      |               |                 |               |                 |                  |
|                        |           | 476.80 - 480.29  | PORP                        |                             |    |        |      |               |                 |               |                 |                  |
|                        |           | <b>Structure Min.:</b>   | <b>Type/Core Angle</b>      | <b>Comment</b>              |    |        |      |               |                 |               |                 |                  |
|                        |           | 476.80 - 480.29  | CIS 65                      | Marqué par la magnétite, -. |    |        |      |               |                 |               |                 |                  |
|                        |           | <b>Alteration Min:</b>   | <b>Type/Style/Intensity</b> | <b>Comment</b>              |    |        |      |               |                 |               |                 |                  |
|                        |           | 476.80 - 480.29  | MG INT +                    |                             |    |        |      |               |                 |               |                 |                  |
|                        |           | 476.80 - 480.29  | HM PER ++                   |                             |    |        |      |               |                 |               |                 |                  |
|                        |           | <b>Mineralization Min:</b>   | <b>Type/Style/%Mineral</b>  | <b>Comment</b>              |    |        |      |               |                 |               |                 |                  |
|                        |           | 476.80 - 480.29  | PY TR                       |                             |    |        |      |               |                 |               |                 |                  |
| 480.40                 | 501.10    | I3G<br><b>Gabbro</b><br>Initialement décrit en I3DD.<br>Couleur vert-moyen.<br>Contact supérieur fracturé par drill, non visible.<br>Contact inférieur net et franc à 75°AC.<br>Mag nul à localement -.<br>PY TR.<br>Très homogène; grain moyen.   |                             |                             |    |        |      |               |                 |               |                 |                  |
|                        |           | <b>Alteration Maj:</b>   | <b>Type/Style/Intensity</b> | <b>Comment</b>              |    |        |      |               |                 |               |                 |                  |
|                        |           | 480.40 - 501.10  | EP PCH -                    | Assez locale.               |    |        |      |               |                 |               |                 |                  |



## LITHOLOGY REPORT - Detailed -

Hole Number **RO-01**

Project: **CADILLAC MINING**

Project Number:

| <i>From</i><br>(m) | <i>To</i><br>(m) | <i>Lithology</i>   | <i>Sample #</i> | <i>From</i> | <i>To</i> | <i>Length</i> | <i>Zone</i> | <i>AuAA</i><br>(ppm) | <i>DpAuAA</i><br>(ppm) | <i>AuGr</i><br>(ppm) | <i>DpAuGr</i><br>(ppm) | <i>AuFINAL</i><br>(ppm) |
|--------------------|------------------|--|-----------------|-------------|-----------|---------------|-------------|----------------------|------------------------|----------------------|------------------------|-------------------------|
|                    | 480.40 - 501.10  | CL PER +   |                 |             |           |               |             |                      |                        |                      |                        |                         |
|                    |                  | <b>Mineralization Maj. :</b> <i>Type/Style/%Mineral</i> <b>Comment</b>   |                 |             |           |               |             |                      |                        |                      |                        |                         |
|                    | 480.40 - 501.10  | PY TR  |                 |             |           |               |             |                      |                        |                      |                        |                         |
| 501.10             | 502.20           | <b>I2SPOR</b><br>Syénite assez proche de celle dans le conglomérat avant le gabbro, mais non Mag, très faiblement HM et perte de la MG intersticielle.<br>Couleur gris-rosé à gris-vert.<br>Contact supérieur net et franc à 70°AC.<br>Contact inférieur net et franc à 75°AC (fracturé, angle approximatif).<br>Mag nul.<br>Py TR.<br>Texture porphyroïde avec 40% de porphyres; felds de 1-2mm sub-automorphes blancs-verdâtres, et plus gros porphyres de 5mm en moyenne automorphes, rosés (saumon) à environ 3%.<br>CIS 65-70°AC faible, marqué par la chlorite.<br>HM PER -; CL INT - à +. |                 |             |           |               |             |                      |                        |                      |                        |                         |
|                    |                  | <b>Structure Maj.:</b> <i>Type/Core Angle</i> <b>Comment</b>   |                 |             |           |               |             |                      |                        |                      |                        |                         |
|                    | 501.10 - 502.20  | CIS 65 65-70°, marqué par CL.  |                 |             |           |               |             |                      |                        |                      |                        |                         |
|                    |                  | <b>Alteration Maj:</b> <i>Type/Style/Intensity</i> <b>Comment</b>  |                 |             |           |               |             |                      |                        |                      |                        |                         |
|                    | 501.10 - 502.20  | CL INT - à +   |                 |             |           |               |             |                      |                        |                      |                        |                         |
|                    | 501.10 - 502.20  | HM PER - Très faible   |                 |             |           |               |             |                      |                        |                      |                        |                         |
|                    |                  | <b>Mineralization Maj. :</b> <i>Type/Style/%Mineral</i> <b>Comment</b>   |                 |             |           |               |             |                      |                        |                      |                        |                         |
|                    | 501.10 - 502.20  | PY TR  |                 |             |           |               |             |                      |                        |                      |                        |                         |
| 502.20             | 505.90           | <b>S1CZPOL</b> <i>polygénique conglomérat indéterminé ?</i><br>Initialement décrit en V3B.   | R47918          | 502.30      | 504.50    | 2.20          |             | -                    | -                      | -                    | -                      | 0.03                    |
|                    |                  |  | R47919          | 504.50      | 506.00    | 1.50          |             | -                    | -                      | -                    | -                      | 0.02                    |



## LITHOLOGY REPORT - Detailed -

Hole Number **RO-01**

Project: **CADILLAC MINING**

Project Number:

| From<br>(m)                 | To<br>(m)                            | Lithology   | Sample #               | From           | To     | Length | Zone                        | AuAA<br>(ppm)  | DpAuAA<br>(ppm) | AuGr<br>(ppm)       | DpAuGr<br>(ppm) | AuFINAL<br>(ppm) |          |  |                            |                |          |                                      |  |  |  |  |  |  |  |  |  |  |
|-----------------------------|--------------------------------------|---|------------------------|----------------|--------|--------|-----------------------------|----------------|-----------------|---------------------|-----------------|------------------|----------|--|----------------------------|----------------|----------|--------------------------------------|--|--|--|--|--|--|--|--|--|--|
|                             |                                      | <p>Couleur vert-moyen à sombre.<br/>Contact supérieur net et franc à 75°AC (fracturé, angle approximatif).<br/>Contact inférieur à 70°AC.<br/>Mag nul.<br/>PY 2% foliées (liserai)<br/>Conglomérat, sans doute altérés et légèrement méta par les intrusion syénitiques, d'où les fragments plus discret et un aspect plus "homogène"; fragments arrondis, centimétriques étirés à 70°AC.<br/>CL PER-; EP PCH -.<br/>CIS à 70°AC, faible.</p> <p><b>Structure Maj.:</b></p> <table border="0"> <tr> <td style="text-align: left;"><b>Type/Core Angle</b></td> <td style="text-align: left;"><b>Comment</b></td> </tr> <tr> <td>CIS 70</td> <td>-</td> </tr> </table> <p><b>Alteration Maj:</b></p> <table border="0"> <tr> <td style="text-align: left;"><b>Type/Style/Intensity</b></td> <td style="text-align: left;"><b>Comment</b></td> </tr> <tr> <td>CB ZN +</td> <td>Localement CB PER +</td> </tr> <tr> <td>EP PCH -</td> <td></td> </tr> <tr> <td>CL PER -</td> <td></td> </tr> </table> <p><b>Mineralization Maj. :</b></p> <table border="0"> <tr> <td style="text-align: left;"><b>Type/Style/%Mineral</b></td> <td style="text-align: left;"><b>Comment</b></td> </tr> <tr> <td>PY DIS 2</td> <td>Py foliées sur plan de cisaillement.</td> </tr> </table> | <b>Type/Core Angle</b> | <b>Comment</b> | CIS 70 | -      | <b>Type/Style/Intensity</b> | <b>Comment</b> | CB ZN +         | Localement CB PER + | EP PCH -        |                  | CL PER - |  | <b>Type/Style/%Mineral</b> | <b>Comment</b> | PY DIS 2 | Py foliées sur plan de cisaillement. |  |  |  |  |  |  |  |  |  |  |
| <b>Type/Core Angle</b>      | <b>Comment</b>                       |   |                        |                |        |        |                             |                |                 |                     |                 |                  |          |  |                            |                |          |                                      |  |  |  |  |  |  |  |  |  |  |
| CIS 70                      | -                                    |   |                        |                |        |        |                             |                |                 |                     |                 |                  |          |  |                            |                |          |                                      |  |  |  |  |  |  |  |  |  |  |
| <b>Type/Style/Intensity</b> | <b>Comment</b>                       |   |                        |                |        |        |                             |                |                 |                     |                 |                  |          |  |                            |                |          |                                      |  |  |  |  |  |  |  |  |  |  |
| CB ZN +                     | Localement CB PER +                  |   |                        |                |        |        |                             |                |                 |                     |                 |                  |          |  |                            |                |          |                                      |  |  |  |  |  |  |  |  |  |  |
| EP PCH -                    |                                      |   |                        |                |        |        |                             |                |                 |                     |                 |                  |          |  |                            |                |          |                                      |  |  |  |  |  |  |  |  |  |  |
| CL PER -                    |                                      |   |                        |                |        |        |                             |                |                 |                     |                 |                  |          |  |                            |                |          |                                      |  |  |  |  |  |  |  |  |  |  |
| <b>Type/Style/%Mineral</b>  | <b>Comment</b>                       |   |                        |                |        |        |                             |                |                 |                     |                 |                  |          |  |                            |                |          |                                      |  |  |  |  |  |  |  |  |  |  |
| PY DIS 2                    | Py foliées sur plan de cisaillement. |   |                        |                |        |        |                             |                |                 |                     |                 |                  |          |  |                            |                |          |                                      |  |  |  |  |  |  |  |  |  |  |
| 505.90                      | 507.10                               | <p><b>I2SFP Syénite porphyrique à feldspaths</b></p> <p>Initialement décrit en I2SPOR<br/>Couleur gris souris localement très légèrement verdâtre et rosâtre , de teinte moyenne<br/>Contact supérieur à 70°AC<br/>Contact inférieur net mais irrégulier, en moyenne à 80°AC<br/>Mag Nul<br/>Py fine à mm en trace mais localement à 1%, présente en association à la chlorite en remplissage de fractures ou en remplacement<br/>Texture porphyrique à feldspaths mm à 1cm présents entre 7 et 10% localement, non orientés. Nature paraissant moins alcaline que l'andésite précédente.<br/>Altération en chlorite - présente en veinules irrégulières mm, en remplissage de fractures ou en remplacement local entre certains porphyres ; présence rare de séricite localement associée aux veinules de chlorite.</p>  |                        |                |        |        |                             |                |                 |                     |                 |                  |          |  |                            |                |          |                                      |  |  |  |  |  |  |  |  |  |  |



## LITHOLOGY REPORT - Detailed -

Hole Number **RO-01**

Project: **CADILLAC MINING**

Project Number:

| <i>From</i><br>(m) | <i>To</i><br>(m) | <i>Lithology</i>  | <i>Sample #</i> | <i>From</i> | <i>To</i> | <i>Length</i> | <i>Zone</i> | <i>AuAA</i><br>(ppm) | <i>DpAuAA</i><br>(ppm) | <i>AuGr</i><br>(ppm) | <i>DpAuGr</i><br>(ppm) | <i>AuFINAL</i><br>(ppm) |
|--------------------|------------------|---|-----------------|-------------|-----------|---------------|-------------|----------------------|------------------------|----------------------|------------------------|-------------------------|
| 507.10             | 513.90           | <p><b>S1CZPOL    <i>polygénique conglomérat indéterminé</i></b><br/>           Originellement loggé en V2ACBX S<br/>           Couleur gris sensiblement verdâtre de teinte sombre<br/>           Contact supérieur net mais irrégulier, en moyenne à 80°AC<br/>           Contact inférieur net mais irrégulier, en moyenne à 70°AC<br/>           Mag nul<br/>           Py fine à mm en trace, très majoritairement associée à la phase intersticielle fine chloriteuse et carbonatée, également en trace disséminée et fine dans certains clastes conglomératiques, ou associée aux rares veinules de quartz boudinées.<br/>           Texture conglomératique à clastes arrondis elliptiques, orientés entre 55 et 75°AC, polymicte, et de taille très majoritairement cm. La matrice minoritaire en présence est à chlorite noire-verdâtre, parfois associée à des carbonates (frequemment en figures de pression au contours des clastes).</p> |                 |             |           |               |             |                      |                        |                      |                        |                         |
| 513.90             | 514.50           | <p><b>I2SPOR    <i>porphyre syénite</i></b><br/>           Couleur variable de gris souris de teinte moyenne, à rose saumon de teinte claire localement<br/>           Contact supérieur net mais irrégulier, en moyenne à 70°AC<br/>           Contact inférieur irrégulier à 70°AC environ<br/>           Mag nul<br/>           Py 1% disséminée et parfois logée dans certaines fractures, fine à mm.<br/>           Texture porphyrique à feldspaths mm sub-automorphes, à 7% en présence. Pas d'orientation des</p>   |                 |             |           |               |             |                      |                        |                      |                        |                         |



## LITHOLOGY REPORT - Detailed -

Hole Number **RO-01**

Project: **CADILLAC MINING**

Project Number:

| From<br>(m) | To<br>(m) | Lithology | Sample # | From | To | Length | Zone | AuAA<br>(ppm) | DpAuAA<br>(ppm) | AuGr<br>(ppm) | DpAuGr<br>(ppm) | AuFINAL<br>(ppm) |
|-------------|-----------|-----------|----------|------|----|--------|------|---------------|-----------------|---------------|-----------------|------------------|
|-------------|-----------|-----------|----------|------|----|--------|------|---------------|-----------------|---------------|-----------------|------------------|

porphyres. Rare présence de veinules de quartz boudinées sans orientation particulière.  
Altération en SI + pervasif, mais localement en HM - à + pervasif de 515.40 à 515.80m. Légère chloritisation interstitielle pervasive (remplissage (remplacement?) de rares et fines zones).

**Mineralization Maj. :**    **Type/Style/%Mineral**    **Comment**  
513.90 - 514.50    PY    3

|        |        |  |        |        |        |      |  |   |   |   |   |      |
|--------|--------|--|--------|--------|--------|------|--|---|---|---|---|------|
| 514.50 | 534.10 | <b>I2SFP      Syénite porphyrique à feldspaths</b><br>Originellement loggé I2SPOR<br>Couleur gris de teinte foncé<br>Contact supérieur à 70°AC environ<br>Contact inférieur diffus marqué par une passe de 2cm cisailée à 55°AC<br>Mag nul<br>Py 2% environ, disséminée, fine à mm.<br>Texture porphyrique présentant un léger cisaillement : les porphyres de feldspaths mm à cm sub-anguleux à arrondis sont orientés à 75°AC en moyenne ; également orientation de petits porphyres d'amphibole (ou de biotite) en lattes mm chloritisés. Veinules de quartz mm boudinées non orientées en trace. |        |        |        |      |  |   |   |   |   |      |
|        |        |  | R47920 | 514.50 | 515.40 | 0.90 |  | - | - | - | - | 0.01 |
|        |        |  | R47921 | 515.40 | 515.80 | 0.40 |  | - | - | - | - | 0.01 |
|        |        |  | R47922 | 516.60 | 516.80 | 0.20 |  | - | - | - | - | 0.08 |
|        |        |  | R47924 | 518.70 | 519.00 | 0.30 |  | - | - | - | - | 0.02 |
|        |        |  | R47923 | 528.80 | 529.40 | 0.60 |  | - | - | - | - | 0.02 |

**Structure Maj.:**    **Type/Core Angle**    **Comment**  
514.50 - 534.10    CIS    75    léger : orientation des porphyres

**Mineralization Maj. :**    **Type/Style/%Mineral**    **Comment**  
528.80 - 529.40    PY    1    Py1  
532.50 - 534.10    PY    3    Py2-3



**LITHOLOGY REPORT**  
- Detailed -

Hole Number **RO-01**

Project: **CADILLAC MINING**

Project Number:

| <i>From</i><br>(m) | <i>To</i><br>(m) | <i>Lithology</i>   | <i>Sample #</i>            | <i>From</i>    | <i>To</i> | <i>Length</i> | <i>Zone</i> | <i>AuAA</i><br>(ppm) | <i>DpAuAA</i><br>(ppm) | <i>AuGr</i><br>(ppm) | <i>DpAuGr</i><br>(ppm) | <i>AuFINAL</i><br>(ppm) |
|--------------------|------------------|--|----------------------------|----------------|-----------|---------------|-------------|----------------------|------------------------|----------------------|------------------------|-------------------------|
| 534.10             | 547.24           | <b>I2S Syénite</b><br>Initialement loggé I2SPOR<br>Couleur grise parfois rosée de teinte moyenne à foncée<br>Contact supérieur diffus marqué par une passe de 2cm cisailée à 55°AC<br>Contact inférieur net à 50°AC<br>Mag nul<br>Py mm en trace à localement 1%, disséminée, préférentiellement associée aux VE de Quartz<br>Texture grenue à très fins porphyres de feldspaths localement. De 541 à 541.5m passe bréchifiée, à remplissage de quartz où il y a présence de 2 veines côte à côte très particulières : car originellement à remplissage en "bladed calcite" ayant subi une deuxième phase de fluides siliceux bréchifiant les lattes de calcite à présent pêle-mêle et figées dans une matrice quartzreuse. Ces veines sont à 45 - 50°AC. De 545.5 à 547m, variation de texture : passe à porphyroïdes de feldspaths mm blancs homogénéitaires avec augmentation du magnétisme local et renforcement de la silicification. | R47853                     | 541.00         | 541.50    | 0.50          |             | -                    | -                      | -                    | -                      | 0.00                    |
|                    |                  |  | R47926                     | 541.80         | 542.00    | 0.20          |             | -                    | -                      | -                    | -                      | 0.02                    |
|                    |                  |  | R47925                     | 543.30         | 543.60    | 0.30          |             | -                    | -                      | -                    | -                      | 0.01                    |
|                    |                  |  | A001                       | 544.20         | 545.30    | 1.10          |             | -                    | -                      | -                    | -                      | 0.02                    |
|                    |                  |  | A002                       | 546.00         | 546.60    | 0.60          |             | -                    | -                      | -                    | -                      | 0.01                    |
|                    |                  | <b>Mineralization Maj. :</b>   | <b>Type/Style/%Mineral</b> | <b>Comment</b> |           |               |             |                      |                        |                      |                        |                         |
|                    |                  | 541.00 - 545.30  | PY LOC 2                   | Loc Py1-2      |           |               |             |                      |                        |                      |                        |                         |
|                    |                  | 546.00 - 546.60  | PY 2                       | Py2            |           |               |             |                      |                        |                      |                        |                         |
| 547.24             | 549.05           | <b>I2SFP Syénite porphyrique à feldspaths</b><br>Non différenciée dans le précédent log<br>Couleur grise parfois légèrement rosée de teinte moyenne à foncée<br>Contact supérieur net à 50°AC<br>Contact inférieur net à 50°AC<br>Mag +<br>Py 1% disséminée et mm<br>Texture grenue à porphyroïdes de feldspaths mm à cm présents à 3%, présence de grains chloritisés en lattes infra-mm et mm entre 5 et 10% en présence. Unité magnétique.  | R47854                     | 548.50         | 549.00    | 0.50          |             | -                    | -                      | -                    | -                      | 0.00                    |



## LITHOLOGY REPORT - Detailed -

Hole Number **RO-01**

Project: **CADILLAC MINING**

Project Number:

| <i>From</i><br>(m)           | <i>To</i><br>(m) | <i>Lithology</i>   | <i>Sample #</i> | <i>From</i> | <i>To</i> | <i>Length</i> | <i>Zone</i> | <i>AuAA</i><br>(ppm) | <i>DpAuAA</i><br>(ppm) | <i>AuGr</i><br>(ppm) | <i>DpAuGr</i><br>(ppm) | <i>AuFINAL</i><br>(ppm) |
|------------------------------|------------------|--|-----------------|-------------|-----------|---------------|-------------|----------------------|------------------------|----------------------|------------------------|-------------------------|
| <b>Minor Interval:</b>       |                  |  |                 |             |           |               |             |                      |                        |                      |                        |                         |
| 547.70                       | 549.00           | I2SD POR   |                 |             |           |               |             |                      |                        |                      |                        |                         |
| 549.05                       | 557.93           | <b>I2S Syénite</b><br>Initialement loggé I2SPOR<br>Couleur grise parfois rosée de teinte moyenne à foncée<br>Contact supérieur net à 50°AC<br>Contact inférieur assez net mais irrégulier avec bande d'altération centimétrique.<br>Mag nul<br>Py mm en trace à localement 1%, disséminée<br>Texture grenue à très fins porphyres de feldspaths localement. Localement chloritisation intersticielle entre certains grains de feldspaths (augmentation en teneur des ferromagnésiens chloritisés?).  | R47855          | 549.00      | 550.00    | 1.00          |             | -                    | -                      | -                    | -                      | 0.00                    |
|                              |                  |  | A003            | 552.00      | 552.60    | 0.60          |             | -                    | -                      | -                    | -                      | 0.01                    |
|                              |                  |  | A004            | 554.00      | 554.40    | 0.40          |             | -                    | -                      | -                    | -                      | 0.01                    |
| <b>Mineralization Maj. :</b> |                  | <b>Type/Style/%Mineral</b>   | <b>Comment</b>  |             |           |               |             |                      |                        |                      |                        |                         |
| 548.50                       | 550.00           | PY 3   | Py3             |             |           |               |             |                      |                        |                      |                        |                         |
| 557.93                       | 569.50           | <b>I2SBX brèche syénite</b><br>Initialement décrit en I2SPOR jusqu'à 573.5m.<br>Passe de I2S (?) très hétérogène, avec des changements importants de textures et d'altération.<br>Couleur gris-rosé, à gris-vert.<br>Contact supérieur assez net mais irrégulier avec bande d'altération centimétrique.<br>Contact inférieur assez visible à 65°AC, positionné après une passe plus continue de I2SFP, avant une passe bréchifiée à fragments CL++ en transition diffuse (conglomératiques).<br>Mag +, localement très faible (passe non porphyriques, CL- à +).<br>Py en concentration très irrégulière, 1-2% en moyenne, localement 3-4%, DIS et en FF (associées à CL+ à ++).<br>Porphyres feds entre 20 et 25%, de 1-2mm à 5-1cm, automorphes à sub-automorphes, blanc à beiges- | GM85185         | 558.00      | 559.00    | 1.00          |             | 0.02                 | -                      | -                    | -                      | 0.02                    |
|                              |                  |  | GM85186         | 559.00      | 560.00    | 1.00          |             | 0.02                 | -                      | -                    | -                      | 0.02                    |
|                              |                  |  | GM85187         | 560.00      | 561.00    | 1.00          |             | 0.01                 | -                      | -                    | -                      | 0.01                    |
|                              |                  |  | A005            | 562.00      | 563.60    | 1.60          |             | -                    | -                      | -                    | -                      | 0.06                    |
|                              |                  |  | A006            | 566.00      | 567.00    | 1.00          |             | -                    | -                      | -                    | -                      | 0.00                    |



## LITHOLOGY REPORT - Detailed -

Hole Number **RO-01**

Project: **CADILLAC MINING**

Project Number:

| <i>From</i><br>(m) | <i>To</i><br>(m) | <i>Lithology</i>   | <i>Sample #</i>             | <i>From</i>                                    | <i>To</i> | <i>Length</i> | <i>Zone</i> | <i>AuAA</i><br>(ppm) | <i>DpAuAA</i><br>(ppm) | <i>AuGr</i><br>(ppm) | <i>DpAuGr</i><br>(ppm) | <i>AuFINAL</i><br>(ppm) |
|--------------------|------------------|--|-----------------------------|--|-----------|---------------|-------------|----------------------|------------------------|----------------------|------------------------|-------------------------|
|                    |                  | rosé (HM- au pourtour).<br>Texture bréchifiée, avec CL+ à ++ interstitielle, en bandes centimétriques et en FF, avec des changements de textures marqués par les feldspaths (plus ou moins d'accumulation avec un zonage de petit et grand cristaux) et localement aspect de fragments syénitiques.<br>Passes locale de syénite plus homogène, généralement HM- avec enclaves CL+ centimétriques anguleux.<br>De 565.03 à 567.27, passe à grain plus fin (très semblable aux passes entre les fragments de syénites porphyriques).<br>CIS à 60-65°AC faible. |                             |  |           |               |             |                      |                        |                      |                        |                         |
|                    |                  | <b>Structure Maj.:</b>   | <b>Type/Core Angle</b>      | <b>Comment</b>                                 |           |               |             |                      |                        |                      |                        |                         |
|                    |                  | 557.93 - 569.50  | CIS 65                      | 60-65°AC, faible, localement non pénétratif.   |           |               |             |                      |                        |                      |                        |                         |
|                    |                  | <b>Alteration Maj:</b>   | <b>Type/Style/Intensity</b> | <b>Comment</b>                                 |           |               |             |                      |                        |                      |                        |                         |
|                    |                  | 557.93 - 569.50  | HM ZN -                     | à + sur passes de syénite plus massive.        |           |               |             |                      |                        |                      |                        |                         |
|                    |                  | 557.93 - 569.50  | CL ZN -                     | à localement ++ en Bandes, INT et en FF.       |           |               |             |                      |                        |                      |                        |                         |
|                    |                  | <b>Mineralization Maj. :</b>   | <b>Type/Style/%Mineral</b>  | <b>Comment</b>                                 |           |               |             |                      |                        |                      |                        |                         |
|                    |                  | 557.93 - 569.50  | PY DIS 2                    | Très irrégulière, entre 1-2%, localement 3-4%. |           |               |             |                      |                        |                      |                        |                         |
| 573.50             | 586.57           | <b>S1CZPOL polygénique conglomérat indéterminé</b>   |                             |  |           |               |             |                      |                        |                      |                        |                         |
|                    |                  | Initialement décrit en ZCI   |                             |  |           |               |             |                      |                        |                      |                        |                         |
|                    |                  | Couleur vert-sombre à gris-rosé (fragments).   |                             |  |           |               |             |                      |                        |                      |                        |                         |
|                    |                  | Contact supérieur assez visible à 65°AC, positionné après une passe plus continue de I2SFP, avant une passe bréchifiée à fragments CL++ en transition diffuse (nettement conglomératiques).  | GM85192                     | 574.00   | 575.00    | 1.00          |             | 0.01                 | -                      | -                    | -                      | 0.01                    |
|                    |                  | Contact inférieur assez diffus (perte des fragments CL++, syénite franche)   | GM85193                     | 575.00   | 576.00    | 1.00          |             | 0.04                 | 0.04                   | -                    | -                      | 0.04                    |
|                    |                  | Mag nul à + sur passes I2S.  | GM85194                     | 576.00   | 577.00    | 1.00          |             | 0.03                 | -                      | -                    | -                      | 0.03                    |
|                    |                  | PY 2-3% fine.  | A007                        | 581.30   | 581.50    | 0.20          |             | -                    | -                      | -                    | -                      | 0.49                    |
|                    |                  | Fragments centimétriques CL+ à ++ (vert-sombre à gris) à décimétriques HM- (rosé, I2SFP), assez fortement déformés, avec QZ plus abonant en fin de passes (en fragments arrondis de 5 mm en moyenne)   | A008                        | 585.00   | 586.80    | 1.80          |             | -                    | -                      | -                    | -                      | 0.02                    |
|                    |                  | CIS à 65°AC, fortement pénétratif.   |                             |  |           |               |             |                      |                        |                      |                        |                         |
|                    |                  | I2SFP de 578.54 à 579.52m.   |                             |  |           |               |             |                      |                        |                      |                        |                         |



## LITHOLOGY REPORT - Detailed -

Hole Number **RO-01**

Project: **CADILLAC MINING**

Project Number:

| From<br>(m)                  | To<br>(m) | Lithology  | Sample #                                  | From | To | Length | Zone | AuAA<br>(ppm) | DpAuAA<br>(ppm) | AuGr<br>(ppm) | DpAuGr<br>(ppm) | AuFINAL<br>(ppm) |
|------------------------------|-----------|--|---|------|----|--------|------|---------------|-----------------|---------------|-----------------|------------------|
| <b>Structure Maj.:</b>       |           | <b>Type/Core Angle</b>   | <b>Comment</b>                            |      |    |        |      |               |                 |               |                 |                  |
| 573.50                       | 586.57    | CIS 65   | + à ++.                                   |      |    |        |      |               |                 |               |                 |                  |
| <b>Alteration Maj:</b>       |           | <b>Type/Style/Intensity</b>  | <b>Comment</b>                            |      |    |        |      |               |                 |               |                 |                  |
| 573.50                       | 586.57    | CB ZN +  | Localement ++.                            |      |    |        |      |               |                 |               |                 |                  |
| 573.50                       | 586.57    | HM ZN -  | Sur fragments syénitiques.                |      |    |        |      |               |                 |               |                 |                  |
| 573.50                       | 586.57    | CL PER +   | à ++                                      |      |    |        |      |               |                 |               |                 |                  |
| <b>Mineralization Maj. :</b> |           | <b>Type/Style/%Mineral</b>   | <b>Comment</b>                            |      |    |        |      |               |                 |               |                 |                  |
| 573.50                       | 586.57    | PY DIS 2   | 2-3% fine.                                |      |    |        |      |               |                 |               |                 |                  |
| <b>Minor Interval:</b>       |           |  |   |      |    |        |      |               |                 |               |                 |                  |
| 578.54                       | 579.52    | I2SFP  | <i>Syénite porphyrique à feldspaths</i>   |      |    |        |      |               |                 |               |                 |                  |
|                              |           | Couleur gris-rosé.<br>Contact supérieur assez irrégulier et diffus.<br>Contact inférieur net et franc à 60°AC.<br>Mag +.<br>Py 0.5-1%.<br>Porphyres de 15-20% sub-automorphes beiges-rosés à verdâtre, de 5mm à 1cm, avec porphyres plus fins de 2mm à 5% et éléments CL+ millimétriques anguleux.<br>CL DIS; HM-. |   |      |    |        |      |               |                 |               |                 |                  |
| <b>Texture Min:</b>          |           | <b>Type</b>  | <b>Comment</b>                            |      |    |        |      |               |                 |               |                 |                  |
| 578.54                       | 579.52    | PORP   |   |      |    |        |      |               |                 |               |                 |                  |
| <b>Alteration Min:</b>       |           | <b>Type/Style/Intensity</b>  | <b>Comment</b>                            |      |    |        |      |               |                 |               |                 |                  |
| 578.54                       | 579.52    | CL B +   | Bandes discontinues + à ++, DIS et en FF. |      |    |        |      |               |                 |               |                 |                  |
| 578.54                       | 579.52    | HM PER -   |   |      |    |        |      |               |                 |               |                 |                  |
| <b>Mineralization Min:</b>   |           | <b>Type/Style/%Mineral</b>   | <b>Comment</b>                            |      |    |        |      |               |                 |               |                 |                  |
| 578.54                       | 579.52    | PY DIS 0.5   | à 1% fine                                 |      |    |        |      |               |                 |               |                 |                  |



## LITHOLOGY REPORT - Detailed -

Hole Number **RO-01**

Project: **CADILLAC MINING**

Project Number:

| <i>From</i><br>(m) | <i>To</i><br>(m) | <i>Lithology</i>   | <i>Sample #</i>             | <i>From</i>   | <i>To</i> | <i>Length</i> | <i>Zone</i> | <i>AuAA</i><br>(ppm) | <i>DpAuAA</i><br>(ppm) | <i>AuGr</i><br>(ppm) | <i>DpAuGr</i><br>(ppm) | <i>AuFINAL</i><br>(ppm) |
|--------------------|------------------|--|-----------------------------|---|-----------|---------------|-------------|----------------------|------------------------|----------------------|------------------------|-------------------------|
| 586.57             | 610.40           | <b>I2SFP</b> <b>Syénite porphyrique à feldspaths</b><br>Initialement décrit en I2SPOR.<br>Couleur gris moyen à rougeâtre.<br>Contact supérieur assez diffus (perte des fragments CL++, syénite franche)<br>Contact inférieur net mais irrégulier.<br>Mag + (localement ++).<br>Py DIS 1-2%, moyenne, localement 3-4% fine.<br>Porphyres felds blancs-rosés à 20-25%, automorphes à sub-automorphes, de 5mm en moyenne (3mm à 1cm).<br>2 Dykes de 601.33 à 601.92 et de 602.87 à 603.4m.<br>HM localement -, CL ZN + et DIS - | A009                        | 588.00  | 589.70    | 1.70          |             | -                    | -                      | -                    | -                      | 0.04                    |
|                    |                  |  | A010                        | 593.30  | 594.00    | 0.70          |             | -                    | -                      | -                    | -                      | 0.01                    |
|                    |                  |  | A011                        | 594.30  | 594.70    | 0.40          |             | -                    | -                      | -                    | -                      | 0.01                    |
|                    |                  |  | A012                        | 594.70  | 596.80    | 2.10          |             | -                    | -                      | -                    | -                      | 0.02                    |
|                    |                  |  | A013                        | 598.80  | 599.40    | 0.60          |             | -                    | -                      | -                    | -                      | 0.01                    |
|                    |                  |  | A014                        | 602.60  | 602.85    | 0.25          |             | -                    | -                      | -                    | -                      | 0.01                    |
|                    |                  |  | A015                        | 604.00  | 605.00    | 1.00          |             | -                    | -                      | -                    | -                      | 0.00                    |
|                    |                  |  | A016                        | 605.00  | 606.00    | 1.00          |             | -                    | -                      | -                    | -                      | 0.00                    |
|                    |                  |  | A017                        | 606.00  | 607.50    | 1.50          |             | -                    | -                      | -                    | -                      | 0.00                    |
|                    |                  |  | A018                        | 608.30  | 610.00    | 1.70          |             | -                    | -                      | -                    | -                      | 0.01                    |
|                    |                  | <b>Alteration Maj:</b>   | <b>Type/Style/Intensity</b> | <b>Comment</b>  |           |               |             |                      |                        |                      |                        |                         |
| 586.57 - 610.40    |                  |  | CL ZN +                     |   |           |               |             |                      |                        |                      |                        |                         |
| 586.57 - 610.40    |                  |  | CL DIS -                    |   |           |               |             |                      |                        |                      |                        |                         |
| 586.57 - 610.40    |                  |  | HM ZN -                     | Localement +, discontinues.   |           |               |             |                      |                        |                      |                        |                         |
|                    |                  | <b>Mineralization Maj. :</b>   | <b>Type/Style/%Mineral</b>  | <b>Comment</b>  |           |               |             |                      |                        |                      |                        |                         |
| 586.57 - 610.40    |                  |  | PY DIS 1                    | 1-2%, localement 3-4% plus fine.  |           |               |             |                      |                        |                      |                        |                         |
|                    |                  | <b>Minor Interval:</b>   |                             |   |           |               |             |                      |                        |                      |                        |                         |
| 601.33             | 601.92           | I1DD   |                             | <i>dyke granodiorite ?</i><br>Couleur gris moyen légèrement vert<br>Contact supérieur diffus.<br>Contact inférieur assez net mais irrégulier (45-55°AC).<br>Mag nul, localement -.<br>Py 0.5%.<br>Grenue à grain moyen, de Fedls+QZ±BO±PX, d'aspect granitique (ou syéno-granite?). |           |               |             |                      |                        |                      |                        |                         |
|                    |                  | <b>Texture Min:</b>  | <b>Type</b>                 | <b>Comment</b>  |           |               |             |                      |                        |                      |                        |                         |
| 601.33 - 601.92    |                  |  | GREP                        | Grain moyen.  |           |               |             |                      |                        |                      |                        |                         |
|                    |                  | <b>Mineralization Min:</b>   | <b>Type/Style/%Mineral</b>  | <b>Comment</b>  |           |               |             |                      |                        |                      |                        |                         |
| 601.33 - 601.92    |                  |  | PY DIS 0.5                  |   |           |               |             |                      |                        |                      |                        |                         |



## LITHOLOGY REPORT - Detailed -

Hole Number **RO-01**

Project: **CADILLAC MINING**

Project Number:

| <i>From</i><br><i>(m)</i>    | <i>To</i><br><i>(m)</i> | <i>Lithology</i>  | <i>Sample #</i>                         | <i>From</i> | <i>To</i> | <i>Length</i> | <i>Zone</i> | <i>AuAA</i><br><i>(ppm)</i> | <i>DpAuAA</i><br><i>(ppm)</i> | <i>AuGr</i><br><i>(ppm)</i> | <i>DpAuGr</i><br><i>(ppm)</i> | <i>AuFINAL</i><br><i>(ppm)</i> |
|------------------------------|-------------------------|---|---|-------------|-----------|---------------|-------------|-----------------------------|-------------------------------|-----------------------------|-------------------------------|--------------------------------|
| <b>Minor Interval:</b>       |                         |   |   |             |           |               |             |                             |                               |                             |                               |                                |
| 602.87                       | 603.40                  | I2S <i>Syénite</i><br>Couleur gris moyen légèrement vert à rosé.<br>Contact supérieur net et franc à 65°AC.<br>Contact inférieur net et franc à 35°AC.<br>Mag -.<br>Py 0.5% (à TR).<br>Grenue à grain moyen, de Fedls±QZ, d'apect granitique (ou syéno-granite?). |   |             |           |               |             |                             |                               |                             |                               |                                |
| <b>Texture Min:</b>          |                         | <b>Type</b>   | <b>Comment</b>                          |             |           |               |             |                             |                               |                             |                               |                                |
| 602.87 - 603.40              |                         | GREP  |   |             |           |               |             |                             |                               |                             |                               |                                |
| <b>Alteration Min:</b>       |                         | <b>Type/Style/Intensity</b>   | <b>Comment</b>                          |             |           |               |             |                             |                               |                             |                               |                                |
| 602.87 - 603.40              |                         | CL DIS -  | remplacement ?                          |             |           |               |             |                             |                               |                             |                               |                                |
| <b>Mineralization Min:</b>   |                         | <b>Type/Style/%Mineral</b>  | <b>Comment</b>                          |             |           |               |             |                             |                               |                             |                               |                                |
| 602.87 - 603.40              |                         | PY DIS 0.5  | à TR, moyenne.                          |             |           |               |             |                             |                               |                             |                               |                                |
| 610.40                       | 612.86                  | I2S <i>Syénite</i><br>Couleur gris-moyen.<br>Contact supérieur net mais irrégulier.<br>Contact inférieur net et franc à 80°AC.<br>Mag + localement -.<br>Py 1%.<br>Grenue à Feds blancs-rosé, de 2-3mm en moyenne à 50%.  | A019                                    | 610.00      | 611.00    | 1.00          |             | -                           | -                             | -                           | -                             | 0.01                           |
|                              |                         |   | A020                                    | 611.00      | 612.00    | 1.00          |             | -                           | -                             | -                           | -                             | 0.01                           |
| <b>Alteration Maj:</b>       |                         | <b>Type/Style/Intensity</b>   | <b>Comment</b>                          |             |           |               |             |                             |                               |                             |                               |                                |
| 610.40 - 612.86              |                         | HM FF -   | très faible, épontes de microfractures. |             |           |               |             |                             |                               |                             |                               |                                |
| <b>Mineralization Maj. :</b> |                         | <b>Type/Style/%Mineral</b>  | <b>Comment</b>                          |             |           |               |             |                             |                               |                             |                               |                                |
| 610.40 - 612.86              |                         | PY DIS 1  | localement 2%.                          |             |           |               |             |                             |                               |                             |                               |                                |



## LITHOLOGY REPORT - Detailed -

Hole Number **RO-01**

Project: **CADILLAC MINING**

Project Number:

| From<br>(m) | To<br>(m) | Lithology   | Sample #                    | From  | To     | Length | Zone | AuAA<br>(ppm) | DpAuAA<br>(ppm) | AuGr<br>(ppm) | DpAuGr<br>(ppm) | AuFINAL<br>(ppm) |
|-------------|-----------|---|-----------------------------|---|--------|--------|------|---------------|-----------------|---------------|-----------------|------------------|
| 612.86      | 672.30    | <b>I2SPOR</b><br>Initialement décrit en I2SPOR.<br>Couleur gris-moyen, localement légèrement verte à rosé.<br>Contact supérieur net et franc à 80°AC.<br>Contact inférieur net et franc à 60°AC.<br>Mag nul à -.<br>Py 1-2% fine à moyenne.<br>Texture très variable de porphyroïdes jusqu'à 634.9m, puis porphyriques, sans changements de composition notable.<br>De 612.86 à 634.9m, porphyres centimétriques à 5-10%, sur porphyres de 2 à 4mm, à 25%, blancs localement légèrement rosés, automorphes, avec passe CL+ de 626.51 à 628.56m (quelques porphyres visibles éparses: zone bréchique à remplissage CL ?).<br>De 634.9 à ..... Passe à porphyres de 2-3mm en moyenne entre 20 et 35%, automorphes blancs (avec localement zones d'accumulation avec porphyres de 5mm à 1cm), très faible HM locale donnant une teinte rosé au décimètre; de 639.42 'a 640.02m, dyke rosé SI+. | A021                        | 626.00  | 627.50 | 1.50   |      | -             | -               | -             | -               | 0.01             |
|             |           |   | A022                        | 627.50  | 628.90 | 1.40   |      | -             | -               | -             | -               | 0.02             |
|             |           |   | A023                        | 639.00  | 640.20 | 1.20   |      | -             | -               | -             | -               | 0.01             |
|             |           |   | A024                        | 640.20  | 641.00 | 0.80   |      | -             | -               | -             | -               | 0.03             |
|             |           |   | A025                        | 641.00  | 642.50 | 1.50   |      | -             | -               | -             | -               | 0.01             |
|             |           |   | A026                        | 642.50  | 644.00 | 1.50   |      | -             | -               | -             | -               | 0.02             |
|             |           |   | A027                        | 644.00  | 645.50 | 1.50   |      | -             | -               | -             | -               | 0.02             |
|             |           |   | A028                        | 645.50  | 647.00 | 1.50   |      | -             | -               | -             | -               | 0.01             |
|             |           |   | A029                        | 647.00  | 648.50 | 1.50   |      | -             | -               | -             | -               | 0.00             |
|             |           |   | A030                        | 648.50  | 650.00 | 1.50   |      | -             | -               | -             | -               | 0.01             |
|             |           |   | A031                        | 650.00  | 651.50 | 1.50   |      | -             | -               | -             | -               | 0.01             |
|             |           |   | A032                        | 651.50  | 653.00 | 1.50   |      | -             | -               | -             | -               | 0.01             |
|             |           |   | R47933                      | 653.00  | 655.00 | 2.00   |      | -             | -               | -             | -               | 0.01             |
|             |           |   | R47934                      | 655.00  | 657.00 | 2.00   |      | -             | -               | -             | -               | 0.01             |
|             |           |   | R47935                      | 657.00  | 658.00 | 1.00   |      | -             | -               | -             | -               | 0.00             |
|             |           |   | R47927                      | 658.00  | 659.00 | 1.00   |      | -             | -               | -             | -               | 0.01             |
|             |           |   | R47928                      | 659.00  | 660.00 | 1.00   |      | -             | -               | -             | -               | 0.01             |
|             |           |   | R47929                      | 660.00  | 661.00 | 1.00   |      | -             | -               | -             | -               | 0.03             |
|             |           |   | R47930                      | 661.00  | 662.00 | 1.00   |      | -             | -               | -             | -               | 0.02             |
|             |           |   | R47931                      | 662.00  | 663.00 | 1.00   |      | -             | -               | -             | -               | 0.07             |
|             |           |   | R47932                      | 663.00  | 664.30 | 1.30   |      | -             | -               | -             | -               | 0.04             |
|             |           |   | R47936                      | 664.30  | 666.00 | 1.70   |      | -             | -               | -             | -               | 0.01             |
|             |           |   | R47937                      | 666.00  | 668.00 | 2.00   |      | -             | -               | -             | -               | 0.01             |
|             |           |   | R47938                      | 668.00  | 669.30 | 1.30   |      | -             | -               | -             | -               | 0.01             |
|             |           |   | R47939                      | 669.80  | 671.00 | 1.20   |      | -             | -               | -             | -               | 0.01             |
|             |           |   | R47940                      | 671.00  | 672.00 | 1.00   |      | -             | -               | -             | -               | 0.01             |
|             |           | <b>Alteration Maj:</b>  | <b>Type/Style/Intensity</b> | <b>Comment</b>  |        |        |      |               |                 |               |                 |                  |
|             |           | 612.86 - 672.30   | HM ZN -                     | Très faible et locale.  |        |        |      |               |                 |               |                 |                  |
|             |           | 612.86 - 672.30   | CL PER -                    | Localement +  |        |        |      |               |                 |               |                 |                  |
|             |           | <b>Mineralization Maj. :</b>  | <b>Type/Style/%Mineral</b>  | <b>Comment</b>  |        |        |      |               |                 |               |                 |                  |
|             |           | 612.86 - 672.30   | PY DIS 1                    | Localment 2-3%.   |        |        |      |               |                 |               |                 |                  |
|             |           | <b>Minor Interval:</b>  |                             |   |        |        |      |               |                 |               |                 |                  |
|             |           | 626.51 - 628.56   | BX                          | Brèche  |        |        |      |               |                 |               |                 |                  |
|             |           |   |                             | Couleur vert-sombre à moyen.  |        |        |      |               |                 |               |                 |                  |
|             |           |   |                             | Contact supérieur net et franc à 65°AC.   |        |        |      |               |                 |               |                 |                  |
|             |           |   |                             | Contact inférieur plus irrégulier (bréchique).  |        |        |      |               |                 |               |                 |                  |
|             |           |   |                             | Mag nul.  |        |        |      |               |                 |               |                 |                  |
|             |           |   |                             | Py TR à localement 1% grossière.  |        |        |      |               |                 |               |                 |                  |
|             |           |   |                             | Texture bréchifiée, localement non visible (CL+ continue), avec porphyres éparses (passe de la syénite BX?) et fragments localement visibles. |        |        |      |               |                 |               |                 |                  |
|             |           | <b>Texture Min:</b>   | <b>Type</b>                 | <b>Comment</b>  |        |        |      |               |                 |               |                 |                  |
|             |           | 626.51 - 628.56   | BRPT                        |   |        |        |      |               |                 |               |                 |                  |



## LITHOLOGY REPORT - Detailed -

Hole Number **RO-01**

Project: **CADILLAC MINING**

Project Number:

| From<br>(m) | To<br>(m) | Lithology                  | Sample #                    | From   | To | Length | Zone | AuAA<br>(ppm) | DpAuAA<br>(ppm) | AuGr<br>(ppm) | DpAuGr<br>(ppm) | AuFINAL<br>(ppm) |
|-------------|-----------|----------------------------|-----------------------------|--|----|--------|------|---------------|-----------------|---------------|-----------------|------------------|
|             |           | <b>Alteration Min:</b>     | <b>Type/Style/Intensity</b> | <b>Comment</b>   |    |        |      |               |                 |               |                 |                  |
|             |           | 626.51 - 628.56            | CL PER +                    |  |    |        |      |               |                 |               |                 |                  |
|             |           | <b>Mineralization Min:</b> | <b>Type/Style/%Mineral</b>  | <b>Comment</b>   |    |        |      |               |                 |               |                 |                  |
|             |           | 626.51 - 628.56            | PY DIS 0.1                  | TR à 1% localement   |    |        |      |               |                 |               |                 |                  |
|             |           | <b>Minor Interval:</b>     |                             |  |    |        |      |               |                 |               |                 |                  |
|             |           | 639.42 - 640.02            | I1Z                         | <i>Intrusif felsique indéterminé</i>   |    |        |      |               |                 |               |                 |                  |
|             |           |                            |                             | Initialement décrit en I1ZD<br>Couleur gris-rosé leucocrates.<br>Contact supérieur bréchiqes très irrégulier mais net.<br>Contact inférieur net et franc à 60°AC (difficilement mesurable: carottes sciés sur apex du contact).<br>Py DIS isolées.<br>Porphyres visibles de felds blanc de 1-2mm en moyenne, à environ 20%, avec SI+ et QZ en matrice (leucogranite?). |    |        |      |               |                 |               |                 |                  |
|             |           | <b>Texture Min:</b>        | <b>Type</b>                 | <b>Comment</b>   |    |        |      |               |                 |               |                 |                  |
|             |           | 639.42 - 640.02            | GREP                        |  |    |        |      |               |                 |               |                 |                  |
|             |           | <b>Alteration Min:</b>     | <b>Type/Style/Intensity</b> | <b>Comment</b>   |    |        |      |               |                 |               |                 |                  |
|             |           | 639.42 - 640.02            | HM PER -                    |  |    |        |      |               |                 |               |                 |                  |
|             |           | 639.42 - 640.02            | SI PER +                    |  |    |        |      |               |                 |               |                 |                  |
|             |           | <b>Mineralization Min:</b> | <b>Type/Style/%Mineral</b>  | <b>Comment</b>   |    |        |      |               |                 |               |                 |                  |
|             |           | 639.42 - 640.02            | PY DIS 0.2                  | Py isolées.  |    |        |      |               |                 |               |                 |                  |





## LITHOLOGY REPORT - Detailed -

Hole Number **RO-01**

Project: **CADILLAC MINING**

Project Number:

| From<br>(m) | To<br>(m)       | Lithology  | Sample # | From | To | Length | Zone | AuAA<br>(ppm) | DpAuAA<br>(ppm) | AuGr<br>(ppm) | DpAuGr<br>(ppm) | AuFINAL<br>(ppm) |
|-------------|-----------------|--|----------|------|----|--------|------|---------------|-----------------|---------------|-----------------|------------------|
|             | 673.40 - 679.90 | SI PER -   |          |      |    |        |      |               |                 |               |                 |                  |
|             |                 | <b>Mineralization Min:</b>   |          |      |    |        |      |               |                 |               |                 |                  |
|             | 673.40 - 679.90 | CP FF 0.1  |          |      |    |        |      |               |                 |               |                 |                  |
|             | 673.40 - 679.90 | PY FF 0.5  |          |      |    |        |      |               |                 |               |                 |                  |
|             |                 | <b>Minor Interval:</b>   |          |      |    |        |      |               |                 |               |                 |                  |
|             | 714.10 - 715.10 | I2SFP<br>Couleur gris-moyen.<br>Contacts supérieur et inférieur irrégulier mais net.<br>Mag -<br>Py 1-2%, moyenne automorphes.<br>Porphyres à 10-15%, automorphes à sub-automorphes, grisâtres à légèrement verdâtres. |          |      |    |        |      |               |                 |               |                 |                  |
|             |                 | <b>Texture Min:</b>  |          |      |    |        |      |               |                 |               |                 |                  |
|             | 714.10 - 715.10 | PORP   |          |      |    |        |      |               |                 |               |                 |                  |
|             |                 | <b>Alteration Min:</b>   |          |      |    |        |      |               |                 |               |                 |                  |
|             | 714.10 - 715.10 | CL DIS +   |          |      |    |        |      |               |                 |               |                 |                  |
|             |                 | <b>Mineralization Min:</b>   |          |      |    |        |      |               |                 |               |                 |                  |
|             | 714.10 - 715.10 | PY DIS 1   |          |      |    |        |      |               |                 |               |                 |                  |



## LITHOLOGY REPORT - Detailed -

Hole Number **RO-01**

Project: **CADILLAC MINING**

Project Number:

| From<br>(m)                | To<br>(m) | Lithology   | Sample #       | From | To | Length | Zone | AuAA<br>(ppm) | DpAuAA<br>(ppm) | AuGr<br>(ppm) | DpAuGr<br>(ppm) | AuFINAL<br>(ppm) |
|----------------------------|-----------|---|----------------|------|----|--------|------|---------------|-----------------|---------------|-----------------|------------------|
| <b>Minor Interval:</b>     |           |   |                |      |    |        |      |               |                 |               |                 |                  |
| 715.66                     | 717.53    | I2SQFP <i>Syénite porphyrique à quartz et feldspaths</i><br>Couleur gris-moyen.<br>Contacts inférieur et supérieur net et franc à 70°AC.<br>Mag nul.<br>Py 2-3% fine à grossière.<br>Porphyres blancs à grisâtre automorphes à sub-automorphes de 1-2mm à 1cm à 20%, QZ plus arrondis à 5%. |                |      |    |        |      |               |                 |               |                 |                  |
| <b>Texture Min:</b>        |           | <b>Type</b>   | <b>Comment</b> |      |    |        |      |               |                 |               |                 |                  |
| 715.66 - 717.53            |           | PORP  |                |      |    |        |      |               |                 |               |                 |                  |
| <b>Alteration Min:</b>     |           | <b>Type/Style/Intensity</b>   | <b>Comment</b> |      |    |        |      |               |                 |               |                 |                  |
| 715.66 - 717.53            |           | SI PER -  |                |      |    |        |      |               |                 |               |                 |                  |
| <b>Mineralization Min:</b> |           | <b>Type/Style/%Mineral</b>  | <b>Comment</b> |      |    |        |      |               |                 |               |                 |                  |
| 715.66 - 717.53            |           | PY DIS 3  | 2-3%           |      |    |        |      |               |                 |               |                 |                  |



**FULL ANALYTICAL REPORT**  
**- Assay -**

Hole Number: **RO-01**

Project: **CADILLAC MINING**

Project Number:

**Assay Report (part 1 of 0)**

| <i>From</i><br>(m) | <i>To</i><br>(m) | <i>Length</i><br>(m) | <i>Sample #</i> | <i>Zone Name</i> | <i>AuAA</i><br>(ppm) | <i>DpAuAA</i><br>(ppm) | <i>AuGr</i><br>(ppm) | <i>DpAuGr</i><br>(ppm) | <i>AuFINAL</i><br>(ppm) | <i>%Sulphur</i> | <i>%Veins</i> | <i>Comments</i>  |
|--------------------|------------------|----------------------|-----------------|------------------|----------------------|------------------------|----------------------|------------------------|-------------------------|-----------------|---------------|--|
| 86.20              | 86.70            | 0.50                 | R47856          |                  | -                    | -                      | -                    | -                      | 0.02                    | 0.00            |               |  |
| 89.90              | 90.90            | 1.00                 | R47857          |                  | -                    | -                      | -                    | -                      | 0.13                    | 0.00            |               |  |
| 90.90              | 91.60            | 0.70                 | GM85168         |                  | 0.01                 | 0.01                   | -                    | -                      | 0.01                    | 0.00            | 0.00          | Conglomérat polygénique très déformé et plissé, localement bréchiqque, traces de Py disséminée |
| 91.60              | 92.50            | 0.90                 | R47858          |                  | -                    | -                      | -                    | -                      | 0.11                    | 0.00            |               |  |
| 92.50              | 93.10            | 0.60                 | GM85169         |                  | 0.02                 | -                      | -                    | -                      | 0.02                    | 0.00            | 0.00          | Conglomérat polygénique très déformé et plissé, localement bréchiqque, traces de Py disséminée |
| 93.10              | 93.50            | 0.40                 | R47859          |                  | -                    | -                      | -                    | -                      | 0.07                    | 0.00            |               |  |
| 108.30             | 108.40           | 0.10                 | R47860          |                  | -                    | -                      | -                    | -                      | 0.46                    | 0.00            |               |  |
| 109.70             | 109.80           | 0.10                 | R47861          |                  | -                    | -                      | -                    | -                      | 0.39                    | 0.00            |               |  |
| 111.00             | 112.00           | 1.00                 | GM85170         |                  | 0.02                 | -                      | -                    | -                      | 0.02                    | 0.00            | 0.00          | Sédiments fin cisailé à 5% fragments, traces-1% Py fine disséminée                             |
| 115.35             | 115.50           | 0.15                 | R47862          |                  | -                    | -                      | -                    | -                      | 0.12                    | 0.00            |               |  |
| 147.85             | 147.90           | 0.05                 | R47863          |                  | -                    | -                      | -                    | -                      | 0.04                    | 0.00            |               |  |
| 149.90             | 150.00           | 0.10                 | R47864          |                  | -                    | -                      | -                    | -                      | 0.05                    | 0.00            |               |  |
| 172.70             | 173.70           | 1.00                 | GM85171         |                  | 0.00                 | -                      | -                    | -                      | 0.00                    | 0.00            | 0.00          | Conglomérat déformé contenant 1% Ve Qz-Cb-CI-Py3% (Py moyenne)                                 |
| 185.50             | 186.00           | 0.50                 | R47865          |                  | -                    | -                      | -                    | -                      | 0.07                    | 0.00            |               |  |
| 233.60             | 233.70           | 0.10                 | R47866          |                  | -                    | -                      | -                    | -                      | 0.01                    | 0.00            |               |  |
| 239.55             | 239.65           | 0.10                 | R47867          |                  | -                    | -                      | -                    | -                      | 0.01                    | 0.00            |               |  |
| 248.55             | 249.20           | 0.65                 | R47868          |                  | -                    | -                      | -                    | -                      | 0.03                    | 0.00            |               |  |
| 265.20             | 265.50           | 0.30                 | R47869          |                  | -                    | -                      | -                    | -                      | 0.02                    | 0.00            |               |  |
| 266.00             | 266.20           | 0.20                 | R47870          |                  | -                    | -                      | -                    | -                      | 0.11                    | 0.00            |               |  |
| 271.80             | 271.95           | 0.15                 | R47871          |                  | -                    | -                      | -                    | -                      | 0.03                    | 0.00            |               |  |
| 283.25             | 283.55           | 0.30                 | R47889          |                  | -                    | -                      | -                    | -                      | 0.07                    | 0.00            |               |  |
| 293.30             | 293.60           | 0.30                 | R47890          |                  | -                    | -                      | -                    | -                      | 0.01                    | 0.00            |               |  |
| 331.00             | 331.70           | 0.70                 | R47891          |                  | -                    | -                      | -                    | -                      | 0.01                    | 0.00            |               |  |
| 332.80             | 333.45           | 0.65                 | R47892          |                  | -                    | -                      | -                    | -                      | 0.05                    | 0.00            |               |  |
| 335.10             | 335.50           | 0.40                 | R47893          |                  | -                    | -                      | -                    | -                      | 0.02                    | 0.00            |               |  |



**FULL ANALYTICAL REPORT**  
- Assay -

Hole Number: RO-01

Project: CADILLAC MINING

Project Number:

**Assay Report (part 1 of 0)**

| From<br>(m) | To<br>(m) | Length<br>(m) | Sample # | Zone Name | AuAA<br>(ppm) | DpAuAA<br>(ppm) | AuGr<br>(ppm) | DpAuGr<br>(ppm) | AuFINAL<br>(ppm) | %Sulphur | %Veins | Comments  |
|-------------|-----------|---------------|----------|-----------|---------------|-----------------|---------------|-----------------|------------------|----------|--------|---|
| 335.50      | 336.27    | 0.77          | R47894   |           | -             | -               | -             | -               | 0.02             | 0.00     |        |   |
| 336.27      | 336.87    | 0.60          | GM85173  |           | 0.00          | -               | -             | -               | 0.00             | 3.00     | 0.00   | Contact conгло-syénite, 5% de py fine au contact      |
| 336.87      | 337.77    | 0.90          | GM85174  |           | 0.00          | -               | -             | -               | 0.00             | 3.00     | 0.00   | HM-, py 3% CL+ en fine veinules discontinues          |
| 337.77      | 338.80    | 1.03          | GM85177  |           | 0.01          | -               | -             | -               | 0.01             | 2.00     | 0.00   | HM-, Py 2%, CL+ DIS et en fine veinules discontinues  |
| 338.80      | 339.80    | 1.00          | GM85178  |           | 0.01          | -               | -             | -               | 0.01             | 3.00     | 0.00   | PY 3-4% sur les 5 premiers centimètres, puis TR; HM+. |
| 350.00      | 351.00    | 1.00          | GM85179  |           | 0.03          | -               | -             | -               | 0.03             | 1.00     | 0.00   | Syénite HM+, pY 1% en moyenne                         |
| 351.00      | 352.00    | 1.00          | GM85180  |           | 0.14          | -               | -             | -               | 0.14             | 2.00     | 0.00   | Syérites HM- à +; Py 2-3%                             |
| 352.00      | 353.00    | 1.00          | GM85181  |           | 0.01          | 0.01            | -             | -               | 0.01             | 0.50     | 0.00   | Syénite HM- à +; Py 0.5 à 1%                          |
| 365.25      | 365.60    | 0.35          | R47895   |           | -             | -               | -             | -               | 0.12             | 0.00     |        |   |
| 379.20      | 379.30    | 0.10          | R47896   |           | -             | -               | -             | -               | 0.01             | 0.00     |        |   |
| 380.90      | 381.20    | 0.30          | R47897   |           | -             | -               | -             | -               | 0.40             | 0.00     |        |   |
| 392.50      | 392.65    | 0.15          | R47898   |           | -             | -               | -             | -               | 0.18             | 0.00     |        |   |
| 420.20      | 420.40    | 0.20          | R47899   |           | -             | -               | -             | -               | 0.23             | 0.00     |        |   |
| 423.00      | 423.70    | 0.70          | GM85182  |           | 0.01          | -               | -             | -               | 0.01             | 2.00     | 0.00   | Py 1-3% fine sur conglomérat; CL++                    |
| 423.70      | 424.15    | 0.45          | R47901   |           | -             | -               | -             | -               | 0.13             | 0.00     |        |   |
| 424.15      | 424.80    | 0.65          | GM85183  |           | 0.00          | -               | -             | -               | 0.00             | 2.00     | 0.00   | py 1-3% fine; conglomérat CL++                        |
| 424.80      | 425.80    | 1.00          | GM85184  |           | 0.01          | -               | -             | -               | 0.01             | 2.00     | 0.00   | I2SFP avec Py 2% moyenne, HM très faible, CL+ DIS.    |
| 432.00      | 432.50    | 0.50          | R47900   |           | -             | -               | -             | -               | 0.02             | 0.00     |        |   |
| 440.80      | 441.10    | 0.30          | R47902   |           | -             | -               | -             | -               | 0.00             | 0.00     |        |   |
| 441.65      | 441.95    | 0.30          | R47903   |           | -             | -               | -             | -               | 0.03             | 0.00     |        |   |
| 442.35      | 442.95    | 0.60          | R47904   |           | -             | -               | -             | -               | 0.07             | 0.00     |        |   |
| 445.00      | 445.30    | 0.30          | R47905   |           | -             | -               | -             | -               | 0.03             | 0.00     |        |   |
| 446.70      | 447.00    | 0.30          | R47906   |           | -             | -               | -             | -               | 0.13             | 0.00     |        |   |
| 447.00      | 448.50    | 1.50          | R47907   |           | -             | -               | -             | -               | 0.03             | 0.00     |        |   |
| 448.50      | 450.00    | 1.50          | R47908   |           | -             | -               | -             | -               | 0.07             | 0.00     |        |   |
| 450.00      | 451.50    | 1.50          | R47909   |           | -             | -               | -             | -               | 0.02             | 0.00     |        |   |
| 451.50      | 453.00    | 1.50          | R47910   |           | -             | -               | -             | -               | 0.02             | 0.00     |        |   |
| 453.00      | 454.50    | 1.50          | R47911   |           | -             | -               | -             | -               | 0.02             | 0.00     |        |   |



**FULL ANALYTICAL REPORT**  
- Assay -

Hole Number: RO-01

Project: CADILLAC MINING

Project Number:

**Assay Report (part 1 of 0)**

| From<br>(m) | To<br>(m) | Length<br>(m) | Sample # | Zone Name | AuAA<br>(ppm) | DpAuAA<br>(ppm) | AuGr<br>(ppm) | DpAuGr<br>(ppm) | AuFINAL<br>(ppm) | %Sulphur | %Veins | Comments                                |
|-------------|-----------|---------------|----------|-----------|---------------|-----------------|---------------|-----------------|------------------|----------|--------|---|
| 454.50      | 456.00    | 1.50          | R47912   |           | -             | -               | -             | -               | 0.02             | 0.00     |        |   |
| 456.90      | 457.25    | 0.35          | R47913   |           | -             | -               | -             | -               | 0.06             | 0.00     |        |   |
| 462.00      | 463.50    | 1.50          | R47914   |           | -             | -               | -             | -               | 0.06             | 0.00     |        |   |
| 463.50      | 464.60    | 1.10          | R47915   |           | -             | -               | -             | -               | 0.10             | 0.00     |        |   |
| 465.30      | 466.80    | 1.50          | R47852   |           | -             | -               | -             | -               | 0.00             | 0.00     |        |   |
| 472.70      | 473.70    | 1.00          | R47851   |           | -             | -               | -             | -               | 0.00             | 0.00     |        |   |
| 477.20      | 477.30    | 0.10          | R47916   |           | -             | -               | -             | -               | 0.00             | 0.00     |        |   |
| 478.50      | 478.60    | 0.10          | R47917   |           | -             | -               | -             | -               | 0.03             | 0.00     |        |   |
| 502.30      | 504.50    | 2.20          | R47918   |           | -             | -               | -             | -               | 0.03             | 0.00     |        |   |
| 504.50      | 506.00    | 1.50          | R47919   |           | -             | -               | -             | -               | 0.02             | 0.00     |        |   |
| 514.50      | 515.40    | 0.90          | R47920   |           | -             | -               | -             | -               | 0.01             | 0.00     |        |   |
| 515.40      | 515.80    | 0.40          | R47921   |           | -             | -               | -             | -               | 0.01             | 0.00     |        |   |
| 516.60      | 516.80    | 0.20          | R47922   |           | -             | -               | -             | -               | 0.08             | 0.00     |        |   |
| 518.70      | 519.00    | 0.30          | R47924   |           | -             | -               | -             | -               | 0.02             | 0.00     |        |   |
| 528.80      | 529.40    | 0.60          | R47923   |           | -             | -               | -             | -               | 0.02             | 0.00     |        |   |
| 541.00      | 541.50    | 0.50          | R47853   |           | -             | -               | -             | -               | 0.00             | 0.00     |        |   |
| 541.80      | 542.00    | 0.20          | R47926   |           | -             | -               | -             | -               | 0.02             | 0.00     |        |   |
| 543.30      | 543.60    | 0.30          | R47925   |           | -             | -               | -             | -               | 0.01             | 0.00     |        |   |
| 544.20      | 545.30    | 1.10          | A001     |           | -             | -               | -             | -               | 0.02             | 0.00     |        |   |
| 546.00      | 546.60    | 0.60          | A002     |           | -             | -               | -             | -               | 0.01             | 0.00     |        |   |
| 548.50      | 549.00    | 0.50          | R47854   |           | -             | -               | -             | -               | 0.00             | 0.00     |        |   |
| 549.00      | 550.00    | 1.00          | R47855   |           | -             | -               | -             | -               | 0.00             | 0.00     |        |   |
| 552.00      | 552.60    | 0.60          | A003     |           | -             | -               | -             | -               | 0.01             | 0.00     |        |   |
| 554.00      | 554.40    | 0.40          | A004     |           | -             | -               | -             | -               | 0.01             | 0.00     |        |   |
| 558.00      | 559.00    | 1.00          | GM85185  |           | 0.02          | -               | -             | -               | 0.02             | 2.00     | 0.00   | py 2-3% fine DIS, I2S BX. HM-/CL- à ++. |
| 559.00      | 560.00    | 1.00          | GM85186  |           | 0.02          | -               | -             | -               | 0.02             | 2.00     | 0.00   | py 2-3% fine DIS, I2S BX. HM-/CL- à ++. |
| 560.00      | 561.00    | 1.00          | GM85187  |           | 0.01          | -               | -             | -               | 0.01             | 1.00     | 0.00   | py 1-2% fine DIS, I2S BX. HM-/CL- à ++. |
| 562.00      | 563.60    | 1.60          | A005     |           | -             | -               | -             | -               | 0.06             | 0.00     |        |   |



**FULL ANALYTICAL REPORT**  
- Assay -

Hole Number: RO-01

Project: CADILLAC MINING

Project Number:

**Assay Report (part 1 of 0)**

| From<br>(m) | To<br>(m) | Length<br>(m) | Sample # | Zone Name | AuAA<br>(ppm) | DpAuAA<br>(ppm) | AuGr<br>(ppm) | DpAuGr<br>(ppm) | AuFINAL<br>(ppm) | %Sulphur | %Veins | Comments |
|-------------|-----------|---------------|----------|-----------|---------------|-----------------|---------------|-----------------|------------------|----------|--------|----------|
| 566.00      | 567.00    | 1.00          | A006     |           | -             | -               | -             | -               | 0.00             | 0.00     |        |          |
| 570.00      | 571.00    | 1.00          | GM85188  |           | 0.01          | -               | -             | -               | 0.01             | 1.00     | 0.50   | py 1-2%  |
| 571.00      | 572.00    | 1.00          | GM85189  |           | 0.02          | -               | -             | -               | 0.02             | 1.00     | 0.50   |          |
| 572.00      | 573.00    | 1.00          | GM85190  |           | 0.03          | -               | -             | -               | 0.03             | 2.00     | 0.40   |          |
| 573.00      | 574.00    | 1.00          | GM85191  |           | 0.03          | -               | -             | -               | 0.03             | 2.00     | 0.20   |          |
| 574.00      | 575.00    | 1.00          | GM85192  |           | 0.01          | -               | -             | -               | 0.01             | 1.00     | 0.20   | py 1-2%  |
| 575.00      | 576.00    | 1.00          | GM85193  |           | 0.04          | 0.04            | -             | -               | 0.04             | 2.00     | 0.10   | py 2-3%  |
| 576.00      | 577.00    | 1.00          | GM85194  |           | 0.03          | -               | -             | -               | 0.03             | 2.00     | 0.40   | py 2-3%  |
| 581.30      | 581.50    | 0.20          | A007     |           | -             | -               | -             | -               | 0.49             | 0.00     |        |          |
| 585.00      | 586.80    | 1.80          | A008     |           | -             | -               | -             | -               | 0.02             | 0.00     |        |          |
| 588.00      | 589.70    | 1.70          | A009     |           | -             | -               | -             | -               | 0.04             | 0.00     |        |          |
| 593.30      | 594.00    | 0.70          | A010     |           | -             | -               | -             | -               | 0.01             | 0.00     |        |          |
| 594.30      | 594.70    | 0.40          | A011     |           | -             | -               | -             | -               | 0.01             | 0.00     |        |          |
| 594.70      | 596.80    | 2.10          | A012     |           | -             | -               | -             | -               | 0.02             | 0.00     |        |          |
| 598.80      | 599.40    | 0.60          | A013     |           | -             | -               | -             | -               | 0.01             | 0.00     |        |          |
| 602.60      | 602.85    | 0.25          | A014     |           | -             | -               | -             | -               | 0.01             | 0.00     |        |          |
| 604.00      | 605.00    | 1.00          | A015     |           | -             | -               | -             | -               | 0.00             | 0.00     |        |          |
| 605.00      | 606.00    | 1.00          | A016     |           | -             | -               | -             | -               | 0.00             | 0.00     |        |          |
| 606.00      | 607.50    | 1.50          | A017     |           | -             | -               | -             | -               | 0.00             | 0.00     |        |          |
| 608.30      | 610.00    | 1.70          | A018     |           | -             | -               | -             | -               | 0.01             | 0.00     |        |          |
| 610.00      | 611.00    | 1.00          | A019     |           | -             | -               | -             | -               | 0.01             | 0.00     |        |          |
| 611.00      | 612.00    | 1.00          | A020     |           | -             | -               | -             | -               | 0.01             | 0.00     |        |          |
| 626.00      | 627.50    | 1.50          | A021     |           | -             | -               | -             | -               | 0.01             | 0.00     |        |          |
| 627.50      | 628.90    | 1.40          | A022     |           | -             | -               | -             | -               | 0.02             | 0.00     |        |          |
| 639.00      | 640.20    | 1.20          | A023     |           | -             | -               | -             | -               | 0.01             | 0.00     |        |          |
| 640.20      | 641.00    | 0.80          | A024     |           | -             | -               | -             | -               | 0.03             | 0.00     |        |          |
| 641.00      | 642.50    | 1.50          | A025     |           | -             | -               | -             | -               | 0.01             | 0.00     |        |          |
| 642.50      | 644.00    | 1.50          | A026     |           | -             | -               | -             | -               | 0.02             | 0.00     |        |          |



**FULL ANALYTICAL REPORT**  
- Assay -

Hole Number: RO-01

Project: CADILLAC MINING

Project Number:

**Assay Report (part 1 of 0)**

| From<br>(m) | To<br>(m) | Length<br>(m) | Sample # | Zone Name | AuAA<br>(ppm) | DpAuAA<br>(ppm) | AuGr<br>(ppm) | DpAuGr<br>(ppm) | AuFINAL<br>(ppm) | %Sulphur | %Veins | Comments |
|-------------|-----------|---------------|----------|-----------|---------------|-----------------|---------------|-----------------|------------------|----------|--------|----------|
| 644.00      | 645.50    | 1.50          | A027     |           | -             | -               | -             | -               | 0.02             | 0.00     |        |          |
| 645.50      | 647.00    | 1.50          | A028     |           | -             | -               | -             | -               | 0.01             | 0.00     |        |          |
| 647.00      | 648.50    | 1.50          | A029     |           | -             | -               | -             | -               | 0.00             | 0.00     |        |          |
| 648.50      | 650.00    | 1.50          | A030     |           | -             | -               | -             | -               | 0.01             | 0.00     |        |          |
| 650.00      | 651.50    | 1.50          | A031     |           | -             | -               | -             | -               | 0.01             | 0.00     |        |          |
| 651.50      | 653.00    | 1.50          | A032     |           | -             | -               | -             | -               | 0.01             | 0.00     |        |          |
| 653.00      | 655.00    | 2.00          | R47933   |           | -             | -               | -             | -               | 0.01             | 0.00     |        |          |
| 655.00      | 657.00    | 2.00          | R47934   |           | -             | -               | -             | -               | 0.01             | 0.00     |        |          |
| 657.00      | 658.00    | 1.00          | R47935   |           | -             | -               | -             | -               | 0.00             | 0.00     |        |          |
| 658.00      | 659.00    | 1.00          | R47927   |           | -             | -               | -             | -               | 0.01             | 0.00     |        |          |
| 659.00      | 660.00    | 1.00          | R47928   |           | -             | -               | -             | -               | 0.01             | 0.00     |        |          |
| 660.00      | 661.00    | 1.00          | R47929   |           | -             | -               | -             | -               | 0.03             | 0.00     |        |          |
| 661.00      | 662.00    | 1.00          | R47930   |           | -             | -               | -             | -               | 0.02             | 0.00     |        |          |
| 662.00      | 663.00    | 1.00          | R47931   |           | -             | -               | -             | -               | 0.07             | 0.00     |        |          |
| 663.00      | 664.30    | 1.30          | R47932   |           | -             | -               | -             | -               | 0.04             | 0.00     |        |          |
| 664.30      | 666.00    | 1.70          | R47936   |           | -             | -               | -             | -               | 0.01             | 0.00     |        |          |
| 666.00      | 668.00    | 2.00          | R47937   |           | -             | -               | -             | -               | 0.01             | 0.00     |        |          |
| 668.00      | 669.30    | 1.30          | R47938   |           | -             | -               | -             | -               | 0.01             | 0.00     |        |          |
| 669.80      | 671.00    | 1.20          | R47939   |           | -             | -               | -             | -               | 0.01             | 0.00     |        |          |
| 671.00      | 672.00    | 1.00          | R47940   |           | -             | -               | -             | -               | 0.01             | 0.00     |        |          |
| 672.00      | 673.50    | 1.50          | R47941   |           | -             | -               | -             | -               | 0.01             | 0.00     |        |          |
| 673.50      | 675.00    | 1.50          | R47942   |           | -             | -               | -             | -               | 0.01             | 0.00     |        |          |
| 675.00      | 676.50    | 1.50          | R47943   |           | -             | -               | -             | -               | 0.00             | 0.00     |        |          |
| 676.50      | 678.00    | 1.50          | R47944   |           | -             | -               | -             | -               | 0.01             | 0.00     |        |          |
| 678.00      | 680.00    | 2.00          | R47945   |           | -             | -               | -             | -               | 0.01             | 0.00     |        |          |
| 680.00      | 681.00    | 1.00          | R47946   |           | -             | -               | -             | -               | 0.00             | 0.00     |        |          |
| 681.00      | 683.00    | 2.00          | R47947   |           | -             | -               | -             | -               | 0.04             | 0.00     |        |          |
| 683.00      | 685.00    | 2.00          | R47948   |           | -             | -               | -             | -               | 0.04             | 0.00     |        |          |



**FULL ANALYTICAL REPORT**  
- Assay -

Hole Number: **RO-01**

Project: **CADILLAC MINING**

Project Number:

**Assay Report (part 1 of 0)**

| <i>From</i><br>(m) | <i>To</i><br>(m) | <i>Length</i><br>(m) | <i>Sample #</i> | <i>Zone Name</i> | <i>AuAA</i><br>(ppm) | <i>DpAuAA</i><br>(ppm) | <i>AuGr</i><br>(ppm) | <i>DpAuGr</i><br>(ppm) | <i>AuFINAL</i><br>(ppm) | <i>%Sulphur</i> | <i>%Veins</i> | <i>Comments</i> |
|--------------------|------------------|----------------------|-----------------|------------------|----------------------|------------------------|----------------------|------------------------|-------------------------|-----------------|---------------|-----------------|
| 693.70             | 695.30           | 1.60                 | 63001           |                  | -                    | -                      | -                    | -                      | 0.03                    | 0.00            |               |                 |
| 710.80             | 711.00           | 0.20                 | 63002           |                  | -                    | -                      | -                    | -                      | 0.02                    | 0.00            |               |                 |
| 714.75             | 715.00           | 0.25                 | 63003           |                  | -                    | -                      | -                    | -                      | 0.04                    | 0.00            |               |                 |
| 715.60             | 717.60           | 2.00                 | 63004           |                  | -                    | -                      | -                    | -                      | 0.03                    | 0.00            |               |                 |
| 717.60             | 719.10           | 1.50                 | 63005           |                  | -                    | -                      | -                    | -                      | 0.02                    | 0.00            |               |                 |
| 728.00             | 729.00           | 1.00                 | 63006           |                  | -                    | -                      | -                    | -                      | 0.01                    | 0.00            |               |                 |
| 729.00             | 730.50           | 1.50                 | 63007           |                  | -                    | -                      | -                    | -                      | 0.01                    | 0.00            |               |                 |
| 730.50             | 732.00           | 1.50                 | 63008           |                  | -                    | -                      | -                    | -                      | 0.03                    | 0.00            |               |                 |



## QUALITY CONTROL REPORT

Hole Number **RO-01**

Project: **CADILLAC MINING**

Project Number:

| <i>Distance<br/>(m)</i> | <i>Sample #</i> | <i>Sample<br/>Type</i> | <i>Duplicate<br/>of</i> | <i>Standard<br/>name</i> | <i>Laboratory</i>       | <i>Au3aa<br/>(ppm)</i> | <i>Au3gr<br/>(ppm)</i> |
|-------------------------|-----------------|------------------------|-------------------------|--------------------------|-------------------------|------------------------|------------------------|
| 337.77                  | GM85175         | Standard               |                         | SF67                     | Laboratoire Expert Inc. | 0.84                   | -                      |
| 337.77                  | GM85176         | Blank                  |                         |                          | Laboratoire Expert Inc. | 0.01                   | -                      |



## GEOTECHNICAL DRILLHOLE REPORT SHEET

Project: **CADILLAC MINING**

Logged by: **C. Esnault**

Hole Number: **RO-01**

Azimuth: **180**

Location: **Francoeur**

Logged date: **2013-07-11**

Core Size:

Inclination: **-50**

| INTERVAL |        |        | RECOVERY |        | RQD  |       | HARD | No. Joints | Typ. Joint | JOINT CONDITION |      |       |        |      | Geological Description - Rock Type, Colour, Texture, Alteration, Structure |
|----------|--------|--------|----------|--------|------|-------|------|------------|------------|-----------------|------|-------|--------|------|--|
| FROM     | TO     | LENGTH | m        | %      | m    | %     |      |            |            | PERSIS          | APER | ROUGH | INFILL | WTHR |  |
| 35.70    | 39.60  | 3.90   |          |        | 0.00 | 0.00  |      |            |            |                 |      |       |        |      | Roche fracturée sans bfa   |
| 39.60    | 42.00  | 2.40   | 2.40     | 100.00 | 0.57 | 23.75 |      |            |            |                 |      |       |        |      | Roche fracturée sans bfa   |
| 42.00    | 45.00  | 3.00   | 3.10     | 103.33 | 1.43 | 47.67 |      |            |            |                 |      |       |        |      | Roche fracturée sans bfa   |
| 45.00    | 48.00  | 3.00   | 2.85     | 95.00  | 1.42 | 47.33 |      |            |            |                 |      |       |        |      | Roche fracturée sans bfa   |
| 48.00    | 51.00  | 3.00   | 2.94     | 98.00  | 1.31 | 43.67 |      |            |            |                 |      |       |        |      | Roche fracturée sans bfa   |
| 51.00    | 54.00  | 3.00   | 2.70     | 90.00  | 0.95 | 31.67 |      |            |            |                 |      |       |        |      | Roche fracturée  |
| 54.00    | 57.00  | 3.00   | 3.00     | 100.00 | 1.24 | 41.33 |      |            |            |                 |      |       |        |      | Roche fracturée avec bfa   |
| 57.00    | 60.00  | 3.00   | 3.05     | 101.67 | 1.71 | 57.00 |      |            |            |                 |      |       |        |      |  |
| 60.00    | 63.00  | 3.00   | 3.05     | 101.67 | 2.22 | 74.00 |      |            |            |                 |      |       |        |      |  |
| 63.00    | 64.70  | 1.70   | 1.70     | 100.00 | 1.10 | 64.71 |      |            |            |                 |      |       |        |      |  |
| 64.70    | 66.00  | 1.30   |          |        | 0.00 | 0.00  |      |            |            |                 |      |       |        |      | Roche fracturée avec Bfa   |
| 66.00    | 69.00  | 3.00   | 2.91     | 97.00  | 2.42 | 80.67 |      |            |            |                 |      |       |        |      |  |
| 81.00    | 84.00  | 3.00   | 3.01     | 100.33 | 1.83 | 61.00 |      |            |            |                 |      |       |        |      |  |
| 84.00    | 87.00  | 3.00   | 2.90     | 96.67  | 1.31 | 43.67 |      |            |            |                 |      |       |        |      | Roche fracturée  |
| 87.00    | 90.00  | 3.00   | 2.86     | 95.33  | 1.34 | 44.67 |      |            |            |                 |      |       |        |      | Roche fracturée  |
| 90.00    | 91.20  | 1.20   |          |        | 1.20 | 66.67 |      |            |            |                 |      |       |        |      |  |
| 91.20    | 93.20  | 2.00   |          |        | 0.00 | 0.00  |      |            |            |                 |      |       |        |      | Fracturation importante  |
| 93.20    | 96.00  | 2.80   | 3.04     | 108.57 | 1.97 | 70.36 |      |            |            |                 |      |       |        |      |  |
| 96.00    | 99.00  | 3.00   | 3.18     | 106.00 | 2.53 | 84.33 |      |            |            |                 |      |       |        |      |  |
| 99.00    | 102.00 | 3.00   | 3.10     | 103.33 | 2.74 | 91.33 |      |            |            |                 |      |       |        |      |  |
| 102.00   | 105.00 | 3.00   | 2.92     | 97.33  | 2.24 | 74.67 |      |            |            |                 |      |       |        |      |  |
| 105.00   | 108.00 | 3.00   | 3.04     | 101.33 | 2.57 | 85.67 |      |            |            |                 |      |       |        |      |  |
| 114.00   | 115.00 | 1.00   |          |        | 0.00 | 0.00  |      |            |            |                 |      |       |        |      | Fracturation importante (foreuse?)   |



## RAPPORT DE FORAGE

No Forage **CM-06-17**

Projet **CADILLAC MINING**

Numéro Projet:

| Forage:   |            | Tubage    |    | Carotte      |           | Localisation |             | Autre         |            |
|-----------|------------|-----------|----|--------------|-----------|--------------|-------------|---------------|------------|
| Azimut:   | 150.00     | Longueur: | 0  | Dimension:   |           | Canton:      | BEAUCHASTEL | Loggé par:    | C. Esnault |
| Pend.:    | -50.00     | Retiré:   | ND | Entreposage: | Francoeur | No. Claim:   |             | Reloggé par:  |            |
| Longueur: | 1121.00    | Bouché:   | ND | Section:     |           | SNRC:        | 32D03       | Contracteur:  |            |
| Débuté:   | 07-mars-06 | Cimenté:  | ND | Type forage  | SEXP      | Forage:      | SURFACE     | Compagnie:    |            |
| Complété: | 18-mars-06 |           |    |              |           |              |             | Localisé par: |            |
| Loggé:    | 22-mai-13  |           |    |              |           |              |             | Arpenté:      | ND         |

Remarques: Rapport Cadillac West Exploration 2006 claim 4351253  
 Erreur de bloc (-4 mètres) à 719 m. Longueur d'échantillons corrigée. Une boîte sans nom entre la boîte 192 et la boîte 198 (dernière boîte du forage)  
 \*117-1118.8 m - Zone cimentée

| Coordonnée        |                   |        |          |        |   |
|-------------------|-------------------|--------|----------|--------|---|
| Coordonnées - Gem | Coordonnées - UTM | Mine   | Variable |        |   |
| Est:              | 626520            | Est:   | 0        | East:  | 0 |
| Nord:             | 5337780           | Nord:  | 0        | North: | 0 |
| Elev.:            | 5295.28           | Elev.: | 0        | Elev.: | 0 |
|                   |                   | Zone:  | 17       |        |   |
|                   |                   | NAD:   | NAD83    |        |   |

Arpenté par: ND  
 Arpenté par:  
 Géophysique:  
 Geoph. Contract:  
 Laissé: Rien  
 Fait de l'eau:  
 Multi shot: fo

### Tests déviation

| Distance | Azimuth | Dip    | Type | Good | Comments |
|----------|---------|--------|------|------|----------|
| 0.00     | 150.00  | -60.00 | C    | ✓    |          |
| 30.00    | 201.20  | -59.90 |      | ✓    |          |
| 62.00    | 202.30  | -60.00 |      | ✓    |          |
| 92.00    | 202.10  | -60.50 |      | ✓    |          |
| 153.00   | 202.10  | -60.50 |      | ✓    |          |
| 194.00   | 203.30  | -60.50 |      | ✓    |          |
| 245.00   | 203.80  | -60.90 |      | ✓    |          |
| 296.00   | 205.50  | -61.50 |      | ✓    |          |
| 347.00   | 205.90  | -61.80 |      | ✓    |          |
| 398.00   | 205.90  | -61.80 |      | ✓    |          |
| 449.00   | 204.70  | -61.30 |      | ✓    |          |

### Tests déviation

| Distance | Azimuth | Dip    | Type | Good | Comments |
|----------|---------|--------|------|------|----------|
| 500.00   | 207.30  | -61.00 |      | ✓    |          |
| 551.00   | 205.40  | -59.80 |      | ✓    |          |
| 602.00   | 205.20  | -59.70 |      | ✓    |          |
| 653.00   | 205.40  | -59.10 |      | ✓    |          |
| 704.00   | 205.10  | -59.00 |      | ✓    |          |
| 758.00   | 205.70  | -57.10 |      | ✓    |          |
| 809.00   | 205.30  | -56.10 |      | ✓    |          |
| 860.00   | 208.30  | -55.90 |      | ✓    |          |
| 911.00   | 205.10  | -54.50 |      | ✓    |          |
| 962.00   | 202.80  | -52.70 |      | ✓    |          |
| 1013.00  | 202.80  | -50.80 |      | ✓    |          |





## RAPPORT DE FORAGE

Numéro Forage **CM-06-17**

Projet: **CADILLAC MINING**

Numéro Projet

### Tests déviation

| <i>Distance</i> | <i>Azimuth</i> | <i>Dip</i> | <i>Type</i> | <i>Good</i>                         | <i>Comments</i> |
|-----------------|----------------|------------|-------------|-------------------------------------|-----------------|
| 1064.00         | 204.20         | -49.10     |             | <input checked="" type="checkbox"/> |                 |
| 1115.00         | 200.70         | -47.80     |             | <input checked="" type="checkbox"/> |                 |



**LITHOLOGY REPORT**  
- Detailed -

Hole Number **CM-06-17**

Project: **CADILLAC MINING**

Project Number:

| <i>From</i><br>(m) | <i>To</i><br>(m) | <i>Lithology</i>  | <i>Sample #</i> | <i>From</i> | <i>To</i> | <i>Length</i> | <i>Zone</i> | <i>AuAA</i><br>(ppm) | <i>DpAuAA</i><br>(ppm) | <i>AuGr</i><br>(ppm) | <i>DpAuGr</i><br>(ppm) | <i>AuFINAL</i><br>(ppm) |
|--------------------|------------------|---|-----------------|-------------|-----------|---------------|-------------|----------------------|------------------------|----------------------|------------------------|-------------------------|
| 0.00               | 21.20            | <b>M.T.</b>   |                 |             |           |               |             |                      |                        |                      |                        |                         |
| 21.20              | 405.40           | <b>S Cobalt</b>   | 58831           | 27.00       | 27.20     | 0.20          |             | -                    | -                      | -                    | -                      | 0.03                    |
|                    |                  | Couleur gris sombre à verdâtre  | 58832           | 45.60       | 46.35     | 0.75          |             | -                    | -                      | -                    | -                      | 0.03                    |
|                    |                  | Contact inférieur progressif avec augmentation du cisaillement  | 58833           | 54.35       | 54.55     | 0.20          |             | -                    | -                      | -                    | -                      | 0.04                    |
|                    |                  | Mag nul   | 58834           | 66.10       | 66.75     | 0.65          |             | -                    | -                      | -                    | -                      | 0.03                    |
|                    |                  | Conglomérats polygéniques à matrice gréseuse et fragments à bordure nette non orientée. Fragments de 1 mm à 15 cm en proportion variable de <5% à 85%. Fragments de granoïdes, syénites, conglomérat, rhyolites et roches mafiques subarrondis. 1-2% pyrite dans un fragment de syénite et dans un fragment lité de type argillite. Fragments de quartz, jaspe, argillite, fragments noirs anguleux (roche ultramafique ou sédiment fin ?) et sulfures massifs subanguleux. | 58835           | 90.90       | 91.60     | 0.70          |             | -                    | -                      | -                    | -                      | 0.02                    |
|                    |                  | Séquences granoclassées à différentes échelles. Quelques passages fins lités type argillite de 59 à 68ac.   | 58836           | 152.00      | 153.00    | 1.00          |             | -                    | -                      | -                    | -                      | 0.02                    |
|                    |                  | Un passage chaotique avec fragments de toute taille et filonnets non orientés séricitisés (figures de charge ?) associé à des traces à 1% Pyrite moyenne.   | 58837           | 181.20      | 181.40    | 0.20          |             | -                    | -                      | -                    | -                      | 0.02                    |
|                    |                  | Un passage avec fragments zonés (bordure plus claire) de type blocs décimétriques fortement silicifiés dans une matrice chloritisée contenant des fragments plurimillimétriques.  | 58838           | 182.00      | 183.00    | 1.00          |             | -                    | -                      | -                    | -                      | 0.02                    |
|                    |                  | Fracturation à angle faible, inférieur à 30AC, avec BFA locale et pas d'altération associée.  | 58839           | 191.50      | 192.00    | 0.50          |             | -                    | -                      | -                    | -                      | 0.02                    |
|                    |                  | Hématisation et séricitisation modérée et locale. Chloritisation faible générale qui augmente légèrement vers le contact inférieur.   | 58840           | 193.50      | 194.00    | 0.50          |             | -                    | -                      | -                    | -                      | 0.02                    |
|                    |                  | Rare Py.  | 58841           | 194.70      | 195.20    | 0.50          |             | -                    | -                      | -                    | -                      | 0.02                    |
|                    |                  | Rares veinules de CB et CL sauf un passage à 3% Ve Qz-Cb-Cl très fines et désorientées  | 58842           | 202.20      | 202.80    | 0.60          |             | -                    | -                      | -                    | -                      | 0.02                    |
|                    |                  |   | 58843           | 202.80      | 203.60    | 0.80          |             | -                    | -                      | -                    | -                      | 0.02                    |
|                    |                  |   | 58844           | 203.60      | 204.10    | 0.50          |             | -                    | -                      | -                    | -                      | 0.02                    |
|                    |                  |   | 58845           | 209.00      | 209.70    | 0.70          |             | -                    | -                      | -                    | -                      | 0.01                    |
|                    |                  |   | 58846           | 222.10      | 223.30    | 1.20          |             | -                    | -                      | -                    | -                      | 0.02                    |
|                    |                  |   | 58848           | 245.00      | 245.50    | 0.50          |             | -                    | -                      | -                    | -                      | 0.01                    |
|                    |                  |   | 58849           | 274.00      | 275.00    | 1.00          |             | -                    | -                      | -                    | -                      | 0.02                    |
|                    |                  |   | 58850           | 303.00      | 303.40    | 0.40          |             | -                    | -                      | -                    | -                      | 0.01                    |
|                    |                  |   | 58851           | 341.00      | 342.00    | 1.00          |             | -                    | -                      | -                    | -                      | 0.02                    |
|                    |                  | <b>Structure Maj.:</b>  |                 |             |           |               |             |                      |                        |                      |                        |                         |
|                    |                  | <i>Type/Core Angle</i>  |                 |             |           |               |             |                      |                        |                      |                        |                         |
|                    |                  | <i>Comment</i>  |                 |             |           |               |             |                      |                        |                      |                        |                         |
|                    |                  | 21.20 - 26.00   |                 |             |           |               |             |                      |                        |                      |                        |                         |
|                    |                  | 42.80 - 42.90   |                 |             |           |               |             |                      |                        |                      |                        |                         |
|                    |                  | 42.80 - 42.90   |                 |             |           |               |             |                      |                        |                      |                        |                         |
|                    |                  | 44.40 - 44.90   |                 |             |           |               |             |                      |                        |                      |                        |                         |
|                    |                  | 44.40 - 44.90   |                 |             |           |               |             |                      |                        |                      |                        |                         |





## LITHOLOGY REPORT - Detailed -

Hole Number **CM-06-17**

Project: **CADILLAC MINING**

Project Number:

| <i>From</i><br>(m) | <i>To</i><br>(m)  | <i>Lithology</i>  | <i>Sample #</i> | <i>From</i> | <i>To</i> | <i>Length</i> | <i>Zone</i> | <i>AuAA</i><br>(ppm) | <i>DpAuAA</i><br>(ppm) | <i>AuGr</i><br>(ppm) | <i>DpAuGr</i><br>(ppm) | <i>AuFINAL</i><br>(ppm) |
|--------------------|-------------------|---|-----------------|-------------|-----------|---------------|-------------|----------------------|------------------------|----------------------|------------------------|-------------------------|
|                    | 366.90 - 370.90   | CL ZN + matrice   |                 |             |           |               |             |                      |                        |                      |                        |                         |
|                    | 378.30 - 379.80   | CL PER -  |                 |             |           |               |             |                      |                        |                      |                        |                         |
|                    | 378.30 - 379.80   | SI PER -  |                 |             |           |               |             |                      |                        |                      |                        |                         |
|                    | 378.30 - 379.80   | SE PER +  |                 |             |           |               |             |                      |                        |                      |                        |                         |
|                    | <b>Vein Maj.:</b> | <b>Type/Mineral</b>   |                 |             |           |               |             |                      |                        |                      |                        |                         |
|                    | 371.80 - 381.70   | VE QZ-CB-CL   |                 |             |           |               |             |                      |                        |                      |                        |                         |
|                    | 502.70 - 0.00     |   |                 |             |           |               |             |                      |                        |                      |                        |                         |
|                    |                   | <b>% ca vg</b>  |                 |             |           |               |             |                      |                        |                      |                        |                         |
| 405.40             | 437.60            | <b>S1CZPOL polygénique conglomérat indéterminé</b>  | GM85151         | 407.80      | 408.30    | 0.50          |             | 0.30                 | 0.32                   | -                    | -                      | 0.31                    |
|                    |                   | Alternance de bandes gris foncées et vertes   | 58862           | 408.30      | 408.80    | 0.50          |             | -                    | -                      | -                    | -                      | 0.13                    |
|                    |                   | Contact inférieur franc 60ac  | GM85152         | 412.30      | 413.30    | 1.00          |             | 0.08                 | -                      | -                    | -                      | 0.08                    |
|                    |                   | Plusieurs intrusions de syénite grise. Fragments très étirés selon la foliation les rendant parfois difficilement distinguable. Fragments de taille variable majoritairement 2-3cm. Fragments bruns subarrondis à subanguleux (rhyolite?), fragments de granitoïdes arrondis, fragments noirs felsiques arrondis minéralisés en Py (rhyolite ?), fragments mafiques verdâtres ? Proportion de fragments difficilement quantifiable (>30%) | GM85153         | 415.70      | 416.70    | 1.00          |             | 0.01                 | -                      | -                    | -                      | 0.01                    |
|                    |                   | Non Mag   | GM85154         | 416.70      | 417.70    | 1.00          |             | 0.00                 | -                      | -                    | -                      | 0.00                    |
|                    |                   | Cisaillement important variable entre 35 et 50ac  | 58863           | 417.70      | 418.20    | 0.50          |             | -                    | -                      | -                    | -                      | 0.12                    |
|                    |                   | Chloritisation, séricitisation et carbonatation sous forme de bandes organisées selon la foliation  | 58864           | 419.40      | 420.00    | 0.60          |             | -                    | -                      | -                    | -                      | 0.14                    |
|                    |                   | 1% Py disséminée aux contacts avec les intrusions de syénites   | GM85155         | 420.00      | 420.80    | 0.80          |             | 0.00                 | -                      | -                    | -                      | 0.00                    |
|                    |                   | 5-10% Ve Qz-Cb  | 58865           | 421.00      | 422.00    | 1.00          |             | -                    | -                      | -                    | -                      | 0.04                    |
|                    |                   |   | 58866           | 422.00      | 423.00    | 1.00          |             | -                    | -                      | -                    | -                      | 0.02                    |
|                    |                   |   | 58867           | 423.00      | 424.00    | 1.00          |             | -                    | -                      | -                    | -                      | 0.02                    |
|                    |                   |   | 58868           | 424.00      | 425.00    | 1.00          |             | -                    | -                      | -                    | -                      | 0.01                    |
|                    |                   |   | 58869           | 430.00      | 431.00    | 1.00          |             | -                    | -                      | -                    | -                      | 0.02                    |
|                    |                   |   | 58870           | 432.50      | 433.35    | 0.85          |             | -                    | -                      | -                    | -                      | 0.01                    |
|                    |                   |   | GM85156         | 435.10      | 436.10    | 1.00          |             | 0.05                 | -                      | -                    | -                      | 0.05                    |
|                    |                   |   | 58871           | 437.00      | 437.70    | 0.70          |             | -                    | -                      | -                    | -                      | 0.05                    |
|                    |                   | <b>Structure Maj.:</b>  |                 |             |           |               |             |                      |                        |                      |                        |                         |
|                    | 405.40 - 427.30   | CIS 40 de 35-45ac   |                 |             |           |               |             |                      |                        |                      |                        |                         |
|                    | 427.30 - 427.50   | BFA 50  |                 |             |           |               |             |                      |                        |                      |                        |                         |
|                    | 427.50 - 428.20   | CIS 50  |                 |             |           |               |             |                      |                        |                      |                        |                         |
|                    | 428.20 - 428.30   | BFA 53  |                 |             |           |               |             |                      |                        |                      |                        |                         |
|                    | 428.30 - 430.60   | CIS 45  |                 |             |           |               |             |                      |                        |                      |                        |                         |





LITHOLOGY REPORT  
- Detailed -

Hole Number **CM-06-17**

Project: **CADILLAC MINING**

Project Number:

| <i>From</i><br>(m)      | <i>To</i><br>(m) | <i>Lithology</i>   | <i>Sample #</i> | <i>From</i> | <i>To</i> | <i>Length</i> | <i>Zone</i> | <i>AuAA</i><br>(ppm) | <i>DpAuAA</i><br>(ppm) | <i>AuGr</i><br>(ppm) | <i>DpAuGr</i><br>(ppm) | <i>AuFINAL</i><br>(ppm) |
|-------------------------|------------------|--|-----------------|-------------|-----------|---------------|-------------|----------------------|------------------------|----------------------|------------------------|-------------------------|
| <b>Minor Interval:</b>  |                  |  |                 |             |           |               |             |                      |                        |                      |                        |                         |
| 418.00                  | 419.90           | Couleur gris sombre avec 10-15% phénocristaux Fp millimétriques à centimétriques blancs automorphes avec surcroissances<br>Contact supérieur et inférieur franc 50ac<br>Non Mag<br>Cisaillement moins important avec étirement des minéraux à 36ac<br>Carbonatation modérée, chloritisation faible<br>1% Py fine sur 10 cm aux contacts<br>Rares Ve  |                 |             |           |               |             |                      |                        |                      |                        |                         |
| 437.70                  | 461.40           | <b>I2SPOR porphyre syénite</b><br>Couleur gris moyen à brun rougeâtre<br>Contact inférieur franc 50ac<br>50% phénocristaux Fp bien développés de 2-3mm, étirés selon la foliation<br>Quelques xénolithe anguleux chloritisés<br>Mag + localement ++<br>Cisaillement modéré à fort à proximité des conyacts<br>Hématitisation modérée locale<br>Traces de Py au contact supérieur<br>1% Ve Qz-Cb parfois Ep-Cl non orientées selon la foliation et non minéralisées | 58872           | 437.70      | 438.60    | 0.90          | -           | -                    | -                      | -                    | -                      | 0.02                    |
|                         |                  |  | 58873           | 442.00      | 442.80    | 0.80          | -           | -                    | -                      | -                    | -                      | 0.04                    |
|                         |                  |  | 58874           | 447.30      | 447.90    | 0.60          | -           | -                    | -                      | -                    | -                      | 0.02                    |
|                         |                  |  | 58875           | 449.50      | 450.00    | 0.50          | -           | -                    | -                      | -                    | -                      | 0.02                    |
| <b>Structure Maj.:</b>  |                  | <b>Type/Core Angle</b>   | <b>Comment</b>  |             |           |               |             |                      |                        |                      |                        |                         |
| 437.70 - 443.20         |                  | CIS 45   | ++              |             |           |               |             |                      |                        |                      |                        |                         |
| 443.20 - 452.90         |                  | CIS 35   | +               |             |           |               |             |                      |                        |                      |                        |                         |
| 452.90 - 461.40         |                  | CIS 35   | ++              |             |           |               |             |                      |                        |                      |                        |                         |
| <b>Alteration Maj.:</b> |                  | <b>Type/Style/Intensity</b>  | <b>Comment</b>  |             |           |               |             |                      |                        |                      |                        |                         |
| 437.70 - 443.20         |                  | CB PER -   |                 |             |           |               |             |                      |                        |                      |                        |                         |
| 437.70 - 443.20         |                  | SE PER -   |                 |             |           |               |             |                      |                        |                      |                        |                         |
| 437.70 - 443.20         |                  | CL PER -   |                 |             |           |               |             |                      |                        |                      |                        |                         |
| 437.70 - 443.20         |                  | HM PER +   |                 |             |           |               |             |                      |                        |                      |                        |                         |



**LITHOLOGY REPORT**  
- Detailed -

Hole Number **CM-06-17**

Project: **CADILLAC MINING**

Project Number:

| <i>From</i><br><i>(m)</i> | <i>To</i><br><i>(m)</i> | <i>Lithology</i>   | <i>Sample #</i> | <i>From</i> | <i>To</i> | <i>Length</i> | <i>Zone</i> | <i>AuAA</i><br><i>(ppm)</i> | <i>DpAuAA</i><br><i>(ppm)</i> | <i>AuGr</i><br><i>(ppm)</i> | <i>DpAuGr</i><br><i>(ppm)</i> | <i>AuFINAL</i><br><i>(ppm)</i> |
|---------------------------|-------------------------|--|-----------------|-------------|-----------|---------------|-------------|-----------------------------|-------------------------------|-----------------------------|-------------------------------|--------------------------------|
|                           | 447.00 - 451.10         | CB PER -   |                 |             |           |               |             |                             |                               |                             |                               |                                |
|                           | 447.00 - 451.10         | SE PER -   |                 |             |           |               |             |                             |                               |                             |                               |                                |
|                           | 447.00 - 451.10         | CL PER -   |                 |             |           |               |             |                             |                               |                             |                               |                                |
|                           | 447.00 - 451.10         | HM PER +   |                 |             |           |               |             |                             |                               |                             |                               |                                |
| 461.40                    | 462.50                  | <b>S1CZ</b> <b>Conglomérat indéterminé</b><br>?<br>Petite unité sédimentaire de couleur grisâtre,<br>Contact inférieur franc 50ac<br>Généralement non Mag, localement Mag++<br>Contient un petit intrusif ou blocs de 50 cm à phénocristaux millimétriques Qz-Fp, à bordures diffuses,<br>chloritisé et séricitisé<br>Semble contenir une grande proportion de fragments (?) noirâtres à verdâtres allongés dans une matrice<br>chloritisée et séricitisée<br>Plusieurs phases de déformation (?) donnant une orientation générale des fragments assez irrégulière à<br>environ 90ac<br>Chloritisation et séricitisation<br>Absence de Ve<br>Traces de Py automorphe au sein de l'intrusif | 58876           | 461.40      | 462.50    | 1.10          |             | -                           | -                             | -                           | -                             | 0.05                           |
| 462.50                    | 469.90                  | <b>I2SPOR</b> <b>porphyre syénite</b><br>Couleur gris moyen à brun rougeâtre<br>Contact inférieur franc 53ac<br>5-10% phénocristaux Fp blancs à rosés centimétriques (jusqu'à 5 cm)<br>Mag+ à ++<br>Cisaillement modéré 45ac   | 58877           | 462.50      | 463.50    | 1.00          |             | -                           | -                             | -                           | -                             | 0.08                           |
|                           |                         |  | GM85159         | 469.00      | 470.00    | 1.00          |             | 0.01                        | -                             | -                           | -                             | 0.01                           |



## LITHOLOGY REPORT - Detailed -

Hole Number **CM-06-17**

Project: **CADILLAC MINING**

Project Number:

| From<br>(m) | To<br>(m) | Lithology  | Sample # | From   | To     | Length | Zone | AuAA<br>(ppm) | DpAuAA<br>(ppm) | AuGr<br>(ppm) | DpAuGr<br>(ppm) | AuFINAL<br>(ppm) |
|-------------|-----------|--|----------|--------|--------|--------|------|---------------|-----------------|---------------|-----------------|------------------|
|             |           | Hématisation modérée, chloritisation et séricitisation faible<br>Rare Py<br><1% ve Qz-Cb non minéralisées et discordantes par rapport à la foliation et parfois discontinues |          |        |        |        |      |               |                 |               |                 |                  |
|             |           | <b>Structure Maj.:</b>   |          |        |        |        |      |               |                 |               |                 |                  |
|             |           | <b>Type/Core Angle</b>   |          |        |        |        |      |               |                 |               |                 |                  |
|             |           | <b>Comment</b>   |          |        |        |        |      |               |                 |               |                 |                  |
|             |           | 462.50 - 469.90  |          |        |        |        |      |               |                 |               |                 |                  |
|             |           | CIS 45   |          |        |        |        |      |               |                 |               |                 |                  |
|             |           | +  |          |        |        |        |      |               |                 |               |                 |                  |
|             |           | <b>Alteration Maj.:</b>  |          |        |        |        |      |               |                 |               |                 |                  |
|             |           | <b>Type/Style/Intensity</b>  |          |        |        |        |      |               |                 |               |                 |                  |
|             |           | <b>Comment</b>   |          |        |        |        |      |               |                 |               |                 |                  |
|             |           | 466.10 - 469.50  |          |        |        |        |      |               |                 |               |                 |                  |
|             |           | SE PER -   |          |        |        |        |      |               |                 |               |                 |                  |
|             |           | 466.10 - 469.50  |          |        |        |        |      |               |                 |               |                 |                  |
|             |           | CL PER -   |          |        |        |        |      |               |                 |               |                 |                  |
|             |           | 466.10 - 469.50  |          |        |        |        |      |               |                 |               |                 |                  |
|             |           | HM PER +   |          |        |        |        |      |               |                 |               |                 |                  |
| 469.90      | 503.40    | <b>S2WZ wacke indéterminé</b>  | GM85160  | 470.00 | 471.00 | 1.00   |      | 0.01          | -               | -             | -               | 0.01             |
|             |           | Ressemble à l'unité de 405.7-437.6 m avec moins de fragments   | 58878    | 473.30 | 473.40 | 0.10   |      | -             | -               | -             | -               | 0.01             |
|             |           | Sédiments du Timiskaming ?   | 58879    | 479.00 | 480.00 | 1.00   |      | -             | -               | -             | -               | 0.01             |
|             |           | Couleur gris moyen-sombre à verdâtre   | 58880    | 484.00 | 484.70 | 0.70   |      | -             | -               | -             | -               | 0.01             |
|             |           | Contact inférieur progressif avec zone de mélange entre 501.25 et 504 m contenant des injections de syénite cisailées et veines de Qz-Cb non orientées                       | GM85161  | 487.30 | 488.30 | 1.00   |      | 0.04          | -               | -             | -               | 0.04             |
|             |           | Non Mag  | 58881    | 488.30 | 489.10 | 0.80   |      | -             | -               | -             | -               | 0.03             |
|             |           | Texture fine avec alternance de bandes de chlorite et de séricite, certaines plus siliceuses (fragments ?)   | GM85162  | 489.10 | 490.00 | 0.90   |      | 0.01          | -               | -             | -               | 0.01             |
|             |           | <20% fragments arrondis et souvent étirés selon la foliation. Fragments de syénite fine dominants minéralisés jusqu'à 3% Py. Autres fragments : sédiments ?                  | 58882    | 490.00 | 490.70 | 0.70   |      | -             | -               | -             | -               | 0.01             |
|             |           | Cisaillement 45-50 ac fort   | 58883    | 492.40 | 492.90 | 0.50   |      | -             | -               | -             | -               | 0.02             |
|             |           | Chloritisation, séricitisation et Carbonatation  | GM85163  | 497.00 | 498.00 | 1.00   |      | 0.00          | 0.00            | -             | -               | 0.00             |
|             |           | Py moyenne disséminée dans les plans de foliation ou parfois jusqu'à 10% associée à une Ve   | 58884    | 501.20 | 502.40 | 1.20   |      | -             | -               | -             | -               | 0.02             |
|             |           | Ve Qz-Cb-CI généralement orientées selon la foliation sauf à proximité du contact inférieur  | 58885    | 502.40 | 502.70 | 0.30   |      | -             | -               | -             | -               | 0.01             |
|             |           |  | 58886    | 502.70 | 503.50 | 0.80   |      | -             | -               | -             | -               | 0.01             |
|             |           | <b>Structure Maj.:</b>   |          |        |        |        |      |               |                 |               |                 |                  |
|             |           | <b>Type/Core Angle</b>   |          |        |        |        |      |               |                 |               |                 |                  |
|             |           | <b>Comment</b>   |          |        |        |        |      |               |                 |               |                 |                  |
|             |           | 469.90 - 503.40  |          |        |        |        |      |               |                 |               |                 |                  |
|             |           | CIS 50   |          |        |        |        |      |               |                 |               |                 |                  |
|             |           | ++   |          |        |        |        |      |               |                 |               |                 |                  |
|             |           | <b>Alteration Maj.:</b>  |          |        |        |        |      |               |                 |               |                 |                  |
|             |           | <b>Type/Style/Intensity</b>  |          |        |        |        |      |               |                 |               |                 |                  |
|             |           | <b>Comment</b>   |          |        |        |        |      |               |                 |               |                 |                  |



LITHOLOGY REPORT  
- Detailed -

Hole Number **CM-06-17**

Project: **CADILLAC MINING**

Project Number:

| <i>From</i><br>(m)     | <i>To</i><br>(m) | <i>Lithology</i>  | <i>Sample #</i> | <i>From</i> | <i>To</i> | <i>Length</i> | <i>Zone</i> | <i>AuAA</i><br>(ppm) | <i>DpAuAA</i><br>(ppm) | <i>AuGr</i><br>(ppm) | <i>DpAuGr</i><br>(ppm) | <i>AuFINAL</i><br>(ppm) |
|------------------------|------------------|---|-----------------|-------------|-----------|---------------|-------------|----------------------|------------------------|----------------------|------------------------|-------------------------|
| 469.90                 | 503.40           | CB PER -  |                 |             |           |               |             |                      |                        |                      |                        |                         |
| 469.90                 | 503.40           | SE PER +  |                 |             |           |               |             |                      |                        |                      |                        |                         |
| 469.90                 | 503.40           | CL PER +  |                 |             |           |               |             |                      |                        |                      |                        |                         |
| <b>Vein Maj.:</b>      |                  | <b>Type/Mineral</b>   | <b>%</b>        | <b>ca</b>   | <b>vg</b> |               |             |                      |                        |                      |                        |                         |
| 484.20                 | 484.30           | VN qz-cb-cl   | 30.0            |             |           |               |             |                      |                        |                      |                        |                         |
| 487.30                 | 487.70           | VE Cl-Qz-Cb-Py10%   | 5.0             | 52          |           |               |             |                      |                        |                      |                        |                         |
| 502.40                 | 502.70           | VN qz-cb-cl   |                 |             |           |               |             |                      |                        |                      |                        |                         |
| <b>Minor Interval:</b> |                  |   |                 |             |           |               |             |                      |                        |                      |                        |                         |
| 469.90                 | 482.70           | S1CZPOL <i>polygénique conglomérat indéterminé</i><br>Couleur gris verdâtre<br>Contact supérieur franc avec la syénite et inférieur progressif par diminution de la proportion de fragments<br>Fragments polygéniques difficilement quantifiables de couleur noirâtre à verdâtre parfois minéralisés à 3% Py<br>Non Mag<br>Cisaillement fort 50ac<br>Chloritisation, séricitisation et carbonatation<br>Py principalement associée aux fragments et dans la foliation<br><1% Ve Qz-Cb |                 |             |           |               |             |                      |                        |                      |                        |                         |
| <b>Minor Interval:</b> |                  |   |                 |             |           |               |             |                      |                        |                      |                        |                         |
| 501.20                 | 502.40           | I2SPOR <i>porphyre syénite</i><br>Couleur brun rougeâtre<br>Contact supérieur franc 70ac et inférieur franc 80ac<br>Cisaillement fort avec alignement des minéraux 50ac<br>Mag+<br>Hématite modérée<br>Traces de Py automorphe aux contacts<br>1.5% Ve Qz-Cb-Cl non orientées   |                 |             |           |               |             |                      |                        |                      |                        |                         |



## LITHOLOGY REPORT - Detailed -

Hole Number **CM-06-17**

Project: **CADILLAC MINING**

Project Number:

| <i>From<br/>(m)</i> | <i>To<br/>(m)</i> | <i>Lithology</i>   | <i>Sample #</i> | <i>From</i> | <i>To</i> | <i>Length</i> | <i>Zone</i> | <i>AuAA<br/>(ppm)</i> | <i>DpAuAA<br/>(ppm)</i> | <i>AuGr<br/>(ppm)</i> | <i>DpAuGr<br/>(ppm)</i> | <i>AuFINAL<br/>(ppm)</i> |
|---------------------|-------------------|--|-----------------|-------------|-----------|---------------|-------------|-----------------------|-------------------------|-----------------------|-------------------------|--------------------------|
| 503.40              | 868.70            | <b>I2SPOR</b> <b>porphyre syénite</b>  | 58887           | 503.50      | 503.90    | 0.40          |             | -                     | -                       | -                     | -                       | 0.00                     |
|                     |                   | Couleur gris moyen à rougeâtre avec phénocristaux blancs rosés de grande taille  | 58888           | 503.90      | 504.40    | 0.50          |             | -                     | -                       | -                     | -                       | 0.00                     |
|                     |                   | Contact inférieur franc 90ac et bréchique  | 58889           | 505.80      | 506.10    | 0.30          |             | -                     | -                       | -                     | -                       | 0.00                     |
|                     |                   | 30% phénocristaux Fp potassiques automorphes de millimétriques à pluricentimétriques montrant des stries de croissance. Certaines intervalles contenant de 5 à 20% phénocristaux.                                  | GM85164         | 517.10      | 517.60    | 0.50          |             | 0.00                  | -                       | -                     | -                       | 0.00                     |
|                     |                   | <1% xénoïthes gabbroïque subarrondis à subanguleux de toute taille, parfois épidotisés.  | 58890           | 553.90      | 554.20    | 0.30          |             | -                     | -                       | -                     | -                       | 0.06                     |
|                     |                   | Mag + à ++, jusqu'à 5% grains visibles de magnétite dans les parties moins rougeâtre.  | 58891           | 574.20      | 574.40    | 0.20          |             | -                     | -                       | -                     | -                       | 0.07                     |
|                     |                   | Foliation locale faible 38ac au début de l'intervalle. Localement passages fortement cisailés 40-50ac avec CL dans les plans de foliation et altération de la texture (diminution de la taille des phénocristaux). | GM85165         | 575.60      | 576.10    | 0.50          |             | 0.02                  | -                       | -                     | -                       | 0.02                     |
|                     |                   | Cisaillement fort à partir de 10 m au dessus du contact inférieur faiblement minéralisé de traces à 1% Py et zone bréchique hématisée sur 70 cm au contact inférieur.  | GM85166         | 605.90      | 606.90    | 1.00          |             | 0.00                  | -                       | -                     | -                       | 0.00                     |
|                     |                   | Hématisation faible à modérée, chloritisation modérée locale notamment associée aux zones cisailées.   | 58893           | 609.00      | 610.50    | 1.50          |             | -                     | -                       | -                     | -                       | 0.01                     |
|                     |                   | Tr-1% Py disséminée dans les plans de foliation et associée aux Ve. Souvent 1% Py aux contacts.  | 58894           | 611.80      | 612.50    | 0.70          |             | -                     | -                       | -                     | -                       | 0.01                     |
|                     |                   | <1% Ve Qz-Cb-Cl, localement magnétite et rare Qz améthyste (minéral violet de dureté forte)  | 58895           | 622.70      | 623.00    | 0.30          |             | -                     | -                       | -                     | -                       | 0.01                     |
|                     |                   | <b>Structure Maj.:</b>   | 58896           | 624.00      | 624.50    | 0.50          |             | -                     | -                       | -                     | -                       | 0.00                     |
|                     |                   | <b>Type/Core Angle</b>   | 58897           | 625.40      | 626.20    | 0.80          |             | -                     | -                       | -                     | -                       | 0.05                     |
|                     |                   | <b>Comment</b>   | 58898           | 626.20      | 627.00    | 0.80          |             | -                     | -                       | -                     | -                       | 0.01                     |
|                     |                   | 503.40 - 517.50 SC9 38   | 58899           | 627.00      | 627.40    | 0.40          |             | -                     | -                       | -                     | -                       | 0.01                     |
|                     |                   | 596.00 - 596.30 FRAC foreuse ?   | 58900           | 639.50      | 640.00    | 0.50          |             | -                     | -                       | -                     | -                       | 0.00                     |
|                     |                   | 606.30 - 606.80 CIS 40   | 65301           | 662.80      | 663.90    | 1.10          |             | -                     | -                       | -                     | -                       | 0.01                     |
|                     |                   | 625.50 - 627.10 CIS 45   | GM85167         | 667.00      | 667.50    | 0.50          |             | 0.05                  | -                       | -                     | -                       | 0.05                     |
|                     |                   | 639.60 - 641.50 CIS 45   | 65302           | 675.60      | 675.90    | 0.30          |             | -                     | -                       | -                     | -                       | 0.00                     |
|                     |                   | 667.20 - 667.30 FA9  | 65303           | 675.90      | 677.00    | 1.10          |             | -                     | -                       | -                     | -                       | 0.00                     |
|                     |                   | 675.60 - 682.90 CIS 38 ++  | 65304           | 679.20      | 679.70    | 0.50          |             | -                     | -                       | -                     | -                       | 0.00                     |
|                     |                   | 684.00 - 693.90 CIS 40 ++, de 30 à 40ac  | 65305           | 681.00      | 681.75    | 0.75          |             | -                     | -                       | -                     | -                       | 0.01                     |
|                     |                   | 732.90 - 734.00 CIS 40 ++  | 65306           | 682.50      | 683.00    | 0.50          |             | -                     | -                       | -                     | -                       | 0.01                     |
|                     |                   | 849.30 - 857.80 SC9 50   | 65307           | 683.00      | 684.00    | 1.00          |             | -                     | -                       | -                     | -                       | 0.01                     |
|                     |                   | 857.80 - 868.00 CIS 50 ++  | 65308           | 684.00      | 684.50    | 0.50          |             | -                     | -                       | -                     | -                       | 0.01                     |
|                     |                   | <b>Alteration Maj.:</b>  | 65309           | 686.80      | 687.30    | 0.50          |             | -                     | -                       | -                     | -                       | 0.02                     |
|                     |                   | <b>Type/Style/Intensity</b>  | 65310           | 687.30      | 688.30    | 1.00          |             | -                     | -                       | -                     | -                       | 0.08                     |
|                     |                   | <b>Comment</b>   | 65311           | 691.00      | 692.00    | 1.00          |             | -                     | -                       | -                     | -                       | 0.02                     |
|                     |                   | 531.10 - 533.70 SE PER -   |                 |             |           |               |             |                       |                         |                       |                         |                          |
|                     |                   | 531.10 - 533.70 CL PER -   |                 |             |           |               |             |                       |                         |                       |                         |                          |
|                     |                   | 531.10 - 533.70 HM PER +   |                 |             |           |               |             |                       |                         |                       |                         |                          |
|                     |                   | 546.50 - 547.50 SE PER -   |                 |             |           |               |             |                       |                         |                       |                         |                          |



## LITHOLOGY REPORT - Detailed -

Hole Number **CM-06-17**

Project: **CADILLAC MINING**

Project Number:

| From<br>(m)                  | To<br>(m) | Lithology  | Sample # | From   | To     | Length | Zone | AuAA<br>(ppm) | DpAuAA<br>(ppm) | AuGr<br>(ppm) | DpAuGr<br>(ppm) | AuFINAL<br>(ppm) |
|------------------------------|-----------|--|----------|--------|--------|--------|------|---------------|-----------------|---------------|-----------------|------------------|
| 546.50                       | 547.50    | CL PER -   | 65312    | 693.50 | 694.00 | 0.50   |      | -             | -               | -             | -               | 0.01             |
| 546.50                       | 547.50    | HM PER +   | 65313    | 694.00 | 695.00 | 1.00   |      | -             | -               | -             | -               | 0.01             |
| 605.90                       | 606.80    | HM PER -   | 65314    | 695.70 | 695.90 | 0.20   |      | -             | -               | -             | -               | 0.03             |
| 605.90                       | 606.80    | CL PER +   | 65315    | 701.00 | 702.20 | 1.20   |      | -             | -               | -             | -               | 0.02             |
| 609.00                       | 619.50    | HM PER +   | 65316    | 706.10 | 706.55 | 0.45   |      | -             | -               | -             | -               | 0.00             |
| 662.60                       | 666.30    | HM PER +   | 65317    | 710.40 | 710.60 | 0.20   |      | -             | -               | -             | -               | 0.00             |
| 667.80                       | 699.90    | HM PER -   | 65318    | 722.90 | 723.60 | 0.70   |      | -             | -               | -             | -               | 0.00             |
| 667.80                       | 699.90    | HM PER -   | 65319    | 723.60 | 724.20 | 0.60   |      | -             | -               | -             | -               | 0.71             |
| 667.80                       | 699.90    | CL PER +   | 65320    | 730.00 | 730.70 | 0.70   |      | -             | -               | -             | -               | 0.00             |
| 705.50                       | 707.80    | HM PER +   | 65321    | 732.00 | 733.00 | 1.00   |      | -             | -               | -             | -               | 0.00             |
| 776.70                       | 777.50    | HM PER +   | 65322    | 733.00 | 734.00 | 1.00   |      | -             | -               | -             | -               | 0.01             |
| 868.00                       | 868.70    | HM PER +   | 65323    | 734.00 | 734.50 | 0.50   |      | -             | -               | -             | -               | 0.32             |
|                              |           |  | 65324    | 734.50 | 735.50 | 1.00   |      | -             | -               | -             | -               | 0.00             |
| <b>Mineralization Maj. :</b> |           | <b>Type/Style/%Mineral</b>   |          |        |        |        |      |               |                 |               |                 |                  |
| 859.90 - 868.00              |           | PY DIS 1   |          | 65325  | 740.90 | 742.00 | 1.10 | -             | -               | -             | -               | 0.00             |
|                              |           |  |          | 65326  | 742.00 | 743.00 | 1.00 | -             | -               | -             | -               | 0.00             |
|                              |           | <b>Comment</b>   |          |        |        |        |      |               |                 |               |                 |                  |
|                              |           | traces à 1% localement   |          |        |        |        |      |               |                 |               |                 |                  |
|                              |           |  |          | 65327  | 750.00 | 751.00 | 1.00 | -             | -               | -             | -               | 0.00             |
| <b>Vein Maj.:</b>            |           | <b>Type/Mineral</b>  |          |        |        |        |      |               |                 |               |                 |                  |
| 503.55 - 503.80              |           | VN qz-cb-cl  |          | 65328  | 757.75 | 758.75 | 1.00 | -             | -               | -             | -               | 0.01             |
| 552.90 - 553.10              |           | VN qz-cb-cl-hm   | 75.0     | 65329  | 760.00 | 761.00 | 1.00 | -             | -               | -             | -               | 0.01             |
| 639.90 - 640.00              |           | VN qz-cb-cl-mg-pytr  | 95.0     | 65330  | 770.90 | 771.10 | 0.20 | -             | -               | -             | -               | 0.01             |
| 737.50 - 737.70              |           | VN qz-cb-cl  | 60.0     | 65331  | 771.10 | 772.00 | 0.90 | -             | -               | -             | -               | 0.01             |
| 794.00 - 794.10              |           | VN qz-cb-cl-cp   | 35.0     | 65332  | 772.00 | 773.00 | 1.00 | -             | -               | -             | -               | 0.00             |
|                              |           |  | 30.0     | 65333  | 777.00 | 777.30 | 0.30 | -             | -               | -             | -               | 0.01             |
| <b>Minor Interval:</b>       |           |  |          | 65334  | 793.85 | 794.10 | 0.25 | -             | -               | -             | -               | 0.01             |
| 625.50                       | 627.10    | S2WZ   |          | 65335  | 797.15 | 797.50 | 0.35 | -             | -               | -             | -               | 0.00             |
|                              |           | wacke indéterminé  |          | 65336  | 802.25 | 802.60 | 0.35 | -             | -               | -             | -               | 0.01             |
|                              |           | Couleur gris sombre à verdâtre   |          | 65337  | 822.85 | 823.05 | 0.20 | -             | -               | -             | -               | 0.00             |
|                              |           | Contact sup franc 90ac, contact inf franc 80 ac  |          | 65338  | 827.10 | 827.50 | 0.40 | -             | -               | -             | -               | 0.01             |
|                              |           | Mag nul  |          | 65339  | 841.30 | 842.30 | 1.00 | -             | -               | -             | -               | 0.01             |
|                              |           | Grains fins, <10% fragments de taille inférieure à 1 cm, étirés selon la foliation (nature des fragments variable et difficilement identifiable) |          |        |        |        |      |               |                 |               |                 |                  |
|                              |           | Cisaillement fort 45ac   |          |        |        |        |      |               |                 |               |                 |                  |
|                              |           | Chloritisation et carbonatation dans la foliation  |          |        |        |        |      |               |                 |               |                 |                  |
|                              |           | tr-1% Py moyenne automorphe plus abondante aux contacts  |          |        |        |        |      |               |                 |               |                 |                  |
|                              |           | Environ 5% Ve Qz-Cb très fines, discontinues et orientées selon la foliation   |          |        |        |        |      |               |                 |               |                 |                  |



## LITHOLOGY REPORT - Detailed -

Hole Number **CM-06-17**

Project: **CADILLAC MINING**

Project Number:

| From<br>(m)     | To<br>(m) | Lithology   | Sample # | From   | To     | Length | Zone | AuAA<br>(ppm) | DpAuAA<br>(ppm) | AuGr<br>(ppm) | DpAuGr<br>(ppm) | AuFINAL<br>(ppm) |
|-----------------|-----------|---|----------|--------|--------|--------|------|---------------|-----------------|---------------|-----------------|------------------|
|                 |           | <b>Minor Interval:</b>  | 65340    | 843.50 | 843.80 | 0.30   |      | -             | -               | -             | -               | 0.02             |
| 639.90          | 641.30    | S2WZ      wacke indéterminé   | 65341    | 856.00 | 857.50 | 1.50   |      | -             | -               | -             | -               | 0.00             |
|                 |           | idem 625.5-627.1 m  | 65342    | 857.50 | 859.00 | 1.50   |      | -             | -               | -             | -               | 0.01             |
|                 |           | mais Contact supérieur par veine de Qz-Cb-CI-Pytr avec une zone de mélange sur 10 cm. Contact inférieur franc 50ac avec modification de la composition de la syénite sur 10 cm. Moins de pyrite dans les sédiments aux contacts mais davantage de Py (1% Py moyenne automorphe) dans la syénite sur 30 cm au contact sup. | 65343    | 859.00 | 860.50 | 1.50   |      | -             | -               | -             | -               | 0.03             |
|                 |           |   | 65344    | 860.50 | 862.00 | 1.50   |      | -             | -               | -             | -               | 0.01             |
|                 |           |   | 65345    | 862.00 | 863.50 | 1.50   |      | -             | -               | -             | -               | 0.01             |
|                 |           |   | 65346    | 863.50 | 865.00 | 1.50   |      | -             | -               | -             | -               | 0.01             |
|                 |           |   | 65347    | 865.00 | 866.50 | 1.50   |      | -             | -               | -             | -               | 0.03             |
|                 |           |   | 65348    | 866.50 | 868.00 | 1.50   |      | -             | -               | -             | -               | 0.01             |
|                 |           |   | 65349    | 868.00 | 868.30 | 0.30   |      | -             | -               | -             | -               | 0.01             |
|                 |           |   | 65350    | 868.30 | 868.60 | 0.30   |      | -             | -               | -             | -               | 0.00             |
| 868.70          | 1056.20   | <b>S1CZPOL      polygénique conglomérat indéterminé</b>   | 65351    | 878.60 | 879.40 | 0.80   |      | -             | -               | -             | -               | 0.00             |
|                 |           | Sédiments du Timiskaming ?  | 65352    | 903.45 | 903.65 | 0.20   |      | -             | -               | -             | -               | 0.00             |
|                 |           | Semble différent du conglomérat polygénique décrit de 405.4 à 437.6 m (moins de diversité de fragments).  | 65353    | 904.50 | 904.75 | 0.25   |      | -             | -               | -             | -               | 0.01             |
|                 |           | Alternance de bandes verdâtres (matrice ?) et noirâtres (fragments ?). Couleur gris clair des fragments à partir de 1004 m jusqu'à 1021 m.  | 65354    | 905.70 | 905.90 | 0.20   |      | -             | -               | -             | -               | 0.07             |
|                 |           | Contact inférieur   | 65355    | 919.40 | 920.10 | 0.70   |      | -             | -               | -             | -               | 0.10             |
|                 |           | Non Mag   | 65356    | 920.10 | 920.60 | 0.50   |      | -             | -               | -             | -               | 0.09             |
|                 |           | Fragments irréguliers très déformés et orientés selon la foliation. Dureté variable de faible à moyenne, certains fragments plus grenus et parfois minéralisés en Py.   | 65357    | 920.60 | 921.30 | 0.70   |      | -             | -               | -             | -               | 0.03             |
|                 |           | Cisaillement fort 45ac, Bfa localement  | 65358    | 921.30 | 922.30 | 1.00   |      | -             | -               | -             | -               | 0.02             |
|                 |           | Chloritisation modérée notamment de la matrice. Séricitisation et biotitisation de la matrice à partir de 1004 m jusqu'à.   | 65362    | 927.40 | 928.00 | 0.60   |      | -             | -               | -             | -               | 0.01             |
|                 |           | Jusqu'à 5% Py fine à moyenne disséminée dans certains fragments   | 65363    | 929.00 | 929.35 | 0.35   |      | -             | -               | -             | -               | 0.01             |
|                 |           | Injections de Qz-Cb affectant les fragments et remobilisées selon la foliation. Rares Ve Qz-Cb dans la matrice.   | 65364    | 940.50 | 941.50 | 1.00   |      | -             | -               | -             | -               | 0.00             |
|                 |           | Plus de veinules QZ-CB à partir de 1003 m.  | 65365    | 967.10 | 968.10 | 1.00   |      | -             | -               | -             | -               | 0.02             |
|                 |           | Intervalle de 1020 à 1021 m avec 2% de Py disséminée finement sous forme de veinules et localement en amas de quelques millimètres.   | 65366    | 968.10 | 969.00 | 0.90   |      | -             | -               | -             | -               | 0.01             |
|                 |           |   | 65367    | 969.00 | 970.00 | 1.00   |      | -             | -               | -             | -               | 0.01             |
|                 |           |   | 65368    | 970.00 | 970.75 | 0.75   |      | -             | -               | -             | -               | 0.00             |
|                 |           |   | 65369    | 970.75 | 971.70 | 0.95   |      | -             | -               | -             | -               | 0.04             |
|                 |           | <b>Structure Maj.:</b>  |          |        |        |        |      |               |                 |               |                 |                  |
| 868.70 - 870.70 |           | Type/Core Angle      Comment  |          |        |        |        |      |               |                 |               |                 |                  |
|                 |           | CIS    35      ++   |          |        |        |        |      |               |                 |               |                 |                  |



## LITHOLOGY REPORT - Detailed -

Hole Number **CM-06-17**

Project: **CADILLAC MINING**

Project Number:

| From<br>(m)   | To<br>(m) | Lithology                   | Sample #                                | From      | To        | Length | Zone | AuAA<br>(ppm) | DpAuAA<br>(ppm) | AuGr<br>(ppm) | DpAuGr<br>(ppm) | AuFINAL<br>(ppm) |
|---|-----------|-----------------------------|---|-----------|-----------|--------|------|---------------|-----------------|---------------|-----------------|------------------|
| 870.70  | 871.70    | FA9                         | 65359                                   | 983.80    | 984.30    | 0.50   |      | -             | -               | -             | -               | 0.12             |
| 870.70  | 871.70    | BFA                         | 65360                                   | 984.30    | 984.80    | 0.50   |      | -             | -               | -             | -               | 0.03             |
| 871.70  | 942.40    | CIS 45 ++                   | 65361                                   | 984.80    | 985.50    | 0.70   |      | -             | -               | -             | -               | 0.09             |
| 942.40  | 942.70    | FA9 60                      | 65379                                   | 1020.00   | 1020.7    | 0.70   |      | -             | -               | -             | -               | 0.01             |
| 971.10  | 1002.40   | CIS 50 ++                   |   |           |           | 0      |      |               |                 |               |                 |                  |
| 1002.40   | 1002.50   | BFA                         | 65370                                   | 1027.20   | 1028.2    | 1.00   |      | -             | -               | -             | -               | 0.28             |
| 1002.40   | 1002.50   | FA9 60                      |   |           |           | 0      |      |               |                 |               |                 |                  |
| 1002.50   | 1019.30   | CIS 65 ++                   | 65371                                   | 1039.80   | 1040.0    | 0.20   |      | -             | -               | -             | -               | 0.02             |
| 1019.30   | 1019.50   | BFA                         |   |           |           | 0      |      |               |                 |               |                 |                  |
| 1019.30   | 1019.50   | FA9 40                      | 65372                                   | 1042.50   | 1042.8    | 0.30   |      | -             | -               | -             | -               | 0.01             |
| 1038.20   | 1038.60   | FA9 65                      |   |           |           | 0      |      |               |                 |               |                 |                  |
| 1051.50   | 1054.80   | FRAC                        |   |           |           |        |      |               |                 |               |                 |                  |
| <b>Alteration Maj:</b>  |           | <b>Type/Style/Intensity</b> | <b>Comment</b>                          |           |           |        |      |               |                 |               |                 |                  |
| 1042.90   | 1049.10   | SE +                        |   |           |           |        |      |               |                 |               |                 |                  |
| <b>Mineralization Maj. :</b>  |           | <b>Type/Style/%Mineral</b>  | <b>Comment</b>                          |           |           |        |      |               |                 |               |                 |                  |
| 903.50  | 905.90    | PY DIS 1                    |   |           |           |        |      |               |                 |               |                 |                  |
| 919.50  | 920.60    | PY DIS 3                    |   |           |           |        |      |               |                 |               |                 |                  |
| <b>Vein Maj.:</b>   |           | <b>Type/Mineral</b>         | <b>%</b>                                | <b>ca</b> | <b>vg</b> |        |      |               |                 |               |                 |                  |
| 920.10  | 920.30    | VN qz-cb-cl                 | 30.0                                    |           |           |        |      |               |                 |               |                 |                  |
| <b>Minor Interval:</b>  |           |                             |   |           |           |        |      |               |                 |               |                 |                  |
| 903.50  | 905.90    | I2ZFP                       | <i>porphyre à feldspath indéterminé</i> |           |           |        |      |               |                 |               |                 |                  |
| Couleur noirâtre avec 3% phénocristaux Fp centimétriques beiges, automorphes, de dureté importante, avec surcroissances |           |                             |   |           |           |        |      |               |                 |               |                 |                  |
| Contact supérieur franc 75ac, contact inférieur 65ac  |           |                             |   |           |           |        |      |               |                 |               |                 |                  |
| Non Mag   |           |                             |   |           |           |        |      |               |                 |               |                 |                  |
| Légère foliation 50ac   |           |                             |   |           |           |        |      |               |                 |               |                 |                  |
| 1% Py fine à moyenne disséminée, localement 3% aux contacts   |           |                             |   |           |           |        |      |               |                 |               |                 |                  |
| 1% très fines Ve Qz-Cb dans la foliation  |           |                             |   |           |           |        |      |               |                 |               |                 |                  |



## LITHOLOGY REPORT - Detailed -

Hole Number **CM-06-17**

Project: **CADILLAC MINING**

Project Number:

| From<br>(m)            | To<br>(m) | Lithology   | Sample # | From | To | Length | Zone | AuAA<br>(ppm) | DpAuAA<br>(ppm) | AuGr<br>(ppm) | DpAuGr<br>(ppm) | AuFINAL<br>(ppm) |
|------------------------|-----------|---|----------|------|----|--------|------|---------------|-----------------|---------------|-----------------|------------------|
| <b>Minor Interval:</b> |           |   |          |      |    |        |      |               |                 |               |                 |                  |
| 919.50                 | 920.60    | I2ZD <i>Dyke intermédiaire indéterminé</i><br>Couleur gris moyen avec nuances de beige<br>Contact supérieur irrégulier et bréchique, contact inférieur franc 50ac<br>1% phénocristaux Fp centimétriques avec surcroissances, texture grenue légèrement bréchique (?)<br>Non Mag<br>Silicification modérée<br>3% Py automorphe disséminée, plus fine aux abords de la veine<br>Une veine de Qz-CI-Cb avec silicification de l'encaissant aux épontes |          |      |    |        |      |               |                 |               |                 |                  |
| <b>Minor Interval:</b> |           |   |          |      |    |        |      |               |                 |               |                 |                  |
| 967.10                 | 971.70    | I2SPOR <i>porphyre syénite</i><br>Couleur gris sombre avec 10% phénocristaux Fp blanc plurimillimétriques à centimétrique automorphes avec surcroissances<br>Contact supérieur franc 50ac, contact inférieur franc 60ac<br>Non Mag<br>Foliation faible 50ac<br>Séricitisation faible locale<br>Traces Py<br><1% Ve Qz-Cb-Se de 35 à 50ac  |          |      |    |        |      |               |                 |               |                 |                  |
| <b>Minor Interval:</b> |           |   |          |      |    |        |      |               |                 |               |                 |                  |
| 983.90                 | 985.50    | I2SPOR <i>porphyre syénite</i><br>Couleur gris sombre à brun-beige<br>Contacts supérieur franc 70ac, contact inférieur franc 80ac<br>Non Mag<br>5% Phénocristaux Fp blancs 0.5-1cm, avc surcroissances<br>Silicification pervasive forte et séricitisation faible<br>1% Py fine disséminée et en Ve<br>1% Ve Qz-Cb-Py   |          |      |    |        |      |               |                 |               |                 |                  |
| <b>Minor Interval:</b> |           |   |          |      |    |        |      |               |                 |               |                 |                  |
| 1042.10                | 1042.90   | I1ZD <i>dyke felsique indéterminé</i>   |          |      |    |        |      |               |                 |               |                 |                  |



## LITHOLOGY REPORT - Detailed -

Hole Number **CM-06-17**

Project: **CADILLAC MINING**

Project Number:

| <i>From<br/>(m)</i> | <i>To<br/>(m)</i> | <i>Lithology</i>   | <i>Sample #</i> | <i>From</i> | <i>To</i> | <i>Length</i> | <i>Zone</i> | <i>AuAA<br/>(ppm)</i> | <i>DpAuAA<br/>(ppm)</i> | <i>AuGr<br/>(ppm)</i> | <i>DpAuGr<br/>(ppm)</i> | <i>AuFINAL<br/>(ppm)</i> |
|---------------------|-------------------|--|-----------------|-------------|-----------|---------------|-------------|-----------------------|-------------------------|-----------------------|-------------------------|--------------------------|
| 1056.20             | 1078.90           | <b>S3AZ</b> <i>argillite indéterminé</i><br>Couleur gris moyen<br>Contact inférieur franc 90ac<br>Sédiment à grain fin très homogène, de type argileux, dureté moyenne.<br>Rares fragments centimétriques<br>Mag nul<br>Fracturation importante vers le contact inférieur. Foliation faible 70ac, devient plus marquée à partir de 1072.1 m.<br>Séricitisation et chloritisation modérée à forte.<br>Tr-1% Py et Cp en amas étirés selon la foliation et associée aux Ve Qz-Cb dans la zone altérée à partir de 1072.1 m<br>15-20% Ve Qz-Cb orientées selon la foliation | 65373           | 1057.00     | 1060.0    | 3.00          |             | -                     | -                       | -                     | -                       | 0.04                     |
|                     |                   |  |                 |             |           | 0             |             |                       |                         |                       |                         |                          |
|                     |                   |  | 65374           | 1060.00     | 1063.0    | 3.00          |             | -                     | -                       | -                     | -                       | 0.08                     |
|                     |                   |  |                 |             |           | 0             |             |                       |                         |                       |                         |                          |
|                     |                   |  | 65375           | 1063.00     | 1066.0    | 3.00          |             | -                     | -                       | -                     | -                       | 0.03                     |
|                     |                   |  |                 |             |           | 0             |             |                       |                         |                       |                         |                          |
|                     |                   |  | 65376           | 1066.00     | 1069.0    | 3.00          |             | -                     | -                       | -                     | -                       | 0.04                     |
|                     |                   |  |                 |             |           | 0             |             |                       |                         |                       |                         |                          |
|                     |                   |  | 65377           | 1069.00     | 1072.0    | 3.00          |             | -                     | -                       | -                     | -                       | 0.04                     |
|                     |                   |  |                 |             |           | 0             |             |                       |                         |                       |                         |                          |
|                     |                   |  | 65378           | 1072.00     | 1073.5    | 1.50          |             | -                     | -                       | -                     | -                       | 0.01                     |
|                     |                   |  |                 |             |           | 0             |             |                       |                         |                       |                         |                          |
|                     |                   | <b>Structure Maj.:</b> <i>Type/Core Angle</i> <i>Comment</i>   | 64512           | 1073.50     | 1074.4    | 0.90          |             | -                     | -                       | -                     | -                       | 0.01                     |
|                     |                   | 1064.80 - 1072.10  |                 |             |           | 0             |             |                       |                         |                       |                         |                          |
|                     |                   | 1072.10 - 1078.90  | 64513           | 1074.40     | 1075.1    | 0.75          |             | -                     | -                       | -                     | -                       | 0.14                     |
|                     |                   | 1072.10 - 1078.90  |                 |             |           | 5             |             |                       |                         |                       |                         |                          |
|                     |                   | 1072.10 - 1078.90  | 64514           | 1075.15     | 1076.0    | 0.90          |             | -                     | -                       | -                     | -                       | 0.01                     |
|                     |                   |  |                 |             |           | 5             |             |                       |                         |                       |                         |                          |
|                     |                   | <b>Alteration Maj.:</b> <i>Type/Style/Intensity</i> <i>Comment</i>   | 64515           | 1076.05     | 1077.1    | 1.10          |             | -                     | -                       | -                     | -                       | 0.04                     |
|                     |                   | 1072.10 - 1078.90  |                 |             |           | 5             |             |                       |                         |                       |                         |                          |
|                     |                   | 1072.10 - 1078.90  | 64516           | 1077.15     | 1077.4    | 0.30          |             | -                     | -                       | -                     | -                       | 1.94                     |
|                     |                   | 1072.10 - 1078.90  |                 |             |           | 5             |             |                       |                         |                       |                         |                          |
|                     |                   |  | 64517           | 1077.45     | 1078.3    | 0.85          |             | -                     | -                       | -                     | -                       | 0.43                     |
|                     |                   |  |                 |             |           | 0             |             |                       |                         |                       |                         |                          |
|                     |                   | <b>Vein Maj.:</b> <i>Type/Mineral</i> <i>%</i> <i>ca</i> <i>vg</i>   | 64518           | 1078.30     | 1078.5    | 0.25          |             | -                     | -                       | -                     | -                       | 0.11                     |
|                     |                   | 1072.80 - 1078.30  |                 |             |           | 5             |             |                       |                         |                       |                         |                          |
|                     |                   | 1078.60 - 1078.80  | 64519           | 1078.55     | 1078.9    | 0.35          |             | -                     | -                       | -                     | -                       | 0.08                     |
|                     |                   |  |                 |             |           | 0             |             |                       |                         |                       |                         |                          |
|                     |                   | <b>Minor Interval:</b>   |                 |             |           |               |             |                       |                         |                       |                         |                          |
| 1078.90             | 1085.40           | <b>I3G</b> <i>Gabbro</i><br>Couleur verdâtre, gabbro mésocrate<br>Contact supérieur et inférieur francs 90ac<br>Non mag<br>Texture grenue homogène<br>Chloritisation faible à modérée  | 64520           | 1078.90     | 1079.9    | 1.00          |             | -                     | -                       | -                     | -                       | 0.01                     |
|                     |                   |  |                 |             |           | 0             |             |                       |                         |                       |                         |                          |
|                     |                   |  | 64530           | 1082.00     | 1082.2    | 0.20          |             | -                     | -                       | -                     | -                       | 0.01                     |
|                     |                   |  |                 |             |           | 0             |             |                       |                         |                       |                         |                          |



## LITHOLOGY REPORT - Detailed -

Hole Number **CM-06-17**

Project: **CADILLAC MINING**

Project Number:

| <i>From</i><br>(m) | <i>To</i><br>(m) | <i>Lithology</i>   | <i>Sample #</i> | <i>From</i> | <i>To</i>   | <i>Length</i> | <i>Zone</i> | <i>AuAA</i><br>(ppm) | <i>DpAuAA</i><br>(ppm) | <i>AuGr</i><br>(ppm) | <i>DpAuGr</i><br>(ppm) | <i>AuFINAL</i><br>(ppm) |
|--------------------|------------------|--|-----------------|-------------|-------------|---------------|-------------|----------------------|------------------------|----------------------|------------------------|-------------------------|
|                    |                  | Traces de Py associée aux épontes d'une Ve Qz-Cb-Cl<br>Rares Ve Qz-Cbn   |                 |             |             |               |             |                      |                        |                      |                        |                         |
| 1085.40            | 1090.30          | <b>S3AZ</b> <i>argillite indéterminé</i><br>Couleur gris moyen verdâtre<br>Sédiment à grain très fin, de type argileux<br>Non Mag<br>Zone de mélange gabbro/sédiments jusqu'à 1087 m avec petites injections de gabbro<br>Foliation modérée 65ac<br>Assez fracturé et injecté de Vn Qz-Cb<br>Chloritisation faible<br>Tr-1% Py en amas étirés selon la foliation et associée aux Ve Qz-Cb<br>15% Vn et Ve Qz-Cb orientées selon la foliation                                     | 64531           | 1085.30     | 1085.6<br>5 | 0.35          |             | -                    | -                      | -                    | -                      | 0.00                    |
|                    |                  |  | 64532           | 1085.65     | 1085.8<br>0 | 0.15          |             | -                    | -                      | -                    | -                      | 0.00                    |
|                    |                  |  | 64533           | 1086.00     | 1086.2<br>0 | 0.20          |             | -                    | -                      | -                    | -                      | 0.00                    |
|                    |                  |  | 64534           | 1086.20     | 1087.0<br>0 | 0.80          |             | -                    | -                      | -                    | -                      | 0.00                    |
|                    |                  |  | 64522           | 1087.00     | 1088.0<br>0 | 1.00          |             | -                    | -                      | -                    | -                      | 0.17                    |
|                    |                  |  | 64523           | 1088.00     | 1088.4<br>0 | 0.40          |             | -                    | -                      | -                    | -                      | 0.01                    |
|                    |                  |  | 64524           | 1088.40     | 1089.0<br>0 | 0.60          |             | -                    | -                      | -                    | -                      | 0.03                    |
|                    |                  | <b>Vein Maj.:</b> <i>Type/Mineral</i> % <i>ca</i> <i>vg</i>  | 64525           | 1089.00     | 1089.8<br>0 | 0.80          |             | -                    | -                      | -                    | -                      | 0.17                    |
|                    |                  | 1087.10 - 1088.30 VN QZ-CB-CL 50.0 65  | 64526           | 1089.80     | 1090.2<br>0 | 0.40          |             | -                    | -                      | -                    | -                      | 0.05                    |
| 1090.30            | 1106.90          | <b>V4Z</b> <i>indéterminé</i><br>Couleur noirâtre avec fragments beiges carbonatés (fragments de Ve ?) millimétriques à centimétriques<br>subarrondis et étirés selon le cisaillement<br>Contact supérieur franc 60ac, contact inférieur progressif par augmentation de la fracturation et de la<br>proportion de boue de faille<br>Localement fortement magnétique<br>Fortement cisailé et fracturé. Déformation intense. Orientation moyenne 70ac.<br>Chlorite/talc/biotite+++ | 64527           | 1091.20     | 1092.3<br>0 | 1.10          |             | -                    | -                      | -                    | -                      | 0.02                    |
|                    |                  |  | 64528           | 1105.00     | 1106.1<br>0 | 1.10          |             | -                    | -                      | -                    | -                      | 0.01                    |



## LITHOLOGY REPORT - Detailed -

Hole Number **CM-06-17**

Project: **CADILLAC MINING**

Project Number:

| From<br>(m)   | To<br>(m) | Lithology                   | Sample #                    | From | To | Length | Zone | AuAA<br>(ppm) | DpAuAA<br>(ppm) | AuGr<br>(ppm) | DpAuGr<br>(ppm) | AuFINAL<br>(ppm) |
|---|-----------|-----------------------------|-----------------------------|------|----|--------|------|---------------|-----------------|---------------|-----------------|------------------|
| Traces de Py automorphe disséminée et associée aux Ve<br>Localement 10% Ve Qz-Cb discontinues et bréchiques |           |                             |                             |      |    |        |      |               |                 |               |                 |                  |
| <b>Structure Maj.:</b>  |           |                             |                             |      |    |        |      |               |                 |               |                 |                  |
|   |           | <b>Type/Core Angle</b>      | <b>Comment</b>              |      |    |        |      |               |                 |               |                 |                  |
| 1090.30   | 1094.50   | FRAC                        |                             |      |    |        |      |               |                 |               |                 |                  |
| 1090.30   | 1094.50   | CIS 70                      | de 45 à 70ac                |      |    |        |      |               |                 |               |                 |                  |
| 1094.50   | 1094.80   | BFA 80                      |                             |      |    |        |      |               |                 |               |                 |                  |
| 1094.80   | 1106.90   | FRAC                        |                             |      |    |        |      |               |                 |               |                 |                  |
| 1094.80   | 1106.90   | CIS 45                      | de 0 à 65ac                 |      |    |        |      |               |                 |               |                 |                  |
| <b>Alteration Maj.:</b>   |           |                             |                             |      |    |        |      |               |                 |               |                 |                  |
|   |           | <b>Type/Style/Intensity</b> | <b>Comment</b>              |      |    |        |      |               |                 |               |                 |                  |
| 1090.30   | 1106.90   | CL PER +                    |                             |      |    |        |      |               |                 |               |                 |                  |
| 1090.30   | 1106.90   | TC PER ++                   |                             |      |    |        |      |               |                 |               |                 |                  |
| 1090.30   | 1106.90   | BO DIS ++                   |                             |      |    |        |      |               |                 |               |                 |                  |
| <b>Vein Maj.:</b>   |           |                             |                             |      |    |        |      |               |                 |               |                 |                  |
|   |           | <b>Type/Mineral</b>         | %                           | ca   | vg |        |      |               |                 |               |                 |                  |
| 1092.40   | 1095.60   | VE qz-cb                    | 10.0                        | 75   |    |        |      |               |                 |               |                 |                  |
| <b>Minor Interval:</b>  |           |                             |                             |      |    |        |      |               |                 |               |                 |                  |
| 1091.10   | 1092.40   | S3AC                        | <i>argillite calcaireux</i> |      |    |        |      |               |                 |               |                 |                  |
| ou I1ZD?  |           |                             |                             |      |    |        |      |               |                 |               |                 |                  |
| Couleur gris moyen  |           |                             |                             |      |    |        |      |               |                 |               |                 |                  |
| Contact supérieur et inférieurs francs 90ac   |           |                             |                             |      |    |        |      |               |                 |               |                 |                  |
| Mag++   |           |                             |                             |      |    |        |      |               |                 |               |                 |                  |
| 1% Py moyenne automorphe disséminée   |           |                             |                             |      |    |        |      |               |                 |               |                 |                  |
| 1% Ve Qz-Cb non orientée  |           |                             |                             |      |    |        |      |               |                 |               |                 |                  |



## LITHOLOGY REPORT - Detailed -

Hole Number **CM-06-17**

Project: **CADILLAC MINING**

Project Number:

| From<br>(m)            | To<br>(m) | Lithology  | Sample #                    | From           | To        | Length    | Zone | AuAA<br>(ppm) | DpAuAA<br>(ppm) | AuGr<br>(ppm) | DpAuGr<br>(ppm) | AuFINAL<br>(ppm) |
|------------------------|-----------|--|-----------------------------|----------------|-----------|-----------|------|---------------|-----------------|---------------|-----------------|------------------|
| <b>Minor Interval:</b> |           |  |                             |                |           |           |      |               |                 |               |                 |                  |
| 1095.60                | 1098.00   | I3GD <i>Dyke gabbro</i><br>Couleur verdâtre<br>Contact supérieur franc 60ac et inférieur franc à 55ac<br>Texture fine, altérée par la déformation<br>Mag hétérogène, de non Mag à Mag++<br>cisailé 55ac<br>Chloritisation forte<br>Pas de Py<br>2-3% ve Qz-Cb  |                             |                |           |           |      |               |                 |               |                 |                  |
| 1106.90                | 1121.00   | <b>ZFA</b> <b>Zone de faille</b><br>Ressemble à la faille de Cadillac<br>Couleur gris moyen à foncé, légèrement verdâtre<br>Contact supérieur progressif par augmentation de la fracturation et Bfa<br>Texture bréchique avec fragments blancs carbonatés (Ve?) subarrondis et déformés<br>Mag hétérogène de non Mag à Mag+<br>Déformation intense. Fortement fracturé avec une orientation variable, en moyenne 60ac.<br>Chlorite/talc/biotite+++<br>Rare Py moyenne automorphe<br>Localement 10% Ve Qz-Cb discontinues | 64529                       | 1112.10        | 1113.10   | 1.00      |      |               |                 |               |                 | 0.01             |
|                        |           | <b>Structure Maj.:</b>   | <b>Type/Core Angle</b>      | <b>Comment</b> |           |           |      |               |                 |               |                 |                  |
|                        |           | 1106.90 - 1117.00  | BFA                         | 5% Bfa         |           |           |      |               |                 |               |                 |                  |
|                        |           | 1106.90 - 1117.00  | FA9 60                      | de 35-70 ac    |           |           |      |               |                 |               |                 |                  |
|                        |           | <b>Alteration Maj.:</b>  | <b>Type/Style/Intensity</b> | <b>Comment</b> |           |           |      |               |                 |               |                 |                  |
|                        |           | 1106.90 - 1121.00  | CL PER +                    |                |           |           |      |               |                 |               |                 |                  |
|                        |           | 1106.90 - 1121.00  | TC PER ++                   |                |           |           |      |               |                 |               |                 |                  |
|                        |           | 1106.90 - 1121.00  | BO DIS ++                   |                |           |           |      |               |                 |               |                 |                  |
|                        |           | <b>Vein Maj.:</b>  | <b>Type/Mineral</b>         | <b>%</b>       | <b>ca</b> | <b>vg</b> |      |               |                 |               |                 |                  |
|                        |           | 1107.80 - 1109.70  | VE qz-cb                    | 10.0           |           |           |      |               |                 |               |                 |                  |



LITHOLOGY REPORT  
- Detailed -

Hole Number **CM-06-17**

Project: **CADILLAC MINING**

Project Number:

| <i>From</i><br><i>(m)</i> | <i>To</i><br><i>(m)</i> | <i>Lithology</i> | <i>Sample #</i> | <i>From</i> | <i>To</i> | <i>Length</i> | <i>Zone</i> | <i>AuAA</i><br><i>(ppm)</i> | <i>DpAuAA</i><br><i>(ppm)</i> | <i>AuGr</i><br><i>(ppm)</i> | <i>DpAuGr</i><br><i>(ppm)</i> | <i>AuFINAL</i><br><i>(ppm)</i> |
|---------------------------|-------------------------|------------------|-----------------|-------------|-----------|---------------|-------------|-----------------------------|-------------------------------|-----------------------------|-------------------------------|--------------------------------|
|---------------------------|-------------------------|------------------|-----------------|-------------|-----------|---------------|-------------|-----------------------------|-------------------------------|-----------------------------|-------------------------------|--------------------------------|



**FULL ANALYTICAL REPORT**  
- Assay -

Hole Number: **CM-06-17**

Project: **CADILLAC MINING**

Project Number:

**Assay Report (part 1 of 0)**

| <i>From</i><br>(m) | <i>To</i><br>(m) | <i>Length</i><br>(m) | <i>Sample #</i> | <i>Zone Name</i> | <i>AuAA</i><br>(ppm) | <i>DpAuAA</i><br>(ppm) | <i>AuGr</i><br>(ppm) | <i>DpAuGr</i><br>(ppm) | <i>AuFINAL</i><br>(ppm) | <i>%Sulphur</i> | <i>%Veins</i> | <i>Comments</i> |
|--------------------|------------------|----------------------|-----------------|------------------|----------------------|------------------------|----------------------|------------------------|-------------------------|-----------------|---------------|-----------------|
| 27.00              | 27.20            | 0.20                 | 58831           |                  | -                    | -                      | -                    | -                      | 0.03                    | 0.00            |               |                 |
| 45.60              | 46.35            | 0.75                 | 58832           |                  | -                    | -                      | -                    | -                      | 0.03                    | 0.00            |               |                 |
| 54.35              | 54.55            | 0.20                 | 58833           |                  | -                    | -                      | -                    | -                      | 0.04                    | 0.00            |               |                 |
| 66.10              | 66.75            | 0.65                 | 58834           |                  | -                    | -                      | -                    | -                      | 0.03                    | 0.00            |               |                 |
| 90.90              | 91.60            | 0.70                 | 58835           |                  | -                    | -                      | -                    | -                      | 0.02                    | 0.00            |               |                 |
| 152.00             | 153.00           | 1.00                 | 58836           |                  | -                    | -                      | -                    | -                      | 0.02                    | 0.00            |               |                 |
| 181.20             | 181.40           | 0.20                 | 58837           |                  | -                    | -                      | -                    | -                      | 0.02                    | 0.00            |               |                 |
| 182.00             | 183.00           | 1.00                 | 58838           |                  | -                    | -                      | -                    | -                      | 0.02                    | 0.00            |               |                 |
| 191.50             | 192.00           | 0.50                 | 58839           |                  | -                    | -                      | -                    | -                      | 0.02                    | 0.00            |               |                 |
| 193.50             | 194.00           | 0.50                 | 58840           |                  | -                    | -                      | -                    | -                      | 0.02                    | 0.00            |               |                 |
| 194.70             | 195.20           | 0.50                 | 58841           |                  | -                    | -                      | -                    | -                      | 0.02                    | 0.00            |               |                 |
| 202.20             | 202.80           | 0.60                 | 58842           |                  | -                    | -                      | -                    | -                      | 0.02                    | 0.00            |               |                 |
| 202.80             | 203.60           | 0.80                 | 58843           |                  | -                    | -                      | -                    | -                      | 0.02                    | 0.00            |               |                 |
| 203.60             | 204.10           | 0.50                 | 58844           |                  | -                    | -                      | -                    | -                      | 0.02                    | 0.00            |               |                 |
| 209.00             | 209.70           | 0.70                 | 58845           |                  | -                    | -                      | -                    | -                      | 0.01                    | 0.00            |               |                 |
| 222.10             | 223.30           | 1.20                 | 58846           |                  | -                    | -                      | -                    | -                      | 0.02                    | 0.00            |               |                 |
| 245.00             | 245.50           | 0.50                 | 58848           |                  | -                    | -                      | -                    | -                      | 0.01                    | 0.00            |               |                 |
| 274.00             | 275.00           | 1.00                 | 58849           |                  | -                    | -                      | -                    | -                      | 0.02                    | 0.00            |               |                 |
| 303.00             | 303.40           | 0.40                 | 58850           |                  | -                    | -                      | -                    | -                      | 0.01                    | 0.00            |               |                 |
| 341.00             | 342.00           | 1.00                 | 58851           |                  | -                    | -                      | -                    | -                      | 0.02                    | 0.00            |               |                 |
| 344.75             | 345.75           | 1.00                 | 58852           |                  | -                    | -                      | -                    | -                      | 0.01                    | 0.00            |               |                 |
| 345.75             | 346.75           | 1.00                 | 58853           |                  | -                    | -                      | -                    | -                      | 0.02                    | 0.00            |               |                 |
| 350.30             | 351.10           | 0.80                 | 58854           |                  | -                    | -                      | -                    | -                      | 0.03                    | 0.00            |               |                 |
| 367.00             | 368.00           | 1.00                 | 58855           |                  | -                    | -                      | -                    | -                      | 0.03                    | 0.00            |               |                 |
| 368.00             | 369.00           | 1.00                 | 58856           |                  | -                    | -                      | -                    | -                      | 0.02                    | 0.00            |               |                 |
| 372.00             | 373.00           | 1.00                 | 58857           |                  | -                    | -                      | -                    | -                      | 0.02                    | 0.00            |               |                 |
| 378.70             | 379.70           | 1.00                 | 58858           |                  | -                    | -                      | -                    | -                      | 0.02                    | 0.00            |               |                 |
| 388.00             | 388.80           | 0.80                 | 58859           |                  | -                    | -                      | -                    | -                      | 0.02                    | 0.00            |               |                 |



**FULL ANALYTICAL REPORT**  
**- Assay -**

Hole Number: **CM-06-17**

Project: **CADILLAC MINING**

Project Number:

**Assay Report (part 1 of 0)**

| <i>From</i><br>(m) | <i>To</i><br>(m) | <i>Length</i><br>(m) | <i>Sample #</i> | <i>Zone Name</i> | <i>AuAA</i><br>(ppm) | <i>DpAuAA</i><br>(ppm) | <i>AuGr</i><br>(ppm) | <i>DpAuGr</i><br>(ppm) | <i>AuFINAL</i><br>(ppm) | <i>%Sulphur</i> | <i>%Veins</i> | <i>Comments</i>  |
|--------------------|------------------|----------------------|-----------------|------------------|----------------------|------------------------|----------------------|------------------------|-------------------------|-----------------|---------------|--|
| 389.00             | 390.20           | 1.20                 | 58860           |                  | -                    | -                      | -                    | -                      | 0.06                    | 0.00            |               |  |
| 397.80             | 398.20           | 0.40                 | 58861           |                  | -                    | -                      | -                    | -                      | 0.01                    | 0.00            |               |  |
| 407.80             | 408.30           | 0.50                 | GM85151         |                  | 0.30                 | 0.32                   | -                    | -                      | 0.31                    | 0.00            | 0.00          | Contact sédiments/syénite, cis++, 1% py fine dans les plans de foliation chloriteux et Py fine associée aux Ve, 2-3% Ve Qz-Cb-Cl |
| 408.30             | 408.80           | 0.50                 | 58862           |                  | -                    | -                      | -                    | -                      | 0.13                    | 0.00            |               |  |
| 412.30             | 413.30           | 1.00                 | GM85152         |                  | 0.08                 | -                      | -                    | -                      | 0.08                    | 0.00            | 0.00          | bloc ou intrusion de syénite cis ++, 0.5% de py très fine disséminée dans les plans de foliation                                 |
| 415.70             | 416.70           | 1.00                 | GM85153         |                  | 0.01                 | -                      | -                    | -                      | 0.01                    | 0.00            | 0.00          | cis ++ à CL/SE traces à 1% de py fine disséminée, 1.5% ve QZ-CB-CL dans des sédiments type conglomérats                          |
| 416.70             | 417.70           | 1.00                 | GM85154         |                  | 0.00                 | -                      | -                    | -                      | 0.00                    | 0.00            | 0.00          | cis ++ à CL/SE traces à 1% de py fine disséminée, 2% ve QZ-CB-CL dans des sédiments type conglomérats                            |
| 417.70             | 418.20           | 0.50                 | 58863           |                  | -                    | -                      | -                    | -                      | 0.12                    | 0.00            |               |  |
| 419.40             | 420.00           | 0.60                 | 58864           |                  | -                    | -                      | -                    | -                      | 0.14                    | 0.00            |               |  |
| 420.00             | 420.80           | 0.80                 | GM85155         |                  | 0.00                 | -                      | -                    | -                      | 0.00                    | 0.00            | 0.00          | cis ++ à CL/SE traces à 1% de py fine disséminée, 2-3% ve QZ-CB-CL dans des sédiments type conglomérats                          |
| 421.00             | 422.00           | 1.00                 | 58865           |                  | -                    | -                      | -                    | -                      | 0.04                    | 0.00            |               |  |
| 422.00             | 423.00           | 1.00                 | 58866           |                  | -                    | -                      | -                    | -                      | 0.02                    | 0.00            |               |  |
| 423.00             | 424.00           | 1.00                 | 58867           |                  | -                    | -                      | -                    | -                      | 0.02                    | 0.00            |               |  |
| 424.00             | 425.00           | 1.00                 | 58868           |                  | -                    | -                      | -                    | -                      | 0.01                    | 0.00            |               |  |
| 430.00             | 431.00           | 1.00                 | 58869           |                  | -                    | -                      | -                    | -                      | 0.02                    | 0.00            |               |  |
| 432.50             | 433.35           | 0.85                 | 58870           |                  | -                    | -                      | -                    | -                      | 0.01                    | 0.00            |               |  |
| 435.10             | 436.10           | 1.00                 | GM85156         |                  | 0.05                 | -                      | -                    | -                      | 0.05                    | 0.00            | 0.00          | cis ++ à CL/SE, 2% de py fine à moyenne disséminée, rares ve QZ-CB dans des sédiments type conglomérats                          |
| 437.00             | 437.70           | 0.70                 | 58871           |                  | -                    | -                      | -                    | -                      | 0.05                    | 0.00            |               |  |
| 437.70             | 438.60           | 0.90                 | 58872           |                  | -                    | -                      | -                    | -                      | 0.02                    | 0.00            |               |  |
| 442.00             | 442.80           | 0.80                 | 58873           |                  | -                    | -                      | -                    | -                      | 0.04                    | 0.00            |               |  |
| 447.30             | 447.90           | 0.60                 | 58874           |                  | -                    | -                      | -                    | -                      | 0.02                    | 0.00            |               |  |
| 449.50             | 450.00           | 0.50                 | 58875           |                  | -                    | -                      | -                    | -                      | 0.02                    | 0.00            |               |  |
| 461.40             | 462.50           | 1.10                 | 58876           |                  | -                    | -                      | -                    | -                      | 0.05                    | 0.00            |               |  |



**FULL ANALYTICAL REPORT**  
**- Assay -**

Hole Number: **CM-06-17**

Project: **CADILLAC MINING**

Project Number:

**Assay Report (part 1 of 0)**

| <i>From</i><br>(m) | <i>To</i><br>(m) | <i>Length</i><br>(m) | <i>Sample #</i> | <i>Zone Name</i> | <i>AuAA</i><br>(ppm) | <i>DpAuAA</i><br>(ppm) | <i>AuGr</i><br>(ppm) | <i>DpAuGr</i><br>(ppm) | <i>AuFINAL</i><br>(ppm) | <i>%Sulphur</i> | <i>%Veins</i> | <i>Comments</i>  |
|--------------------|------------------|----------------------|-----------------|------------------|----------------------|------------------------|----------------------|------------------------|-------------------------|-----------------|---------------|--|
| 462.50             | 463.50           | 1.00                 | 58877           |                  | -                    | -                      | -                    | -                      | 0.08                    | 0.00            |               |  |
| 469.00             | 470.00           | 1.00                 | GM85159         |                  | 0.01                 | -                      | -                    | -                      | 0.01                    | 0.00            | 0.00          | syénite à phénocristaux, cis + , HM-, traces à % py fine au contact inférieur  |
| 470.00             | 471.00           | 1.00                 | GM85160         |                  | 0.01                 | -                      | -                    | -                      | 0.01                    | 0.00            | 0.00          | cis ++, à CL/SE, 2% ve QZ-CB-CL, sédiments type conglomérats, 0.5% py fine disséminée plus ou moins associée aux fragments |
| 473.30             | 473.40           | 0.10                 | 58878           |                  | -                    | -                      | -                    | -                      | 0.01                    | 0.00            |               |  |
| 479.00             | 480.00           | 1.00                 | 58879           |                  | -                    | -                      | -                    | -                      | 0.01                    | 0.00            |               |  |
| 484.00             | 484.70           | 0.70                 | 58880           |                  | -                    | -                      | -                    | -                      | 0.01                    | 0.00            |               |  |
| 487.30             | 488.30           | 1.00                 | GM85161         |                  | 0.04                 | -                      | -                    | -                      | 0.04                    | 0.00            | 0.00          | Wacke, cis ++ avec veimules Qz-CB-CL à 10% de Py   |
| 488.30             | 489.10           | 0.80                 | 58881           |                  | -                    | -                      | -                    | -                      | 0.03                    | 0.00            |               |  |
| 489.10             | 490.00           | 0.90                 | GM85162         |                  | 0.01                 | -                      | -                    | -                      | 0.01                    | 0.00            | 0.00          | Wacke, cis++, avec Py dis, CL-SE   |
| 490.00             | 490.70           | 0.70                 | 58882           |                  | -                    | -                      | -                    | -                      | 0.01                    | 0.00            |               |  |
| 492.40             | 492.90           | 0.50                 | 58883           |                  | -                    | -                      | -                    | -                      | 0.02                    | 0.00            |               |  |
| 497.00             | 498.00           | 1.00                 | GM85163         |                  | 0.00                 | 0.00                   | -                    | -                      | 0.00                    | 0.00            | 0.00          | Wacke cis ++, avec Py 1% dans la foliation et localement 5%  |
| 501.20             | 502.40           | 1.20                 | 58884           |                  | -                    | -                      | -                    | -                      | 0.02                    | 0.00            |               |  |
| 502.40             | 502.70           | 0.30                 | 58885           |                  | -                    | -                      | -                    | -                      | 0.01                    | 0.00            |               |  |
| 502.70             | 503.50           | 0.80                 | 58886           |                  | -                    | -                      | -                    | -                      | 0.01                    | 0.00            |               |  |
| 503.50             | 503.90           | 0.40                 | 58887           |                  | -                    | -                      | -                    | -                      | 0.00                    | 0.00            |               |  |
| 503.90             | 504.40           | 0.50                 | 58888           |                  | -                    | -                      | -                    | -                      | 0.00                    | 0.00            |               |  |
| 505.80             | 506.10           | 0.30                 | 58889           |                  | -                    | -                      | -                    | -                      | 0.00                    | 0.00            |               |  |
| 517.10             | 517.60           | 0.50                 | GM85164         |                  | 0.00                 | -                      | -                    | -                      | 0.00                    | 0.00            | 0.00          | Syénite hématisée avec zone bréchique  |
| 553.90             | 554.20           | 0.30                 | 58890           |                  | -                    | -                      | -                    | -                      | 0.06                    | 0.00            |               |  |
| 574.20             | 574.40           | 0.20                 | 58891           |                  | -                    | -                      | -                    | -                      | 0.07                    | 0.00            |               |  |
| 575.60             | 576.10           | 0.50                 | GM85165         |                  | 0.02                 | -                      | -                    | -                      | 0.02                    | 0.00            | 0.00          | syénite HM++, CL-, tr-1% Py associée aux Ve Qz-Cb  |
| 605.90             | 606.90           | 1.00                 | GM85166         |                  | 0.00                 | -                      | -                    | -                      | 0.00                    | 0.00            | 0.00          | syénite cis++, HM-, CL+, 1% Py fine  |
| 609.00             | 610.50           | 1.50                 | 58893           |                  | -                    | -                      | -                    | -                      | 0.01                    | 0.00            |               |  |
| 611.80             | 612.50           | 0.70                 | 58894           |                  | -                    | -                      | -                    | -                      | 0.01                    | 0.00            |               |  |



**FULL ANALYTICAL REPORT**  
**- Assay -**

Hole Number: **CM-06-17**

Project: **CADILLAC MINING**

Project Number:

**Assay Report (part 1 of 0)**

| From<br>(m) | To<br>(m) | Length<br>(m) | Sample # | Zone Name | AuAA<br>(ppm) | DpAuAA<br>(ppm) | AuGr<br>(ppm) | DpAuGr<br>(ppm) | AuFINAL<br>(ppm) | %Sulphur | %Veins | Comments  |
|-------------|-----------|---------------|----------|-----------|---------------|-----------------|---------------|-----------------|------------------|----------|--------|---|
| 622.70      | 623.00    | 0.30          | 58895    |           | -             | -               | -             | -               | 0.01             | 0.00     |        |   |
| 624.00      | 624.50    | 0.50          | 58896    |           | -             | -               | -             | -               | 0.00             | 0.00     |        |   |
| 625.40      | 626.20    | 0.80          | 58897    |           | -             | -               | -             | -               | 0.05             | 0.00     |        |   |
| 626.20      | 627.00    | 0.80          | 58898    |           | -             | -               | -             | -               | 0.01             | 0.00     |        |   |
| 627.00      | 627.40    | 0.40          | 58899    |           | -             | -               | -             | -               | 0.01             | 0.00     |        |   |
| 639.50      | 640.00    | 0.50          | 58900    |           | -             | -               | -             | -               | 0.00             | 0.00     |        |   |
| 662.80      | 663.90    | 1.10          | 65301    |           | -             | -               | -             | -               | 0.01             | 0.00     |        |   |
| 667.00      | 667.50    | 0.50          | GM85167  |           | 0.05          | -               | -             | -               | 0.05             | 0.00     | 0.00   | Faïlle avec brèche, HM- et CL+, 1% Py fine disséminée |
| 675.60      | 675.90    | 0.30          | 65302    |           | -             | -               | -             | -               | 0.00             | 0.00     |        |   |
| 675.90      | 677.00    | 1.10          | 65303    |           | -             | -               | -             | -               | 0.00             | 0.00     |        |   |
| 679.20      | 679.70    | 0.50          | 65304    |           | -             | -               | -             | -               | 0.00             | 0.00     |        |   |
| 681.00      | 681.75    | 0.75          | 65305    |           | -             | -               | -             | -               | 0.01             | 0.00     |        |   |
| 682.50      | 683.00    | 0.50          | 65306    |           | -             | -               | -             | -               | 0.01             | 0.00     |        |   |
| 683.00      | 684.00    | 1.00          | 65307    |           | -             | -               | -             | -               | 0.01             | 0.00     |        |   |
| 684.00      | 684.50    | 0.50          | 65308    |           | -             | -               | -             | -               | 0.01             | 0.00     |        |   |
| 686.80      | 687.30    | 0.50          | 65309    |           | -             | -               | -             | -               | 0.02             | 0.00     |        |   |
| 687.30      | 688.30    | 1.00          | 65310    |           | -             | -               | -             | -               | 0.08             | 0.00     |        |   |
| 691.00      | 692.00    | 1.00          | 65311    |           | -             | -               | -             | -               | 0.02             | 0.00     |        |   |
| 693.50      | 694.00    | 0.50          | 65312    |           | -             | -               | -             | -               | 0.01             | 0.00     |        |   |
| 694.00      | 695.00    | 1.00          | 65313    |           | -             | -               | -             | -               | 0.01             | 0.00     |        |   |
| 695.70      | 695.90    | 0.20          | 65314    |           | -             | -               | -             | -               | 0.03             | 0.00     |        |   |
| 701.00      | 702.20    | 1.20          | 65315    |           | -             | -               | -             | -               | 0.02             | 0.00     |        |   |
| 706.10      | 706.55    | 0.45          | 65316    |           | -             | -               | -             | -               | 0.00             | 0.00     |        |   |
| 710.40      | 710.60    | 0.20          | 65317    |           | -             | -               | -             | -               | 0.00             | 0.00     |        |   |
| 722.90      | 723.60    | 0.70          | 65318    |           | -             | -               | -             | -               | 0.00             | 0.00     |        |   |
| 723.60      | 724.20    | 0.60          | 65319    |           | -             | -               | -             | -               | 0.71             | 0.00     |        |   |
| 730.00      | 730.70    | 0.70          | 65320    |           | -             | -               | -             | -               | 0.00             | 0.00     |        |   |
| 732.00      | 733.00    | 1.00          | 65321    |           | -             | -               | -             | -               | 0.00             | 0.00     |        |   |



**FULL ANALYTICAL REPORT**  
- Assay -

Hole Number: **CM-06-17**

Project: **CADILLAC MINING**

Project Number:

**Assay Report (part 1 of 0)**

| <i>From</i><br>(m) | <i>To</i><br>(m) | <i>Length</i><br>(m) | <i>Sample #</i> | <i>Zone Name</i> | <i>AuAA</i><br>(ppm) | <i>DpAuAA</i><br>(ppm) | <i>AuGr</i><br>(ppm) | <i>DpAuGr</i><br>(ppm) | <i>AuFINAL</i><br>(ppm) | <i>%Sulphur</i> | <i>%Veins</i> | <i>Comments</i> |
|--------------------|------------------|----------------------|-----------------|------------------|----------------------|------------------------|----------------------|------------------------|-------------------------|-----------------|---------------|-----------------|
| 733.00             | 734.00           | 1.00                 | 65322           |                  | -                    | -                      | -                    | -                      | 0.01                    | 0.00            |               |                 |
| 734.00             | 734.50           | 0.50                 | 65323           |                  | -                    | -                      | -                    | -                      | 0.32                    | 0.00            |               |                 |
| 734.50             | 735.50           | 1.00                 | 65324           |                  | -                    | -                      | -                    | -                      | 0.00                    | 0.00            |               |                 |
| 740.90             | 742.00           | 1.10                 | 65325           |                  | -                    | -                      | -                    | -                      | 0.00                    | 0.00            |               |                 |
| 742.00             | 743.00           | 1.00                 | 65326           |                  | -                    | -                      | -                    | -                      | 0.00                    | 0.00            |               |                 |
| 750.00             | 751.00           | 1.00                 | 65327           |                  | -                    | -                      | -                    | -                      | 0.00                    | 0.00            |               |                 |
| 757.75             | 758.75           | 1.00                 | 65328           |                  | -                    | -                      | -                    | -                      | 0.01                    | 0.00            |               |                 |
| 760.00             | 761.00           | 1.00                 | 65329           |                  | -                    | -                      | -                    | -                      | 0.01                    | 0.00            |               |                 |
| 770.90             | 771.10           | 0.20                 | 65330           |                  | -                    | -                      | -                    | -                      | 0.01                    | 0.00            |               |                 |
| 771.10             | 772.00           | 0.90                 | 65331           |                  | -                    | -                      | -                    | -                      | 0.01                    | 0.00            |               |                 |
| 772.00             | 773.00           | 1.00                 | 65332           |                  | -                    | -                      | -                    | -                      | 0.00                    | 0.00            |               |                 |
| 777.00             | 777.30           | 0.30                 | 65333           |                  | -                    | -                      | -                    | -                      | 0.01                    | 0.00            |               |                 |
| 793.85             | 794.10           | 0.25                 | 65334           |                  | -                    | -                      | -                    | -                      | 0.01                    | 0.00            |               |                 |
| 797.15             | 797.50           | 0.35                 | 65335           |                  | -                    | -                      | -                    | -                      | 0.00                    | 0.00            |               |                 |
| 802.25             | 802.60           | 0.35                 | 65336           |                  | -                    | -                      | -                    | -                      | 0.01                    | 0.00            |               |                 |
| 822.85             | 823.05           | 0.20                 | 65337           |                  | -                    | -                      | -                    | -                      | 0.00                    | 0.00            |               |                 |
| 827.10             | 827.50           | 0.40                 | 65338           |                  | -                    | -                      | -                    | -                      | 0.01                    | 0.00            |               |                 |
| 841.30             | 842.30           | 1.00                 | 65339           |                  | -                    | -                      | -                    | -                      | 0.01                    | 0.00            |               |                 |
| 843.50             | 843.80           | 0.30                 | 65340           |                  | -                    | -                      | -                    | -                      | 0.02                    | 0.00            |               |                 |
| 856.00             | 857.50           | 1.50                 | 65341           |                  | -                    | -                      | -                    | -                      | 0.00                    | 0.00            |               |                 |
| 857.50             | 859.00           | 1.50                 | 65342           |                  | -                    | -                      | -                    | -                      | 0.01                    | 0.00            |               |                 |
| 859.00             | 860.50           | 1.50                 | 65343           |                  | -                    | -                      | -                    | -                      | 0.03                    | 0.00            |               |                 |
| 860.50             | 862.00           | 1.50                 | 65344           |                  | -                    | -                      | -                    | -                      | 0.01                    | 0.00            |               |                 |
| 862.00             | 863.50           | 1.50                 | 65345           |                  | -                    | -                      | -                    | -                      | 0.01                    | 0.00            |               |                 |
| 863.50             | 865.00           | 1.50                 | 65346           |                  | -                    | -                      | -                    | -                      | 0.01                    | 0.00            |               |                 |
| 865.00             | 866.50           | 1.50                 | 65347           |                  | -                    | -                      | -                    | -                      | 0.03                    | 0.00            |               |                 |
| 866.50             | 868.00           | 1.50                 | 65348           |                  | -                    | -                      | -                    | -                      | 0.01                    | 0.00            |               |                 |
| 868.00             | 868.30           | 0.30                 | 65349           |                  | -                    | -                      | -                    | -                      | 0.01                    | 0.00            |               |                 |



**FULL ANALYTICAL REPORT**  
- Assay -

Hole Number: **CM-06-17**

Project: **CADILLAC MINING**

Project Number:

**Assay Report (part 1 of 0)**

| <i>From</i><br>(m) | <i>To</i><br>(m) | <i>Length</i><br>(m) | <i>Sample #</i> | <i>Zone Name</i> | <i>AuAA</i><br>(ppm) | <i>DpAuAA</i><br>(ppm) | <i>AuGr</i><br>(ppm) | <i>DpAuGr</i><br>(ppm) | <i>AuFINAL</i><br>(ppm) | <i>%Sulphur</i> | <i>%Veins</i> | <i>Comments</i> |
|--------------------|------------------|----------------------|-----------------|------------------|----------------------|------------------------|----------------------|------------------------|-------------------------|-----------------|---------------|-----------------|
| 868.30             | 868.60           | 0.30                 | 65350           |                  | -                    | -                      | -                    | -                      | 0.00                    | 0.00            |               |                 |
| 878.60             | 879.40           | 0.80                 | 65351           |                  | -                    | -                      | -                    | -                      | 0.00                    | 0.00            |               |                 |
| 903.45             | 903.65           | 0.20                 | 65352           |                  | -                    | -                      | -                    | -                      | 0.00                    | 0.00            |               |                 |
| 904.50             | 904.75           | 0.25                 | 65353           |                  | -                    | -                      | -                    | -                      | 0.01                    | 0.00            |               |                 |
| 905.70             | 905.90           | 0.20                 | 65354           |                  | -                    | -                      | -                    | -                      | 0.07                    | 0.00            |               |                 |
| 919.40             | 920.10           | 0.70                 | 65355           |                  | -                    | -                      | -                    | -                      | 0.10                    | 0.00            |               |                 |
| 920.10             | 920.60           | 0.50                 | 65356           |                  | -                    | -                      | -                    | -                      | 0.09                    | 0.00            |               |                 |
| 920.60             | 921.30           | 0.70                 | 65357           |                  | -                    | -                      | -                    | -                      | 0.03                    | 0.00            |               |                 |
| 921.30             | 922.30           | 1.00                 | 65358           |                  | -                    | -                      | -                    | -                      | 0.02                    | 0.00            |               |                 |
| 927.40             | 928.00           | 0.60                 | 65362           |                  | -                    | -                      | -                    | -                      | 0.01                    | 0.00            |               |                 |
| 929.00             | 929.35           | 0.35                 | 65363           |                  | -                    | -                      | -                    | -                      | 0.01                    | 0.00            |               |                 |
| 940.50             | 941.50           | 1.00                 | 65364           |                  | -                    | -                      | -                    | -                      | 0.00                    | 0.00            |               |                 |
| 967.10             | 968.10           | 1.00                 | 65365           |                  | -                    | -                      | -                    | -                      | 0.02                    | 0.00            |               |                 |
| 968.10             | 969.00           | 0.90                 | 65366           |                  | -                    | -                      | -                    | -                      | 0.01                    | 0.00            |               |                 |
| 969.00             | 970.00           | 1.00                 | 65367           |                  | -                    | -                      | -                    | -                      | 0.01                    | 0.00            |               |                 |
| 970.00             | 970.75           | 0.75                 | 65368           |                  | -                    | -                      | -                    | -                      | 0.00                    | 0.00            |               |                 |
| 970.75             | 971.70           | 0.95                 | 65369           |                  | -                    | -                      | -                    | -                      | 0.04                    | 0.00            |               |                 |
| 983.80             | 984.30           | 0.50                 | 65359           |                  | -                    | -                      | -                    | -                      | 0.12                    | 0.00            |               |                 |
| 984.30             | 984.80           | 0.50                 | 65360           |                  | -                    | -                      | -                    | -                      | 0.03                    | 0.00            |               |                 |
| 984.80             | 985.50           | 0.70                 | 65361           |                  | -                    | -                      | -                    | -                      | 0.09                    | 0.00            |               |                 |
| 1020.00            | 1020.70          | 0.70                 | 65379           |                  | -                    | -                      | -                    | -                      | 0.01                    | 0.00            |               |                 |
| 1027.20            | 1028.20          | 1.00                 | 65370           |                  | -                    | -                      | -                    | -                      | 0.28                    | 0.00            |               |                 |
| 1039.80            | 1040.00          | 0.20                 | 65371           |                  | -                    | -                      | -                    | -                      | 0.02                    | 0.00            |               |                 |
| 1042.50            | 1042.80          | 0.30                 | 65372           |                  | -                    | -                      | -                    | -                      | 0.01                    | 0.00            |               |                 |
| 1057.00            | 1060.00          | 3.00                 | 65373           |                  | -                    | -                      | -                    | -                      | 0.04                    | 0.00            |               |                 |
| 1060.00            | 1063.00          | 3.00                 | 65374           |                  | -                    | -                      | -                    | -                      | 0.08                    | 0.00            |               |                 |
| 1063.00            | 1066.00          | 3.00                 | 65375           |                  | -                    | -                      | -                    | -                      | 0.03                    | 0.00            |               |                 |
| 1066.00            | 1069.00          | 3.00                 | 65376           |                  | -                    | -                      | -                    | -                      | 0.04                    | 0.00            |               |                 |



**FULL ANALYTICAL REPORT**  
**- Assay -**

Hole Number: **CM-06-17**

Project: **CADILLAC MINING**

Project Number:

**Assay Report (part 1 of 0)**

| <i>From</i><br>(m) | <i>To</i><br>(m) | <i>Length</i><br>(m) | <i>Sample #</i> | <i>Zone Name</i> | <i>AuAA</i><br>(ppm) | <i>DpAuAA</i><br>(ppm) | <i>AuGr</i><br>(ppm) | <i>DpAuGr</i><br>(ppm) | <i>AuFINAL</i><br>(ppm) | <i>%Sulphur</i> | <i>%Veins</i> | <i>Comments</i> |
|--------------------|------------------|----------------------|-----------------|------------------|----------------------|------------------------|----------------------|------------------------|-------------------------|-----------------|---------------|-----------------|
| 1069.00            | 1072.00          | 3.00                 | 65377           |                  | -                    | -                      | -                    | -                      | 0.04                    | 0.00            |               |                 |
| 1072.00            | 1073.50          | 1.50                 | 65378           |                  | -                    | -                      | -                    | -                      | 0.01                    | 0.00            |               |                 |
| 1073.50            | 1074.40          | 0.90                 | 64512           |                  | -                    | -                      | -                    | -                      | 0.01                    | 0.00            |               |                 |
| 1074.40            | 1075.15          | 0.75                 | 64513           |                  | -                    | -                      | -                    | -                      | 0.14                    | 0.00            |               |                 |
| 1075.15            | 1076.05          | 0.90                 | 64514           |                  | -                    | -                      | -                    | -                      | 0.01                    | 0.00            |               |                 |
| 1076.05            | 1077.15          | 1.10                 | 64515           |                  | -                    | -                      | -                    | -                      | 0.04                    | 0.00            |               |                 |
| 1077.15            | 1077.45          | 0.30                 | 64516           |                  | -                    | -                      | -                    | -                      | 1.94                    | 0.00            |               |                 |
| 1077.45            | 1078.30          | 0.85                 | 64517           |                  | -                    | -                      | -                    | -                      | 0.43                    | 0.00            |               |                 |
| 1078.30            | 1078.55          | 0.25                 | 64518           |                  | -                    | -                      | -                    | -                      | 0.11                    | 0.00            |               |                 |
| 1078.55            | 1078.90          | 0.35                 | 64519           |                  | -                    | -                      | -                    | -                      | 0.08                    | 0.00            |               |                 |
| 1078.90            | 1079.90          | 1.00                 | 64520           |                  | -                    | -                      | -                    | -                      | 0.01                    | 0.00            |               |                 |
| 1082.00            | 1082.20          | 0.20                 | 64530           |                  | -                    | -                      | -                    | -                      | 0.01                    | 0.00            |               |                 |
| 1085.30            | 1085.65          | 0.35                 | 64531           |                  | -                    | -                      | -                    | -                      | 0.00                    | 0.00            |               |                 |
| 1085.65            | 1085.80          | 0.15                 | 64532           |                  | -                    | -                      | -                    | -                      | 0.00                    | 0.00            |               |                 |
| 1086.00            | 1086.20          | 0.20                 | 64533           |                  | -                    | -                      | -                    | -                      | 0.00                    | 0.00            |               |                 |
| 1086.20            | 1087.00          | 0.80                 | 64534           |                  | -                    | -                      | -                    | -                      | 0.00                    | 0.00            |               |                 |
| 1087.00            | 1088.00          | 1.00                 | 64522           |                  | -                    | -                      | -                    | -                      | 0.17                    | 0.00            |               |                 |
| 1088.00            | 1088.40          | 0.40                 | 64523           |                  | -                    | -                      | -                    | -                      | 0.01                    | 0.00            |               |                 |
| 1088.40            | 1089.00          | 0.60                 | 64524           |                  | -                    | -                      | -                    | -                      | 0.03                    | 0.00            |               |                 |
| 1089.00            | 1089.80          | 0.80                 | 64525           |                  | -                    | -                      | -                    | -                      | 0.17                    | 0.00            |               |                 |
| 1089.80            | 1090.20          | 0.40                 | 64526           |                  | -                    | -                      | -                    | -                      | 0.05                    | 0.00            |               |                 |
| 1091.20            | 1092.30          | 1.10                 | 64527           |                  | -                    | -                      | -                    | -                      | 0.02                    | 0.00            |               |                 |
| 1105.00            | 1106.10          | 1.10                 | 64528           |                  | -                    | -                      | -                    | -                      | 0.01                    | 0.00            |               |                 |
| 1112.10            | 1113.10          | 1.00                 | 64529           |                  | -                    | -                      | -                    | -                      | 0.01                    | 0.00            |               |                 |



## QUALITY CONTROL REPORT

Hole Number **CM-06-17**

Project: **CADILLAC MINING**

Project Number:

| <i>Distance<br/>(m)</i> | <i>Sample #</i> | <i>Sample<br/>Type</i> | <i>Duplicate<br/>of</i> | <i>Standard<br/>name</i> | <i>Laboratory</i>       | <i>Au3aa<br/>(ppm)</i> | <i>Au3gr<br/>(ppm)</i> |
|-------------------------|-----------------|------------------------|-------------------------|--------------------------|-------------------------|------------------------|------------------------|
| 436.10                  | GM85157         | Standard               |                         | SL61                     | Laboratoire Expert Inc. | 5.76                   | 5.83                   |
| 436.10                  | GM85158         | Blank                  |                         |                          | Laboratoire Expert Inc. | 0.00                   | -                      |



## GEOTECHNICAL DRILLHOLE REPORT SHEET

Project: **CADILLAC MINING**

Logged by: **C. Esnault**

Hole Number: **CM-06-17**

Azimuth: **180**

Location: **Francoeur**

Logged date: **2013-05-22**

Core Size:

Inclination: **-60**

| INTERVAL |        |        | RECOVERY |        | RQD  |       | HARD | No. Joints | Typ. Joint | JOINT CONDITION |      |       |        |      | Geological Description - Rock Type, Colour, Texture, Alteration, Structure |
|----------|--------|--------|----------|--------|------|-------|------|------------|------------|-----------------|------|-------|--------|------|--|
| FROM     | TO     | LENGTH | m        | %      | m    | %     |      |            |            | PERSIS          | APER | ROUGH | INFILL | WTHR |  |
| 21.20    | 26.00  | 4.80   | 3.80     | 79.17  | 0.83 | 17.29 |      |            |            |                 |      |       |        |      | Fracturation importante sans BFA   |
| 54.70    | 65.00  | 10.30  | 9.25     | 89.81  | 4.66 | 45.24 |      |            |            |                 |      |       |        |      | Fracturation à angle faible avec beaucoup de boue de faille                |
| 72.10    | 75.70  | 3.60   | 3.04     | 84.44  | 1.09 | 30.28 |      |            |            |                 |      |       |        |      | Fracturation importante avec peu de BFA                                    |
| 85.30    | 87.00  | 1.70   | 1.60     | 94.12  | 0.22 | 12.94 |      |            |            |                 |      |       |        |      | Fracturation importante avec boue de faille                                |
| 101.00   | 110.30 | 9.30   | 8.20     | 88.17  | 4.16 | 44.73 |      |            |            |                 |      |       |        |      | Roche fracturée avec boue de faille, broyée localement                     |
| 124.60   | 133.10 | 8.50   | 6.76     | 79.53  | 1.92 | 22.59 |      |            |            |                 |      |       |        |      | Roche fracturée avec BFA importante et bréchification                      |
| 133.90   | 137.10 | 3.20   | 3.10     | 96.88  | 1.57 | 49.06 |      |            |            |                 |      |       |        |      | Fracturation modérée avec Bfa  |
| 139.00   | 146.00 | 7.00   | 5.97     | 85.29  | 2.63 | 37.57 |      |            |            |                 |      |       |        |      | Fracturation avec BFA  |
| 149.10   | 154.00 | 4.90   | 4.20     | 85.71  | 1.59 | 32.45 |      |            |            |                 |      |       |        |      | Fracturée et localement sciée  |
| 172.90   | 174.90 | 2.00   | 2.00     | 100.00 | 0.38 | 19.00 |      |            |            |                 |      |       |        |      | fortement fracturé avec beaucoup de boue de faille et localement bréchifié |
| 405.40   | 407.00 | 1.60   | 1.34     | 83.75  | 0.74 | 46.25 |      |            |            |                 |      |       |        |      | fracturation parallèle 40ac  |
| 407.00   | 410.00 | 3.00   | 2.98     | 99.33  | 2.22 | 74.00 |      |            |            |                 |      |       |        |      |  |
| 410.00   | 413.00 | 3.00   | 2.93     | 97.67  | 2.68 | 89.33 |      |            |            |                 |      |       |        |      |  |
| 413.00   | 416.00 | 3.00   | 3.00     | 100.00 | 2.68 | 89.33 |      |            |            |                 |      |       |        |      |  |
| 416.00   | 419.00 | 3.00   | 2.92     | 97.33  | 1.78 | 59.33 |      |            |            |                 |      |       |        |      |  |
| 419.00   | 422.00 | 3.00   | 2.72     | 90.67  | 2.08 | 69.33 |      |            |            |                 |      |       |        |      |  |
| 422.00   | 425.00 | 3.00   | 2.96     | 98.67  | 2.30 | 76.67 |      |            |            |                 |      |       |        |      |  |
| 425.00   | 428.00 | 3.00   | 3.21     | 107.00 | 2.69 | 89.67 |      |            |            |                 |      |       |        |      |  |
| 428.00   | 431.00 | 3.00   | 2.97     | 99.00  | 1.99 | 66.33 |      |            |            |                 |      |       |        |      |  |
| 431.00   | 434.00 | 3.00   | 3.03     | 101.00 | 2.53 | 84.33 |      |            |            |                 |      |       |        |      |  |
| 434.00   | 437.00 | 3.00   | 2.94     | 98.00  | 2.91 | 97.00 |      |            |            |                 |      |       |        |      |  |
| 437.00   | 440.06 | 3.06   | 2.92     | 95.42  | 1.90 | 62.09 |      |            |            |                 |      |       |        |      |  |



## GEOTECHNICAL DRILLHOLE REPORT SHEET

Project: **CADILLAC MINING**

Logged by: **C. Esnault**

Hole Number: **CM-06-17**

Azimuth: **180**

Location: **Francoeur**

Logged date: **2013-05-22**

Core Size:

Inclination: **-60**

| INTERVAL |        |        | RECOVERY |        | RQD  |       | HARD | No. Joints | Typ. Joint | JOINT CONDITION |      |       |        |                             | Geological Description - Rock Type, Colour, Texture, Alteration, Structure |
|----------|--------|--------|----------|--------|------|-------|------|------------|------------|-----------------|------|-------|--------|-----------------------------|--|
| FROM     | TO     | LENGTH | m        | %      | m    | %     |      |            |            | PERSIS          | APER | ROUGH | INFILL | WTHR                        |  |
| 469.80   | 474.40 | 4.60   | 3.91     | 85.00  | 1.81 | 39.35 |      |            |            |                 |      |       |        | Fracturation parallèle 50ac |  |
| 474.40   | 476.00 | 1.60   | 1.55     | 96.87  | 0.90 | 56.25 |      |            |            |                 |      |       |        |                             |  |
| 476.00   | 479.00 | 3.00   | 2.99     | 99.67  | 2.11 | 70.33 |      |            |            |                 |      |       |        |                             |  |
| 479.00   | 482.50 | 3.50   | 3.41     | 97.43  | 1.99 | 56.86 |      |            |            |                 |      |       |        |                             |  |
| 492.80   | 497.00 | 4.20   | 3.95     | 94.05  | 2.78 | 66.19 |      |            |            |                 |      |       |        |                             |  |
| 497.00   | 500.00 | 3.00   | 2.85     | 95.00  | 2.05 | 68.33 |      |            |            |                 |      |       |        |                             |  |
| 500.00   | 504.00 | 4.00   | 3.80     | 95.00  | 2.07 | 51.75 |      |            |            |                 |      |       |        |                             |  |
| 569.00   | 572.00 | 3.00   | 3.02     | 100.67 | 2.63 | 87.67 |      |            |            |                 |      |       |        |                             |  |
| 802.00   | 805.00 | 3.00   | 2.91     | 97.00  | 1.80 | 60.00 |      |            |            |                 |      |       |        |                             |  |
| 805.00   | 808.00 | 3.00   | 3.12     | 104.00 | 2.29 | 76.33 |      |            |            |                 |      |       |        |                             |  |
| 808.00   | 811.00 | 3.00   | 2.91     | 97.00  | 2.25 | 75.00 |      |            |            |                 |      |       |        |                             |  |
| 856.00   | 859.00 | 3.00   | 2.82     | 94.00  | 2.54 | 84.67 |      |            |            |                 |      |       |        |                             |  |
| 859.00   | 862.00 | 3.00   | 3.08     | 102.67 | 1.84 | 61.33 |      |            |            |                 |      |       |        |                             |  |
| 862.00   | 865.00 | 3.00   | 0.96     | 32.00  | 2.65 | 88.33 |      |            |            |                 |      |       |        |                             |  |
| 865.00   | 868.00 | 3.00   | 3.00     | 100.00 |      |       |      |            |            |                 |      |       |        |                             |  |
| 868.00   | 871.00 | 3.00   | 2.81     | 93.67  | 1.77 | 59.00 |      |            |            |                 |      |       |        | Mesuré sur carottes sciées  |  |
| 871.00   | 874.00 | 3.00   | 3.08     | 102.67 | 2.76 | 92.00 |      |            |            |                 |      |       |        | Mesuré sur carottes sciées  |  |
| 874.00   | 877.00 | 3.00   | 3.18     | 106.00 | 2.92 | 97.33 |      |            |            |                 |      |       |        | Mesuré sur carottes sciées  |  |
| 877.00   | 880.00 | 3.00   | 3.03     | 101.00 | 2.84 | 94.67 |      |            |            |                 |      |       |        | Mesuré sur carottes sciées  |  |
| 880.00   | 883.00 | 3.00   | 2.87     | 95.67  | 2.43 | 81.00 |      |            |            |                 |      |       |        | Mesuré sur carottes sciées  |  |
| 883.00   | 886.00 | 3.00   | 3.00     | 100.00 | 2.60 | 86.67 |      |            |            |                 |      |       |        |                             |  |
| 886.00   | 889.00 | 3.00   | 3.01     | 100.33 | 2.43 | 81.00 |      |            |            |                 |      |       |        |                             |  |
| 889.00   | 892.00 | 3.00   | 2.95     | 98.33  | 2.53 | 84.33 |      |            |            |                 |      |       |        |                             |  |
| 892.00   | 895.00 | 3.00   | 3.03     | 101.00 | 2.52 | 84.00 |      |            |            |                 |      |       |        |                             |  |
| 895.00   | 898.00 | 3.00   | 3.00     | 100.00 | 2.81 | 93.67 |      |            |            |                 |      |       |        |                             |  |



## GEOTECHNICAL DRILLHOLE REPORT SHEET

Project: **CADILLAC MINING**

Logged by: **C. Esnault**

Hole Number: **CM-06-17**

Azimuth: **180**

Location: **Francoeur**

Logged date: **2013-05-22**

Core Size:

Inclination: **-60**

| INTERVAL |         |        | RECOVERY |        | RQD  |       | HARD | No. Joints | Typ. Joint | JOINT CONDITION |      |       |        |      | Geological Description - Rock Type, Colour, Texture, Alteration, Structure |
|----------|---------|--------|----------|--------|------|-------|------|------------|------------|-----------------|------|-------|--------|------|--|
| FROM     | TO      | LENGTH | m        | %      | m    | %     |      |            |            | PERSIS          | APER | ROUGH | INFILL | WTHR |  |
| 898.00   | 901.00  | 3.00   | 3.01     | 100.33 | 2.48 | 82.67 |      |            |            |                 |      |       |        |      |  |
| 901.00   | 904.00  | 3.00   | 2.95     | 98.33  | 2.44 | 81.33 |      |            |            |                 |      |       |        |      | Carotte sciées en partie   |
| 904.00   | 907.00  | 3.00   | 3.09     | 103.00 | 2.66 | 88.67 |      |            |            |                 |      |       |        |      | Roche en partie sciée  |
| 907.00   | 910.00  | 3.00   | 2.99     | 99.67  | 2.80 | 93.33 |      |            |            |                 |      |       |        |      |  |
| 910.00   | 913.00  | 3.00   | 2.86     | 95.33  | 2.43 | 81.00 |      |            |            |                 |      |       |        |      |  |
| 913.00   | 916.00  | 3.00   | 3.01     | 100.33 | 2.92 | 97.33 |      |            |            |                 |      |       |        |      |  |
| 916.00   | 919.00  | 3.00   | 2.98     | 99.33  | 2.55 | 85.00 |      |            |            |                 |      |       |        |      |  |
| 919.00   | 922.00  | 3.00   | 2.95     | 98.33  | 2.21 | 73.67 |      |            |            |                 |      |       |        |      | Carotte sciée  |
| 937.00   | 940.00  | 3.00   | 2.64     | 88.00  | 1.68 | 56.00 |      |            |            |                 |      |       |        |      |  |
| 940.00   | 943.00  | 3.00   | 2.96     | 98.67  | 1.67 | 55.67 |      |            |            |                 |      |       |        |      | Carotte sciée en partie  |
| 1000.00  | 1003.00 | 3.00   | 3.01     | 100.33 | 2.16 | 72.00 |      |            |            |                 |      |       |        |      |  |
| 1021.00  | 1024.00 | 3.00   | 2.85     | 95.00  | 2.16 | 72.00 |      |            |            |                 |      |       |        |      | En partie sur carottes sciées.   |
| 1024.00  | 1027.00 | 3.00   | 2.89     | 96.33  | 2.43 | 81.00 |      |            |            |                 |      |       |        |      | En partie sur carottes sciées.   |
| 1027.00  | 1030.00 | 3.00   | 2.97     | 99.00  | 1.92 | 64.00 |      |            |            |                 |      |       |        |      | En partie sur carottes sciées.   |
| 1030.00  | 1033.00 | 3.00   | 2.97     | 99.00  | 1.38 | 46.00 |      |            |            |                 |      |       |        |      |  |
| 1033.00  | 1036.00 | 3.00   | 3.10     | 103.33 | 1.55 | 51.67 |      |            |            |                 |      |       |        |      | En partie sur carottes sciées.<br>Fractures locale sur 20 cm.              |
| 1036.00  | 1038.00 | 2.00   | 1.98     | 99.00  | 1.30 | 65.00 |      |            |            |                 |      |       |        |      | Fracture locale sur 10 cm.   |
| 1038.00  | 1039.00 | 1.00   | 0.97     | 97.00  | 0.00 | 0.00  |      |            |            |                 |      |       |        |      | RQD nul. Très fracturée.   |
| 1039.00  | 1042.00 | 3.00   | 3.01     | 100.33 | 2.18 | 72.67 |      |            |            |                 |      |       |        |      | En partie sur carottes sciées.   |
| 1042.00  | 1045.00 | 3.00   | 3.03     | 101.00 | 2.31 | 77.00 |      |            |            |                 |      |       |        |      |  |
| 1045.00  | 1048.00 | 3.00   | 2.98     | 99.33  | 2.05 | 68.33 |      |            |            |                 |      |       |        |      | En partie sur carottes sciées.   |
| 1048.00  | 1051.47 | 3.47   | 3.49     | 100.58 | 2.65 | 76.37 |      |            |            |                 |      |       |        |      | En partie sur carottes sciées.   |
| 1051.47  | 1054.78 | 3.31   | 3.16     | 95.47  | 0.00 | 0.00  |      |            |            |                 |      |       |        |      | RQD nul. Très fracturée.   |
| 1054.78  | 1057.00 | 2.22   | 2.20     | 99.10  | 1.65 | 74.32 |      |            |            |                 |      |       |        |      | En partie sur carottes sciées.   |
| 1057.00  | 1060.00 | 3.00   | 2.94     | 98.00  | 2.29 | 76.33 |      |            |            |                 |      |       |        |      | En partie sur carottes sciées.   |



## GEOTECHNICAL DRILLHOLE REPORT SHEET

Project: **CADILLAC MINING**  
 Location: **Francoeur**

Logged by: **C. Esnault**  
 Logged date: **2013-05-22**

Hole Number: **CM-06-17**  
 Core Size:

Azimuth: **180**  
 Inclination: **-60**

| INTERVAL |         |        | RECOVERY |        | RQD  |       | HARD | No. Joints | Typ. Joint | JOINT CONDITION |      |       |        |   | Geological Description - Rock Type, Colour, Texture, Alteration, Structure |
|----------|---------|--------|----------|--------|------|-------|------|------------|------------|-----------------|------|-------|--------|---|--|
| FROM     | TO      | LENGTH | m        | %      | m    | %     |      |            |            | PERSIS          | APER | ROUGH | INFILL | WTHR  |  |
| 1060.00  | 1063.00 | 3.00   | 2.90     | 96.67  | 1.63 | 54.33 |      |            |            |                 |      |       |        | En partie sur carottes sciées.  |  |
| 1063.00  | 1064.79 | 1.79   | 1.78     | 99.44  | 1.59 | 88.83 |      |            |            |                 |      |       |        | En partie sur carottes sciées.  |  |
| 1064.79  | 1066.07 | 1.28   | 1.16     | 90.63  | 0.00 | 0.00  |      |            |            |                 |      |       |        | En partie sur carottes sciées. RQD nul. Très fracturée.               |  |
| 1066.07  | 1068.40 | 2.33   | 2.57     | 110.30 | 1.56 | 66.95 |      |            |            |                 |      |       |        | En partie sur carottes sciées.  |  |
| 1068.40  | 1072.63 | 4.23   | 3.75     | 88.65  | 0.00 | 0.00  |      |            |            |                 |      |       |        | En partie sur carottes sciées. RQD nul. Très fracturé.                |  |
| 1072.63  | 1075.00 | 2.37   | 2.26     | 95.36  | 0.53 | 22.36 |      |            |            |                 |      |       |        | En partie sur carottes sciées.  |  |
| 1075.00  | 1078.00 | 3.00   | 2.84     | 94.67  | 0.57 | 19.00 |      |            |            |                 |      |       |        | En partie sur carottes sciées. RQD faible. Roche fracturée.           |  |
| 1078.00  | 1081.00 | 3.00   | 3.21     | 107.00 | 1.60 | 53.33 |      |            |            |                 |      |       |        | En partie sur carottes sciées.  |  |
| 1081.00  | 1084.00 | 3.00   | 2.92     | 97.33  | 1.87 | 62.33 |      |            |            |                 |      |       |        | En partie sur carottes sciées.  |  |
| 1084.00  | 1087.00 | 3.00   | 2.90     | 96.67  | 2.30 | 76.67 |      |            |            |                 |      |       |        | En partie sur carottes sciées.  |  |
| 1087.00  | 1089.15 | 2.15   | 2.15     | 100.00 | 1.76 | 81.86 |      |            |            |                 |      |       |        | En partie sur carottes sciées.  |  |
| 1089.15  | 1089.84 | 0.69   | 0.75     | 108.70 | 0.00 | 0.00  |      |            |            |                 |      |       |        | En partie sur carottes sciées.  |  |
| 1089.84  | 1093.00 | 3.16   | 3.08     | 97.47  | 1.28 | 40.51 |      |            |            |                 |      |       |        | En partie sur carottes sciées.  |  |
| 1093.00  | 1096.00 | 3.00   | 2.93     | 97.67  | 1.35 | 45.00 |      |            |            |                 |      |       |        | Fracturé localement sur 10 cm, roche très meuble sur plus d'un mètre. |  |
| 1096.00  | 1099.00 | 3.00   | 3.07     | 102.33 | 1.62 | 54.00 |      |            |            |                 |      |       |        | Localement fracturé.  |  |
| 1099.00  | 1102.00 | 3.00   | 2.97     | 99.00  | 2.61 | 87.00 |      |            |            |                 |      |       |        | Roche localement meuble, dû probablement à l'altération.              |  |
| 1102.00  | 1106.91 | 4.91   | 4.75     | 96.74  | 3.50 | 71.28 |      |            |            |                 |      |       |        | En partie sur carottes sciées. Roche très meuble.                     |  |
| 1106.91  | 1109.80 | 2.89   | 2.52     | 87.20  | 0.00 | 0.00  |      |            |            |                 |      |       |        | En partie sur carottes sciées. Roche très meuble, très fracturées.    |  |
| 1109.80  | 1112.80 | 3.00   | 2.38     | 79.33  | 1.52 | 50.67 |      |            |            |                 |      |       |        |   |  |
| 1112.80  | 1121.00 | 8.20   | 4.90     | 59.76  | 0.00 | 0.00  |      |            |            |                 |      |       |        | Roche extrêmement meuble, fracturée (intensément lessivée).           |  |

**RAPPORT GÉOLOGIQUE**  
**PROPRIÉTÉ GUINARD-MASSIA, BLOC NORD**  
**2013**

**ANNEXE II**

**Certificats d'analyse**

# Laboratoire Expert Inc.

127, Boulevard Industriel  
Rouyn-Noranda, Québec  
Canada, J9X 6P2  
Téléphone : (819) 762-7100, Télécopieur : (819) 762-7510

|                                       |  |
|---------------------------------------|--|
| Client : <b>Mines Richmond Inc</b>    |  |
| Destinataire : <b>Raynald Vincent</b> | Dossier : <b>37306</b>                 |
|                                       | Votre no. commande :                   |
|                                       | Projet : <b>GUINARD MASSIA</b>         |
|                                       | Nombre total d'échantillons : <b>7</b> |

| Identification | Au<br>FA-GEO<br>ppb<br>5 | Au-Dup<br>FA-GEO<br>ppb<br>5 |
|----------------|--------------------------|------------------------------|
| LRS67101       | <5                       | <5                           |
| LRS67102       | <5                       |                              |
| LRS67103       | 6                        |                              |
| LRS67104       | 59                       |                              |
| LRS67105       | 6                        |                              |
| LRS67106       | <5                       |                              |
| LRS67107       | 5                        |                              |

Joe Landers, Directeur

Quality Analysis ...



Innovative Technologies

Date Submitted: 01-Feb-13  
Invoice No.: A13-01124  
Invoice Date: 28-Feb-13  
Your Reference: DOSSIER #37306

Expert Lab  
127, boul Industriel  
Rouyn-Noranda Quebec J9X 6P2  
Canada

ATTN: Luce Lafleur (Invoice)

## CERTIFICATE OF ANALYSIS

7 Pulp samples were submitted for analysis.

The following analytical package was requested: Code 1E1 Aqua Regia ICP(AQUAGEO)

REPORT A13-01124

This report may be reproduced without our consent. If only selected portions of the report are reproduced, permission must be obtained. If no instructions were given at time of sample submittal regarding excess material, it will be discarded within 90 days of this report. Our liability is limited solely to the analytical cost of these analyses. Test results are representative only of material submitted for analysis.

Notes:

Values which exceed the upper limit should be assayed for accurate numbers.

CERTIFIED BY :

A handwritten signature in black ink, appearing to read "Emmanuel Esemé".

Emmanuel Esemé , Ph.D.

Quality Control



**ACTIVATION LABORATORIES LTD.**

1336 Sandhill Drive, Ancaster, Ontario Canada L9G 4V5 TELEPHONE +1 905 648.9611 or  
+1 888 228.5227 FAX +1 905.648.9613  
E-MAIL Ancaster@actlabs.com ACTLABS GROUP WEBSITE www.actlabs.com

Activation Laboratories Ltd. Report: A13-01124

| Analyte Symbol  | Ag     | Cd     | Cu     | Mn     | Mo     | Ni     | Pb     | Zn     | Al     | As     | Ba     | Be     | Bi     | Ca     | Co     | Cr     | Fe     | K      | Mg     | Na     | P      | Sb     | Se     | Sn     |
|-----------------|--------|--------|--------|--------|--------|--------|--------|--------|--------|--------|--------|--------|--------|--------|--------|--------|--------|--------|--------|--------|--------|--------|--------|--------|
| Unit Symbol     | ppm    | %      | ppm    | ppm    | ppm    | ppm    | %      | ppm    | ppm    | %      | %      | %      | %      | %      | ppm    | ppm    | ppm    |
| Detection Limit | 0.2    | 0.5    | 1      | 2      | 2      | 1      | 2      | 1      | 0.01   | 10     | 1      | 1      | 10     | 0.01   | 1      | 2      | 0.01   | 0.01   | 0.01   | 0.01   | 0.001  | 10     | 1      | 10     |
| Analysis Method | AR-ICP |
| LRS67101        | < 0.2  | < 0.5  | 59     | 925    | 4      | 739    | 11     | 64     | 3.68   | < 10   | 69     | < 1    | < 10   | 3.01   | 57     | 1230   | 5.58   | 0.28   | 5.37   | 0.02   | 0.027  | < 10   | 16     | < 10   |
| LRS67102        | < 0.2  | < 0.5  | 44     | 771    | 4      | 698    | 5      | 60     | 4.23   | 19     | 164    | < 1    | < 10   | 2.89   | 54     | 1380   | 5.47   | 0.81   | 5.66   | 0.01   | 0.026  | < 10   | 17     | < 10   |
| LRS67103        | < 0.2  | < 0.5  | 37     | 681    | 5      | 374    | 3      | 69     | 3.29   | < 10   | 219    | < 1    | < 10   | 2.18   | 35     | 732    | 4.54   | 0.71   | 3.86   | 0.04   | 0.044  | < 10   | 14     | < 10   |
| LRS67104        | < 0.2  | < 0.5  | 40     | 775    | 7      | 433    | 4      | 70     | 3.41   | < 10   | 113    | < 1    | < 10   | 2.25   | 39     | 854    | 4.84   | 0.38   | 3.94   | 0.04   | 0.043  | < 10   | 15     | < 10   |
| LRS67105        | 0.3    | < 0.5  | 64     | 809    | 4      | 508    | 3      | 56     | 2.40   | 12     | 81     | 2      | < 10   | 4.08   | 41     | 889    | 4.53   | 1.49   | 4.62   | 0.04   | 0.016  | < 10   | 15     | < 10   |
| LRS67106        | < 0.2  | < 0.5  | 34     | 804    | 5      | 434    | < 2    | 55     | 3.21   | < 10   | 53     | < 1    | < 10   | 3.67   | 34     | 723    | 4.19   | 0.25   | 4.73   | 0.03   | 0.035  | < 10   | 13     | < 10   |
| LRS67107        | < 0.2  | < 0.5  | 29     | 507    | 5      | 326    | 4      | 68     | 2.50   | < 10   | 87     | < 1    | < 10   | 0.80   | 28     | 585    | 4.38   | 0.43   | 2.75   | 0.06   | 0.054  | < 10   | 11     | < 10   |

| Analyte Symbol  | Sr     | Ti     | V      | W      | Y      | Zr     | S      |
|-----------------|--------|--------|--------|--------|--------|--------|--------|
| Unit Symbol     | ppm    | %      | ppm    | ppm    | ppm    | ppm    | %      |
| Detection Limit | 1      | 0.01   | 1      | 10     | 1      | 1      | 0.001  |
| Analysis Method | AR-ICP |
| LRS67101        | 159    | 0.04   | 104    | < 10   | 4      | 9      | 0.418  |
| LRS67102        | 106    | 0.10   | 113    | < 10   | 5      | 8      | 0.130  |
| LRS67103        | 138    | 0.09   | 99     | < 10   | 5      | 14     | 0.191  |
| LRS67104        | 128    | 0.05   | 102    | < 10   | 5      | 7      | 0.303  |
| LRS67105        | 695    | 0.14   | 124    | < 10   | 4      | 18     | 0.375  |
| LRS67106        | 231    | 0.04   | 92     | < 10   | 5      | 5      | 0.105  |
| LRS67107        | 73     | 0.23   | 89     | < 10   | 9      | 19     | 0.138  |

Activation Laboratories Ltd. Report: A13-01124

Quality Control

| Analyte Symbol                     | Ag     | Cd     | Cu      | Mn     | Mo     | Ni     | Pb     | Zn     | Al     | As     | Ba     | Be     | Bi     | Ca     | Co     | Cr     | Fe     | K      | Mg     | Na     | P       | Sb     | Sc     | Sn     |
|------------------------------------|--------|--------|---------|--------|--------|--------|--------|--------|--------|--------|--------|--------|--------|--------|--------|--------|--------|--------|--------|--------|---------|--------|--------|--------|
| Unit Symbol                        | ppm    | ppm    | ppm     | ppm    | ppm    | ppm    | ppm    | ppm    | %      | ppm    | ppm    | ppm    | ppm    | %      | ppm    | ppm    | %      | %      | %      | %      | %       | ppm    | ppm    | ppm    |
| Detection Limit                    | 0.2    | 0.5    | 1       | 2      | 2      | 1      | 2      | 1      | 0.01   | 10     | 1      | 1      | 10     | 0.01   | 1      | 2      | 0.01   | 0.01   | 0.01   | 0.01   | 0.001   | 10     | 1      | 10     |
| Analysis Method                    | AR-ICP | AR-ICP | AR-ICP  | AR-ICP | AR-ICP | AR-ICP | AR-ICP | AR-ICP | AR-ICP | AR-ICP | AR-ICP | AR-ICP | AR-ICP | AR-ICP | AR-ICP | AR-ICP | AR-ICP | AR-ICP | AR-ICP | AR-ICP | AR-ICP  | AR-ICP | AR-ICP | AR-ICP |
| GXR-1 Meas                         | 28.6   | 2.7    | 1090    | 769    | 14     | 29     | 576    | 705    | 0.37   | 356    | 111    | < 1    | 1430   | 0.73   | 1      | 8      | 21.2   | 0.03   | 0.13   | 0.04   | 0.038   | 72     | 1      | 28     |
| GXR-1 Cert                         | 31.0   | 3.30   | 1110    | 852    | 18.0   | 41.0   | 730    | 760    | 3.52   | 427    | 750    | 1.22   | 1380   | 0.960  | 8.20   | 12.0   | 23.6   | 0.050  | 0.217  | 0.0520 | 0.0650  | 122    | 1.58   | 54.0   |
| GXR-1 Meas                         | 28.4   | 2.7    | 1100    | 756    | 14     | 34     | 564    | 708    | 0.34   | 358    | 61     | < 1    | 1380   | 0.74   | 3      | 7      | 20.9   | 0.03   | 0.13   | 0.04   | 0.037   | 70     | 1      | 25     |
| GXR-1 Cert                         | 31.0   | 3.30   | 1110    | 852    | 18.0   | 41.0   | 730    | 760    | 3.52   | 427    | 750    | 1.22   | 1380   | 0.960  | 8.20   | 12.0   | 23.6   | 0.050  | 0.217  | 0.0520 | 0.0650  | 122    | 1.58   | 54.0   |
| GXR-4 Meas                         | 3.6    | < 0.5  | 6460    | 143    | 312    | 37     | 39     | 78     | 3.02   | 96     | 39     | 1      | 23     | 0.91   | 13     | 58     | 3.00   | 1.77   | 1.52   | 0.15   | 0.107   | < 10   | 7      | < 10   |
| GXR-4 Cert                         | 4.00   | 0.860  | 6520    | 155    | 310    | 42.0   | 52.0   | 73.0   | 7.20   | 98.0   | 1640   | 1.90   | 19.0   | 1.01   | 14.6   | 64.0   | 3.09   | 4.01   | 1.66   | 0.564  | 0.120   | 4.80   | 7.70   | 5.60   |
| GXR-4 Meas                         | 3.5    | < 0.5  | 6500    | 135    | 311    | 32     | 37     | 81     | 2.74   | 93     | 13     | 1      | 25     | 0.87   | 13     | 58     | 2.89   | 1.67   | 1.51   | 0.12   | 0.109   | < 10   | 7      | < 10   |
| GXR-4 Cert                         | 4.00   | 0.860  | 6520    | 155    | 310    | 42.0   | 52.0   | 73.0   | 7.20   | 98.0   | 1640   | 1.90   | 19.0   | 1.01   | 14.6   | 64.0   | 3.09   | 4.01   | 1.66   | 0.564  | 0.120   | 4.80   | 7.70   | 5.60   |
| GXR-6 Meas                         | 0.3    | < 0.5  | 70      | 1060   | 4      | 21     | 85     | 133    | 7.40   | 216    | 890    | < 1    | < 10   | 0.14   | 13     | 86     | 5.52   | 1.16   | 0.40   | 0.08   | 0.030   | < 10   | 23     | < 10   |
| GXR-6 Cert                         | 1.30   | 1.00   | 66.0    | 1010   | 2.40   | 27.0   | 101    | 118    | 17.7   | 330    | 1300   | 1.40   | 0.290  | 0.180  | 13.8   | 96.0   | 5.58   | 1.87   | 0.609  | 0.104  | 0.0350  | 3.60   | 27.6   | 1.70   |
| GXR-6 Meas                         | 0.3    | < 0.5  | 68      | 1020   | 3      | 20     | 85     | 128    | 7.12   | 219    | 904    | < 1    | < 10   | 0.14   | 12     | 83     | 5.36   | 1.13   | 0.38   | 0.08   | 0.029   | < 10   | 23     | < 10   |
| GXR-6 Cert                         | 1.30   | 1.00   | 66.0    | 1010   | 2.40   | 27.0   | 101    | 118    | 17.7   | 330    | 1300   | 1.40   | 0.290  | 0.180  | 13.8   | 96.0   | 5.58   | 1.87   | 0.609  | 0.104  | 0.0350  | 3.60   | 27.6   | 1.70   |
| SAR-M (U.S.G.S.) Meas              | 3.3    | 5.3    | 333     | 4490   | 13     | 39     | 966    | 1040   | 1.30   | 35     | 200    | 1      | < 10   | 0.33   | 10     | 96     | 2.86   | 0.31   | 0.36   | 0.03   | 0.058   | < 10   | 4      | < 10   |
| SAR-M (U.S.G.S.) Cert              | 3.64   | 5.27   | 331     | 5220   | 13.10  | 41.50  | 982    | 930.0  | 6.30   | 38.8   | 801    | 2.20   | 1.94   | 0.61   | 10.70  | 79.7   | 2.99   | 2.94   | 0.50   | 1.140  | 0.070   | 6.00   | 7.83   | 2.76   |
| SAR-M (U.S.G.S.) Meas              | 3.9    | 5.2    | 344     | 4440   | 13     | 42     | 971    | 1060   | 1.20   | 35     | 186    | 1      | < 10   | 0.32   | 10     | 93     | 2.87   | 0.28   | 0.35   | 0.03   | 0.061   | < 10   | 4      | < 10   |
| SAR-M (U.S.G.S.) Cert              | 3.64   | 5.27   | 331     | 5220   | 13.10  | 41.50  | 982    | 930.0  | 6.30   | 38.8   | 801    | 2.20   | 1.94   | 0.61   | 10.70  | 79.7   | 2.99   | 2.94   | 0.50   | 1.140  | 0.070   | 6.00   | 7.83   | 2.76   |
| Oreas 94 (Aqua Regia) Control Meas | 3.3    |        | > 10000 |        |        |        | 23     | 164    |        |        |        |        | 22     |        | 21     |        |        |        |        |        |         | < 10   |        | 15     |
| Oreas 94 (Aqua Regia) Control Cert | 3.42   |        | 11300   |        |        |        | 30.9   | 167    |        |        |        |        | 8.77   |        | 22.9   |        |        |        |        |        |         | 1.64   |        | 16.4   |
| Oreas 94 (Aqua Regia) Control Meas | 3.4    |        | > 10000 |        |        |        | 24     | 166    |        |        |        |        | < 10   |        | 22     |        |        |        |        |        |         | < 10   |        | 18     |
| Oreas 94 (Aqua Regia) Control Cert | 3.42   |        | 11300   |        |        |        | 30.9   | 167    |        |        |        |        | 8.77   |        | 22.9   |        |        |        |        |        |         | 1.64   |        | 16.4   |
| Method Blank                       | < 0.2  | < 0.5  | < 1     | < 2    | < 2    | < 1    | < 2    | < 1    | < 0.01 | < 10   | 2      | < 1    | < 10   | < 0.01 | < 1    | < 2    | < 0.01 | < 0.01 | < 0.01 | < 0.01 | < 0.001 | < 10   | < 1    | < 10   |
| Method Blank                       | < 0.2  | < 0.5  | < 1     | < 2    | < 2    | < 1    | < 2    | < 1    | < 0.01 | < 10   | 2      | < 1    | < 10   | < 0.01 | < 1    | < 2    | < 0.01 | < 0.01 | < 0.01 | < 0.01 | < 0.001 | < 10   | < 1    | < 10   |
| Method Blank                       | < 0.2  | < 0.5  | < 1     | < 2    | < 2    | < 1    | < 2    | < 1    | < 0.01 | < 10   | 2      | < 1    | < 10   | < 0.01 | < 1    | < 2    | < 0.01 | < 0.01 | < 0.01 | < 0.01 | < 0.001 | < 10   | < 1    | < 10   |
| Method Blank                       | < 0.2  | < 0.5  | < 1     | < 2    | < 2    | < 1    | < 2    | < 1    | < 0.01 | < 10   | 2      | < 1    | < 10   | < 0.01 | < 1    | < 2    | < 0.01 | < 0.01 | < 0.01 | < 0.01 | < 0.001 | < 10   | < 1    | < 10   |

Quality Control

| Analyte Symbol                        | Sr     | Ti     | V      | W      | Y      | Zr     | S      |
|---------------------------------------|--------|--------|--------|--------|--------|--------|--------|
| Unit Symbol                           | ppm    | %      | ppm    | ppm    | ppm    | ppm    | %      |
| Detection Limit                       | 1      | 0.01   | 1      | 10     | 1      | 1      | 0.001  |
| Analysis Method                       | AR-ICP |
| GXR-1 Meas                            | 181    |        | 75     | 138    | 25     | 13     | 0.195  |
| GXR-1 Cert                            | 275    |        | 80.0   | 164    | 32.0   | 38.0   | 0.257  |
| GXR-1 Meas                            | 166    |        | 75     | 141    | 25     | 13     | 0.191  |
| GXR-1 Cert                            | 275    |        | 80.0   | 164    | 32.0   | 38.0   | 0.257  |
| GXR-4 Meas                            | 81     |        | 83     | 12     | 12     | 11     | 1.758  |
| GXR-4 Cert                            | 221    |        | 87.0   | 30.8   | 14.0   | 186    | 1.77   |
| GXR-4 Meas                            | 70     |        | 82     | 11     | 12     | 9      | 1.714  |
| GXR-4 Cert                            | 221    |        | 87.0   | 30.8   | 14.0   | 186    | 1.77   |
| GXR-6 Meas                            | 29     |        | 183    | <10    | 6      | 8      | 0.012  |
| GXR-6 Cert                            | 35.0   |        | 186    | 1.90   | 14.0   | 110    | 0.0160 |
| GXR-6 Meas                            | 30     |        | 179    | <10    | 6      | 9      | 0.014  |
| GXR-6 Cert                            | 35.0   |        | 186    | 1.90   | 14.0   | 110    | 0.0160 |
| SAR-M (U.S.G.S.) Meas                 | 32     | 0.05   | 39     | <10    | 23     |        |        |
| SAR-M (U.S.G.S.) Cert                 | 151.0  | 2.7    | 67.20  | 9.78   | 28.00  |        |        |
| SAR-M (U.S.G.S.) Meas                 | 31     | 0.05   | 37     | <10    | 23     |        |        |
| SAR-M (U.S.G.S.) Cert                 | 151.0  | 2.7    | 67.20  | 9.78   | 28.00  |        |        |
| Oreas 94 (Aqua Regia)<br>Control Meas |        |        |        |        |        |        | 1.192  |
| Oreas 94 (Aqua Regia)<br>Control Cert |        |        |        |        |        |        | 1.35   |
| Oreas 94 (Aqua Regia)<br>Control Meas |        |        |        |        |        |        | 1.236  |
| Oreas 94 (Aqua Regia)<br>Control Cert |        |        |        |        |        |        | 1.35   |
| Method Blank                          | <1     | <0.01  | <1     | <10    | <1     | <1     | <0.001 |
| Method Blank                          | <1     | <0.01  | <1     | <10    | <1     | <1     | 0.002  |
| Method Blank                          | <1     | <0.01  | <1     | <10    | <1     | <1     | <0.001 |
| Method Blank                          | <1     | <0.01  | <1     | <10    | <1     | <1     | <0.001 |

# Laboratoire Expert Inc.

127, Boulevard Industriel  
 Rouyn-Noranda, Québec  
 Canada, J9X 6P2  
 Téléphone : (819) 762-7100, Télécopieur : (819) 762-7510

Date : 2013/06/20

Page : 1 de 1

|                                       |   |
|---------------------------------------|---|
| Client : <b>Mines Richmond Inc</b>    |   |
| Destinataire : <b>Raynald Vincent</b> | Dossier : <b>38407</b>                  |
|                                       | Votre no. commande : <b>Exploration</b> |
|                                       | Projet : <b>GUINARD MASSIA</b>          |
|                                       | Nombre total d'échantillons : <b>17</b> |

| Identification | Au<br>FA-GEO<br>ppb<br>5 | Au-Dup<br>FA-GEO<br>ppb<br>5 | Au<br>FA-GRAV<br>g/t<br>0.03 | Ag<br>AAT-7<br>ppm<br>0.2 | Ag-Dup<br>AAT-7<br>ppm<br>0.2 |
|----------------|--------------------------|------------------------------|------------------------------|---------------------------|-------------------------------|
| GM85151        | 300                      | 316                          |                              | <0.2                      | <0.2                          |
| GM85152        | 79                       |                              |                              | <0.2                      |                               |
| GM85153        | 9                        |                              |                              | <0.2                      |                               |
| GM85154        | <5                       |                              |                              | <0.2                      |                               |
| GM85155        | <5                       |                              |                              | <0.2                      |                               |
| GM85156        | 50                       |                              |                              | <0.2                      |                               |
| GM85157        | 5760                     |                              | 5.83                         | 0.8                       |                               |
| GM85158        | <5                       |                              |                              | <0.2                      |                               |
| GM85159        | 13                       |                              |                              | <0.2                      |                               |
| GM85160        | 5                        |                              |                              | <0.2                      |                               |
| GM85161        | 37                       |                              |                              | <0.2                      |                               |
| GM85162        | 8                        |                              |                              | <0.2                      |                               |
| GM85163        | <5                       | <5                           |                              | <0.2                      | <0.2                          |
| GM85164        | <5                       |                              |                              | <0.2                      |                               |
| GM85165        | 16                       |                              |                              | <0.2                      |                               |
| GM85166        | <5                       |                              |                              | <0.2                      |                               |
| GM85167        | 45                       |                              |                              | <0.2                      |                               |
| Blk-01         | <5                       |                              |                              |                           |                               |
| SG66-01        | 1083                     |                              |                              |                           |                               |

CM-06-17

  
 Joe Landers, Directeur

# Laboratoire Expert Inc.

127, Boulevard Industriel  
 Rouyn-Noranda, Québec  
 Canada, J9X 6P2  
 Téléphone : (819) 762-7100, Télécopieur : (819) 762-7510

Date : 2013/06/20

Page : 1 de 2

|                                       |   |
|---------------------------------------|---|
| Client : <b>Mines Richmond Inc</b>    |   |
| Destinataire : <b>Raynald Vincent</b> | Dossier : <b>38459</b>                  |
|                                       | Votre no. commande : <b>Exploration</b> |
|                                       | Projet : <b>GUINARD-MASSIA</b>          |
|                                       | Nombre total d'échantillons : <b>20</b> |

| Identification | Au<br>FA-GEO<br>ppb<br>5 | Au-Dup<br>FA-GEO<br>ppb<br>5 | Ag<br>AAT-7<br>ppm<br>0.2 | Ag-Dup<br>AAT-7<br>ppm<br>0.2 |
|----------------|--------------------------|------------------------------|---------------------------|-------------------------------|
| GM67108        | 119                      | 123                          | <0.2                      | <0.2                          |
| GM67109        | 21                       |                              | <0.2                      |                               |
| GM67110        | 286                      |                              | 0.2                       |                               |
| GM67111        | 159                      |                              | 0.4                       |                               |
| GM67112        | 20                       |                              | <0.2                      |                               |
| GM67113        | 19                       |                              | <0.2                      |                               |
| GM67114        | 20                       |                              | 0.2                       |                               |
| GM67115        | 15                       |                              | <0.2                      |                               |
| GM67116        | 17                       |                              | 0.2                       |                               |
| GM67117        | 19                       |                              | <0.2                      |                               |
| GM67118        | 73                       |                              | 0.2                       |                               |
| GM67119        | 86                       |                              | <0.2                      |                               |
| GM67120        | 366                      | 373                          | <0.2                      | <0.2                          |
| GM67121        | 10                       |                              | <0.2                      |                               |
| GM67122        | 15                       |                              | 0.2                       |                               |
| GM67151        | 15                       |                              | <0.2                      |                               |
| GM67152        | <5                       |                              | <0.2                      |                               |
| GM67153        | <5                       |                              | <0.2                      |                               |
| GM67154        | <5                       |                              | <0.2                      |                               |
| GM67155        | <5                       |                              | <0.2                      |                               |

*Cartographie*

  
 \_\_\_\_\_  
 Joe Landers, Directeur

# Laboratoire Expert Inc.

127, Boulevard Industriel  
 Rouyn-Noranda, Québec  
 Canada, J9X 6P2  
 Téléphone : (819) 762-7100, Télécopieur : (819) 762-7510

|                                       |   |
|---------------------------------------|---|
| Client : <b>Mines Richmond Inc</b>    |   |
| Destinataire : <b>Raynald Vincent</b> | Dossier : <b>38459</b>                  |
|                                       | Votre no. commande : <b>Exploration</b> |
|                                       | Projet : <b>GUINARD-MASSIA</b>          |
|                                       | Nombre total d'échantillons : <b>20</b> |

| Identification | Au<br>FA-GEO<br>ppb<br>5 | Au-Dup<br>FA-GEO<br>ppb<br>5 | Ag<br>AAT-7<br>ppm<br>0.2 | Ag-Dup<br>AAT-7<br>ppm<br>0.2 |
|----------------|--------------------------|------------------------------|---------------------------|-------------------------------|
| BIK-01         | <5                       |                              |                           |                               |
| SG66-01        | 1064                     |                              |                           |                               |

**Laboratoire Expert Inc.**

127, Boulevard Industriel  
 Rouyn-Noranda, Québec  
 Canada, J9X 6P2  
 Téléphone : (819) 762-7100, Télécopieur : (819) 762-7510

Date : 2013/07/10

Page : 1 de 2

|                                       |   |
|---------------------------------------|---|
| Client : <b>Mines Richmont Inc</b>    |   |
| Destinataire : <b>Raynald Vincent</b> | Dossier : <b>38589</b>                  |
|                                       | Votre no. commande : <b>Exploration</b> |
|                                       | Projet : <b>GUINARD-MASSIA</b>          |
|                                       | Nombre total d'échantillons : <b>32</b> |

| Identification | Au<br>FA-GEO<br>ppb<br>5 | Au-Dup<br>FA-GEO<br>ppb<br>5 | Ag<br>AAT-7<br>ppm<br>0.2 | Ag-Dup<br>AAT-7<br>ppm<br>0.2 |
|----------------|--------------------------|------------------------------|---------------------------|-------------------------------|
| GM67123        | 8                        | 6                            | <0.2                      | <0.2                          |
| GM67124        | <5                       |                              | <0.2                      |                               |
| GM67125        | 127                      |                              | <0.2                      |                               |
| GM67126        | 49                       |                              | <0.2                      |                               |
| GM67127        | 57                       |                              | <0.2                      |                               |
| GM67128        | <5                       |                              | <0.2                      |                               |
| GM67129        | <5                       |                              | <0.2                      |                               |
| GM67130        | <5                       |                              | <0.2                      |                               |
| GM67131        | 7                        |                              | <0.2                      |                               |
| GM67132        | 41                       |                              | <0.2                      |                               |
| GM67133        | <5                       |                              | <0.2                      |                               |
| GM67134        | <5                       |                              | <0.2                      |                               |
| GM67135        | <5                       | <5                           | <0.2                      | <0.2                          |
| GM67136        | <5                       |                              | <0.2                      |                               |
| GM67137        | 5                        |                              | <0.2                      |                               |
| GM67138        | 165                      |                              | <0.2                      |                               |
| GM67139        | 132                      |                              | <0.2                      |                               |
| GM67140        | 30                       |                              | <0.2                      |                               |
| GM67141        | 9                        |                              | <0.2                      |                               |
| GM67142        | 27                       |                              | <0.2                      |                               |

*Cartographie*

*Patrick Dubé*

Patrick Dubé, Directeur adjoint

# Laboratoire Expert Inc.

127, Boulevard Industriel  
 Rouyn-Noranda, Québec  
 Canada, J9X 6P2  
 Téléphone : (819) 762-7100, Télécopieur : (819) 762-7510

|                                       |   |
|---------------------------------------|---|
| Client : <b>Mines Richmond Inc</b>    |   |
| Destinataire : <b>Raynald Vincent</b> | Dossier : <b>38589</b>                  |
|                                       | Votre no. commande : <b>Exploration</b> |
|                                       | Projet : <b>GUINARD-MASSIA</b>          |
|                                       | Nombre total d'échantillons : <b>32</b> |

| Identification | Au<br>FA-GEO<br>ppb<br>5 | Au-Dup<br>FA-GEO<br>ppb<br>5 | Ag<br>AAT-7<br>ppm<br>0.2 | Ag-Dup<br>AAT-7<br>ppm<br>0.2 |
|----------------|--------------------------|------------------------------|---------------------------|-------------------------------|
| GM67201        | <5                       |                              | <0.2                      |                               |
| GM67202        | 10                       |                              | <0.2                      |                               |
| GM67203        | 5                        |                              | <0.2                      |                               |
| GM67204        | <5                       |                              | <0.2                      |                               |
| GM67205        | 11                       | 11                           | <0.2                      | <0.2                          |
| GM67206        | 12                       |                              | <0.2                      |                               |
| GM67156        | 25                       |                              | <0.2                      |                               |
| GM67157        | <5                       |                              | <0.2                      |                               |
| GM67158        | <5                       |                              | <0.2                      |                               |
| GM67159        | <5                       |                              | <0.2                      |                               |
| GM67160        | 5                        |                              | <0.2                      |                               |
| GM67161        | <5                       |                              | <0.2                      |                               |
| Blk-01         | <5                       |                              |                           |                               |
| Blk-02         | <5                       |                              |                           |                               |
| SE68-01        | 606                      |                              |                           |                               |
| SG66-01        | 1082                     |                              |                           |                               |

*Cartographie*

**Laboratoire Expert Inc.**

127, Boulevard Industriel  
 Rouyn-Noranda, Québec  
 Canada, J9X 6P2  
 Téléphone : (819) 762-7100, Télécopieur : (819) 762-7510

|                                       |   |
|---------------------------------------|---|
| Client : <b>Mines Richmont Inc</b>    |   |
| Destinataire : <b>Raynald Vincent</b> | Dossier : <b>38666</b>                        |
|                                       | Votre no. commande : <b>Exploration</b>       |
|                                       | Projet : <b>GUINARD MASSIA <del>SHD</del></b> |
|                                       | Nombre total d'échantillons : <b>24</b>       |

| Identification | Au<br>FA-GEO<br>ppb<br>5 | Au-Dup<br>FA-GEO<br>ppb<br>5 | Ag<br>AAT-7<br>ppm<br>0.2 | Ag-Dup<br>AAT-7<br>ppm<br>0.2 |
|----------------|--------------------------|------------------------------|---------------------------|-------------------------------|
| GM67162        | 7                        | 5                            | <0.2                      | <0.2                          |
| GM67163        | <5                       |                              | <0.2                      |                               |
| GM67164        | <5                       |                              | <0.2                      |                               |
| GM67165        | <5                       |                              | <0.2                      |                               |
| GM67166        | <5                       |                              | <0.2                      |                               |
| GM67167        | <5                       |                              | <0.2                      |                               |
| GM67143        | <5                       |                              | <0.2                      |                               |
| GM67144        | 23                       |                              | <0.2                      |                               |
| GM67145        | <5                       |                              | <0.2                      |                               |
| GM67146        | 14                       |                              | <0.2                      |                               |
| GM67147        | 6                        |                              | <0.2                      |                               |
| GM67148        | 6                        |                              | <0.2                      |                               |
| GM67149        | 5                        | <5                           | <0.2                      | <0.2                          |
| GM67150        | <5                       |                              | <0.2                      |                               |
| GM67251        | <5                       |                              | <0.2                      |                               |
| GM67252        | 5                        |                              | <0.2                      |                               |
| GM67253        | <5                       |                              | <0.2                      |                               |
| GM67254        | <5                       |                              | <0.2                      |                               |
| GM67255        | <5                       |                              | <0.2                      |                               |
| GM67256        | 7                        |                              | <0.2                      |                               |

*Cartographie*

*Patrick Dubé*

Patrick Dubé, Directeur adjoint

# Laboratoire Expert Inc.

127, Boulevard Industriel  
 Rouyn-Noranda, Québec  
 Canada, J9X 6P2  
 Téléphone : (819) 762-7100, Télécopieur : (819) 762-7510

|                                       |   |
|---------------------------------------|---|
| Client : <b>Mines Richmond Inc</b>    |   |
| Destinataire : <b>Raynald Vincent</b> | Dossier : <b>38666</b>                        |
|                                       | Votre no. commande : <b>Exploration</b>       |
|                                       | Projet : <b>GUINARD MASSIA <del>SUD</del></b> |
|                                       | Nombre total d'échantillons : <b>24</b>       |

| <u>Identification</u> | <u>Au<br/>FA-GEO<br/>ppb<br/>5</u> | <u>Au-Dup<br/>FA-GEO<br/>ppb<br/>5</u> | <u>Ag<br/>AAT-7<br/>ppm<br/>0.2</u> | <u>Ag-Dup<br/>AAT-7<br/>ppm<br/>0.2</u> |
|-----------------------|------------------------------------|--|-------------------------------------|---|
| GM67257               | 20                                 |  | <0.2                                |   |
| GM67258               | 11                                 |  | <0.2                                |   |
| GM67259               | <5                                 |  | <0.2                                |   |
| GM67260               | <5                                 |  | <0.2                                |   |
| Blk-01                | <5                                 |  |                                     |   |
| SE68-01               | 595                                |  |                                     |   |

*Carte*

# Laboratoire Expert Inc.

127, Boulevard Industriel  
 Rouyn-Noranda, Québec  
 Canada, J9X 6P2  
 Téléphone : (819) 762-7100, Télécopieur : (819) 762-7510

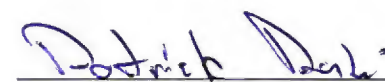
Date : 2013/08/13

Page : 1 de 2

|                                       |   |
|---------------------------------------|---|
| Client : <b>Mines Richmond Inc</b>    |   |
| Destinataire : <b>Raynald Vincent</b> | Dossier : <b>39029</b>                  |
|                                       | Votre no. commande : <b>Exploration</b> |
|                                       | Projet : <b>GUINARD-MASSIA</b>          |
|                                       | Nombre total d'échantillons : <b>26</b> |

| Identification | Au<br>FA-GEO<br>ppb<br>5 | Au-Dup<br>FA-GEO<br>ppb<br>5 | Ag<br>AAT-7<br>ppm<br>0,2 | Ag-Dup<br>AAT-7<br>ppm<br>0,2 |
|----------------|--------------------------|------------------------------|---------------------------|-------------------------------|
| GM85168        | 13                       | 10                           | <0,2                      | <0,2                          |
| GM85169        | 17                       |                              | <0,2                      |                               |
| GM85170        | 22                       |                              | <0,2                      |                               |
| GM85171        | <5                       |                              | <0,2                      |                               |
| GM85173        | <5                       |                              | <0,2                      |                               |
| GM85174        | <5                       |                              | 1,0                       |                               |
| GM85175        | 840                      |                              | <0,2                      |                               |
| GM85176        | 7                        |                              | <0,2                      |                               |
| GM85177        | 12                       |                              | <0,2                      |                               |
| GM85178        | 7                        |                              | <0,2                      |                               |
| GM85179        | 30                       |                              | <0,2                      |                               |
| GM85180        | 136                      |                              | <0,2                      |                               |
| GM85181        | 10                       | 8                            | <0,2                      | <0,2                          |
| GM85182        | 10                       |                              | <0,2                      |                               |
| GM85183        | <5                       |                              | <0,2                      |                               |
| GM85184        | 10                       |                              | <0,2                      |                               |
| GM85185        | 15                       |                              | <0,2                      |                               |
| GM85186        | 22                       |                              | <0,2                      |                               |
| GM85187        | 7                        |                              | <0,2                      |                               |
| GM85188        | 9                        |                              | <0,2                      |                               |

RO-01



Patrick Dubé, Directeur adjoint

# Laboratoire Expert Inc.

127, Boulevard Industriel  
 Rouyn-Noranda, Québec  
 Canada, J9X 6P2  
 Téléphone : (819) 762-7100, Télécopieur : (819) 762-7510

Date : 2013/08/13

Page : 2 de 2

|                                       |   |
|---------------------------------------|---|
| Client : <b>Mines Richmond Inc</b>    |   |
| Destinataire : <b>Raynald Vincent</b> | Dossier : <b>39029</b>                  |
|                                       | Votre no. commande : <b>Exploration</b> |
|                                       | Projet : <b>GUINARD-MASSIA</b>          |
|                                       | Nombre total d'échantillons : <b>26</b> |

| <u>Identification</u> | <u>Au<br/>FA-GEO<br/>ppb<br/>5</u> | <u>Au-Dup<br/>FA-GEO<br/>ppb<br/>5</u> | <u>Ag<br/>AAT-7<br/>ppm<br/>0,2</u> | <u>Ag-Dup<br/>AAT-7<br/>ppm<br/>0,2</u> |
|-----------------------|------------------------------------|--|-------------------------------------|---|
| GM85189               | 24                                 |  | <0,2                                |   |
| GM85190               | 28                                 |  | <0,2                                |   |
| GM85191               | 31                                 |  | <0,2                                |   |
| GM85192               | 5                                  |  | <0,2                                |   |
| GM85193               | 37                                 | 38                                     | <0,2                                | <0,2                                    |
| GM85194               | 32                                 |  | <0,2                                |   |
| Blk-01                | <5                                 |  |                                     |   |
| SG66-01               | 1070                               |  |                                     |   |

*Ro-01*

**RAPPORT GÉOLOGIQUE**  
**PROPRIÉTÉ GUINARD-MASSIA, BLOC NORD**

**2013**

**POCHETTE**

**Plan de surface, échelle 1 : 2 500**